

ВІННИЦЬКИЙ НАЦІОНАЛЬНИЙ МЕДИЧНИЙ
УНІВЕРСИТЕТ ім. М.І. ПИРОГОВА
МОЗ УКРАЇНИ

Кваліфікаційна наукова праця
на правах рукопису

Коцюра Ольга Олександрівна

УДК 611.314:616.714.1-071.3:79-055.1(477)

ДИСЕРТАЦІЯ

ЛІНІЙНІ РОЗМІРИ ВЕЛИКИХ КУТНІХ ЗУБІВ ТА ЇХ ЗВ'ЯЗОК ІЗ
ПОКАЗНИКАМИ КЕФАЛОМЕТРІЇ У ПРАКТИЧНО ЗДОРОВИХ
ЧОЛОВІКІВ ІЗ РІЗНИХ РЕГІОНІВ УКРАЇНИ

14.03.01 – нормальна анатомія

Подається на здобуття наукового ступеня кандидата медичних наук

Дисертація містить результати власних досліджень. Використання ідей, результатів і текстів інших авторів мають посилання на відповідне джерело

_____ О. О. Коцюра

Науковий керівник: Шінкарук-Диковицька Марія Михайлівна, доктор медичних наук, професор

Вінниця – 2019

АНОТАЦІЯ

Коцюра О. О. Лінійні розміри великих кутніх зубів та їх зв'язок із показниками кефалометрії у практично здорових чоловіків із різних регіонів України. – Кваліфікаційна наукова праця на правах рукопису.

Дисертація на здобуття наукового ступеня кандидата медичних наук за спеціальністю 14.03.01 «Нормальна анатомія». – Вінницький національний медичний університет ім. М. І. Пирогова МОЗ України, Вінниця, 2019.

На базі Вінницького національного медичного університету ім. М. І. Пирогова та приватної стоматологічної клініки «Вінінтермед ЛТД» 200 практично здоровим чоловікам першого зрілого віку, у третьому поколінні мешканців різних адміністративно-територіальних регіонів України проведено конусно-променеву комп'ютерну томографію с наступною одонтометриєю великих кутніх зубів (ВКЗ) і кефалометрію.

Разом із к.мед.н. Орловським В. О. у практично здорових чоловіків із різних регіонів України вперше встановлені регіональні та краніо- й фаціотипологічні відмінності кефалометричних показників, які підтверджують процеси брахіцефалізації і граціалізації чоловічого населення України.

Уперше встановлені регіональні відмінності комп'ютерно-томографічних лінійних розмірів коронок ВКЗ і їх коренів, які найбільш виражені на верхній щелепі для мезіо-дистального та присінково-язикового розміру коронок зубів – більші значення у чоловіків північного регіону, ніж у представників центрального та західного (лише для присінково-язикового розміру) регіонів, а також висоти коронки зубів – більші значення у чоловіків західного регіону, ніж у представників південного регіону; а на нижній щелепі для висоти коронки зубів – більші значення у чоловіків південного регіону, ніж у представників північного, центрального і західного регіонів, а також висоти та довжини ближнього кореня лівого першого зуба – менші значення у чоловіків північного регіону, ніж у представників центрального та західного регіонів.

У практично здорових чоловіків України різних краніотипів уперше встановлені відмінності лінійних розмірів коронок ВКЗ і їх коренів, які найбільш ви-

ражені на верхній щелепі для присінково-язикових розмірів зубів і мезіо-дистального розміру шийки других зубів – менші значення у доліхоцефалів, ніж у представників інших краніотипів; а на нижній щелепі для довжини дальнього кореня перших зубів – менші значення у доліхоцефалів, ніж у брахіцефалів і гіпербрахіцефалів.

Уперше у чоловіків із різним типом обличчя встановлені відмінності комп'ютерно-томографічних лінійних розмірів коронок ВКЗ і їх коренів, які найбільш виражені на верхній щелепі для мезіо-дистального розміру коронки зубів – менші значення у чоловіків із середнім обличчям, ніж у представників із широким і вузьким обличчям, а також для мезіо-дистальних розмірів шийки других зубів – більші значення у чоловіків із широким обличчям, ніж у представників із дуже вузьким обличчям; а на нижній щелепі для висоти других зубів – більші значення у чоловіків із дуже вузьким обличчям, ніж у представників із середнім обличчям, а також для довжини дальнього кореня других зубів – менші значення у чоловіків із середнім обличчям, ніж у представників із широким і дуже вузьким обличчям.

У чоловіків різних краніотипів, мешканців центрального регіону України, уперше виявлені найбільш виражені відмінності лінійних розмірів коронок ВКЗ і їх коренів, які найбільш виражені на верхній щелепі для мезіо-дистальних і присінково-язикових розмірів зубів – більші значення у гіпербрахіцефалів, ніж у доліхоцефалів, а також для довжини присінкового ближнього кореня других зубів – більші значення у гіпербрахіцефалів, ніж у мезоцефалів; а на нижній щелепі для висоти та мезіо-дистального розміру коронки зубів – менші значення у мезоцефалів, ніж у гіпербрахіцефалів і брахіцефалів (лише для мезіо-дистального розміру коронки), а також для довжини дальнього кореня зубів – більші значення у гіпербрахіцефалів, ніж у доліхоцефалів і мезоцефалів.

Уперше у чоловіків центрального регіону України з різним типом обличчя виявлені найбільш виражені відмінності лінійних розмірів коронок ВКЗ і їх коренів, які найбільш виражені лише на нижній щелепі для висоти зубів – більші значення у чоловіків із широким обличчям, ніж у представників із середнім і ду-

же вузьким обличчям, для мезіо-дистального розміру коронки перших зубів – більші значення у чоловіків із широким обличчям, ніж у представників із середнім обличчям, для мезіо-дистального розміру шийки перших зубів – більші значення у чоловіків із широким обличчям, ніж у представників із вузьким обличчям, а також для довжини дальнього кореня перших зубів – більші значення у чоловіків із широким обличчям, ніж у представників із дуже вузьким обличчям.

Уперше за допомогою регресійного аналізу в залежності від особливостей кефалометричних показників, крані- і фаціотипу побудовані достовірні моделі (із коефіцієнтом детермінації R^2 більшим, ніж 0,5) індивідуальних комп'ютерно-томографічних лінійних розмірів ВКЗ у практично здорових чоловіків *північного* (3 моделі мезіо-дистальних розмірів шийки нижніх зубів, $R^2=0,576-0,685$; 2 моделі присінково-язикових розмірів верхніх зубів, $R^2=0,657$ і $0,767$; 2 моделі висоти коронок нижніх зубів, $R^2=0,519$ і $0,557$), *південного* (4 моделі мезіо-дистальних розмірів коронки зубів, $R^2=0,508-0,798$; 6 моделей присінково-язикових розмірів коронки та шийки нижніх зубів, $R^2=0,504-0,756$; 2 моделі висоти коронок нижніх зубів, $R^2=0,527$ і $0,748$), *центрального* (лише модель мезіо-дистального розміра коронки нижнього правого першого зуба, $R^2=0,648$; та модель присінково-язикового розміра коронки нижнього лівого першого зуба, $R^2=0,613$), *західного* (4 моделі мезіо-дистальних розмірів коронки зубів, $R^2=0,575-0,646$; 3 моделі мезіо-дистальних розмірів шийки нижніх зубів, $R^2=0,532-0,581$; 3 моделі присінково-язикових розмірів коронки нижніх зубів, $R^2=0,539-0,614$; 3 моделі присінково-язикових розмірів шийки нижніх зубів, $R^2=0,527-0,646$; 1 модель висоти коронки верхнього зуба, $R^2=0,579$) і *східного* (3 моделі висоти коронок верхніх зубів, $R^2=0,538-0,682$; 1 модель мезіо-дистального розміру коронки верхнього зуба, $R^2=0,572$; 1 модель мезіо-дистального розміру шийки нижнього зуба, $R^2=0,556$) адміністративно-територіальних регіонів України.

До побудованих моделей комп'ютерно-томографічних лінійних розмірів ВКЗ найчастіше входять: у чоловіків *північного регіону* до моделей мезіо-дистальних розмірів зубів – довжина тіла нижньої щелепи справа (16,7 %), гли-

бина носа, найменша ширина голови та краніотип (по 11,1 %), а до моделей присінково-язикових розмірів зубів – найменша ширина голови та поперечна дуга (по 15,4 %); у чоловіків *південного регіону* до моделей мезіо-дистальних розмірів зубів – фізіологічна довжина обличчя, середня ширина обличчя, висота верхньої частини обличчя, найбільша довжина голови, зовнішньоочна ширина, глибина носа та ширина нижньої щелепи (по 8,3 %), до моделей присінково-язикових розмірів зубів – зовнішньоочна ширина (13,2 %), фізіологічна довжина обличчя, ширина ротової щілини та міжчочномкова ширина (по 10,5 %), найбільша ширина голови, висота та довжина носа (по 7,9 %), висота верхньої частини обличчя, поперечна дуга та відстань між назіон та міжрізцевою точкою (по 5,3 %), а до моделей висоти коронок зубів – міжчочномкова ширина та ширина ротової щілини (по 14,3 %); у чоловіків *західного регіону* до моделей мезіо-дистальних розмірів зубів – сагітальна дуга (12,5 %), зовнішньоочна ширина, глибина носа, відстань між назіон та міжрізцевою точкою, довжина тіла нижньої щелепи зліва, найбільший обхват голови та найбільша довжина голови (по 7,5 %); до моделей присінково-язикових розмірів зубів – глибина носа (20,0 %), довжина тіла нижньої щелепи зліва (16,0 %), фізіологічна довжина обличчя та морфологічна довжина обличчя (по 12,0 %); у чоловіків *східного регіону* до моделей висоти коронок зубів – глибина носа (15,0 %), тип обличчя, фізіологічна довжина обличчя, морфологічна довжина обличчя, найменша ширина голови та сагітальна дуга (по 10,0 %); до моделей мезіо-дистальних розмірів зубів – міжчочномкова ширина (15,4 %).

Розроблена на основі побудованих регресійних моделей, комп'ютерна програма «TeethNorm» для визначення індивідуальних метричних характеристик ВКЗ у залежності від кефалометричних показників, краніотипу та типу обличчя у чоловіків із різних адміністративно-територіальних регіонів України, дозволить лікарям стоматологам покращити діагностику і лікування стоматологічної патології.

Ключові слова: одонтометрія, великі кутні зуби, кефалометрія, практично здорові чоловіки, адміністративно-територіальні регіони України, краніотип, тип обличчя.

ANNOTATION

Kotsyura O.O. Linear dimensions of molars and their relationship with cephalometry indicators in practically healthy men from different regions of Ukraine. – Qualifying scientific work on the rights of manuscripts.

Dissertation for the degree of a candidate of medical sciences on the specialty 14.03.01 - normal anatomy. – National Pirogov Memorial Medical University of the Ministry of Health of Ukraine, Vinnitsa, 2019.

On the basis of National Pirogov Memorial Medical University and the private stomatological clinic "VinIntermed LTD" convective-ray computer tomography with the following odontometry of molars and cephalometry was performed for 200 practically healthy men of the first mature age in the third generation of inhabitants of different administrative-territorial regions of Ukraine.

Together with PhD Orlovsky V.O., for practically healthy men from different regions of Ukraine, for the first time, regional and craniotype and face type differences of cephalometric indices were established, which confirm the processes of brachycephalization and gracilization of the male population of Ukraine.

For the first time, regional differences between computer-tomographic linear sizes of crowns of molars and their roots, which are most pronounced in the upper jaw for mesio-distal and vestibular-lingual size of crowns of teeth established - higher for men in the northern region than for central and western representatives (only for vestibular-lingual size) of the regions, as well as the height of the crown of the teeth - higher values for men in the western region than the representatives of the southern region; and in the lower jaw for the height of the crown of the teeth - higher values for men in the southern region than the representatives of the northern, central and western regions, as well as the height and length of the neighbor root of the left first tooth - lower in men in the northern region than the representatives of the central and western regions.

For practically healthy men of Ukraine of different craniotypes for the first time established differences in the linear sizes of crowns of molars and their roots, which are most pronounced in the upper jaw for vestibular-lingual dimensions of the teeth and mesio-distal size of the cervix of second teeth - smaller values in dolichocephals than in representatives of other craniotypes; and on the lower jaw for the length of the distant root of the first teeth - smaller values in dolichocephals, than brachycephals and hyperbrachycephals.

For the first time in men with different facial features, differences in computer-tomographic linear dimensions of the of crowns molars and their roots, which are most pronounced on the upper jaw for the mesio-distal size of the crown of the teeth - lower in men with a middle face type than those with a wide and narrow the face, as well as for the mesio-distal dimensions of the neck of second teeth – higher for men with a broad face than those with a very narrow face; and on the lower jaw for the height of second teeth - higher values for men with a very narrow face than those with middle faces, as well as for the length of the distant root of second teeth - lower values in men with middle face type than those with a wide and very narrow face.

For men of different craniotypes, residents of the central region of Ukraine, for the first time, the most pronounced differences in the linear dimensions of crowns of molars and their roots, which are most pronounced on the upper jaw for mesio-distal and vestibular-lingual sizes of teeth - higher values in the hyperbrachycephals than in the dolichocephals, as well as for the length of the vestibular dorsal root of the second teeth - larger values in hyperbrachycephals than mesocephals; and on the lower jaw for the height and mesio-distal size of the crowns of the teeth - lower values in the mesocephals than in the hyperbrachycephals and brachycephals (only for the mesio-distal crown size), as well as for the length of the distal root of the teeth - greater values in hyperbrachycephals than dolichocephals and mesocephalic were established.

For the first time in men of the central region of Ukraine with different facial features revealed the most pronounced differences in the linear dimensions of crowns of molars and their roots established, which are most pronounced only on the lower jaw for the height of the teeth - greater in men with a broader face than those with

middle and very narrow faces, for the mesio-distal size, the crowns of the first teeth - larger in men with a broad face than those with middle faces, for the mesio-distal dimension of the neck of the first teeth - greater in men with broad face than that of a narrow face, and for the length of the first distant root teeth - higher values in men with broad face than that of a very narrow face.

For the first time, using reliable regression models depending on the features of cephalometric indicators, craniotype and face type (with determination coefficient R^2 greater than 0.5) individual computer-tomographic linear sizes of molars in practically healthy men of the *northern* region (3 models of mesio-distal dimensions of the neck of the lower teeth, $R^2 = 0.576-0.685$; 2 models of the vestibular-lingual dimensions of the upper teeth, $R^2 = 0.657$ and 0.767 ; 2 models of the height of crowns of the lower teeth, $R^2 = 0.519$ and 0.557), *southern* (4 models of mesio-distal crown sizes of teeth, $R^2 = 0.508-0.798$; 6 models of vestibular-lingual crown and neck sizes, $R^2 = 0.504-0.756$; 2 models of the height of crowns of the lower teeth, $R^2 = 0.527$ and 0.748), *central* (only the model of the mesio-distal size of the crown of the lower right first tooth, $R^2 = 0.648$; the model of the vestibular-lingual size of the crown of the lower left first tooth, $R^2 = 0.613$), *western* (4 models of mesio-distal sizes of the crown of the teeth, $R^2 = 0.575-0.646$; 3 models of mesio-distal sizes of the cervix of the lower teeth, $R^2 = 0.532-0.581$; 3 models of vestibular-lingual crowns of lower teeth, $R^2 = 0.539-0.614$; 3 models of vestibular-lingual dimensions of the neck of the lower teeth, $R^2 = 0.527-0.646$; 1 model of the height of the crown of the upper tooth, $R^2 = 0.579$) and the *eastern* (3 models of the height of crowns of the upper teeth, $R^2 = 0.538-0.682$; 1 model mesio-distal size of the crown of the upper tooth, $R^2 = 0.572$; 1 model mesio-distal size of the neck of the lower tooth, $R^2 = 0.556$) administrative-territorial regions of Ukraine were built.

The constructed models of computer tomography linear sizes of molars most often include: in men of the *northern region* to models mesio-distal sizes of teeth - the length of the body of the mandible on the right (16.7%), the depth of the nose, the smallest width of the head, and craniotype (11.1%), and to models of vestibular-lingual sizes of teeth - the smallest width of the head and the transverse arc (by 15.4%); in men

of the *southern region* to models of mesio-distal teeth size - the physiological face length, average facial width, height of the upper face part, largest length of the head, outer-eye width, nasal depth and width of the mandible (8.3%), to models of vestibular-lingual size of the teeth - the outer-eye width (13.2%), the physiological length of the face, mouth width and inter eye fossa width (10.5%), the largest head width, height and length of the nose (7.9%), the height of the upper face, the transverse arc and the distance between the nasion and the inter-incisive point (by 5.3%), and the height of crowns of teeth models - inter eye fossa width and mouth width (by 14.3%); in men of the *western region* to models of mesio-distal teeth size - sagittal arc (12.5%), outer-eye width, nose depth, distance between nasion and inter-incision point, length of the body of the mandible on the left, largest head circumference and largest head length (by 7.5%); to the models of vestibular-lingual sizes of teeth - the depth of the nose (20.0%), the length of the body of the lower jaw to the left (16.0%), physiological face length and morphological face length (by 12.0%); in men of the *eastern region* to models of height of crowns of teeth - nose depth (15.0%), face type, physiological face length, morphological length of face, smallest head width and sagittal arc (by 10.0%); to models of mesio-distal dimensions of teeth – inter eye fossa width (15.4%).

Based on the constructed regression models, the “TeethNorm” computer program for the determination of individual metric characteristics of molars depending on cephalometric indices, craniotype and face type in men from different administrative-territorial regions of Ukraine will allow doctors to improve dentistry diagnosis and treatment of dental pathology.

Key words: odontometry, molars, cephalometry, practically healthy men, administrative-territorial regions of Ukraine, craniotype, type of face.

Список публікацій здобувача за темою дисертації:

Наукові праці, в яких опубліковані основні наукові результати дисертації:

1. Шінкарук-Диковицька М. М. Регіональні та краніотипологічні відмінності кефалометричних показників у практично здорових чоловіків України / М. М.

Шінкарук-Диковицька, О. О. Коцюра, В. О. Орловський // Вісник морфології. – 2016. – Т. 22, № 2. – С. 314-319.

2. Шінкарук-Диковицька М. М. Відмінності кефалометричних показників у практично здорових чоловіків України з різними типами обличчя / М. М. Шінкарук-Диковицька, О. О. Коцюра, В. О. Орловський // Світ медицини та біології. – 2016. – №4(58). – С. 82-87.

3. Коцюра О. О. Особливості лінійних комп'ютерно-томографічних розмірів великих кутніх зубів та їх коренів у практично здорових чоловіків із різних етнотериторіальних регіонів України / О. О. Коцюра // Вісник морфології. – 2017. – Т. 23, № 1. – С. 114-117.

4. Коцюра О. О. Комп'ютерно-томографічні розміри великих кутніх зубів та їх коренів у практично здорових чоловіків різних краніотипів / О. О. Коцюра // Biomedical and Biosocial Anthropology. – 2017. – № 28. – С. 78-81.

5. Шінкарук-Диковицька М. М. Відмінності лінійних комп'ютерно-томографічних розмірів великих кутніх зубів та їх коренів у практично здорових чоловіків центрального регіону України різних краніотипів / М. М. Шінкарук-Диковицька, О. О. Коцюра // Світ медицини та біології. – 2017. – №2(60). – С. 120-123.

6. Differences of craniotype distribution and types of face among apparently healthy men from different regions of Ukraine / I. V. Gunas, M. M. Shinkaruk-Dykovytska, O. O. Kotsyura, V. O. Orlovskiy, S. V. Dmytrenko, A. V. Shayuk, A. A. Glushak // Folia Morphol. – 2017. – Vol.76, №3. – P. 473-477.

7. Shinkaruk-Dikovitska M. M. Features linear computed tomography sizes of large molar teeth and their roots in practically healthy men from Ukraine with different types of faces / M. M. Shinkaruk-Dikovitska, O. O. Kotsyura, O. V. Cherkasova // Вісник морфології. – 2017. – Т. 23, № 2. – С. 323-327.

8. Linear difference computed tomography size large molar teeth and their roots in healthy men from central regions of Ukraine with different types of face / M. M. Shinkaruk-Dykovytska, O. O. Kotsyura, T. O. Tepla, M. P. Melnik, V. G. Chaika, K.

V. Shepitko, O. M. Lykhytskyi // World of Medicine and Biology. – 2018. – №1(63). – P. 89-93.

9. Kotsyura O. O. Modeling using regression analysis of linear sizes of molars depending on the cephalometric indices of practically healthy men of the Northern and Southern regions of Ukraine / O. O. Kotsyura // Biomedical and Biosocial Anthropology. – 2018. – № 30. – С. 68-74.

10. Kotsyura O. O. Regression models of individual linear sizes of molars depending on the features of cephalometric indices in practically healthy men of the Western and Eastern regions of Ukraine / O. O. Kotsyura // Reports of Morphology. – 2018. – Vol. 24, № 1. – P. 56-61.

11. Шінкарук-Диковицька М. М. Сучасні променеві та антропометричні методи дослідження в стоматології / М. М. Шінкарук-Диковицька, О. О. Коцюра, В. О. Орловський // Вісник Вінницького національного медичного університету. – 2012. – Т. 16, № 2. – С. 546-550.

12. Свідоцтво про реєстрацію авторського права на твір. Комп'ютерна програма «TeethNorm» для визначення індивідуальних метричних характеристик великих кутніх зубів у залежності від кефалометричних показників чоловіків із різних регіонів України / О. О. Коцюра, М. П. Костенко. – № 90674; заявл. 11.05.2019, № 89443, опубл. 06.06.2019р.

Наукові праці, які засвідчують апробацію матеріалів дисертації:

13. Шінкарук-Диковицька М. М. Лінійні розміри молярів та премолярів та їх зв'язок з показниками кефалометрії / М. М. Шінкарук-Диковицька, О. О. Коцюра, В. О. Орловський // «Інноваційні технології в стоматології»: збірник матеріалів науково-практичної конференції (м. Тернопіль, 23 вересня 2016 р.). – Тернопіль: ДВНЗ «Тернопільський державний медичний університет імені І. Я. Горбачевського МОЗ України». – С. 54-56.

14. Коцюра О. О. Відмінності розподілу краніотипів в практично здорових чоловіків із різних регіонів України / О. О. Коцюра // Матеріали науково-практичної конференції з міжнародною участю присвяченої 60-ти річчю ДВНЗ «Тернопільський державний медичний університет імені І. Я. Горбачевського

МОЗ України» (м. Тернопіль, 1-2 червня 2017 р.). – Тернопіль: ДВНЗ «Тернопільський державний медичний університет імені І. Я. Горбачевського МОЗ України». – С. 97-99.

15. Коцюра О. О. Показники лінійних комп'ютерно-томографічних розмірів великих кутніх зубів в залежності від краніотипологічних особливостей у практично здорових чоловіків України / О. О. Коцюра // «Прикладні аспекти морфології» : матеріали науково-практичної конференції присвяченої пам'яті професорів-морфологів Терентьєва Г. В., Роменського О. Ю., Когана Б. Й., Шапаренка П. П., Жученка С. П. / за редакцією академіка НАМН України, професора В. М. Мороза, чл.-кор. НАМН України, професора Ю. Б. Чайковського, професора В. Г. Черкасова, професора М. А. Волошина, професора В. І. Півторака (м. Вінниця, 21-22 вересня 2017р.). – Вінниця: друкарня «Тези», 2017. – С. 124-125.

16. Коцюра О. О. Регресійний аналіз як метод моделювання лінійних розмірів великих кутніх зубів в залежності від кефалометричних показників у практично здорових чоловіків із різних регіонів України / О. О. Коцюра // «Актуальні проблеми сучасної ортопедичної стоматології» : матеріали Всеукраїнської науково-практичної конференції (м. Вінниця, 10-11 травня 2019р.). – Вінниця, ТОВ «ТВОРИ», 2019. – С. 36-37.

17. Коцюра О. О. Регресійні моделі КТ-розмірів великих кутніх зубів у чоловіків центрального регіону України в залежності від особливостей кефалометричних показників / О. О. Коцюра // Матеріали науково-практичної конференції з міжнародною участю «Ternopil dental summit » (м. Тернопіль, 23-24 травня 2019 р.). – Тернопіль: ДВНЗ «Тернопільський державний медичний університет імені І. Я. Горбачевського МОЗ України». – С. 94-96.

ЗМІСТ

	стор.
АНОТАЦІЯ	2
ПЕРЕЛІК УМОВНИХ ПОЗНАЧЕНЬ, СИМВОЛІВ, ОДИНИЦЬ, СКОРОЧЕНЬ ТА ТЕРМІНІВ	16
ВСТУП	18
РОЗДІЛ 1 ОГЛЯД ЛІТЕРАТУРИ	26
1.1. Особливості будови великих кутніх зубів. Методи їх дослідження	26
1.2. Особливості показників кефалометрії та одонтометрії в залежності від етнічної чи регіональної приналежності особи	33
1.3. Сучасні можливості використання одонтометричних та кефалометричних характеристик у стоматологічній практиці	40
РОЗДІЛ 2 ЗАГАЛЬНА МЕТОДИКА Й ОСНОВНІ МЕТОДИ ДОСЛІДЖЕНЬ	48
2.1. Загальна методика і об'єкти дослідження	48
2.2. Методи дослідження	49
2.2.1. Конусно-променева комп'ютерна томографія.	49
2.2.2. Одонтометрія.	49
2.2.3. Кефалометрія.	50
2.2.4. Математична статистика.	57
РОЗДІЛ 3 КОМП'ЮТЕРНО-ТОМОГРАФІЧНІ РОЗМІРИ КРОНОК ВЕЛИКИХ КУТНІХ ЗУБІВ У ПРАКТИЧНО ЗДОРОВИХ ЧОЛОВІКІВ ІЗ РІЗНИХ РЕГІОНІВ УКРАЇНИ ТА В ЗАЛЕЖНОСТІ ВІД ФОРМИ ГОЛОВИ АБО ТИПУ ОБЛИЧЧЯ	58
3.1. Регіональні відмінності розмірів кронок великих кутніх	

зубів та їх коренів без урахування краніютипу та типу обличчя	58
3.2. Розміри коронок великих кутніх зубів та їх коренів у чоловіків із різною формою голови	75
3.3. Розміри коронок великих кутніх зубів та їх коренів у чоловіків із різним типом обличчя	88
РОЗДІЛ 4 КОМП'ЮТЕРНО-ТОМОГРАФІЧНІ РОЗМІРИ КОРОНОК ВЕЛИКИХ КУТНІХ ЗУБІВ ТА ЇХ КОРЕНІВ У ПРАКТИЧНО ЗДОРОВИХ ЧОЛОВІКІВ ЦЕНТРАЛЬНОГО РЕГІОНУ УКРАЇНИ В ЗАЛЕЖНОСТІ ВІД ФОРМИ ГОЛОВИ АБО ТИПУ ОБЛИЧЧЯ	102
4.1. Розміри коронок великих кутніх зубів та їх коренів у чоловіків центрального регіону України з різною формою голови	102
4.2. Розміри коронок великих кутніх зубів та їх коренів у чоловіків центрального регіону України з різним типом обличчя	116
РОЗДІЛ 5 РЕГРЕСІЙНІ МОДЕЛІ КОМП'ЮТЕРНО-ТОМОГРАФІЧНИХ РОЗМІРІВ ВЕЛИКИХ КУТНІХ ЗУБІВ У ПРАКТИЧНО ЗДОРОВИХ ЧОЛОВІКІВ ІЗ РІЗНИХ РЕГІОНІВ УКРАЇНИ В ЗАЛЕЖНОСТІ ВІД ОСОБЛИВОСТЕЙ КЕФАЛОМЕТРИЧНИХ ПОКАЗНИКІВ ТА ФОРМИ ГОЛОВИ І ТИПУ ОБЛИЧЧЯ	132
5.1. Регресійні моделі комп'ютерно-томографічних розмірів великих кутніх зубів у чоловіків північного регіону України	132
5.2. Регресійні моделі комп'ютерно-томографічних розмірів великих кутніх зубів у чоловіків південного регіону України	140
5.3. Регресійні моделі комп'ютерно-томографічних розмірів великих кутніх зубів у чоловіків центрального регіону України	152
5.4. Регресійні моделі комп'ютерно-томографічних розмірів великих кутніх зубів у чоловіків західного регіону України	154
5.5. Регресійні моделі комп'ютерно-томографічних розмірів	

великих кутніх зубів у чоловіків східного регіону України	168
АНАЛІЗ І УЗАГАЛЬНЕННЯ РЕЗУЛЬТАТІВ ДОСЛІДЖЕНЬ	174
ВИСНОВКИ	205
СПИСОК ВИКОРИСТАНИХ ДЖЕРЕЛ	210
ДОДАТКИ	242

**ПЕРЕЛІК УМОВНИХ ПОЗНАЧЕНЬ, СИМВОЛІВ, ОДИНИЦЬ,
СКОРОЧЕНЬ ТА ТЕРМІНІВ**

ВКЗ – великі кутні зуби

КТ- – комп'ютерно-томографічні;

16- – верхній правий перший великий кутній зуб;

17- – верхній правий другий великий кутній зуб;

26- – верхній лівий перший великий кутній зуб;

27- – верхній лівий другий великий кутній зуб;

36- – нижній лівий перший великий кутній зуб;

37- – нижній лівий другий великий кутній зуб;

46- – нижній правий перший великий кутній зуб;

47- – нижній правий другий великий кутній зуб;

AL_AL – ширина основи носа (відстань між алярними точками);

CHI_CHI – ширина ротової щілини;

DUG_AUAU – поперечна дуга;

DUG_GOP – найбільший обхват голови через надперенісся (глабелла) та ініон;

DUGS_GOP – сагітальна дуга;

EK_EK – зовнішньоочна ширина (біорбітальна ширина);

EU_EU – найбільша ширина голови (потиличний діаметр);

FMT_FMT – найменша ширина голови (лобовий діаметр);

G_OP – найбільша довжина голови;

GO_GO – ширина нижньої щелепи, або ширина між кутами нижньої щелеп;

HKZ – висота коронки;

HRZ1 – довжина піднебінного кореня;

HRZ2 – довжина присінкового ближнього кореня;

HRZ3 – довжина присінкового дальнього кореня

HRZ4 – довжина ближнього кореня;

HRZ5 – довжина дальнього кореня;

HZ – висота відповідного зуба;
LGO_GN – довжина тіла нижньої щелепи зліва;
MD_K – мезіо-дистальний розмір коронки;
MD_S – мезіо-дистальний розмір шийки;
MF_MF – міжочномкова ширина (передня міжорбітальна ширина);
N_GN – морфологічна довжина обличчя;
N_I – відстань між назіон та міжрізцевою точкою;
N_PRN – довжина носа;
N_SN – висота носа;
N_STO – висота верхньої частини обличчя;
RGO_GN – довжина тіла нижньої щелепи справа;
SN_PRN – глибина носа;
TR_GN – фізіологічна довжина обличчя;
TR_N – висота лоба;
VO_K – присінково-язиковий розмір коронки;
VO_S – присінково-язиковий розмір шийки;
ZM_ZM – середня ширина обличчя;
ZY_ZY – ширина обличчя.

ВСТУП

Актуальність теми. Досвід, накопичений в останні роки, показує, що зростання патології органів і тканин порожнини рота зупинити одними лікувальними заходами неможливо [74, 111, 124, 133, 138]. Тому пошуки, розробка та широке впровадження в практику охорони здоров'я ефективних шляхів попередження захворювань зубо-щелепної системи є основним напрямком сучасних наукових досліджень в стоматології.

Своєчасна діагностика і цілеспрямована профілактика патології великих кутніх зубів (ВКЗ) вимагає не тільки чіткого уявлення про причини, що її викликають, а й про фактори індивідуальної та міжіндивідуальної мінливості зубо-щелепної системи людини [36, 37, 112, 134]. Індивідуалізований комплексний підхід до вивчення стоматологічного статусу повинен включати в себе облік всіх основних факторів формування індивідуальної різноманітності. Так, відомо, що процеси розмірної мінливості ВКЗ суттєво впливають на систему дихання, травлення та інші системи організму. Наслідки змін їх положення та розмірів також позначаються на естетичному сприйнятті обличчя [38, 64, 120, 146].

З точки зору інтеграції знань про людину, тільки антропологічний підхід, який характеризується міждисциплінарними дослідженнями на стику наук анатомії, біології, антропології та стоматології, дає можливість замінити нерідко фрагментарні знання про індивідуум цільними і єдиними. При цьому конституція є одним з інтегральних показників здоров'я людини і реально претендує на методологічну основу перспективи розвитку системи профілактики [88, 108, 123].

Якщо виходити з припущення, яке підтримується зараз більшістю вчених, що конституційний тип – генетично детермінована властивість індивіда і він не може змінюватися в процесі онтогенезу, то його дослідження стає тотожним дослідженню спадкової природи формування морфометричних параметрів зубів і їх коренів. Підвищена увага повинна бути звернена на вивчення процесів анато-

мо-морфологічної мінливості ВКЗ у залежності від статі, етносу, регіону проживання й антропометричних характеристик людини, оскільки ці процеси розкривають напрямок еволюції в онтогенезі сучасної людини [62, 75, 85, 127]. Дослідники, що займаються вивченням форми черепа і обличчя, одностайні у думці про значний її вплив на розміри зубів [17, 21, 31, 72, 122, 137]. Це робить можливими виділення груп ризику виникнення, патології ВКЗ з урахуванням особливостей будови зубощелепної системи у осіб з певним краніотипом або типом обличчя.

В Україні індивідуальні, віково-статеві, конституціональні особливості ВКЗ з урахуванням впливу генетичних, середовищних факторів до теперішнього часу були вивчені недостатньо [12, 15, 18, 39, 61]. Теоретичне і експериментальне вивчення співвідношення різних одонтометричних характеристик і конституціональних властивостей людини стає надзвичайно актуальним ще й у зв'язку з практичною відсутністю робіт, де на основі визначення кореляцій параметрів зубів і цефалометричних показників побудовані рівняння регресії даної залежності у дорослого населення з різних регіонів України.

Зв'язок роботи з науковими програмами, планами, темами. Тема дисертації затверджена вченою радою Вінницького національного медичного університету ім. М. І. Пирогова (протокол № 2 від 12.11.2015 року) та проблемною комісією МОЗ і НАМН України «Морфологія людини» (протокол № 10/1 від 01.10.2015 року). Дослідження зареєстровано як ініціативна наукова тематика, що виконується у Вінницькому національному медичному університеті ім. М. І. Пирогова “Лінійні розміри великих кутніх зубів та їх зв'язок із показниками кефалометрії у практично здорових чоловіків із різних регіонів України” (№ державної реєстрації: 0118U003453).

Мета дослідження. Встановлення у практично здорових чоловіків першого зрілого віку із різних адміністративно-територіальних регіонів України комп'ютерно-томографічних лінійних розмірів великих кутніх зубів, їх особливостей у представників різних краніотипів і типів обличчя та залежності даних розмірів від кефалометричних показників.

Для реалізації поставленої мети були вирішені наступні основні **завдання**:

1. Встановити лінійні комп'ютерно-томографічні розміри ВКЗ у практично здорових чоловіків із різних адміністративно-територіальних регіонів України та регіональні відмінності даних розмірів.

2. Визначити відмінності комп'ютерно-томографічних розмірів ВКЗ у практично здорових чоловіків України різних краніотипів.

3. Встановити відмінності комп'ютерно-томографічних розмірів ВКЗ у практично здорових чоловіків України з різними типами обличчя.

4. Визначити відмінності комп'ютерно-томографічних розмірів ВКЗ у практично здорових чоловіків центрального регіону України різних краніотипів.

5. Встановити відмінності комп'ютерно-томографічних розмірів ВКЗ у практично здорових чоловіків центрального регіону України з різними типами обличчя.

6. Розробити прогностичні регресійні моделі індивідуальних лінійних комп'ютерно-томографічних розмірів ВКЗ у залежності від кефалометричних показників практично здорових чоловіків із різних регіонів України.

Об'єкт дослідження – залежність розмірів ВКЗ від регіону проживання, краніотипу і типу обличчя.

Предмет дослідження – комп'ютерно-томографічні розміри ВКЗ у практично здорових чоловіків із різних регіонів України, особливості даних розмірів у представників різних краніотипів і типів обличчя, а також залежність даних розмірів від кефалометричних показників.

Методи дослідження: комп'ютерно-томографічні одонтометричні – для визначення та для встановлення комп'ютерно-томографічних розмірів ВКЗ; кефалометричні – для визначення краніотипу та типу обличчя; статистичні – для обґрунтування об'єктивності результатів дослідження.

Наукова новизна одержаних результатів. Уперше встановлені регіональні відмінності комп'ютерно-томографічних лінійних розмірів коронок ВКЗ та їх коренів у практично здорових чоловіків України: на верхній щелепі – у більшості випадків більші значення мезіо-дистальних і присінково-язикових розмірів коронок зубів у чоловіків північного регіону, ніж у представників центрального

(лише мезіо-дистальних розмірів) і західного регіонів, та більші значення висоти коронок зубів у чоловіків західного регіону, ніж у представників південного регіону; на нижній щелепі – у більшості випадків менші значення висоти коронок зубів у чоловіків південного регіону, ніж у представників західного, північного та центрального регіонів, та менші значення довжини ближнього кореня перших зубів у чоловіків північного регіону, ніж у представників південного, центрального (лише лівого) та західного (лише лівого) регіонів.

Уперше у практично здорових чоловіків України різних краніотипів встановлені відмінності комп'ютерно-томографічних лінійних розмірів коронок ВКЗ та їх коренів: на верхній щелепі – у доліхоцефалів, у більшості випадків, менші значення присінково-язикових розмірів коронки та шийки, а також мезіо-дистальних розмірів шийки (лише других зубів), ніж у представників інших краніотипів; на нижній щелепі – у доліхоцефалів менші значення довжини дальнього кореня перших зубів, ніж у брахіцефалів і гіпербрахіцефалів.

У практично здорових чоловіків України з різними типами обличчя вперше встановлені відмінності комп'ютерно-томографічних лінійних розмірів коронок ВКЗ та їх коренів: на верхній щелепі – у чоловіків із середнім обличчям, у більшості випадків, менші значення мезіо-дистальних розмірів коронки, ніж у представників із широким і вузьким обличчям, а у чоловіків із широким обличчям – більші значення мезіо-дистальних розмірів шийки других зубів, ніж у представників із дуже вузьким обличчям; на нижній щелепі – більші значення висоти та довжини дальнього кореня других зубів у чоловіків із дуже вузьким обличчям, ніж у представників із середнім обличчям.

Уперше встановлені краніо- та фаціотипологічні особливості відмінностей комп'ютерно-томографічних лінійних розмірів коронок ВКЗ та їх коренів у чоловіків центрального регіону України. Так, у представників різних краніотипів встановлено: на верхній щелепі – у доліхоцефалів, у більшості випадків, менші значення мезіо-дистальних розмірів зубів, ніж у гіпербрахіцефалів, присінково-язикових розмірів зубів, ніж у брахі- та гіпербрахіцефалів, а також більші значення довжини присінкового ближнього кореня других зубів у гіпербрахіцефа-

лів, ніж у мезоцефалів; на нижній щелепі – у мезоцефалів, у більшості випадків, менші значення висоти зубів і довжини ближнього кореня лівих зубів, ніж у гіпербрахіцефалів, а також мезіодистального розміру коронки, ніж у брахі- та гіпербрахіцефалів; а у гіпербрахіцефалів, у більшості випадків, більші значення довжини дальнього кореня, ніж у представників інших краніотипів. У представників різних типів обличчя встановлено: на верхній щелепі – лише у чоловіків із дуже вузьким обличчям менші значення довжини присінкового дальнього кореня правого другого зуба, ніж у представників із іншими типами обличчя; на нижній щелепі – у чоловіків із широким обличчям, у більшості випадків, більші значення висоти зубів, ніж у представників із середнім і дуже вузьким обличчям, висоти коронки лівого другого зуба, ніж у представників із іншими типами обличчя, мезіо-дистальних розмірів коронки перших зубів, ніж у представників із середнім і дуже вузьким обличчям, мезіо-дистальних розмірів шийки перших зубів, ніж у представників із вузьким обличчям, а також довжини дальнього кореня перших зубів, ніж у представників із дуже вузьким обличчям.

Уперше у практично здорових чоловіків із різних адміністративно-територіальних регіонів України розроблені та проведений аналіз достовірних регресійних моделей індивідуальних лінійних розмірів ВКЗ (з коефіцієнтом детермінації R^2 більшим, ніж 0,5) у залежності від особливостей кефалометричних показників, краніотипу та типу обличчя.

Практичне значення одержаних результатів. Встановлені межі процентильного розмаху комп'ютерно-томографічних лінійних розмірів ВКЗ у практично здорових чоловіків із різних адміністративно-територіальних регіонів України, різних краніо- та фаціотипів загалом, а також у представників центрального регіону України, та розроблена на основі регресійних моделей комп'ютерна програма для визначення індивідуальних метричних характеристик ВКЗ у залежності від кефалометричних показників чоловіків із різних регіонів України «TeethNorm», дозволять покращити діагностику і лікування стоматологічної патології.

Результати досліджень використовують у лекційних курсах та в ході проведення практичних занять на кафедрах: анатомії людини і ортопедичної стоматології Вінницького національного медичного університету ім. М. І. Пирогова; анатомії людини Національного медичного університету імені О.О. Богомольця; нормальної анатомії Львівського національного медичного університету імені Данила Галицького; анатомії людини Тернопільського національного медичного університету імені І.Я. Горбачевського; анатомії, топографічної анатомії та оперативної хірургії Вищого державного навчального закладу України «Буковинський державний медичний університет».

Особистий внесок здобувача. Дисертантом самостійно проведений патентно-інформаційний пошук, проаналізовано наукову літературу, здійснено розробку основних теоретичних та практичних положень проведеного дослідження. Самостійно проведене визначення комп'ютерно-томографічних розмірів ВКЗ, статистична обробка отриманих результатів, написаний аналітичний огляд літератури та всі розділи власних досліджень. Разом з науковим керівником проведений аналіз результатів дисертаційного дослідження та сформульовані висновки. У сумісних з науковим керівником та колегами публікаціях автору належать основні результати стосовно особливостей комп'ютерно-томографічних розмірів ВКЗ. Частина результатів, що стосуються первинних кефалометричних показників і розрахованих за їх значеннями краніютипи і типи обличчя у практично здорових чоловіків із різних адміністративно-територіальних регіонів України, отримані сумісно зі старшим викладачем кафедри ортопедичної стоматології Вінницького національного медичного університету ім. М. І. Пирогова Орловським В. О. і також були використані в трьох сумісних публікаціях і його кандидатській дисертації (Орловський В. О. «Комп'ютерно-томографічні розміри малих кутніх зубів у практично здорових чоловіків із різних регіонів України та їх зв'язок із показниками кефалометрії» [Текст] : дис. ... к-та мед. наук : 14.03.01 / Орловський Володимир Олександрович; Вінницький національний медичний університетт ім. М. І. Пирогова. – Вінниця, 2019. – 296 арк. : 65 табл.). В опублікованому свідоцтві про реєстрацію авторського права на твір (Комп'ютерна

програма для визначення індивідуальних метричних характеристик великих кутніх зубів в залежності від кефалометричних показників чоловіків із різних регіонів України «TeethNorm» / О. О. Коцюра, М. П. Костенко. – № 90674; заявл. 11.05.2019, № 89443, опубл. 06.06.2019) дисертанту належать результати моделювання розмірів ВКЗ у залежності від кефалометричних показників, на основі яких науковим співробітником науково-дослідного центру Вінницького національного медичного університету ім. М. І. Пирогова Костенком М. П. створена комп'ютерна програма.

Апробація результатів дисертації. Основні положення роботи викладені та обговорені: на науково-практичній конференції з міжнародною участю «Актуальні питання клінічної анатомії та оперативної хірургії» присвяченої 75-річчю від дня народження професора В. І. Проняєва (м. Чернівці, 2016); науково-практичній конференції «Інноваційні технології в стоматології» (м. Тернопіль, 2016); науково-практичної конференції з міжнародною участю «Ternopil Dental Summit» присвяченої 60-ти річчю ДВНЗ «Тернопільський державний медичний університет імені І. Я. Горбачевського МОЗ України» (м. Тернопіль, 2017); науково-практичній конференції «Прикладні аспекти морфології» присвяченої пам'яті професорів-морфологів Г. В. Терентьєва, О. Ю. Роменського, Б. Й. Когана, П. П. Шапаренка, С. П. Жученка (м. Вінниця, 2017); науково-практичній конференції з міжнародною участю «Індивідуальна анатомічна мінливість органів та структур організму в онтогенезі» присвяченої 60-річчю від дня народження професора Ю. Т. Ахтемійчука (м. Чернівці, 2018); науково-практичній конференції «Актуальні питання морфогенезу та ремоделювання тканин і органів у нормі та патології» (м. Тернопіль, 2018); Всеукраїнській науково-практичній конференції «Актуальні проблеми сучасної ортопедичної стоматології» (м. Вінниця, 2019); науково-практичної конференції з міжнародною участю «Ternopil Dental Summit» (м. Тернопіль, 2019).

Публікації. За матеріалами дисертації опубліковано 17 наукових праць (з них 8 самостійних). 10 статей опубліковано у фахових наукових виданнях (з них 5 статей в журналах, що включені до міжнародних наукометричних баз, у тому

числі 3 - до наукометричної бази Web of Science). 1 стаття опублікована в закордонному науковому журналі (Польща), що входить до наукометричної бази Scopus. Отримане авторське свідоцтво на твір.

Структура та обсяг дисертації. Дисертація представлена українською мовою на 281 сторінках (з яких 147 сторінок залікового машинописного тексту) і складається з анотації, змісту, переліку умовних позначень, символів, одиниць, скорочень та термінів, вступу, огляду літератури, загальної методики й основних методів дослідження, трьох розділів власних досліджень, аналізу й узагальнення результатів дослідження, висновків, списку використаних літературних джерел, з яких 111 викладені кирилицею та 164 – латиницею, а також трьох додатків. Дисертація ілюстрована 7 рисунками і 63 таблицями.

РОЗДІЛ 1

ОГЛЯД ЛІТЕРАТУРИ

1.1. Особливості будови великих кутніх зубів. Методи їх дослідження

Зуби – це орган розташований у ротовій порожнині хребетних тварин, що слугують для розкушування і пережовування їжі; слугують для нападу, захисту і у людини – приймають участь у формуванні мовлення та мають естетичну функцію [4, 64].

Прорізування молочних зубів у людей починається після досягнення віку шести місяців. Поступово у віці до 12 років вони замінюються на постійні. Останніми у віці 18-25 років з'являються зуби мудрості. Доросла людина звичайно має 32 зуби. В залежності від їх функцій і особливостей будови виділяють: різці, ікла, премоляри та моляри [11, 52].

Різці (в зубній формулі I) - мають різальний край, який пристосований для відкушування їжі; ікла (в зубній формулі C) слугують для розривання їжі, премоляри (в зубній формулі P) та моляри (в зубній формулі M) подрібнюють і перемелюють їжу, що в свою чергу збільшує поверхню їжі на яку можуть діяти травні ферменти. Премоляри не мають молочних попередників; разом їх називають щічними зубами. Зубна формула для постійних зубів людини: I 2/2, C 1/1, P 2/2, M 3/3 [24-26].

Вивчаючи гістогенез розвитку зубів варто відмітити, що тканини зубів є похідними слизової оболонки порожнини рота. Зуби розвиваються із зубних зачатків, кожен з яких складається з трьох компонентів: емалевого органу, що утворюється з багат шарового епітелію вистилки порожнини рота; зубного сосочка, утвореного мезенхімою, який в подальшому заповнює порожнину емалевого органу; зубного мішечка – похідного мезенхіми, що знаходиться навколо емалевого органу [20, 33, 131, 134].

В подальшому емалевий орган приймає участь в утворенні емалі зуба, зубний сосочок же приймає участь в утворенні пульпи і дентину, а зубний мішечок – періодонту та цементу [2, 20, 57].

У розвитку зуба виділяють три основні періоди. Перший період - період закладки зубних зачатків, коли епітеліальна вистилка порожнини рота утворює виріст в мезенхіму. Даний виріст має вигляд зубної пластинки, на якій в подальшому з'являються специфічні вирости, що мають назву зубних бруньок, які в подальшому перетворюються в емалевий орган, а мезенхіма – в зубний сосочок і зубний мішечок. Другий період - формування і диференціація зубних зачатків завершується для молочних зубів в період близько до четвертого місяця пренатального розвитку. В подальшому відбувається диференціювання зубних зачатків і підготовка до утворення твердих тканин зуба – дентину та емалі. Третій період - гістогенез тканин зуба, є найбільш тривалим і складається з таких етапів як дентиногенез, коли із твердих тканин утворюється дентин; амелогенез – відбувається після відкладання перших шарів дентину по периферії зубного сосочка в епітеліальному емалевому органі і починає продукуватись емаль навколо дентину, що формується. Мінералізація дентину здійснюється одонтобластами за допомогою їх відростків. Проте внаслідок того, що утворення органічної матриці дентину випереджає його мінералізацію, внутрішній шар – предентин, завжди залишається немінералізованим [2, 13, 20, 57].

Зуб складається з таких анатомічних частин як коронка, корінь (частина яка розміщена у альвеолі щелепи) і шийка зуба (місце переходу коронки в корінь). Усередині зуба знаходиться порожнина. Вона поділяється на коронкову частину і кореневі канали, які у ділянці верхівки закінчуються апікальним отвором. Місце переходу коронкової частини зуба в канали називається гирлом кореневого каналу. Пульпа зуба знаходиться в порожнині зуба [59, 63, 71].

Отож, розібравши базисні основи про функції та особливості будови зубів в цілому, необхідно зробити акцент на особливості великих кутніх зубів, причому окремо розібрати їхні особливості на верхній та нижній щелепах.

Серед усіх зубів перші моляри верхньої щелепи - найбільші за розмірами.

Їх середня довжина становить близько 22 мм. Жувальна поверхня даного зуба має форму закругленого ромба; утворена чотирма горбами, що відокремлені одні від одного відокремленими фісурами. Передній щічний горб відділяється фісурою, яка починається на передній поверхні зуба, пересікає жувальну поверхню і переходить на щічну поверхню, де продовжується до середини коронки. Друга борозна починається на задній поверхні зуба, переходить на жувальну поверхню, потім на язичну, і відділяє нижньоязиковий горб. Третя фісура сполучає дві попередні. На передньоязиковому горбі як правило є додатковий горбок, який ніколи не досягає жувальної поверхні. У 56% випадків даний зуб має три корені і чотири канали. Два канали розташовано в мезіальному щічному корені, який має сплющену форму. В меншій кількості випадків - три корені і три канали. У 3 % випадків може бути п'ять коренів - додатковий корінь знаходиться тоді в дистальному щічному корені [12, 16, 18, 204, 211, 216, 239].

Другий моляр верхньої щелепи має середню довжину близько 21 мм. Форма коронки, як і форма оклюзійної поверхні, має чотири варіанти. З них - два варіанти мають чотири горба і два - три горба. При першому варіанті форма коронки і оклюзійної поверхні така ж, як і в першому молярі верхньої щелепи. Відмінність між першим і другим моляром верхньої щелепи полягає у відсутності додаткового горбка. Такий варіант є досить поширеним серед європейців і зустрічається близько у 45% населення. Другий варіант є менш поширеним: коронка подовжена в мезіально-дистальному напрямку, що нагадує собою витягнуту призму де визначаються мезіально-щічна і дистально-язикова фісури. Третій варіант досить нагадує другий - коронка також витягнута в довжину, але на відміну від попереднього варіанту - визначаються три добре виражених горба, розділених фісурами. При четвертому варіанті - коронка, як і жувальна поверхня, має трикутну форму, яка утворена трьома горбами: одним язиковим і двома щічними (даний варіант зустрічається приблизно у 52% випадків). Зазвичай даний зуб має три корені і три канали (такий варіант зустрічається у 65%), три корені і чотири канали (такий варіант зустрічається у 35%) [12, 18, 79, 216, 217, 237, 239].

Треті моляри верхньої щелепи менші за розмірами ніж попередні, мають

непостійну форму і величину. Коронка в більшості випадків має три горби, рідше – чотири. В найбільш рідкісних випадках може зустрічатися і п'ять-шість горбів. Окрім розмірів і кількості горбків кількість коренів у зубі також є нестабільною і може коливатися від одного до п'яти [12, 18, 155, 219].

Середня довжина першого моляра нижньої щелепи складає близько 22 мм. Найбільш часто (близько 65% випадків) зустрічається варіант коли він має два корені і три канали (два в мезіальному корені і один в дистальному). Менш розповсюдженим є варіант коли виявляються чотири канали (два в мезіальному і два в дистальному; зустрічається у 29% випадках). Найрідкіснішим є варіант коли виявляється лише два канали – такий вид зустрічається в 6% випадків. Жувальна поверхня даного зуба утворена п'ятьма горбами, за рахунок того, що в мезіально-дистальному і щічно-язиковому напрямках проходять дві фісури і додаткова борозна в задньощічній ділянці на жувальній поверхні. Таким чином утворюється три горба на щічній поверхні і два на язиковій. Щічна поверхня першого моляра нижньої щелепи опукла, має добре виражену ознаку кривизни коронки. Порожнина зуба крупного розміру і трохи зміщена в мезіально-щічному напрямку. Якщо розглядати найбільш поширений варіант будови даного зуба то у мезіальному корені виявляють щічний канал, який розташований в мезіально-щічному напрямі, і язичний канал, що розташований на відстані кількох міліметрів від нього. Порожнина зуба може мати форму прямокутника із заокругленими кутами (циліндрична) якщо зустрічається менш поширений варіант будови зуба – коли у ньому чотири канали замість трьох [12, 18, 62, 156].

Другі моляри нижньої щелепи поступаються за розмірами першим молярам. На жувальній поверхні проходить дві фісури – одна в мезіально-дистальному напрямку і розділяє щічний і язиковий горби, друга – в язиково-щічному напрямку і досягає сліпої ямки в середині щічної поверхні. У більшості випадків зуби мають два корені - мезіальний і дистальний, та три канали – один дистальний і два мезіальних. В більш рідкісних випадках зустрічаються варіанти коли може бути чотири канали (зустрічається у 28%) і може траплятися злиття до купи мезіального і дистального каналів (зустрічається у 8% випадків) [12, 18, 165].

Різноманітна форма характерна також для третіх молярів нижньої щелепи. Найбільш часто зустрічається варіант коли жувальна поверхня зуба складається з чотирьох горбів. Більш рідкими варіантами є треті моляри нижньої щелепи з п'ятьма горбками, і як виключення зустрічаються випадки, коли горбків може бути до семи. Коренів зазвичай два, проте іноді вони можуть зливатися в один – конусовидний [12, 18, 171].

Методи дослідження зубів можна поділити на клінічні і параклінічні. До клінічних методів відносять суб'єктивні і об'єктивні методи. Параклінічні методи включають інструментальні, лабораторні і рентгенологічні, такі як електроодонтодіагностика, клінічні і біохімічні показники крові, слини тощо, температурна діагностика, контактна рентгенографія, люмінісцентна діагностика, панорамна, позаротова рентгенографія, реопародонтографія, індексні оцінки стану порожнини рота, ортопантомографія тощо [133].

Об'єктивне обстеження має за свою мету виявити в процесі огляду зміни в щелепно-лицевій ділянці за допомогою огляду, перкусії, пальпації та інших додаткових методів. При зовнішньому огляді звертають увагу на стан шкірних покривів пацієнта, ступінь оголення зубів, симетричність обличчя тощо [135].

Огляд зубів проводять справа наліво, спочатку оглядаючи зуби нижньої щелепи, а потім зліва направо оглядають зуби верхньої щелепи, завжди починаючи з молярів. Огляд проводять з використанням таких інструментів як дзеркало і зонд. При огляді звертають увагу на форму і величину зубів, їх колір. Під час перкусії зубів визначають стан пародонту. Постукування проводять пінцетом чи ручкою зонда. Виділяють вертикальну і горизонтальну перкусії. При вертикальній перкусії напрямом руху ударів проводиться відповідно до осі зуба, при горизонтальній – проходять у бічних напрямках. Пальпацію проводять пальцями руки в залежності від місця і розміру ураження. Загальноприйнятим є правило спочатку пальпувати неушкоджену тканину і тоді по малу наближатися до епіцентру патологічного процесу. Також визначається ступінь болючості процесу і щільність дефекту. Рухливість зубів проводиться шляхом похитування зубів пінцетом. У нормі зуби мають непомітну, слабовиражену рухливість, яка може по-

силуватися при появі патологічних відхилень [153].

Необхідно також розглянути інструментальні методи дослідження стану зубів та оточуючих тканин.

Одним з таких методів є використання тестів з барвниками. Дані дослідження необхідні для того аби диференціювати зміни в кольорі емалі каріозного і некаріозного походження. Для проведення даних досліджень використовують розчин метиленового синього і водний розчин метиленового червоного. Також варто згадати ТЕР-тест, що використовують для визначення карієсрезистентності чи карієсприйняття [158, 222].

Електроодонтодіагностика заснована на принципі того, що будь яка тканина має певні характеристики збудливості. Мінімальна сила струму, що може викликати збудження (порогова) змінюється при появі того чи іншого патологічного процесу. За допомогою спеціального обладнання, що може точно визначати мінімальну порогову силу струму, визначають ступінь її зниження. Здорові зуби мають показники близько 2-6 мкА, а здоровий періодонт – 100-200 мкА. Проте зниження показників до 20-40 мкА вже може свідчити про наявність запального процесу. В той час як показники у 60 мкА характерні для некрозу коронкової пульпи. Погіршення патологічного процесу і омертвіння кореневої пульпи викликає показники у 100 мкА. Виражені патологічні процеси у періодонті змінюють показники до 200 мкА [166].

Ще одним методом інструментальної діагностики стану зубів є люмінесцентна діагностика. Дана методика базується на тому, що певні тканини і клітини мають здатність випромінювати світло певного кольору якщо на них повітити джерелом (або обробити заздалегідь спеціальною флюоресцентною речовиною) ультрафіолетового випромінювання, тобто первинна флюоресценція. Дана методика успішно використовується з метою визначення стану пломб, діагностики карієсу та диференційної діагностики захворювань порожнини рота [190, 222].

Практично аналогічним за методикою є метод транслюмінації – коли на тканини світять джерелом світла зеленого кольору. Дана методика допомагає

виявити демінералізовані ділянки твердих тканин зуба при різних патологічних станах [222].

Проте основним методом інструментальної діагностики протягом багатьох років був і залишається рентгенологічний, що використовується в різних варіаціях, але має за свою мету діагностувати різноманітні захворювання уражень зубів, пульпи, періодонту і пародонту. Принцип даної методики в усіх випадках однаковий – рентгенівські промені неоднорідно затримуються в тканинах в залежності від її щільності в обстежуваній ділянці. Тканини, що володіють найбільшою щільністю поглинають промені, у зв'язку з чим на плівці лишається біла ділянка – інакше кажучи негатив. Такими тканинами є кістки і зуби. В місцях де щільність тканин невелика – промені проходять крізь таку тканину і в даних місцях плівка дає темне зображення. При проведенні даного дослідження неабияке значення має правильне розташування напрямку променя – досліджувана ділянка (наприклад зуб) має бути у фокусі. Проте, варто відмітити, що щільність зуба неоднорідна. Так, емаль зуба має найбільшу щільність тіні, в той час як цемент і дентин – меншу а пульпа взагалі не затримує рентгенівські промені. Також варто відмітити існування такого явища як періодонтальна щілина – рівномірна темна смужка шириною 0,25 мм і менше, що заходиться між цементом кореня і компактною пластинкою альвеоли [255, 263, 270].

Якісно виконана рентгенографія дозволяє побачити різноманітні кісткові утворення, що межують з зубами – верхньощелепну пазуху, носові ходи, лобну пазуху, очноямкову порожнину тощо.

Найбільшого поширення в умовах поліклініки набула внутрішньоротова рентгенографія. Також широко розповсюджена панорамна рентгенографія яка здатна збільшити зображення у кілька разів і оцінити стан усієї зубо-щелепної системи в цілому. Схожа методика рентгенографічного дослідження – ортопантомографія дозволяє отримати зображення зігнутих верхньої і нижньої щелепи на одній плівці і таким чином також дозволяє провести порівняльну оцінку стану зубо-щелепної системи в різних її ділянках [263, 270].

Томографічне дослідження дозволяє отримувати пошарове зображення рі-

зних шарів кісткової тканини, що можна з успіхом застосовувати для оцінки та виявлення патологічних процесів у глибині тканини [263, 270].

Сіалографія – це метод радіоізотопного дослідження слинних залоз за допомогою використання рентгенконтрастного барвника на основі препарату йоду, який вводять у слинні залози у кількості близько 1 мл з подальшим проведенням рентгенологічного дослідження в прямій і бічній проекціях [263].

Таким чином можна зробити висновки: не зважаючи на схожі функції та джерела розвитку, великі корінні зуби мають різну анатомічну структуру у порівнянні один з одним та в залежності від розташування на верхній чи нижній щелепі, і більше того, відмічено, що існує безліч варіантів їхньої будови; на сьогодні лікарі володіють численними методами і методиками клінічного і параклінічного дослідження стану зубо-щелепної системи, що доповнюють одне одного і дозволяють в повній мірі виявляти патологічні процеси як в твердих так і в м'яких тканинах ротової порожнини.

1.2. Особливості показників кефалометрії та одонтометрії в залежності від етнічної чи регіональної приналежності особи

Кефалометрія – розділ антропометрії, що має за свою мету виявити особливості будови голови в цілому чи окремих її частин за допомогою уніфікованих методів вимірювання та опису. Вимірювання проводяться за допомогою антропометричних інструментів, використовуючи загальноприйняті анатомічні структури. Для оцінки вимірів та їх відношень використовуються спеціальні таблиці рубрикації або присвоюються бали.

Одонтометрія є сукупністю методів вимірювання зубів, що активно використовується в антропології, і аналогічно як і кефалометрія використовує спеціальні інструменти та загальноприйняті точки для вимірювання.

Результати кефалометричних та одонтометричних методів дослідження

широко використовуються в різних галузях науки: в першу чергу використовуються в антропології для прослідковування ходу еволюції людини, також активно застосовують в судовій медицині [141] з метою ідентифікації особи, визначення статі, приблизного визначення віку тощо, та останнім часом активно використовуються в дослідженнях направлених на пошук і визначення групової (зокрема регіональної та етнічної) мінливості [125, 157, 184, 187, 205, 206, 212, 261].

Особливості морфології передніх зубів верхньої щелепи серед етнічного населення Китаю були досліджені групою дослідників у 2015 році. В експерименті взяли участь 101 особа. Виявлено, що відношення ширини до висоти для центрального різця складає 87,75%, для латерального різця – 84,02 %, для ікла – 86,99 % [274].

Взаємозв'язок між особливостями антропометричних показників обличчя та параметрами верхнього різця досліджено індійськими вченими. З метою вивчення даного питання були задіяні 50 осіб - етнічних жителів Індії, яким виконали телерадіографічне дослідження та було виготовлено 50 гіпсових моделей з подальшим створенням тривимірного зображення різця. Результати дослідження виявили, що горизонтальні і вертикальні розміри обличчя не можна використовувати у якості орієнтиру для отримання інформації про будову різця [160].

Етнічний склад Саудівської Аравії є досить неодноманітним, і це відповідно може впливати на якість надання стоматологічної допомоги. Тому було проведено дослідження з метою провести порівняльний аналіз м'яких тканин обличчя серед етнічних саудитів та представниками європейських та американської національностей. В дослідженні взяла участь 61 особа, середній вік яких склав 23 роки. Виявлені ознаки обличчя специфічні саме для етнічного населення регіону, та значні розбіжності між отриманими показниками європейців та американців [116].

А. В. Борисенко та М.М. Шінкарук-Диковицькою [6-8] проведено серію досліджень щодо регіональних особливостей одонтометричних показників серед чоловічого населення з різних регіонів України. Так, в одному з досліджень було задіяно 410 чоловіків у віці від 19 до 35 років з різних адміністративно-

територіальних регіонів України, що у третьому поколінні були жителями свого регіону та соматично здоровими. В подальшому їм проводили стоматологічне обстеження, конусно-променевою комп'ютерну томографію з послідуною оцінкою отриманих даних відповідно до стандартів ВООЗ, та дерматогліфічне дослідження. Як наслідок – було виявлено специфічні дерматогліфічні маркери які пов'язані з варіантами розвитку карієсу різної інтенсивності. В іншому дослідженні досліджувалася частота ураження карієсом молярів на верхній та нижній щелепах серед дорослого чоловічого населення з різних регіонів України. Виявлено, що частіше зустрічається ураження поверхневим карієсом молярів на нижній щелепі, у той час як ураження карієсом середньої інтенсивності зустрічається більш часто на молярах верхньої щелепи. Виявлено розбіжності ураження тим чи іншим ступенем карієсу серед населення різних регіонів України.

Індійськими вченими досліджено особливості взаємозв'язку між формою обличчя та показниками зубної формули верхньої щелепи для населення, що проживає у штаті Бапуджі. Вивчено контурні форми обличчя та одонтометричні показники різців верхньої щелепи у 79 чоловіків і 121 жінки у віці 18-28 років. Результати статистичної обробки даних виявили кореляцію більше 50% між формою зуба та формою обличчя при використанні візуального методу і 31,5% при використанні методу Вільяма [192].

В Саудівській Аравії проведено експеримент за участі 94 чоловіків віком 18-35 років з метою виявити взаємозв'язки між формою обличчя та формою зубів. В 49,65% досліджуваних виявлено квадратний звужений тип обличчя, та в 56,38% - квадратний звужений тип зубів. В переважній більшості випадків виявлено зв'язок помірної сили (в 35,31% випадків) і тільки в 13,65% випадків не виявлено будь яких зв'язків [170].

С. Uradhyaya та D. Kafle [266] дослідили особливості зубо-щелепних аномалій серед населення Непалу. Ортодонтичне обстеження 341 пацієнта виявило аномалії у 5,29% пацієнтів, зокрема – у 5,83% чоловіків та 5,0% жінок.

Групою нігерійських дослідників обстежено 400 здорових дітей, етнічних жителів Нігерії, віком від 12 до 15 років. Проведено одонтометричне досліджен-

ня, а саме визначено мезіодистальні і щічно-язикові розміри зубів. Дослідження виявило, що середні розміри зубів у чоловіків були більшими ніж у жінок, крім другого верхньощелепного премоляра. Найменшу різницю по розмірах виявлено в перших нижніх молярах у чоловіків, та перших нижніх молярах у жінок (коефіцієнти варіації відповідно 4,94 та 4,88). Найбільшу різницю виявлено в перших молярах верхньої щелепи та бокових різцях верхньої щелепи [150].

А. П. Воробець, П. А. Гасюк і С. О. Росоловська [14, 15] досліджували гендерні особливості розвитку карієсу та одонтометричних показників великих кутніх зубів, що проживають на території Тернопільської області. З метою дослідження особливостей протікання прекаріозних процесів в фісурах і ямках великих корінних зубів було проведено дослідження в якому взяли участь студенти II–V курсів. Сумарно у дослідженні взяло участь 250 осіб (по 125 чоловіків та жінок) у віці від 18 до 25 років, яким провели одонтометричне дослідження відповідно до методики О.О. Зубова і Н. І. Халдєєвої. В подальшому виготовлялися тонкі і товсті шліфи зубів, на яких проводили вимірювання. В подальшому усі дані проходили статистичну обробку. Результати дослідження показали, що у чоловіків досліджувані показники середнього модулю ряду великих кутніх зубів переважають в порівнянні з жінками, тобто абсолютні розміри ряду нижніх молярів у жінок менші ніж у чоловіків.

Виявлено особливості одонтометричних показників для населення Бангладешу під час дослідження 2892 зліпків зубів осіб, у віці 18-24 роки, що проживають на території даної країни. Під час вивчення зліпків визначалися усі одонтометричні показники. Результати дослідження виявили певні особливості морфологічної будови зубів, що в подальшому можна застосовувати у практичній стоматологічній практиці [115].

Для дослідження зв'язку між показниками ширини передніх зубів верхньої щелепи та особливостями параметрів обличчя, групою вчених було відібрано особи віком від 18 до 36 років – представників малайзійської та китайської етнічних груп. Вимірювалися основні одонтологічні показники. Результати статистично оброблялися. Виявлено кореляції ширини центральних різців та показників

міжпульпарної відстані ($r = 0,99$) і ширина бічних різців та ікол з міжзубною шириною ($r = 0,94$) та міжканальною відстанню ($r = 0,99$) [183].

Питання взаємозв'язку кефалометричних і одонтометричних показників, та можливість побудови на основі них моделей, що в подальшому можуть знайти своє практичне застосування в стоматологічній практиці піднімалося вченими не один раз [136, 137, 140, 144, 163, 196-198, 208, 209], адже такі моделі можуть бути застосовані лікарями не тільки для індивідуального підходу до кожного пацієнта але і для скринінгових масових обстежень з метою передбачення виникнення тієї чи іншої патології, і, таким чином, створювати групи ризику, які потребуватимуть особливого стоматологічного нагляду в подальшому [147, 164, 188, 199, 218, 229, 241, 242, 245].

Так, Марченко А. В. та іншими [60, 61] було поставлено за мету розробити регресійні моделі транзверзальних розмірів верхньої та нижньої щелепи та сагітальних характеристик зубної дуги в залежності від особливостей показників отриманих при вимірюванні розмірів зубів та голови. Результати показали, що у здорових юнаків можливо моделювання досліджуваних даних на основі урахування показників отриманих при одонтометрії та кефалометрії. Найчастіше до кефалометричних показників входили – найбільший обхват голови, поперечна дуга, вушний діаметр та зовнішньоочна ширина.

Кефалометричні дослідження були проведені в експерименті на базі науково-дослідного центру Вінницького національного медичного університету ім. М.І. Пирогова з метою виявлення зв'язків комп'ютерно-томографічних параметрів ліквороутримуючих структур головного мозку та антропометричними показниками. В одному з них у обстеженні взяло участь 82 юнаки та 86 дівчат, що були соматично здорові, та 31 юнак і 44 дівчини, що страждали на епілепсію; їм було проведено кефалометричне та КТ дослідження. Усі вони у третьому поколінні були мешканцями Подільського регіону України. У результаті було виявлено відмінності у будові структур головного мозку в залежності від кефалометричних даних. В іншому дослідженні було анкетовано 1722 юнаків та дівчат у віці від 16 до 21 року, мешканців Подільського регіону у третьому поколінні, се-

ред яких для дослідження було відібрано 602 юнаки та 537 дівчат після психофізіологічного та психогігієнічного анкетування. В подальшому після проведення додаткових методів дослідження кількість піддослідних зменшили до 168 осіб, яким провели антропометричне і КТ дослідження. Виявлено статистично значущі кореляції даних КТ досліджень головного мозку з певними показниками соматотипу (товщина шкірно-жирової складки, жирова маса тіла, частина діаметрів та охватних розмірів тіла, м'язова маса тіла, кісткова маса тіла, повздовжні розміри тіла, мезоморфний компонент маси тіла) [27, 28].

В. О. Орловський [66, 68] приділив увагу вивченню малих корінних зубів, а саме – дослідженню відмінностей їх розмірів серед чоловіків серед різних регіонів України та з різними кефалометричними показниками. Для дослідження було відібрано 200 здорових чоловіків з різних регіонів України яким проводили стоматологічних огляд та проводили кефалометричні дослідження. Статистична обробка результатів проводилася в програмі “Statistica 6.1”. Результати досліджень показали, що найбільша кількість відмінностей в кефалометричних показниках виявлена для одонтометричних показників перших малих кутніх зубів у порівнянні з другими. Також виявлено залежності у розмірах коренів зубів та формою голови.

Метою дослідження малайзійських вчених була оцінка кефалометричних та ортодонтних показників серед етнічних меншин, що проходили лікування в Кадазан Дусуні. Рентгенологічне дослідження 248 осіб та послідуочий аналіз, показали специфічні морфологічні та ортодонтні особливості зубів у народних меншинах та виділити три класи будови зубів у них [268]. Схожі дослідження були проведені вченими з Судану [173], Нової Зеландії [174] та Ірану [175]. В той час як вченими з Бангладеш було запропоновано створити кефалометричний профіль нації з подальшим аналізом одонтометричних показників [238].

Т. П. Позур [72] звернув увагу на залежності параметрів зубної дуги і одонтометричних показників від типів обличчя. Проводячи аналіз літературних даних він акцентував, що приватна конституція в стоматології представлена характеристиками черепа, які необхідно враховувати в практичній діяльності при про-

веденні стоматологічного лікування.

Ю. Г. Шевчуком [92] досліджено особливості кефалометричних показників серед здорових та хворих на епілепсію юнаків і дівчат, що проживали на території Подільського регіону України. Виявлено відмінності не тільки кефалометричних але і соматотипологічних показників тіла людини між здоровими та хворими на епілепсію особами.

М. Adel та інші [112] дослідили кефалометричні та одонтометричні показники 300 дорослих єгиптян (218 жінок і 82 чоловіки у віці від 18 до 55 років) вивчаючи рентгенограми. Виявлено специфічні залежності між певними кефалометричними показниками та розмірами різців.

М. М. Шінкарук-Диковицька зі співавторами [95-98, 102, 103] дослідила в численних роботах регіональні особливості як одонтометричних так і кефалометричних показників серед населення України. Так, в одній з робіт виявлено регіональні особливості кефалометричних показників серед здорових чоловіків з різних регіонів України. Результати показали відмінності в кефалометричних показниках між жителями східного, північного і центрального регіонів у порівнянні з західним і південним. В іншому дослідженні порівнювалися кефалометричні показники у осіб, що мали різні типи обличчя. Виявлено збільшення поперечних та зменшення повздовжніх розмірів між різними типами обличчя. Серед робіт, що вивчали одонтометричні показники варто відмітити дослідження, де вивчалися регіональні особливості стану тканин пародонту серед чоловіків з різних регіонів України. Статистична обробка отриманих даних показала, що найбільш значущі відмінності між територіальними регіонами виявлено для жителів західного і центрального регіонів, а при аналізі природничих – між жителями лісостепу і Карпат. Аналогічні дослідження проводилися з метою виявлення регіональної залежності захворюваності на хронічний періодонтит, кістогранулеми, кісти премолярів і показники відсутності зубів.

Е. Я. Школьнік [106] вивчав особливості кефалометричних показників серед здорових чоловіків та хворих на гострий гнійний гайморит.

Окрім того, численні дослідження проведені вченими на Близькому Сході,

в Індії, Пакистані, Кореї, Колумбії, США [113, 114, 117, 132, 143, 185, 220, 234, 249] з метою дослідження особливостей розмірів зубів та голови серед представників етнічних меншин та різних національностей. В більшості з них виявлено специфічні особливості, що в подальшому можна використовувати для індивідуального підходу до того чи іншого пацієнта чи групи пацієнтів, адже поняття «естетики» є досить специфічним для різних національностей. Також варто звернути увагу на результати досліджень, що вказують на різноманітність поширеності тих чи інших захворювань в різних регіонах країн, серед різних етнічних меншин, що підтверджують дані українських вчених і вкотре підштовхують нас до впровадження індивідуального підходу до пацієнта і впровадження результатів досліджень в практику для проведення скринінгових досліджень, що дозволять створити групи ризику, які потребуватимуть більш ретельного і частого огляду у стоматолога [123, 149, 154, 168, 172, 195, 202, 236, 254, 256].

1.3. Сучасні можливості використання одонтометричних та кефалометричних характеристик у стоматологічній практиці

Розвиток інструментальних методів дослідження та удосконалення знань про варіації, особливості будови зубів покращили можливості надання стоматологічної допомоги [124, 130, 159, 162, 186, 228, 230, 232, 257, 262]. Проте, незважаючи на це, впровадження нових даних, отриманих в результаті експериментальних досліджень досі не набуло широкого вжитку, особливо в Україні. Однією з причин цього є недостатня глибина досліджень, які не враховують всіх показників необхідних для повноцінної роботи з пацієнтом [127, 189, 200, 235, 264, 265]. Кожне нове дослідження дозволяє прибирати «білі плями» та покращувати імплементацію новітніх даних, що вкотре підкреслює актуальність досліджуваної тематики.

Зважаючи на це необхідно розглянути досягнення вітчизняних та інозем-

них дослідників щодо можливості використання даних отриманих при кефалометричному та одонтометричному дослідженнях у практичних цілях.

P. Ausoni зі співавторами [126] запропонували створити модель, що дозволила б на основі одонтометричних даних прогнозувати наслідок лікування пацієнтів класу 3. Для виконання поставленої мети вченими було зібрано кефалометричні та одонтометричні дані 54 пацієнтів 3 класу – 32 жінки і 22 чоловіки. В залежності від отриманих даних їх поділили на три фенотипи: гіпердивергентний (HD), гіперм'яндебікулярний (HM) та збалансований (Bal). Виявлено, що поділення пацієнтів відповідно до кластерів допоможе оцінити ризики невдалого стоматологічного лікування індивідуально для кожного пацієнта.

Іспанські вчені провели дослід за участі 359 підлітків, яким проводили одонтометричні виміри з використанням 2D комп'ютеризованої системи. Отримані дані були статистично оброблені. Розроблені прогностичні таблиці, які можуть бути застосовані у 90-92% для жінок і у 85% у чоловіків. Розроблені рівняння регресії допомогли прогнозувати розміри зубів людини [231].

Групою вчених досліджено показники мікроциркуляції тканин пародонту при їх патологічному стиранні, що ускладнений бруксизмом. Дослідження проведено на 120 пацієнтах віком від 18 до 65 років яким провели одонтометричне дослідження включно з доплерівською флоуметрією. Виявлено зміни в рівні мікроциркуляції в залежності від зміни анатомічної форми зуба, що в подальшому можна використати з метою корекції ортопедичного лікування [3].

П. А. Гасюком, Н. Я. Ковтуном та А. Б. Воробецем [19] досліджувалися особливості будови малих кутніх зубів. Дослідження виявили ряд морфометричних параметрів за допомогою яких стало можливо отримувати одонтологічні варіанти малих кутніх зубів верхньої та нижньої щелепи, що дозволить покращити уявлення про різноманітність будови даних зубів.

Одним з питань що здавна цікавлять дослідників було визначення впливу одонтометричних показників зубів на тактику стоматологічного лікування. Індійськими вченими проведено обстеження 200 осіб, котрим проводили рентгенологічне дослідження великих кутніх зубів окремо на верхній та нижній щеле-

пах. Досліджувані одонтометричні показники в подальшому підлягали статистичній обробці (аналіз проводився на рівні значущості 5%). При порівнянні отриманих даних виявлено суттєву відмінність між товщиною залишкового дентину на великих кутніх зубах верхньої та нижньої щелепи [223].

Л. А. Дегтяревою та Е. И. Беленовою [30] при дослідженні 387 студентів у віці від 17 до 32 років виявлено особливості конституції, що впливають на тяжкість хронічного верхівкового періодонтиту. Так, найбільша кількість легкого перебігу захворювання виявлена серед нормостеніків, в той час як найважчі форми спостерігалися здебільшого у гіперстеніків; дані можна в подальшому використовувати з метою формування груп ризику несприятливого перебігу даного захворювання.

Результати дослідження Дмитрієва М. О. [31, 32] дозволяють врахувати не тільки одонтометричні показники але й показники м'яких тканин обличчя при проведенні ортодонтичного лікування, що дозволить покращити естетичні і функціональні дані.

Визначено чинники, що можуть впливати на прогноз лікування різців. Проведено одонтометричне дослідження у 60 пацієнтів віком 7-22 роки з різноманітними захворюваннями зубів. Обробка отриманих результатів виявила, що єдиним фактором який достатньо впливає на тривалість лікування є висота зуба [142].

Порівняльний аналіз морфологічного лицевого індексу Ізара та величини кутів нижньої щелепи показав пряму кореляційну залежність між досліджуваними показниками ($r = 0,82$, $p < 0,001$). В подальшому дані дослідження можуть бути використані при ортодонтичному лікуванні [39].

Р. Araya-Díaz, G. A. Ruz та Н. М. Palomino [122] з метою покращення надання стоматологічної допомоги було запропоновано створити багатовимірну кефалометричну базу даних. Для цього було вирішено провести попередню кластеризацію, на основі аналізу 100 рентгенограм зібраних серед хворих з їхньою обробкою для виявлення закономірностей черепно-лицевої морфології.

З метою покращення естетичних результатів стоматологічного лікування

групою дослідників проведено дослідження 167 осіб, у яких в стоматологічному анамнезі не виявлено медичних маніпуляцій, та при дослідженні встановлено правильний прикус. Проведено одонтометричне дослідження яке включало вимір вестибуло-орального нахилу зубів верхньої та нижньої щелепи. Отримані після статистичної обробки дані свідчать про відсутність гендерних розбіжностей в досліджуваних показниках, та статистично значущі відмінності лише для ікла верхньої щелепи та нижнього другого премоляру [179].

Н. Я. Ковтун, М. С. Гнатюк і П. А. Гасюк [40] дослідили одонтогліфічні показники коронок малих кутніх зубів з метою виділити крайні варіанти можливих варіантів даних зубів. Дослідження дозволило визначити площу додаткових горбиків при різних типах малих кутніх зубів на верхній і нижній щелепах, що в подальшому дозволить створити групи ризику по ураженню карієсом.

Р. В. Козак [41] на основі проведених одонтометричних показників міжальвеолярної відстані зміг запропонувати практичне впровадження методики протезування керамічними та фотополімерними вкладками у осіб з патологічною стертістю зубів.

М. Fuyamada та іншими [161] досліджено можливості використання комп'ютерної томографії з метою створення тривимірних зображень з черепно-лицевими орієнтирами, що можуть бути використані у пацієнтів з нижньощелепним прогнатизмом. Порівняльний аналіз показав, що використання тривимірної моделі значно покращило результати лікування пацієнтів.

К. Н. Косенко та О. В. Громов [42, 43] представили результати дослідження, проведеного на 117 хворих генералізованим парадонтитом яким виконували одонтометричне дослідження на предмет рухливості зубів. Виявлено особливості досліджуваних показників в залежності від інтенсивності захворювання та віку хворого. Запропоновано використовувати дані дослідження з метою корекції лікування відповідно до віку і проявів деструктивно-запального процесу.

Визначено одонтометричні показники відношення між об'ємом пульпової камери та товщиною дентину в нормі та з урахуванням віку. Для дослідження було використано 408 препаратів зубів що були розділені відповідно до віку на 3

групи – від 21 до 35 років, від 36 до 50 років, від 51 до 75 років. Аналіз отриманих після рентгенографічного дослідження даних дозволив отримати дані, що можуть бути в подальшому застосовані в ортодонтичній практиці [44].

Групою українських дослідників досліджено поверхні 76 коронок тимчасових великих кутніх зубів залежно від розмірів та форми фасеток стирання. Усі тимчасові зуби видалені згідно з медичними показами. Усі вимірювання проведені з використанням стереоскопічного мікроскопа. Після статистичної обробки виявлено, що існують кореляції між терміном роботи великих кутніх зубів та площею фасеток стирання. Також виявлено різноманітні форми фасеток – серед них найбільш часто зустрічаються овальна, бобовидна і еліпсоподібна [90].

В. М. Кулигіна та Р. С. Аршинніков [53], а також Кулигіна В. М. і Мунтян О. В. [54] провели експеримент з метою визначення одонтометричних показників зубів у пацієнтів з різними видами зубних відкладень та визначення показників мікроциркуляції пульпи при місцевій анестезії. Дослідження проведено на 540 пацієнтах з різними типами зубного нальоту. Виявлено різні види кислотостійкості зубів у пацієнтів з різними видами нальоту. Найбільша ремінералізуюча стійкість та найбільш високий ступінь сприйнятливості до дії кислот виявлено в осіб з м'якими зубними відкладеннями. Дані дослідження дозволять розробити профілактичні і лікувальні заходи в осіб з різними видами зубних нашарувань.

І. Г. Скворцова [80] провела аналіз використання цефалометричного дослідження при лікуванні хворих на нижню мікрогнатію. Після проведення рентгенологічного методу дослідження були виміряні стандартні величини і проведена статистична обробка отриманих даних. Дослідження показало, що цефалометричне дослідження дозволило підвищити ефективність лікування хворих до 97%, за допомогою досягнення адекватної симетрії положення нижньої щелепи, корекції її висоти та ширини.

Група дослідників на чолі з Н. І. Смоляр [82, 83] провели оцінювання ступеня активності карієсу серед дітей шкільного віку (5-16 років) що проживали в Прикарпатському регіоні. Дослідження охопило 1301 дитину, яким провели одонтометричне дослідження та визначення активності карієсу. Виявлено - перша

ступінь активності у 34,13% обстежуваних дітей, друга ступінь активності – у 36,50% дітей і третя ступінь – у 19,25% обстежуваних дітей.

А. А. Тимофеевим та іншими [87] проведено дослідження з метою встановити показники періотестометрії зубів серед здорового населення. Дослідження було проведено на 39 особах – студентів у віці від 17 до 23 років. Середньостатистичні показники дозволили покращити показники точності даного дослідження і покращити таким чином діагностику захворювань пародонту – оцінити ступінь рухливості зубів.

О. А. Удодом та І. І. Зінкович [89] розроблено математичну модель для прогнозування ризику виникнення карієсу на тимчасових зубах, враховуючи результати одонтометрії та біохімічних показників ротової рідини дітей. Дослідження проведено на 48 дітях у віці від 4 до 6 років. Дослідження дозволило виявити показники, що мають найбільше значення для прогнозування виникнення карієсу і таким чином покращити надання стоматологічної допомоги.

Командою вчених на чолі з Leonі G. V. [201] проведено комп'ютерно-томографічне дослідження центральних і латеральних різців з метою покращити знання про морфологію даних зубів, особливо каналів коренів. Після статистичної обробки отриманих даних виявлено, що середня довжина центральних різців на нижній щелепі становить 20,71 мм а бокових – 21,56 мм. Також виявлено, що 60% центральних та 74% латеральних різців на верхній щелепі не мають додаткових каналів. Отримані дані дозволять покращити надання стоматологічної допомоги.

Вивчення біомеханічних показників зубів було поставлено за мету командою дослідників на чолі з Шнайдером С. А. [107]. Дослідження проведено з використанням двомірної моделі зубощелепного сегменту і в подальшому комп'ютерного аналізу, що дозволило виявити залежності між ступенем активності зон напруги та напрямком навантажень, що припадають на зуб.

Групою вчених досліджено особливості морфології зубної арки серед підлітків з південно-східної Азії, що страждають на нічні апное. Для дослідження

було задіяно 108 осіб яким проведено одонтометричні дослідження. Виявлено специфічні маркери, характерні для осіб що страждають від нічного апное [129].

М. Coquerelle та іншими [145] досліджено особливості ступеня мінералізації зубів від форми нижньої щелепи. Дослідники звернули увагу на попередні роботи, де вказано, що у приматів розвиток щелеп суттєво впливає на одонтометричні показники зубів. Для проведення експерименту було задіяно 73 жінки та 71 чоловік яким проводили морфометричні дослідження протягом 2 років. Виявилось, що існує міцний зв'язок між формою нижньої щелепи та ступенем дозрівання зубів, особливо для осіб жіночої статі.

D. Di Venere з колегами [148] досліджено особливості кефалометричних та одонтометричних показників при розладах будови нижньої щелепи. В дослідженні було задіяно 128 пацієнтів і взято до уваги 15 ознак, що вказують на захворювання нижньої щелепи. Після математичної обробки отриманих результатів було зроблено висновок, що у дітей або підлітків немає специфічних кефалометричних ознак, що зможуть в подальшому попередити про ризик розвитку патологій нижньої щелепи.

Групою європейських вчених визначено кефалометричні показники, що можуть бути використані для оцінювання зубно-скелетних дефектів при змішаному піднебінному розширенні. З метою проведення дослідження було відібрано 24 пацієнта, 18 дівчат та 6 хлопців, яким провели кефалометричні вимірювання і при лікуванні застосували одонтометричні та кефалометричні орієнтири. Результати лікування оцінювали згідно з незалежним вибіркоvim t-тестом. Виявлено, що даний метод може успішно використовуватися для лікування аномалій піднебіння за рахунок використання коректних даних під час лікувального процесу [167].

Р. А. Зесса зі співавторами [273] проведено проспективне дослідження для виявлення зв'язків між даними сканування м'яких тканин обличчя та цефалометричними вимірюваннями здійсненими після обробки даних бічних рентгенограм. Для дослідження було відібрано 312 осіб яким проведено цефалометричний аналіз з визначенням 11 орієнтирів на м'яких тканинах, 14 сагітальних та 14 вер-

тикальних кутів.

Проведено дослідження, метою якого було визначити положення нижньої третини кореня великих кутніх зубів в лінгвальному положенні. В експерименті взяли участь 31 особа, яким провели стоматологічне дослідження за допомогою комп'ютерної томографії з вимірюванням відстані між коренями зубів та товщини м'яких тканин. Виявлені параметри дозволили встановити, що відстань між верхівками зубів і лінгвальною пластинкою надає змогу переміщуватися зламаним кореням. Отримані дані в подальшому можуть бути застосовані в практичній стоматології при проведенні оперативних втручань [152].

Групою китайських вчених запропоновано метод повного відновлення зуба шляхом інтегрування даних 3D-сканера та наборів зображень комп'ютерної томографії, що дозволить успішно замінити традиційні гіпсові моделі [272].

Отож, підсумовуючи вищенаведені дані можна зробити висновок, що питання регіональних особливостей кефалометричних та одонтометричних показників активно досліджується в усьому світі протягом останнього десятиліття [180, 182, 203, 210, 227, 240, 250, 267]. Дослідження направлені на виявлення не тільки регіональних особливостей, як адміністративно-територіальних одиниць але також і природничих, історичних зон, регіонів з різними видами та інтенсивностями антропогенного забруднення. Багато досліджень націлені на виявлення розбіжностей у досліджуваних величинах серед різноманітних етнічних меншин. Результати деяких досліджень вже успішно впроваджуються в практичну діяльність лікарів різноманітних профілей [10, 84, 111, 138, 176, 177, 215, 221, 233, 252, 253], що має позитивний вплив на рівень стоматологічного здоров'я населення, що в свою чергу підвищує рівень життя населення.

Результати досліджень, які представлені у даному розділі дисертації, відображені в науковій статті у фаховому журналі [101].

РОЗДІЛ 2

ЗАГАЛЬНА МЕТОДИКА Й ОСНОВНІ МЕТОДИ ДОСЛІДЖЕНЬ

2.1. Загальна методика і об'єкти дослідження

Разом із колегами, за допомогою скринінг-опитувальника [29] більш ніж 3500 чоловіків віком від 22 до 35 років із різних адміністративно-територіальних регіонів України, було відібрано 200 практично здорових чоловіків у третьому поколінні мешканців відповідних регіонів (*північний* – 32 мешканця з Київської, Житомирської, Сумської та Чернігівської областей; *південний* – 33 мешканці з Миколаївської, Херсонської, Одеської, Запорізької областей та АР Крим; *центральний* – 64 мешканці із Вінницької, Кіровоградської, Черкаської, Полтавської та Дніпропетровської областей; *західний* – 36 мешканців із Рівненської, Волинської, Чернівецької, Львівської, Тернопільської, Хмельницької, Івано-Франківської та Закарпатської областей; *східний* – 35 мешканців із Харківської, Луганської та Донецької областей) зі сприятливими, помірно сприятливими і задовільними екологічними умовами проживання населення у різних місцевостях України згідно досліджень Національного екологічного центру України (<http://superdom.ua/view/1454-ekologicheskaya-karta-ukrainy-gde-luchshe-zhit.html>). Усім відібраним чоловікам на базі кафедри стоматології дитячого віку і науково-дослідного центру Вінницького національного медичного університету ім. М.І. Пирогова разом із к.мед.н. Орловським В. О. проведено кефалометричне дослідження, а на базі приватної стоматологічної клініки «Вінінтермед ЛТД» – конусно-променево комп'ютерно-томографічне дослідження.

Високу однорідність вибірки соматично здорових чоловіків із різних адміністративно-територіальних регіонів України підтверджують проведені д.мед.н. Шінкарук-Диковицькою М. М. *соціально-гігієнічні* (відсутність відмінностей в характері праці та умовах проживання; поодинокі, що не мають системного ха-

рактеру, відмінності в характері їжі та пиття; лише розбіжності в частоті відпочинку літом на морі, які обумовлені специфікою розташування регіонів по відношенню до Чорного моря [93]) та *медико-соціологічні* (лише поодинокі відмінності показників використання засобів догляду порожнини рота [94] та суб'єктивної оцінки стану тканин пародонту [95]) *дослідження*.

Комітетом з біоетики Вінницького національного медичного університету ім. М. І. Пирогова встановлено (протокол № 19 від 08.11.2012, протокол № 5 від 23.05.2019), що проведені дослідження не суперечать основним біоетичним нормам Конвенції Ради Європи про права людини та біомедицину (1977), Гельсінської декларації, а також відповідають етичним і морально-правовим вимогам згідно наказу МОЗ України № 281 від 01.11.2000 р.

2.2. Методи дослідження

2.2.1. Конусно-променева комп'ютерна томографія.

За допомогою дентального конусно-променевого томографа Veraviewerocs-3D (Morita, Японія) проведено комп'ютерну томографію. Об'єм тривимірного зображення – товщина шару 0,2/0,125 мм, циліндр 8x8 см, напруга та сила струму 60-90kV/2-10mA, доза опромінення 0,011-0,048 мЗв. Дослідження моделі кісткових структур зубощелепного комплексу в трьох проекціях проводили в програмній оболонці i-Dixel One Volume Viewer (Ver.1.5.0, J Morita Mfg. Cor.).

2.2.2. Одонтометрія.

На комп'ютерних томограмах верхньої і нижньої щелеп за стандартною методикою, що враховує межу основи коронки або кореня відповідного зуба (так звана «лінія МОК» – поєднує по периметру точки найбільшої опуклості емалево-цементного з'єднання на присінковій і язиковій поверхнях зуба [77]) проводили вимірювання перших та других великих кутніх зубів (ВКЗ) правої та лівої сторін

верхньої та нижньої щелеп: висоти зуба (рис. 2.1); висоти коронки зуба (рис. 2.2); довжини піднебінного (рис. 2.3), ближнього (рис. 2.4) та дальнього (рис. 2.5) коренів, присінково-язикових розмірів коронки і шийки зуба (рис. 2.6); мезіо-дистальних розмірів коронки і шийки зуба (рис. 2.7).

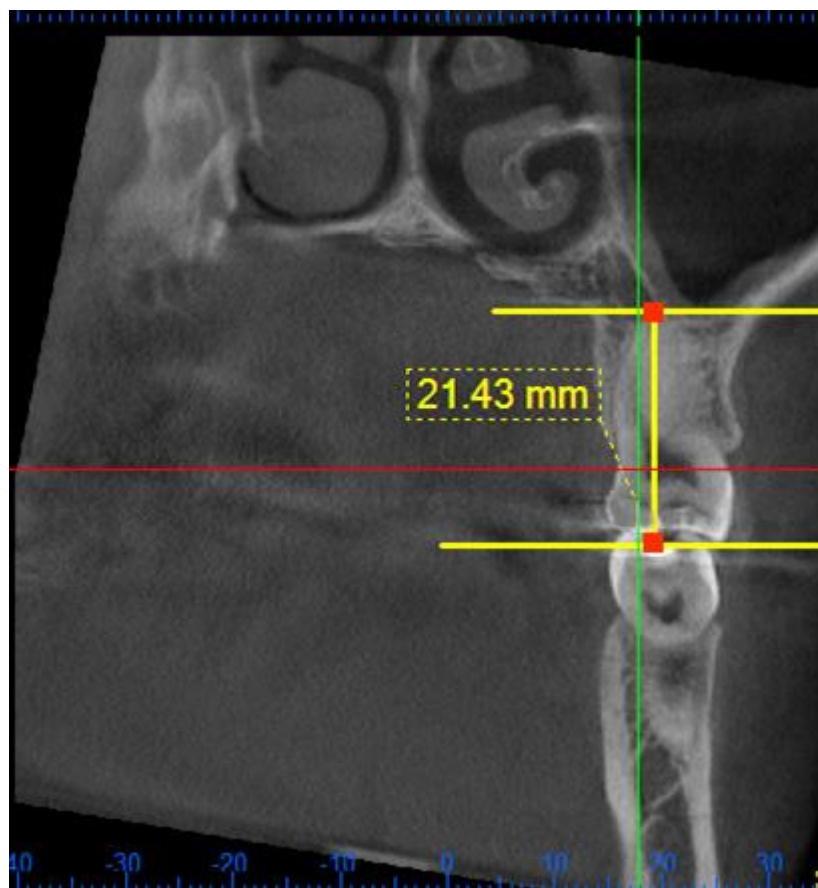


Рис. 2.1. Визначення висоти першого правого верхнього ВКЗ.

2.2.3. Кефалометрія.

Кефалометричне дослідження містило в собі вимірювання параметрів мозкового та лицьового відділів голови за допомогою великого ковзного циркуля Мартіна та м'якої сантиметрової стрічки. Кефалометричні вимірювання проводили із дотриманням загальноприйнятих рекомендацій та анатомічних орієнтирів та точок [1, 9].

Вимірювання кефалометричних розмірів мозкового черепа включало:

- найбільший обхват голови через надперенісся (глабелла) та ініон (DUG_GOP);

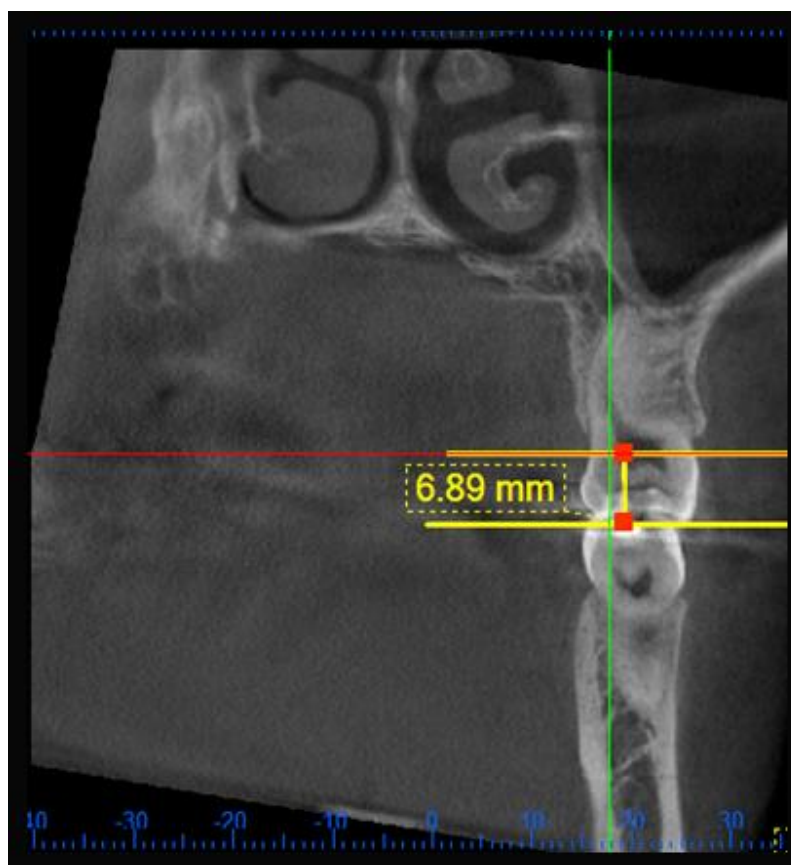


Рис. 2.2. Визначення висоти коронки першого правого верхнього ВКЗ.

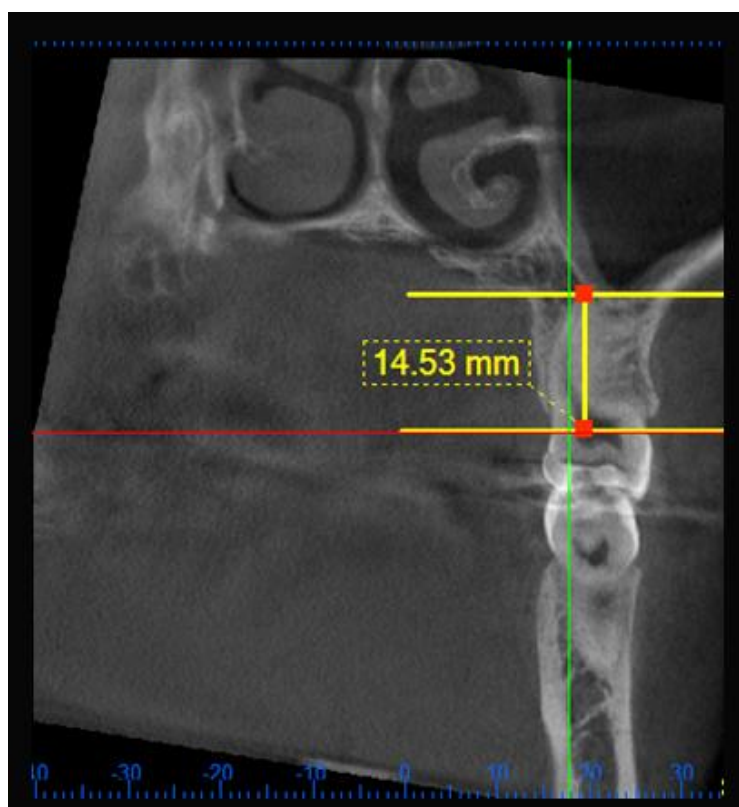


Рис. 2.3. Визначення довжини піднебінного кореня першого правого верхнього ВКЗ.

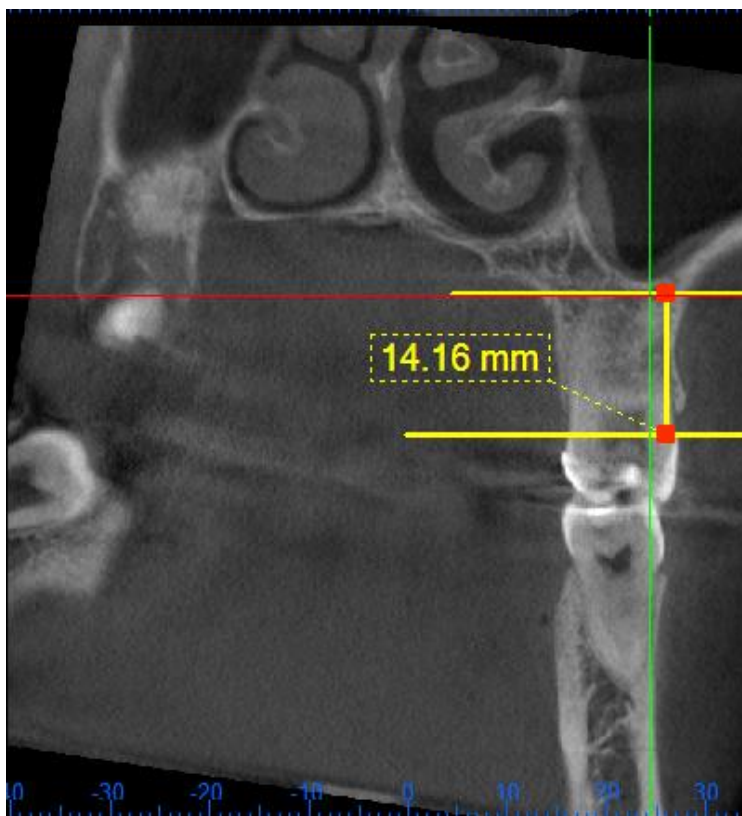


Рис. 2.4. Визначення довжини ближнього кореня першого правого верхнього ВКЗ.

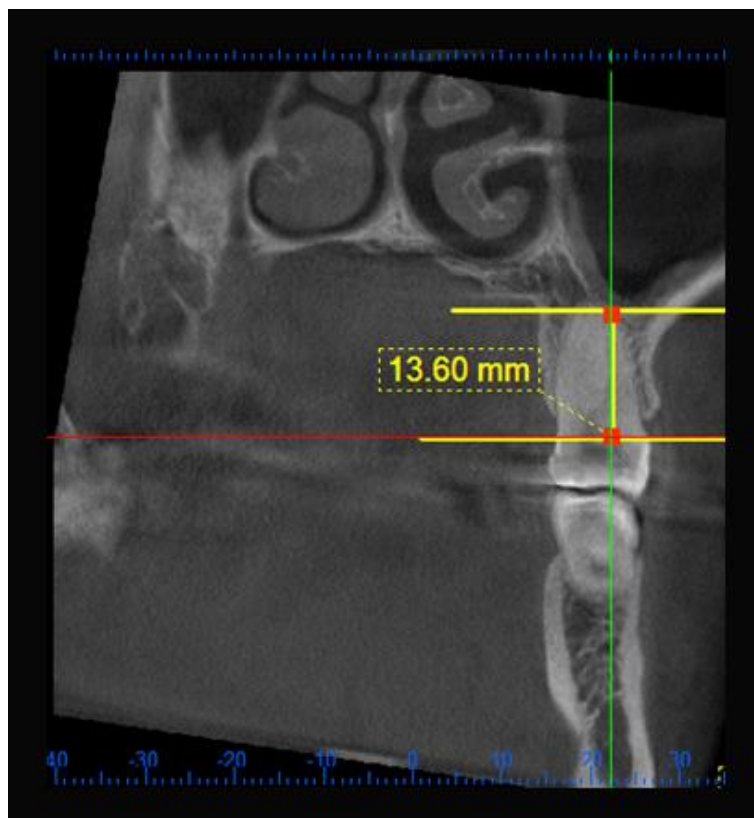


Рис. 2.5. Визначення довжини дальнього кореня першого правого верхнього ВКЗ.



Рис. 2.6. Визначення присінково-язикового розміру коронки (а) і шийки (б) другого правого верхнього ВКЗ.

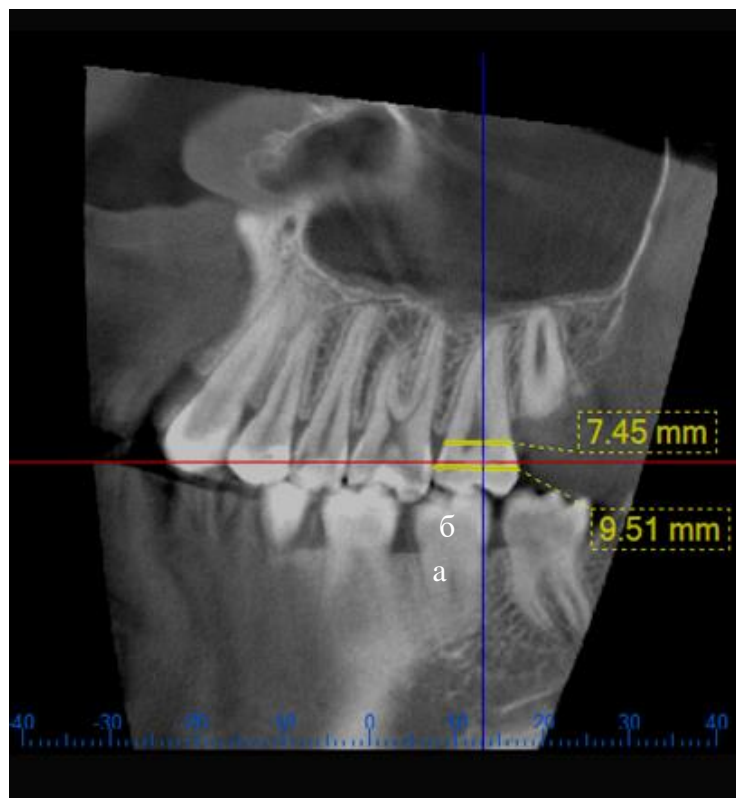


Рис. 2.7. Визначення мезіо-дистального розміру коронки (а) і шийки (б) другого правого верхнього ВКЗ.

- поперечну дугу, що визначається стрічкою від правої козелкової точки до лівої (DUG_AUAU);
- сагітальної дуги, вимірюваною стрічкою від глабелли до потиличної точки (DUGS_GOP);
- найбільшої довжини голови (відстань від глабелли до опистокраніону (G_OP);
- найбільшу ширину голови (EU_EU);
- найменшу ширину голови (FMT_FMT);

Вимірювання кефалометричних розмірів лицевого черепа включало:

- ширину обличчя (відстань між виличними точками; ZY_ZY);
- середню ширину обличчя (відстань між зігомасиллярними точками; (ZM_ZM);
- ширину нижньої щелепи (GO_GO);
- висоту лоба (пряма відстань між точками тріхіон і назіон; TR_N);
- фізіологічну довжину обличчя (відстань від тріхіона до гнатіона (TR_GN);
- довжину носа (відстань між назіон та проназіон; N_PRN);
- висоту носа (відстань між верхньоносовою і підносовою точками (N_SN);
- глибину носа (SN_PRN);
- висоту верхньої частини обличчя (N_STO);
- відстань між назіон та міжрізцевою точкою (N_I);
- морфологічну довжину обличчя (N_GN);
- міжочномкову ширину (MF_MF);
- зовнішньоочну ширину (EK_EK);
- ширину основи носа (AL_AL);
- ширину ротової щілини (CHI_CHI);
- довжину тіла нижньої щелепи справа (RGO_GN);
- довжину тіла нижньої щелепи зліва (LGO_GN).

Форму голови визначали за формулою [34]:

$$\text{найбільша ширина голови} / \text{найбільша довжина голови} \times 100 \quad (2.1)$$

Значення показника до 75,9 – доліхоцефалія; від 76,0 до 80,9 – мезоцефалія; від 81,0 до 85,4 – брахіцефалія; 85,5 і більше – гіпербрахіцефалія.

Розподіл чоловіків у різних регіонах України в залежності від форми голови представлено в таблиці 2.1.

Таблиця 2.1.

Розподіл практично здорових чоловіків у різних адміністративно-територіальних регіонах України в залежності від форми голови.

Регіони	Краніютипи			
	доліхоцефали	мезоцефали	брахіцефали	гіпербрахіцефали
Північний	6,25 % (n=2)	34,4 % (n=11)	37,5 % (n=12)	21,9 % (n=7)
Південний	6,06 % (n=2)	30,3 % (n=10)	45,4 % (n=15)	18,2 % (n=6)
Центральний	17,2 % (n=11)	25,0 % (n=16)	39,1 % (n=25)	18,7 % (n=12)
Західний	8,33 % (n=3)	11,1 % (n=4)	50,0 % (n=18)	30,6 % (n=11)
Східний	22,9 % (n=8)	22,9 % (n=8)	40,0 % (n=14)	14,3 % (n=5)

Разом з к.мед.н. Орловським В. О. встановлено, що «як в загальній групі чоловіків, так і у представників центрального регіону України в напрямку гіпербрахіцефалія → брахіцефалія → мезоцефалія → доліхоцефалія відмічається збільшення найбільшого обхвата голови, поперечної і сагітальної дуги, найбільшої довжини голови, висоти лоба, фізіологічної довжини обличчя, довжини, висоти і глибини носа, відстані між назіон та міжрізцевою точкою та міжочноямковою ширини. І, навпаки, в напрямку доліхоцефалія → мезоцефалія → брахіцефалія → гіпербрахіцефалія відмічалось збільшення найбільшої і найменшої ширини голови і середньої ширини обличчя» [102, 103, 169]. Як видно з даних таблиці 2.1, в усіх регіонах України встановлена більша кількість представників із брахіцефалічною формою голови, що підтверджує тенденцію процесів брахіцефалізації.

Значення морфологічного індексу Гарсона отримували за формулою [73]:

морфологічна довжина обличчя / найбільша ширина обличчя $\times 100$ (2.2)

Значення показника до 78,9 – з дуже широким обличчям; 79,0-83,9 – широким обличчям; 84,0-87,9 – середнім обличчям; 88,0-92,9 – вузьким обличчям; 93,0 і більше – дуже вузьким обличчям.

Розподіл чоловіків у різних регіонах України в залежності від типу обличчя представлено в таблиці 2.2.

Таблиця 2.2.

Розподіл практично здорових чоловіків у різних адміністративно-територіальних регіонах України в залежності від типу обличчя.

Регіони	Тип обличчя				
	дуже широке	широке	середнє	вузьке	дуже вузьке
Північний	3,13 % (n=1)	6,25 % (n=2)	9,38 % (n=3)	25,0 % (n=8)	56,2 % (n=18)
Південний	3,03 % (n=1)	6,06 % (n=2)	24,2 % (n=8)	36,4 % (n=12)	30,3 % (n=10)
Центральний	1,56 % (n=1)	10,9 % (n=7)	14,1 % (n=9)	28,1 % (n=18)	45,3 % (n=29)
Західний	2,78 % (n=1)	5,56 % (n=2)	30,6 % (n=2)	16,7 % (n=16)	44,4 % (n=16)
Східний	0 % (n=4)	11,4 % (n=5)	14,3 % (n=5)	25,7 % (n=17)	48,6 % (n=17)

При порівнянні відмінностей кефалометричних показників між практично здоровими чоловіками загальної групи або представниками центрального регіону України з різними типами обличчя разом з к.мед.н. Орловським В. О. встановлено, що «у напрямку дуже вузьке обличчя → вузьке обличчя → середнє обличчя → широке обличчя відмічається збільшення найбільшої і найменшої ширини голови, ширини обличчя, середньої ширини обличчя, ширини ротової щілини, довжини тіла нижньої щелепи справа і зліва. І, навпаки, в напрямку широке обличчя → середнє обличчя → вузьке обличчя → дуже вузьке обличчя відмічається збільшення висоти лоба, фізіологічної довжини обличчя, довжини, висоти і глибини носа, висоти верхньої частини обличчя, відстані між назіон та між-різцевою точкою, морфологічної довжини обличчя» [102, 103, 169]. Як видно з

даних таблиці 2.2, в усіх регіонах України встановлена більша кількість представників із вузьким і дуже вузьким обличчям, що підтверджує тенденцію процесів грацилізації.

2.2.4. Математична статистика.

Статистична обробка отриманих результатів проведена у ліцензійному пакеті “Statistica 6.1” з використанням непараметричних методів оцінки результатів. Проводили оцінку характеру розподілів варіаційних рядів, середніх значень ознак, стандартного квадратичного відхилення та процентильного розмаху ознак. Достовірність різниці значень між незалежними кількісними величинами визначали за допомогою U-критерія Мана-Уїтні. Оцінку кореляцій між одонтометричними і кефалометричними показниками проводили з використанням непараметричної статистики Спірмена. Для розробки моделей індивідуальних лінійних розмірів ВКЗ у залежності від кефалометричних показників застосовували метод покрокового регресійного аналізу [260].

Результати кефалометричних досліджень, які представлені в даному розділі дисертації, відображені в двох наукових статтях у фахових журналах [102, 103] (1 з яких входить до міжнародної наукометричної бази Web of Science), статті в закордонному фаховому виданні (Польща) яка включена до наукометричної бази даних Scopus [169] та тезах науково-практичної конференції [46].

РОЗДІЛ 3

КОМП'ЮТЕРНО-ТОМОГРАФІЧНІ РОЗМІРИ КОРОНОК ВЕЛИКИХ КУТНІХ ЗУБІВ У ПРАКТИЧНО ЗДОРОВИХ ЧОЛОВІКІВ ІЗ РІЗНИХ РЕГІОНІВ УКРАЇНИ ТА В ЗАЛЕЖНОСТІ ВІД ФОРМИ ГОЛОВИ АБО ТИПУ ОБЛИЧЧЯ

3.1. Регіональні відмінності розмірів коронок великих кутніх зубів та їх коренів без урахування краніютипу та типу обличчя

Межі процентильного розмаху *висоти перших ВКЗ* у чоловіків із різних регіонів України дорівнюють (відповідно, 25,0 percentl і 75,0 percentl): *верхнього правого (16)* для північного регіону – 19,62 мм і 21,93 мм; для південного регіону – 18,81 мм і 21,30 мм; для центрального регіону – 19,27 мм і 22,69 мм; для західного регіону – 19,20 мм і 22,50 мм; для східного регіону – 19,38 мм і 22,25 мм; *верхнього лівого (26)* для північного регіону – 19,64 мм і 21,62 мм; для південного регіону – 19,41 мм і 21,13 мм; для центрального регіону – 19,60 мм і 22,14 мм; для західного регіону – 19,12 мм і 22,38 мм; для східного регіону – 19,32 мм і 22,07 мм; *нижнього правого (46)* для північного регіону – 19,40 мм і 21,65 мм; для південного регіону – 20,10 мм і 21,76 мм; для центрального регіону – 20,22 мм і 22,40 мм; для західного регіону – 20,03 мм і 22,14 мм; для східного регіону – 20,00 мм і 22,49 мм; *нижнього лівого (36)* для північного регіону – 20,05 мм і 21,71 мм; для південного регіону – 20,32 мм і 21,73 мм; для центрального регіону – 20,48 мм і 22,60 мм; для західного регіону – 20,80 мм і 22,51 мм; для східного регіону – 19,78 мм і 22,61 мм.

Встановлено, що *висота верхнього правого (16) першого ВКЗ* у чоловіків південного регіону має тенденції до менших значень порівняно з чоловіками центрального ($p=0,055$) та західного ($p=0,088$) регіонів (табл. 3.1).

Висота верхнього лівого (26) першого ВКЗ у чоловіків південного регіону

Продовження табл. 3.1

1	2	3	4	5	6	7	8	9	10	11	12	13	14	15	16
46MD_S	9,503± 0,602	9,549± 0,852	9,392± 0,862	9,548± 0,664	9,582± 0,660	>0,05	>0,05	>0,05	>0,05	>0,05	>0,05	>0,05	>0,05	>0,05	>0,05
46VO_K	10,77± 0,58	10,85± 0,59	10,71± 0,65	10,76± 0,80	10,79± 0,56	>0,05	>0,05	>0,05	>0,05	>0,05	>0,05	>0,05	>0,05	>0,05	>0,05
46VO_S	9,439± 0,565	9,561± 0,611	9,324± 0,505	9,358± 0,674	9,425± 0,583	>0,05	>0,05	>0,05	>0,05	=0,084	>0,05	>0,05	>0,05	>0,05	>0,05
47HZ	20,80± 1,29	20,67± 2,07	21,09± 1,68	21,29± 1,75	20,69± 1,88	>0,05	>0,05	>0,05	>0,05	>0,05	>0,05	>0,05	>0,05	>0,05	>0,05
47HRZ4	13,77± 1,06	13,89± 1,94	13,98± 1,53	14,53± 2,63	13,78± 1,62	>0,05	>0,05	>0,05	>0,05	>0,05	>0,05	>0,05	>0,05	>0,05	>0,05
47HRZ5	13,35± 1,39	13,57± 1,40	13,34± 1,81	13,51± 1,58	13,24± 1,62	>0,05	>0,05	>0,05	>0,05	>0,05	>0,05	>0,05	>0,05	>0,05	>0,05
47HKZ	6,705± 0,825	6,489± 0,924	6,805± 0,948	6,934± 0,796	6,619± 0,942	>0,05	>0,05	>0,05	>0,05	>0,05	<0,05	>0,05	>0,05	>0,05	>0,05
47MD_K	11,23± 0,62	11,08± 0,70	10,96± 0,65	11,01± 0,64	11,02± 0,60	>0,05	>0,05	>0,05	>0,05	>0,05	>0,05	>0,05	>0,05	>0,05	>0,05
47MD_S	9,830± 0,474	9,775± 0,654	9,857± 0,783	9,854± 0,649	9,698± 0,728	>0,05	>0,05	>0,05	>0,05	>0,05	>0,05	>0,05	>0,05	>0,05	>0,05
47VO_K	10,76± 0,98	10,80± 1,03	10,69± 0,77	10,58± 0,79	10,86± 0,79	>0,05	>0,05	>0,05	>0,05	>0,05	>0,05	>0,05	>0,05	>0,05	>0,05
47VO_S	9,578± 0,850	9,813± 1,048	9,431± 0,838	9,322± 0,779	9,764± 0,958	>0,05	>0,05	>0,05	>0,05	=0,062	=0,050	>0,05	>0,05	>0,05	=0,063

Примітки: тут і в подальших таблицях північ. – північний регіон; півден. – південний регіон; центр. – центральний регіон; захід. – західний регіон; схід. – східний регіон; 16- – верхній правий перший ВКЗ; 17- – верхній правий другий ВКЗ; 26- – верхній лівий перший ВКЗ; 27- – верхній лівий другий ВКЗ; 36- – нижній лівий перший ВКЗ; 37- – нижній лівий другий ВКЗ; 46- – нижній правий перший ВКЗ; 47- – нижній правий другий ВКЗ; HZ – висота відповідного зуба; HRZ1 – довжина піднебінного кореня верхніх ВКЗ; HRZ2 – довжина присінкового ближнього кореня верхніх ВКЗ; HRZ3 – довжина присінкового дальнього кореня верхніх ВКЗ; HRZ4 – довжина ближнього кореня нижніх ВКЗ; HRZ5 – довжина

дального кореня нижніх ВКЗ; НКЗ – висота коронки; MD_K – мезіо-дистальний розмір коронки; MD_S – мезіо-дистальний розмір шийки; VO_K – присінково-язиковий розмір коронки; VO_S – присінково-язиковий розмір шийки; р – достовірність відмінностей між одонтометричними показниками у представників відповідних регіонів, краніотипів, або типів обличчя.

має незначну тенденцію ($p=0,074$) до менших значень порівняно з чоловіками центрального регіону (див. табл. 3.1).

Висота нижнього лівого (36) першого ВКЗ у чоловіків північного регіону достовірно менша порівняно з чоловіками центрального ($p<0,05$) та західного ($p<0,05$) регіонів (див. табл. 3.1).

Межі процентильного розмаху висоти *других ВКЗ* у чоловіків із різних регіонів України дорівнюють: *верхнього правого (17)* для північного регіону – 19,43 мм і 21,18 мм; для південного регіону – 19,25 мм і 21,15 мм; для центрального регіону – 19,10 мм і 21,98 мм; для західного регіону – 19,66 мм і 21,97 мм; для східного регіону – 19,15 мм і 21,40 мм; *верхнього лівого (27)* для північного регіону – 19,86 мм і 21,13 мм; для південного регіону – 19,20 мм і 21,01 мм; для центрального регіону – 19,18 мм і 22,03 мм; для західного регіону – 19,79 мм і 22,44 мм; для східного регіону – 19,45 мм і 21,55 мм; *нижнього правого (47)* для північного регіону – 20,10 мм і 21,70 мм; для південного регіону – 18,65 мм і 21,80 мм; для центрального регіону – 19,60 мм і 22,20 мм; для західного регіону – 19,88 мм і 22,28 мм; для східного регіону – 18,77 мм і 22,00 мм; *нижнього лівого (37)* для північного регіону – 20,04 мм і 22,20 мм; для південного регіону – 18,98 мм і 22,40 мм; для центрального регіону – 19,66 мм і 22,44 мм; для західного регіону – 20,14 мм і 22,68 мм; для східного регіону – 19,24 мм і 22,80 мм.

Між чоловіками із різних регіонів України не встановлено статистично значущих, або тенденцій відмінностей висоти *верхнього та нижнього правих і лівих других ВКЗ* (див. табл. 3.1).

Межі процентильного розмаху висоти *коронки перших ВКЗ* у чоловіків із різних регіонів України дорівнюють: *верхнього правого (16)* для північного регіо-

ну – 6,080 мм і 7,200 мм; для південного регіону – 5,800 мм і 6,770 мм; для центрального регіону – 6,020 мм і 7,295 мм; для західного регіону – 5,975 мм і 7,360 мм; для східного регіону – 5,520 мм і 7,200 мм; *верхнього лівого (26)* для північного регіону – 6,100 мм і 7,245 мм; для південного регіону – 6,040 мм і 6,650 мм; для центрального регіону – 6,020 мм і 7,295 мм; для західного регіону – 6,175 мм і 7,365 мм; для східного регіону – 6,040 мм і 7,100 мм; *нижнього правого (46)* для північного регіону – 6,160 мм і 7,090 мм; для південного регіону – 6,000 мм і 6,570 мм; для центрального регіону – 6,225 мм і 7,215 мм; для західного регіону – 6,350 мм і 7,150 мм; для східного регіону – 5,920 мм і 7,550 мм; *нижнього лівого (36)* для північного регіону – 6,165 мм і 7,160 мм; для південного регіону – 6,050 мм і 6,620 мм; для центрального регіону – 6,250 мм і 7,280 мм; для західного регіону – 6,405 мм і 7,290 мм; для східного регіону – 6,130 мм і 7,630 мм.

Встановлено, що *висота коронки верхнього лівого (26) першого ВКЗ* у чоловіків південного регіону має тенденцію ($p=0,063$) до менших значень порівняно з чоловіками західного регіону (див. табл. 3.1).

Встановлено, що *висота коронки нижнього правого (46) першого ВКЗ* у чоловіків південного регіону достовірно менша порівняно з чоловіками північного ($p<0,05$), центрального ($p<0,05$) та західного ($p<0,05$) регіонів (див. табл. 3.1).

Висота коронки нижнього лівого (36) першого ВКЗ у чоловіків південного регіону достовірно менша порівняно з чоловіками центрального ($p<0,05$) та західного ($p<0,05$) регіонів та має тенденції до менших значень порівняно з чоловіками північного ($p=0,068$) та східного ($p=0,069$) регіонів (див. табл. 3.1).

Межі процентильного розмаху *висоти коронки других ВКЗ* у чоловіків із різних регіонів України дорівнюють: *верхнього правого (17)* для північного регіону – 5,945 мм і 7,080 мм; для південного регіону – 5,750 мм і 6,620 мм; для центрального регіону – 5,950 мм і 7,100 мм; для західного регіону – 6,200 мм і 7,142 мм; для східного регіону – 5,880 мм і 7,000 мм; *верхнього лівого (27)* для північного регіону – 6,050 мм і 7,110 мм; для південного регіону – 5,900 мм і 6,840 мм; для центрального регіону – 6,005 мм і 7,410 мм; для західного регіону – 6,240 мм і

7,345 мм; для східного регіону – 5,950 мм і 7,100 мм; *нижнього правого (47)* для північного регіону – 6,150 мм і 7,165 мм; для південного регіону – 5,930 мм і 7,060 мм; для центрального регіону – 6,120 мм і 7,590 мм; для західного регіону – 6,450 мм і 7,545 мм; для східного регіону – 5,650 мм і 7,380 мм; *нижнього лівого (37)* для північного регіону – 6,195 мм і 7,550 мм; для південного регіону – 5,950 мм і 7,250 мм; для центрального регіону – 6,125 мм і 7,325 мм; для західного регіону – 6,370 мм і 7,350 мм; для східного регіону – 5,630 мм і 7,600 мм.

Встановлено, що *висота коронки верхнього правого (17) другого ВКЗ* у чоловіків південного регіону достовірно ($p < 0,05$) менша порівняно з чоловіками західного регіону та має незначну тенденцію ($p = 0,087$) до менших значень порівняно з чоловіками центрального регіону (див. табл. 3.1).

Встановлено, що *висота коронки верхнього лівого (27) другого ВКЗ* у чоловіків південного регіону достовірно ($p < 0,01$) менша порівняно з чоловіками західного регіону (див. табл. 3.1).

Встановлено, що *висота нижнього правого (47) другого ВКЗ* у чоловіків південного регіону достовірно ($p < 0,05$) менша порівняно з чоловіками західного регіону (див. табл. 3.1).

Межі процентильного розмаху *довжини піднебінного кореня перших ВКЗ* у чоловіків із різних регіонів України дорівнюють: *верхнього правого (16)* для північного регіону – 11,28 мм і 13,60 мм; для південного регіону – 11,82 мм і 13,33 мм; для центрального регіону – 11,79 мм і 13,92 мм; для західного регіону – 11,93 мм і 14,45 мм; для східного регіону – 11,26 мм і 13,60 мм; *верхнього лівого (26)* для північного регіону – 11,71 мм і 13,31 мм; для південного регіону – 11,86 мм і 13,51 мм; для центрального регіону – 11,78 мм і 13,82 мм; для західного регіону – 11,85 мм і 14,92 мм; для східного регіону – 11,23 мм і 13,76 мм.

Межі процентильного розмаху *довжини ближнього кореня перших ВКЗ* у чоловіків із різних регіонів України дорівнюють: *нижнього правого (46)* для північного регіону – 13,04 мм і 14,40 мм; для південного регіону – 13,70 мм і 15,30 мм; для центрального регіону – 11,79 мм і 13,92 мм; для західного регіону – 13,10 мм і 15,26 мм; для східного регіону – 13,48 мм і 15,18 мм; *нижнього лівого*

(36) для північного регіону – 13,01 мм і 14,92 мм; для південного регіону – 13,40 мм і 15,20 мм; для центрального регіону – 13,37 мм і 15,80 мм; для західного регіону – 13,38 мм і 15,63 мм; для східного регіону – 13,42 мм і 15,38 мм.

Встановлено, що довжина ближнього кореня нижнього правого (46) першого ВКЗ у чоловіків південного регіону має незначну тенденцію ($p=0,087$) до більших значень порівняно з чоловіками північного регіону (див. табл. 3.1).

Довжина ближнього кореня нижнього лівого (36) першого ВКЗ у чоловіків північного регіону достовірно менша порівняно з чоловіками центрального ($p<0,05$) та західного ($p<0,05$) регіонів та має незначну тенденцію ($p=0,092$) до менших значень порівняно з чоловіками південного регіону (див. табл. 3.1).

Межі процентильного розмаху довжини піднебінного кореня других ВКЗ у чоловіків із різних регіонів України дорівнюють: верхнього правого (17) для північного регіону – 11,22 мм і 13,98 мм; для південного регіону – 11,15 мм і 14,30 мм; для центрального регіону – 11,26 мм і 13,80 мм; для західного регіону – 11,14 мм і 14,82 мм; для східного регіону – 11,15 мм і 13,46 мм; верхнього лівого (27) для північного регіону – 10,74 мм і 13,93 мм; для південного регіону – 11,49 мм і 14,20 мм; для центрального регіону – 12,07 мм і 14,01 мм; для західного регіону – 12,24 мм і 14,75 мм; для східного регіону – 11,74 мм і 13,70 мм.

Межі процентильного розмаху довжини ближнього кореня других ВКЗ у чоловіків із різних регіонів України дорівнюють: нижнього правого (47) для північного регіону – 13,17 мм і 14,44 мм; для південного регіону – 12,84 мм і 15,10 мм; для центрального регіону – 13,12 мм і 14,88 мм; для західного регіону – 13,34 мм і 15,03 мм; для східного регіону – 12,86 мм і 14,50 мм; нижнього лівого (37) для північного регіону – 12,93 мм і 14,82 мм; для південного регіону – 12,84 мм і 15,53 мм; для центрального регіону – 13,26 мм і 15,18 мм; для західного регіону – 13,53 мм і 15,65 мм; для східного регіону – 12,94 мм і 14,76 мм.

Встановлено, що довжина піднебінного кореня верхнього лівого (27) другого ВКЗ у чоловіків західного регіону достовірно ($p<0,05$) більша порівняно з чоловіками північного регіону та має незначну тенденцію ($p=0,091$) до більших значень порівняно з чоловіками південного регіону (див. табл. 3.1).

Межі процентильного розмаху довжини присінкового ближнього кореня перших ВКЗ у чоловіків із різних регіонів України дорівнюють: верхнього правого (16) для північного регіону – 11,30 мм і 13,53 мм; для південного регіону – 10,31 мм і 13,20 мм; для центрального регіону – 10,23 мм і 13,24 мм; для західного регіону – 10,72 мм і 13,26 мм; для східного регіону – 10,88 мм і 13,53 мм; верхнього лівого (26) для північного регіону – 11,43 мм і 13,84 мм; для південного регіону – 11,17 мм і 13,65 мм; для центрального регіону – 10,36 мм і 13,47 мм; для західного регіону – 11,36 мм і 13,27 мм; для східного регіону – 10,70 мм і 14,26 мм.

Межі процентильного розмаху довжини дальнього кореня перших ВКЗ у чоловіків із різних регіонів України дорівнюють: нижнього правого (46) для північного регіону – 13,04 мм і 14,40 мм; для південного регіону – 13,40 мм і 14,86 мм; для центрального регіону – 12,94 мм і 14,93 мм; для західного регіону – 13,19 мм і 14,97 мм; для східного регіону – 12,90 мм і 14,86 мм; нижнього лівого (36) для північного регіону – 12,55 мм і 14,17 мм; для південного регіону – 13,16 мм і 15,07 мм; для центрального регіону – 12,57 мм і 15,11 мм; для західного регіону – 13,07 мм і 15,14 мм; для східного регіону – 12,70 мм і 15,08 мм.

Встановлено, що довжина дальнього кореня нижнього лівого (36) першого ВКЗ у чоловіків південного регіону має виражену тенденцію ($p=0,056$) до більших значень порівняно з чоловіками північного регіону (див. табл. 3.1).

Межі процентильного розмаху довжини присінкового ближнього кореня других ВКЗ у чоловіків із різних регіонів України дорівнюють: верхнього правого (17) для північного регіону – 10,36 мм і 13,63 мм; для південного регіону – 11,95 мм і 14,31 мм; для центрального регіону – 10,51 мм і 13,97 мм; для західного регіону – 10,51 мм і 13,63 мм; для східного регіону – 11,28 мм і 13,76 мм; верхнього лівого (27) для північного регіону – 10,58 мм і 13,66 мм; для південного регіону – 10,73 мм і 14,00 мм; для центрального регіону – 10,60 мм і 13,56 мм; для західного регіону – 10,46 мм і 13,72 мм; для східного регіону – 11,20 мм і 13,55 мм.

Межі процентильного розмаху довжини дальнього кореня других ВКЗ у чоловіків із різних регіонів України дорівнюють: нижнього правого (47) для північного регіону – 12,32 мм і 14,47 мм; для південного регіону – 12,47 мм і 14,31

мм; для центрального регіону – 12,02 мм і 14,60 мм; для західного регіону – 12,25 мм і 14,27 мм; для східного регіону – 12,00 мм і 14,10 мм; *нижнього лівого (37)* для північного регіону – 11,92 мм і 14,93 мм; для південного регіону – 12,50 мм і 15,01 мм; для центрального регіону – 12,05 мм і 14,24 мм; для західного регіону – 12,24 мм і 14,26 мм; для східного регіону – 11,90 мм і 14,31 мм.

Встановлено, що *довжина присінкового ближнього кореня* верхнього правого (17) *другого ВКЗ* у чоловіків південного регіону достовірно більша та має тенденції до більших значень порівняно з чоловіками північного ($p < 0,05$), центрального ($p = 0,068$) і східного ($p = 0,068$) регіонів (див. табл. 3.1).

Межі процентильного розмаху *довжини присінкового дальнього кореня ВКЗ* у чоловіків із різних регіонів України дорівнюють: *перших верхнього правого (16)* для північного регіону – 12,21 мм і 15,35 мм; для південного регіону – 11,53 мм і 13,87 мм; для центрального регіону – 11,70 мм і 14,96 мм; для західного регіону – 11,50 мм і 14,59 мм; для східного регіону – 11,62 мм і 15,04 мм; *верхнього лівого (26)* для північного регіону – 11,47 мм і 14,83 мм; для південного регіону – 11,25 мм і 14,00 мм; для центрального регіону – 12,24 мм і 14,93 мм; для західного регіону – 11,75 мм і 14,43 мм; для східного регіону – 12,45 мм і 14,80 мм; *других верхнього правого (17)* для північного регіону – 10,96 мм і 14,59 мм; для південного регіону – 11,00 мм і 14,07 мм; для центрального регіону – 11,10 мм і 14,12 мм; для західного регіону – 11,12 мм і 14,01 мм; для східного регіону – 12,42 мм і 14,45 мм; *верхнього лівого (27)* для північного регіону – 11,22 мм і 14,43 мм; для південного регіону – 11,53 мм і 14,35 мм; для центрального регіону – 11,91 мм і 14,15 мм; для західного регіону – 12,10 мм і 14,11 мм; для східного регіону – 12,73 мм і 14,34 мм.

Встановлено, що *довжина присінкового дальнього кореня* верхнього лівого (27) *першого ВКЗ* у чоловіків південного регіону має виражену тенденцію ($p = 0,057$) до менших значень порівняно з чоловіками східного регіону (див. табл. 3.1).

Межі процентильного розмаху *мезіо-дистального розміру коронки перших ВКЗ* у чоловіків із різних регіонів України дорівнюють: *верхнього правого (16)*

для північного регіону – 9,760 мм і 10,70 мм; для південного регіону – 9,510 мм і 10,34 мм; для центрального регіону – 9,350 мм і 10,44 мм; для західного регіону – 9,610 мм і 10,41 мм; для східного регіону – 9,500 мм і 10,55 мм; *верхнього лівого (26)* для північного регіону – 9,575 мм і 10,65 мм; для південного регіону – 9,500 мм і 10,26 мм; для центрального регіону – 9,330 мм і 10,36 мм; для західного регіону – 9,540 мм і 10,50 мм; для східного регіону – 9,590 мм і 10,45 мм; *нижнього правого (46)* для північного регіону – 10,57 мм і 11,54 мм; для південного регіону – 10,51 мм і 11,42 мм; для центрального регіону – 10,38 мм і 11,50 мм; для західного регіону – 10,55 мм і 11,50 мм; для східного регіону – 10,32 мм і 11,50 мм; *нижнього лівого (36)* для північного регіону – 10,43 мм і 11,47 мм; для південного регіону – 10,35 мм і 11,50 мм; для центрального регіону – 10,30 мм і 11,45 мм; для західного регіону – 10,35 мм і 11,63 мм; для східного регіону – 10,43 мм і 11,38 мм.

Встановлено, що *мезіо-дистальний розмір коронки верхнього правого (16) першого ВКЗ* у чоловіків північного регіону має незначні тенденції до більших значень порівняно з чоловіками південного ($p=0,072$) і центрального ($p=0,089$) регіонів (див. табл. 3.1).

Встановлено, що *мезіо-дистальний розмір коронки верхнього лівого (26) першого ВКЗ* у чоловіків північного регіону має незначну тенденцію ($p=0,090$) до більших значень порівняно з чоловіками центрального регіону (див. табл. 3.1).

Межі процентильного розмаху *мезіо-дистального розміру коронки других ВКЗ* у чоловіків із різних регіонів України дорівнюють: *верхнього правого (17)* для північного регіону – 9,065 мм і 10,31 мм; для південного регіону – 8,750 мм і 9,670 мм; для центрального регіону – 8,930 мм і 9,710 мм; для західного регіону – 8,935 мм і 9,725 мм; для східного регіону – 8,850 мм і 9,710 мм; *верхнього лівого (27)* для північного регіону – 9,085 мм і 10,51 мм; для південного регіону – 9,100 мм і 10,13 мм; для центрального регіону – 8,895 мм і 9,720 мм; для західного регіону – 9,000 мм і 9,715 мм; для східного регіону – 9,180 мм і 9,750 мм; *нижнього правого (47)* для північного регіону – 10,76 мм і 11,61 мм; для південного регіону – 10,62 мм і 11,63 мм; для центрального регіону – 10,50 мм і 11,28 мм;

для західного регіону – 10,63 мм і 11,33 мм; для східного регіону – 10,60 мм і 11,35 мм; *нижнього лівого (37)* для північного регіону – 10,74 мм і 11,58 мм; для південного регіону – 10,61 мм і 11,42 мм; для центрального регіону – 10,51 мм і 11,39 мм; для західного регіону – 10,72 мм і 11,40 мм; для східного регіону – 10,63 мм і 11,48 мм.

Встановлено, що *мезіо-дистальний розмір коронки верхнього правого (17) другого ВКЗ* у чоловіків північного регіону достовірно ($p < 0,05$) більший порівняно з чоловіками центрального регіону (див. табл. 3.1).

Встановлено, що *мезіо-дистальний розмір коронки верхнього лівого (27) другого ВКЗ* у чоловіків північного регіону достовірно ($p < 0,05$) більший порівняно з чоловіками центрального регіону та має незначну тенденцію ($p = 0,091$) до більших значень порівняно з чоловіками західного регіону (див. табл. 3.1).

Межі процентильного розмаху *мезіо-дистального розміру шийки перших ВКЗ* у чоловіків із різних регіонів України дорівнюють: *верхнього правого (16)* для північного регіону – 8,000 мм і 8,690 мм; для південного регіону – 7,730 мм і 8,880 мм; для центрального регіону – 7,880 мм і 8,540 мм; для західного регіону – 7,775 мм і 9,000 мм; для східного регіону – 7,890 мм і 8,730 мм; *верхнього лівого (26)* для північного регіону – 7,995 мм і 8,595 мм; для південного регіону – 7,800 мм і 8,750 мм; для центрального регіону – 7,910 мм і 8,570 мм; для західного регіону – 7,750 мм і 8,735 мм; для східного регіону – 8,100 мм і 8,750 мм; *нижнього правого (46)* для північного регіону – 9,215 мм і 9,960 мм; для південного регіону – 9,080 мм і 10,17 мм; для центрального регіону – 9,100 мм і 9,850 мм; для західного регіону – 9,130 мм і 9,985 мм; для східного регіону – 9,170 мм і 9,980 мм; *нижнього лівого (36)* для північного регіону – 9,275 мм і 10,07 мм; для південного регіону – 9,150 мм і 10,23 мм; для центрального регіону – 9,055 мм і 10,08 мм; для західного регіону – 9,100 мм і 10,10 мм; для східного регіону – 9,050 мм і 10,07 мм.

Між чоловіками із різних регіонів України не встановлено статистично значущих, або тенденцій відмінностей *мезіо-дистального розміру шийки перших ВКЗ* (див. табл. 3.1).

Межі процентильного розмаху *мезіо-дистального розміру шийки других ВКЗ* у чоловіків із різних регіонів України дорівнюють: *верхнього правого (17)* для північного регіону – 7,340 мм і 8,500 мм; для південного регіону – 7,400 мм і 8,500 мм; для центрального регіону – 7,420 мм і 8,370 мм; для західного регіону – 7,580 мм і 8,385 мм; для східного регіону – 7,500 мм і 8,280 мм; *верхнього лівого (27)* для північного регіону – 7,310 мм і 8,520 мм; для південного регіону – 7,660 мм і 8,420 мм; для центрального регіону – 7,475 мм і 8,250 мм; для західного регіону – 7,585 мм і 8,295 мм; для східного регіону – 7,520 мм і 8,230 мм; *нижнього правого (47)* для північного регіону – 9,550 мм і 10,13 мм; для південного регіону – 9,150 мм і 10,23 мм; для центрального регіону – 9,355 мм і 10,27 мм; для західного регіону – 9,355 мм і 10,24 мм; для східного регіону – 9,390 мм і 10,06 мм; *нижнього лівого (37)* для північного регіону – 9,475 мм і 10,20 мм; для південного регіону – 9,350 мм і 10,25 мм; для центрального регіону – 9,445 мм і 10,26 мм; для західного регіону – 9,555 мм і 10,37 мм; для східного регіону – 9,540 мм і 10,10 мм.

Між чоловіками із різних регіонів України не встановлено статистично значущих, або тенденцій відмінностей *мезіо-дистального розміру шийки других ВКЗ* (див. табл. 3.1).

Межі процентильного розмаху *присінково-язикового розміру коронки перших ВКЗ* у чоловіків із різних регіонів України дорівнюють: *верхнього правого (16)* для північного регіону – 11,34 мм і 12,28 мм; для південного регіону – 10,83 мм і 12,18 мм; для центрального регіону – 10,94 мм і 11,94 мм; для західного регіону – 10,89 мм і 11,89 мм; для східного регіону – 10,75 мм і 11,94 мм; *верхнього лівого (26)* для північного регіону – 11,22 мм і 12,02 мм; для південного регіону – 11,00 мм і 12,01 мм; для центрального регіону – 10,92 мм і 11,91 мм; для західного регіону – 10,94 мм і 11,92 мм; для східного регіону – 11,10 мм і 12,05 мм; *нижнього правого (46)* для північного регіону – 10,39 мм і 11,18 мм; для південного регіону – 10,42 мм і 11,28 мм; для центрального регіону – 10,25 мм і 11,19 мм; для західного регіону – 10,24 мм і 11,23 мм; для східного регіону – 10,37 мм і 11,20 мм; *нижнього лівого (36)* для північного регіону – 10,36 мм і 11,26 мм; для

південного регіону – 10,35 мм і 11,35 мм; для центрального регіону – 10,22 мм і 11,33 мм; для західного регіону – 10,21 мм і 11,36 мм; для східного регіону – 10,33 мм і 11,45 мм.

Встановлено, що *присінково-язиковий розмір коронки верхнього правого (16) першого ВКЗ* у чоловіків північного регіону достовірно більший та має тенденції до більших значень порівняно з чоловіками центрального ($p=0,056$), західного ($p<0,05$) та східного ($p=0,090$) регіонів (див. табл. 3.1).

Встановлено, що *присінково-язиковий розмір коронки верхнього лівого (26) першого ВКЗ* у чоловіків північного регіону достовірно більший порівняно з чоловіками центрального ($p<0,05$) та західного ($p<0,05$) регіонів (див. табл. 3.1).

Межі процентильного розмаху *присінково-язикового розміру коронки других ВКЗ* у чоловіків із різних регіонів України дорівнюють: *верхнього правого (17)* для північного регіону – 11,13 мм і 12,39 мм; для південного регіону – 11,04 мм і 12,38 мм; для центрального регіону – 10,96 мм і 12,20 мм; для західного регіону – 10,64 мм і 12,01 мм; для східного регіону – 10,70 мм і 12,09 мм; *верхнього лівого (27)* для північного регіону – 11,20 мм і 12,33 мм; для південного регіону – 10,96 мм і 12,40 мм; для центрального регіону – 11,07 мм і 12,11 мм; для західного регіону – 10,89 мм і 12,02 мм; для східного регіону – 10,70 мм і 12,00 мм; *нижнього правого (47)* для північного регіону – 10,14 мм і 11,28 мм; для південного регіону – 10,24 мм і 11,36 мм; для центрального регіону – 10,26 мм і 11,24 мм; для західного регіону – 10,16 мм і 11,21 мм; для східного регіону – 10,40 мм і 11,48 мм; *нижнього лівого (37)* для північного регіону – 10,16 мм і 11,24 мм; для південного регіону – 10,30 мм і 11,38 мм; для центрального регіону – 10,24 мм і 11,24 мм; для західного регіону – 10,19 мм і 11,28 мм; для східного регіону – 10,32 мм і 11,52 мм.

Встановлено, що *присінково-язиковий розмір коронки верхнього правого (17) другого ВКЗ* у чоловіків південного регіону має тенденції до більших значень порівняно з чоловіками західного ($p=0,062$) та східного ($p=0,083$) регіонів (див. табл. 3.1).

Межі процентильного розмаху *присінково-язикового розміру шийки перших*

ВКЗ у чоловіків із різних регіонів України дорівнюють: *верхнього правого (16)* для північного регіону – 10,33 мм і 11,63 мм; для південного регіону – 10,30 мм і 11,63 мм; для центрального регіону – 10,15 мм і 11,46 мм; для західного регіону – 9,925 мм і 11,21 мм; для східного регіону – 10,03 мм і 11,27 мм; *верхнього лівого (26)* для північного регіону – 10,49 мм і 11,26 мм; для південного регіону – 10,28 мм і 11,11 мм; для центрального регіону – 10,18 мм і 11,15 мм; для західного регіону – 10,07 мм і 11,39 мм; для східного регіону – 10,00 мм і 11,19 мм; *нижнього правого (46)* для північного регіону – 9,110 мм і 9,870 мм; для південного регіону – 9,000 мм і 10,05 мм; для центрального регіону – 8,905 мм і 9,695 мм; для західного регіону – 8,875 мм і 9,670 мм; для східного регіону – 9,130 мм і 9,710 мм; *нижнього лівого (36)* для північного регіону – 9,100 мм і 10,02 мм; для південного регіону – 8,930 мм і 10,03 мм; для центрального регіону – 8,970 мм і 9,625 мм; для західного регіону – 8,875 мм і 9,760 мм; для східного регіону – 9,00 мм і 9,800 мм.

Встановлено, що *присінково-язиковий розмір шийки верхнього правого (16) першого ВКЗ* у чоловіків північного регіону достовірно більший та має тенденцію до більших значень порівняно з чоловіками західного ($<0,05$) та східного ($p=0,074$) регіонів (див. табл. 3.1).

Присінково-язиковий розмір шийки нижнього правого (46) першого ВКЗ у чоловіків південного регіону має незначну тенденцію до більших значень порівняно з чоловіками центрального ($p=0,084$) регіону (див. табл. 3.1).

Межі процентильного розмаху *присінково-язикового розміру шийки других ВКЗ* у чоловіків із різних регіонів України дорівнюють: *верхнього правого (17)* для північного регіону – 10,51 мм і 11,78 мм; для південного регіону – 10,53 мм і 11,80 мм; для центрального регіону – 10,44 мм і 11,57 мм; для західного регіону – 10,16 мм і 11,59 мм; для східного регіону – 10,25 мм і 11,50 мм; *верхнього лівого (27)* для північного регіону – 10,61 мм і 11,62 мм; для південного регіону – 10,28 мм і 11,11 мм; для центрального регіону – 10,41 мм і 11,66 мм; для західного регіону – 10,17 мм і 11,50 мм; для східного регіону – 9,720 мм і 11,47 мм; *нижнього правого (47)* для північного регіону – 8,975 мм і 10,07 мм; для південного

регіону – 9,080 мм і 10,31 мм; для центрального регіону – 8,745 мм і 9,850 мм; для західного регіону – 8,675 мм і 9,895 мм; для східного регіону – 9,100 мм і 10,34 мм; *нижнього лівого (37)* для північного регіону – 8,965 мм і 10,18 мм; для південного регіону – 9,020 мм і 10,30 мм; для центрального регіону – 8,770 мм і 10,00 мм; для західного регіону – 8,795 мм і 9,815 мм; для східного регіону – 9,030 мм і 10,13 мм.

Встановлено, що *присінково-язиковий розмір шийки верхнього правого (17) другого ВКЗ* у чоловіків південного регіону має тенденцію ($p=0,072$) до більших значень порівняно з чоловіками східного регіону (див. табл. 3.1).

Присінково-язиковий розмір шийки нижнього правого (46) другого ВКЗ у чоловіків південного регіону має тенденції до більших значень порівняно з чоловіками центрального ($p=0,062$) і західного ($p=0,050$) регіонів та у чоловіків західного регіону має тенденцію ($p=0,063$) до менших значень порівняно із чоловіками східного регіону (див. табл. 3.1).

Присінково-язиковий розмір шийки нижнього лівого (46) другого ВКЗ у чоловіків західного регіону має тенденцію ($p=0,075$) до менших значень порівняно з чоловіками східного регіону (див. табл. 3.1).

3.2. Розміри коронок великих кутніх зубів та їх коренів у чоловіків із різною формою голови

Межі процентильного розмаху *висоти перших ВКЗ* у чоловіків різних краніотипів дорівнюють (відповідно, 25,0 percentl і 75,0 percentl): *верхнього правого (16)* для доліхоцефалів – 19,39 мм і 21,76 мм; для мезоцефалів – 18,93 мм і 22,35 мм; для брахіцефалів – 19,46 мм і 22,79 мм; для гіпербрахіцефалів – 19,56 мм і 21,80 мм; *верхнього лівого (26)* для доліхоцефалів – 19,94 мм і 21,25 мм; для мезоцефалів – 19,35 мм і 22,43 мм; для брахіцефалів – 19,61 мм і 22,16 мм; для гіпербрахіцефалів – 19,28 мм і 21,89 мм; *нижнього правого (46)* для доліхоцефалів

– 19,56 мм і 22,13 мм; для мезоцефалів – 20,01 мм і 22,03 мм; для брахіцефалів – 20,30 мм і 22,63 мм; для гіпербрахіцефалів – 20,00 мм і 22,05 мм; *нижнього лівого (36)* для доліхоцефалів – 19,80 мм і 22,10 мм; для мезоцефалів – 20,44 мм і 22,15 мм; для брахіцефалів – 20,60 мм і 22,75 мм; для гіпербрахіцефалів – 19,89 мм і 22,07 мм.

Між чоловіками різних краніотипів не встановлено статистично значущих, або тенденцій відмінностей *висоти перших ВКЗ* (табл. 3.2).

Межі процентильного розмаху *висоти других ВКЗ* у чоловіків різних краніотипів дорівнюють (відповідно, 25,0 percentl і 75,0 percentl): *верхнього правого (17)* для доліхоцефалів – 18,76 мм і 21,26 мм; для мезоцефалів – 19,25 мм і 21,33 мм; для брахіцефалів – 19,41 мм і 21,73 мм; для гіпербрахіцефалів – 19,27 мм і 21,60 мм; *верхнього лівого (27)* для доліхоцефалів – 20,09 мм і 21,82 мм; для мезоцефалів – 19,73 мм і 21,38 мм; для брахіцефалів – 19,65 мм і 21,72 мм; для гіпербрахіцефалів – 19,16 мм і 21,42 мм; *нижнього правого (47)* для доліхоцефалів – 19,60 мм і 21,73 мм; для мезоцефалів – 20,00 мм і 21,88 мм; для брахіцефалів – 19,48 мм і 22,45 мм; для гіпербрахіцефалів – 20,00 мм і 21,73 мм; *нижнього лівого (37)* для доліхоцефалів – 19,68 мм і 22,80 мм; для мезоцефалів – 19,75 мм і 22,25 мм; для брахіцефалів – 19,55 мм і 22,68 мм; для гіпербрахіцефалів – 19,75 мм і 22,15 мм.

Між чоловіками різних краніотипів не встановлено статистично значущих, або тенденцій відмінностей *висоти других ВКЗ* (див. табл. 3.2).

Межі процентильного розмаху *висоти коронки перших ВКЗ* у чоловіків різних краніотипів дорівнюють: *верхнього правого (16)* для доліхоцефалів – 5,680 мм і 7,200 мм; для мезоцефалів – 5,860 мм і 6,920 мм; для брахіцефалів – 5,970 мм і 7,455 мм; для гіпербрахіцефалів – 6,000 мм і 7,150 мм; *верхнього лівого (26)* для доліхоцефалів – 6,040 мм і 7,430 мм; для мезоцефалів – 6,100 мм і 6,900 мм; для брахіцефалів – 6,010 мм і 7,180 мм; для гіпербрахіцефалів – 6,100 мм і 6,920 мм; *нижнього правого (46)* для доліхоцефалів – 5,760 мм і 6,880 мм; для мезоцефалів – 6,120 мм і 7,270 мм; для брахіцефалів – 6,170 мм і 7,235 мм; для гіпербрахіцефалів – 6,220 мм і 6,920 мм; *нижнього лівого (36)* для доліхоцефалів – 6,000 мм і

Продовження табл. 3.2

1	2	3	4	5	6	7	8	9	10	11
26VRZ3	12,75±1,50	13,08±1,86	13,23±2,25	13,29±1,48	>0,05	>0,05	>0,05	>0,05	>0,05	>0,05
26HKZ	6,641±0,891	6,485±0,871	6,532±0,995	6,580±0,731	>0,05	>0,05	>0,05	>0,05	>0,05	>0,05
26MD_K	9,880±0,824	9,943±0,742	9,948±0,767	10,10±0,67	>0,05	>0,05	>0,05	>0,05	>0,05	>0,05
26MD_S	8,190±0,710	8,341±0,589	8,286±0,653	8,286±0,744	>0,05	>0,05	>0,05	>0,05	>0,05	>0,05
26VO_K	10,99±0,82	11,51±0,64	11,39±0,81	11,24±0,84	<0,01	<0,05	>0,05	>0,05	>0,05	>0,05
26VO_S	10,00±1,22	10,77±0,80	10,57±1,02	10,43±1,23	<0,01	<0,01	=0,064	>0,05	>0,05	>0,05
27HZ	20,47±1,84	20,41±2,08	20,63±2,19	20,17±2,19	>0,05	>0,05	>0,05	>0,05	>0,05	>0,05
27HRZ1	12,70±1,77	12,75±1,74	12,96±2,05	12,85±1,67	>0,05	>0,05	>0,05	>0,05	>0,05	>0,05
27HRZ2	12,39±1,86	12,11±1,68	12,36±1,94	12,18±1,88	>0,05	>0,05	>0,05	>0,05	>0,05	>0,05
27HRZ3	13,65±1,84	12,95±2,10	12,85±1,89	13,03±1,77	>0,05	=0,075	>0,05	>0,05	>0,05	>0,05
27HKZ	6,463±0,897	6,529±0,974	6,590±0,820	6,535±0,600	>0,05	>0,05	>0,05	>0,05	>0,05	>0,05
27MD_K	9,219±0,850	9,556±0,716	9,506±0,967	9,517±0,542	>0,05	>0,05	>0,05	>0,05	>0,05	>0,05
27MD_S	7,681±0,735	8,062±0,690	7,879±0,745	8,057±0,549	<0,05	>0,05	<0,05	=0,084	>0,05	=0,059
27VO_K	10,97±1,24	11,52±1,07	11,54±1,01	11,54±0,90	<0,05	<0,05	=0,054	>0,05	>0,05	>0,05
27VO_S	10,52±1,90	10,92±1,11	10,93±1,17	10,87±1,10	=0,063	<0,05	=0,072	>0,05	>0,05	>0,05
37HZ	21,31±1,76	21,04±1,78	21,19±1,94	21,10±1,80	>0,05	>0,05	>0,05	>0,05	>0,05	>0,05
37HRZ4	14,12±1,13	13,86±1,35	14,36±1,88	14,14±1,68	>0,05	>0,05	>0,05	>0,05	>0,05	>0,05
37HRZ5	13,08±1,42	13,29±1,63	13,48±1,71	13,43±1,64	>0,05	>0,05	>0,05	>0,05	>0,05	>0,05
37HKZ	6,738±0,860	6,814±1,036	6,646±0,917	6,825±0,796	>0,05	>0,05	>0,05	>0,05	>0,05	>0,05
37MD_K	11,01±0,76	11,01±0,58	11,04±0,67	11,20±0,55	>0,05	>0,05	>0,05	>0,05	>0,05	>0,05
37MD_S	9,697±0,713	9,836±0,556	9,891±0,767	9,963±0,470	>0,05	>0,05	>0,05	>0,05	>0,05	>0,05
37VO_K	10,78±1,05	10,62±0,83	10,76±0,91	10,92±0,88	>0,05	>0,05	>0,05	>0,05	>0,05	>0,05
37VO_S	9,373±1,060	9,444±0,857	9,607±1,010	9,686±1,088	>0,05	>0,05	>0,05	>0,05	>0,05	>0,05
36HZ	20,99±1,65	21,27±1,59	21,56±1,65	21,09±1,40	>0,05	>0,05	>0,05	>0,05	>0,05	>0,05
36HRZ4	14,20±1,54	14,54±2,06	14,55±1,66	14,44±2,19	>0,05	>0,05	>0,05	>0,05	>0,05	>0,05
36HRZ5	13,18±1,64	13,70±1,48	14,12±1,58	13,90±1,52	>0,05	<0,05	=0,074	>0,05	>0,05	>0,05

7,420 мм; для мезоцефалів – 6,200 мм і 7,130 мм; для брахіцефалів – 6,215 мм і 7,155 мм; для гіпербрахіцефалів – 6,290 мм і 7,010 мм.

Встановлено, що *висота коронки нижнього правого (46) першого ВКЗ* у чоловіків доліхоцефалів достовірно менша порівняно з чоловіками мезоцефалами ($p < 0,05$) і брахіцефалами ($p < 0,05$) (див. табл. 3.2).

Межі процентильного розмаху *висоти коронки других ВКЗ* у чоловіків різних краніотипів дорівнюють: *верхнього правого (17)* для доліхоцефалів – 6,110 мм і 7,000 мм; для мезоцефалів – 5,520 мм і 6,840 мм; для брахіцефалів – 5,950 мм і 7,148 мм; для гіпербрахіцефалів – 6,150 мм і 7,000 мм; *верхнього лівого (27)* для доліхоцефалів – 6,020 мм і 6,910 мм; для мезоцефалів – 5,880 мм і 7,100 мм; для брахіцефалів – 6,045 мм і 7,300 мм; для гіпербрахіцефалів – 6,200 мм і 7,000 мм; *нижнього правого (47)* для доліхоцефалів – 6,300 мм і 6,850 мм; для мезоцефалів – 6,100 мм і 7,550 мм; для брахіцефалів – 6,010 мм і 7,530 мм; для гіпербрахіцефалів – 6,380 мм і 7,030 мм; *нижнього лівого (37)* для доліхоцефалів – 6,250 мм і 7,350 мм; для мезоцефалів – 6,120 мм і 7,600 мм; для брахіцефалів – 6,060 мм і 7,275 мм; для гіпербрахіцефалів – 6,250 мм і 7,400 мм.

Між чоловіками різних краніотипів не встановлено статистично значущих, або тенденцій відмінностей *висоти коронки других ВКЗ* (див. табл. 3.2).

Межі процентильного розмаху *довжини піднебінного кореня перших ВКЗ* у чоловіків різних краніотипів дорівнюють: *верхнього правого (16)* для доліхоцефалів – 12,00 мм і 13,69 мм; для мезоцефалів – 11,58 мм і 13,61 мм; для брахіцефалів – 11,80 мм і 13,97 мм; для гіпербрахіцефалів – 11,40 мм і 13,51 мм; *верхнього лівого (26)* для доліхоцефалів – 11,40 мм і 13,17 мм; для мезоцефалів – 11,95 мм і 13,76 мм; для брахіцефалів – 11,72 мм і 13,85 мм; для гіпербрахіцефалів – 11,91 мм і 13,42 мм.

Межі процентильного розмаху *довжини ближнього кореня перших ВКЗ* у чоловіків різних краніотипів дорівнюють: *нижнього правого (46)* для доліхоцефалів – 13,08 мм і 15,63 мм; для мезоцефалів – 13,50 мм і 14,82 мм; для брахіцефалів – 13,12 мм і 15,20 мм; для гіпербрахіцефалів – 13,13 мм і 15,50 мм; *нижнього лівого (36)* для доліхоцефалів – 13,25 мм і 14,84 мм; для мезоцефалів –

13,50 мм і 14,82 мм; для брахіцефалів – 13,34 мм і 15,68 мм; для гіпербрахіцефалів – 13,10 мм і 15,51 мм.

Між чоловіками різних краніотипів не встановлено статистично значущих, або тенденцій відмінностей *довжини піднебінного кореня перших верхніх ВКЗ і довжини ближнього кореня перших нижніх ВКЗ* (див. табл. 3.2).

Межі процентильного розмаху *довжини піднебінного кореня других ВКЗ* у чоловіків різних краніотипів дорівнюють: *верхнього правого (17)* для доліхоцефалів – 10,90 мм і 13,46 мм; для мезоцефалів – 11,63 мм і 14,20 мм; для брахіцефалів – 11,16 мм і 13,91 мм; для гіпербрахіцефалів – 10,94 мм і 13,95 мм; *верхнього лівого (27)* для доліхоцефалів – 11,09 мм і 13,84 мм; для мезоцефалів – 12,06 мм і 14,00 мм; для брахіцефалів – 11,93 мм і 14,20 мм; для гіпербрахіцефалів – 11,74 мм і 13,75 мм.

Межі процентильного розмаху *довжини ближнього кореня других ВКЗ* у чоловіків різних краніотипів дорівнюють: *нижнього правого (47)* для доліхоцефалів – 13,08 мм і 15,00 мм; для мезоцефалів – 13,14 мм і 14,30 мм; для брахіцефалів – 13,16 мм і 15,08 мм; для гіпербрахіцефалів – 12,80 мм і 14,47 мм; *нижнього лівого (37)* для доліхоцефалів – 13,26 мм і 14,91 мм; для мезоцефалів – 13,09 мм і 14,76 мм; для брахіцефалів – 13,25 мм і 15,57 мм; для гіпербрахіцефалів – 13,28 мм і 15,05 мм.

Між чоловіками різних краніотипів не встановлено статистично значущих, або тенденцій відмінностей *довжини піднебінного кореня других верхніх ВКЗ і довжини ближнього кореня других нижніх ВКЗ* (див. табл. 3.2).

Межі процентильного розмаху *довжини присінкового ближнього кореня ВКЗ* у чоловіків різних краніотипів дорівнюють: *перших верхнього правого (16)* для доліхоцефалів – 10,06 мм і 12,75 мм; для мезоцефалів – 10,56 мм і 13,65 мм; для брахіцефалів – 10,84 мм і 13,45 мм; для гіпербрахіцефалів – 10,70 мм і 13,38 мм; *верхнього лівого (26)* для доліхоцефалів – 10,57 мм і 12,98 мм; для мезоцефалів – 10,83 мм і 14,00 мм; для брахіцефалів – 11,29 мм і 13,87 мм; для гіпербрахіцефалів – 11,01 мм і 13,30 мм.

Межі процентильного розмаху *довжини дальнього кореня ВКЗ* у чоловіків

різних краніотипів дорівнюють: *перших нижнього правого (46)* для доліхоцефалів – 12,60 мм і 14,11 мм; для мезоцефалів – 12,78 мм і 14,80 мм; для брахіцефалів – 13,22 мм і 14,93 мм; для гіпербрахіцефалів – 13,15 мм і 14,92 мм; *нижнього лівого (36)* для доліхоцефалів – 11,80 мм і 14,23 мм; для мезоцефалів – 12,76 мм і 14,98 мм; для брахіцефалів – 13,00 мм і 15,09 мм; для гіпербрахіцефалів – 12,84 мм і 15,11 мм.

Встановлено, що *довжина присінкового ближнього кореня верхнього правого першого (16) ВКЗ* у чоловіків доліхоцефалів достовірно менша порівняно з чоловіками брахіцефалами ($p < 0,05$) і гіпербрахіцефалами ($p < 0,05$) (див. табл. 3.2).

Довжина дальнього кореня нижніх правого (46) і лівого (36) перших ВКЗ у чоловіків доліхоцефалів достовірно менша ($p < 0,05$) порівняно з чоловіками брахіцефалами та має тенденцію ($p = 0,074$) до менших значень порівняно з чоловіками гіпербрахіцефалами (див. табл. 3.2).

Межі процентильного розмаху *довжини присінкового ближнього кореня ВКЗ* у чоловіків різних краніотипів дорівнюють: *других верхнього правого (17)* для доліхоцефалів – 10,33 мм і 14,33 мм; для мезоцефалів – 10,64 мм і 13,53 мм; для брахіцефалів – 10,51 мм і 13,90 мм; для гіпербрахіцефалів – 10,84 мм і 13,49 мм; *верхнього лівого (27)* для доліхоцефалів – 11,30 мм і 13,94 мм; для мезоцефалів – 10,84 мм і 13,63 мм; для брахіцефалів – 10,58 мм і 13,71 мм; для гіпербрахіцефалів – 10,53 мм і 13,60 мм.

Межі процентильного розмаху *довжини дальнього кореня ВКЗ* у чоловіків різних краніотипів дорівнюють: *других нижнього правого (47)* для доліхоцефалів – 11,94 мм і 14,10 мм; для мезоцефалів – 12,52 мм і 13,98 мм; для брахіцефалів – 12,28 мм і 15,00 мм; для гіпербрахіцефалів – 12,17 мм і 14,18 мм; *нижнього лівого (37)* для доліхоцефалів – 12,10 мм і 14,00 мм; для мезоцефалів – 12,13 мм і 14,25 мм; для брахіцефалів – 12,24 мм і 14,48 мм; для гіпербрахіцефалів – 12,13 мм і 14,48 мм.

Між чоловіками різних краніотипів не встановлено статистично значущих, або тенденцій відмінностей *довжини присінкового ближнього кореня других*

верхніх ВКЗ і довжини дальнього кореня других нижніх ВКЗ (див. табл. 3.2).

Межі процентильного розмаху довжини присінкового дальнього кореня ВКЗ у чоловіків різних краніотипів дорівнюють: *перших верхнього правого (16)* для доліхоцефалів – 11,53 мм і 14,00 мм; для мезоцефалів – 11,33 мм і 14,71 мм; для брахіцефалів – 11,60 мм і 14,92 мм; для гіпербрахіцефалів – 12,45 мм і 14,61 мм; *верхнього лівого (26)* для доліхоцефалів – 11,32 мм і 13,59 мм; для мезоцефалів – 11,36 мм і 14,81 мм; для брахіцефалів – 12,11 мм і 14,49 мм; для гіпербрахіцефалів – 12,38 мм і 14,54 мм; *других верхнього правого (17)* для доліхоцефалів – 11,51 мм і 14,18 мм; для мезоцефалів – 11,02 мм і 14,50 мм; для брахіцефалів – 11,04 мм і 14,23 мм; для гіпербрахіцефалів – 12,50 мм і 14,00 мм; *верхнього лівого (27)* для доліхоцефалів – 12,75 мм і 14,79 мм; для мезоцефалів – 11,94 мм і 14,43 мм; для брахіцефалів – 11,47 мм і 14,13 мм; для гіпербрахіцефалів – 12,10 мм і 14,10 мм.

Довжина присінкового дальнього кореня верхнього лівого (27) другого ВКЗ у чоловіків доліхоцефалів має тенденцію ($p=0,075$) до більших значень порівняно з чоловіками брахіцефалами (див. табл. 3.2).

Межі процентильного розмаху мезіо-дистального розміру коронки *перших ВКЗ* у чоловіків різних краніотипів дорівнюють: *верхнього правого (16)* для доліхоцефалів – 9,450 мм і 10,56 мм; для мезоцефалів – 9,450 мм і 10,48 мм; для брахіцефалів – 9,465 мм і 10,41 мм; для гіпербрахіцефалів – 9,650 мм і 10,55 мм; *верхнього лівого (26)* для доліхоцефалів – 9,350 мм і 10,60 мм; для мезоцефалів – 9,330 мм і 10,42 мм; для брахіцефалів – 9,485 мм і 10,49 мм; для гіпербрахіцефалів – 9,720 мм і 10,37 мм; *нижнього правого (46)* для доліхоцефалів – 10,62 мм і 11,51 мм; для мезоцефалів – 10,29 мм і 11,45 мм; для брахіцефалів – 10,43 мм і 11,55 мм; для гіпербрахіцефалів – 10,54 мм і 11,42 мм; *нижнього лівого (36)* для доліхоцефалів – 10,63 мм і 11,40 мм; для мезоцефалів – 10,43 мм і 11,43 мм; для брахіцефалів – 10,28 мм і 11,51 мм; для гіпербрахіцефалів – 10,30 мм і 11,50 мм.

Між чоловіками різних краніотипів не встановлено статистично значущих, або тенденцій відмінностей мезіо-дистального розміру коронки *перших ВКЗ* (див. табл. 3.2).

Межі процентильного розмаху *мезіо-дистального розміру коронки других ВКЗ* у чоловіків різних краніотипів дорівнюють: *верхнього правого (17)* для доліхоцефалів – 8,600 мм і 9,720 мм; для мезоцефалів – 9,010 мм і 9,850 мм; для брахіцефалів – 8,905 мм і 9,770 мм; для гіпербрахіцефалів – 9,100 мм і 9,630 мм; *верхнього лівого (27)* для доліхоцефалів – 8,590 мм і 9,900 мм; для мезоцефалів – 9,050 мм і 9,750 мм; для брахіцефалів – 8,955 мм і 9,865 мм; для гіпербрахіцефалів – 9,220 мм і 9,750 мм; *нижнього правого (47)* для доліхоцефалів – 10,49 мм і 11,45 мм; для мезоцефалів – 10,58 мм і 11,35 мм; для брахіцефалів – 10,61 мм і 11,36 мм; для гіпербрахіцефалів – 10,74 мм і 11,45 мм; *нижнього лівого (37)* для доліхоцефалів – 9,480 мм і 10,11 мм; для мезоцефалів – 10,63 мм і 11,38 мм; для брахіцефалів – 10,61 мм і 11,37 мм; для гіпербрахіцефалів – 10,82 мм і 11,50 мм.

Між чоловіками різних краніотипів не встановлено статистично значущих, або тенденцій відмінностей *мезіо-дистального розміру коронки других ВКЗ* (див. табл. 3.2).

Межі процентильного розмаху *мезіо-дистального розміру шийки перших ВКЗ* у чоловіків різних краніотипів дорівнюють: *верхнього правого (16)* для доліхоцефалів – 7,750 мм і 8,400 мм; для мезоцефалів – 7,900 мм і 8,670 мм; для брахіцефалів – 7,890 мм і 8,790 мм; для гіпербрахіцефалів – 9,950 мм і 8,880 мм; *верхнього лівого (26)* для доліхоцефалів – 7,800 мм і 8,430 мм; для мезоцефалів – 7,920 мм і 8,670 мм; для брахіцефалів – 7,915 мм і 8,735 мм; для гіпербрахіцефалів – 7,790 мм і 8,570 мм; *нижнього правого (46)* для доліхоцефалів – 9,090 мм і 10,00 мм; для мезоцефалів – 9,200 мм і 9,980 мм; для брахіцефалів – 9,100 мм і 9,945 мм; для гіпербрахіцефалів – 9,290 мм і 9,900 мм; *нижнього лівого (36)* для доліхоцефалів – 9,000 мм і 10,00 мм; для мезоцефалів – 9,260 мм і 10,13 мм; для брахіцефалів – 9,100 мм і 10,15 мм; для гіпербрахіцефалів – 9,150 мм і 9,920 мм.

Мезіо-дистальний розмір шийки верхнього правого (16) першого ВКЗ у чоловіків доліхоцефалів має незначну тенденцію ($p=0,079$) до менших значень порівняно з чоловіками гіпербрахіцефалами (див. табл. 3.2).

Межі процентильного розмаху *мезіо-дистального розміру шийки других ВКЗ* у чоловіків різних краніотипів дорівнюють: *верхнього правого (17)* для долі-

хоцефалів – 7,190 мм і 8,130 мм; для мезоцефалів – 7,750 мм і 8,500 мм; для брахіцефалів – 7,390 мм і 8,390 мм; для гіпербрахіцефалів – 7,650 мм і 8,360 мм; *верхнього лівого (27)* для доліхоцефалів – 7,230 мм і 8,130 мм; для мезоцефалів – 7,630 мм і 8,340 мм; для брахіцефалів – 7,365 мм і 8,380 мм; для гіпербрахіцефалів – 7,820 мм і 8,230 мм; *нижнього правого (47)* для доліхоцефалів – 9,090 мм і 10,00 мм; для мезоцефалів – 9,420 мм і 10,09 мм; для брахіцефалів – 9,330 мм і 10,26 мм; для гіпербрахіцефалів – 9,590 мм і 10,30 мм; *нижнього лівого (37)* для доліхоцефалів – 9,480 мм і 10,11 мм; для мезоцефалів – 9,510 мм і 10,13 мм; для брахіцефалів – 9,365 мм і 10,31 мм; для гіпербрахіцефалів – 9,630 мм і 10,25 мм.

Мезіо-дистальний розмір шийки верхнього правого (17) другого ВКЗ у чоловіків доліхоцефалів достовірно менший порівняно із чоловіками мезоцефалами ($p < 0,05$) і гіпербрахіцефалами ($p < 0,01$) та має незначну тенденцію до менших значень ($p = 0,085$) порівняно з чоловіками брахіцефалами (див. табл. 3.2).

Мезіо-дистальний розмір шийки верхнього лівого (27) другого ВКЗ у чоловіків доліхоцефалів достовірно менший порівняно із чоловіками мезоцефалами ($p < 0,05$) і гіпербрахіцефалами ($p < 0,05$). Даний розмір у чоловіків брахіцефалів має тенденції до менших значень порівняно з чоловіками мезоцефалами ($p = 0,084$) і гіпербрахіцефалами ($p = 0,059$) (див. табл. 3.2).

Мезіо-дистальний розмір шийки нижнього правого (47) другого ВКЗ у чоловіків доліхоцефалів має тенденцію ($p = 0,073$) до менших значень порівняно з чоловіками гіпербрахіцефалами (див. табл. 3.2).

Межі процентильного розмаху *присінково-язикового розміру коронки перших ВКЗ* у чоловіків різних краніотипів дорівнюють: *верхнього правого (16)* для доліхоцефалів – 10,47 мм і 11,51 мм; для мезоцефалів – 11,00 мм і 12,09 мм; для брахіцефалів – 11,08 мм і 12,11 мм; для гіпербрахіцефалів – 10,92 мм і 11,84 мм; *верхнього лівого (26)* для доліхоцефалів – 10,65 мм і 11,60 мм; для мезоцефалів – 11,05 мм і 12,04 мм; для брахіцефалів – 11,07 мм і 12,00 мм; для гіпербрахіцефалів – 10,99 мм і 11,85 мм; *нижнього правого (46)* для доліхоцефалів – 10,26 мм і 11,40 мм; для мезоцефалів – 10,35 мм і 11,10 мм; для брахіцефалів – 10,28 мм і 11,22 мм; для гіпербрахіцефалів – 10,42 мм і 11,17 мм; *нижнього лівого (36)* для

доліхоцефалів – 10,30 мм і 11,30 мм; для мезоцефалів – 10,28 мм і 11,20 мм; для брахіцефалів – 10,20 мм і 11,39 мм; для гіпербрахіцефалів – 10,36 мм і 11,28 мм.

Присінково-язиковий розмір коронки верхніх правого (16) і лівого (26) перших ВКЗ у чоловіків доліхоцефалів достовірно менший порівняно з чоловіками мезоцефалами ($p < 0,01$) і брахіцефалами ($p < 0,05$) (див. табл. 3.2).

Межі процентильного розмаху *присінково-язикового розміру коронки других ВКЗ у чоловіків різних краніотипів дорівнюють: верхнього правого (17) для доліхоцефалів – 10,35 мм і 12,00 мм; для мезоцефалів – 11,07 мм і 12,15 мм; для брахіцефалів – 10,89 мм і 12,26 мм; для гіпербрахіцефалів – 11,00 мм і 12,15 мм; верхнього лівого (27) для доліхоцефалів – 10,10 мм і 11,90 мм; для мезоцефалів – 10,97 мм і 12,10 мм; для брахіцефалів – 11,07 мм і 12,00 мм; для гіпербрахіцефалів – 11,04 мм і 12,00 мм; нижнього правого (47) для доліхоцефалів – 10,25 мм і 11,31 мм; для мезоцефалів – 10,28 мм і 11,09 мм; для брахіцефалів – 10,20 мм і 11,36 мм; для гіпербрахіцефалів – 10,31 мм і 11,24 мм; нижнього лівого (37) для доліхоцефалів – 10,01 мм і 11,55 мм; для мезоцефалів – 10,20 мм і 10,87 мм; для брахіцефалів – 10,28 мм і 11,32 мм; для гіпербрахіцефалів – 10,35 мм і 11,39 мм.*

Присінково-язиковий розмір коронки верхніх правого (17) і лівого (27) других ВКЗ у чоловіків доліхоцефалів достовірно менший порівняно з чоловіками мезоцефалами ($p < 0,05$) і брахіцефалами ($p < 0,05$) та має виражену тенденцію до менших значень ($p = 0,052$ і $p = 0,054$) порівняно з чоловіками гіпербрахіцефалами (див. табл. 3.2).

Межі процентильного розмаху *присінково-язикового розміру шийки перших ВКЗ у чоловіків різних краніотипів дорівнюють: верхнього правого (16) для доліхоцефалів – 9,740 мм і 10,73 мм; для мезоцефалів – 10,40 мм і 11,52 мм; для брахіцефалів – 10,26 мм і 11,28 мм; для гіпербрахіцефалів – 10,00 мм і 11,50 мм; верхнього лівого (26) для доліхоцефалів – 9,330 мм і 10,63 мм; для мезоцефалів – 10,40 мм і 11,27 мм; для брахіцефалів – 10,29 мм і 11,20 мм; для гіпербрахіцефалів – 10,18 мм і 11,27 мм; нижнього правого (46) для доліхоцефалів – 8,850 мм і 9,630 мм; для мезоцефалів – 8,960 мм і 9,700 мм; для брахіцефалів – 8,985 мм і 9,830 мм; для гіпербрахіцефалів – 9,020 мм і 9,840 мм; нижнього лівого (36) для*

доліхоцефалів – 8,760 мм і 9,630 мм; для мезоцефалів – 9,000 мм і 9,760 мм; для брахіцефалів – 8,990 мм і 9,880 мм; для гіпербрахіцефалів – 8,980 мм і 9,760 мм.

Присінково-язиковий розмір шийки верхнього правого (16) першого ВКЗ у чоловіків доліхоцефалів достовірно менший порівняно з чоловіками мезоцефалами ($p < 0,01$) і брахіцефалами ($p < 0,05$) (див. табл. 3.2).

Присінково-язиковий шийки верхнього лівого (26) першого ВКЗ у чоловіків доліхоцефалів достовірно менший порівняно з чоловіками мезоцефалами ($p < 0,01$) і брахіцефалами ($p < 0,01$) і має тенденцію ($p = 0,064$) до менших значень порівняно з чоловіками гіпербрахіцефалами (див. табл. 3.2).

Межі процентильного розмаху *присінково-язикового розміру шийки других ВКЗ* у чоловіків різних краніотипів дорівнюють: *верхнього правого (17)* для доліхоцефалів – 9,450 мм і 11,48 мм; для мезоцефалів – 10,52 мм і 11,64 мм; для брахіцефалів – 10,36 мм і 11,66 мм; для гіпербрахіцефалів – 10,63 мм і 11,63 мм; *верхнього лівого (27)* для доліхоцефалів – 9,700 мм і 11,42 мм; для мезоцефалів – 10,52 мм і 11,55 мм; для брахіцефалів – 10,40 мм і 11,62 мм; для гіпербрахіцефалів – 10,65 мм і 11,59 мм; *нижнього правого (47)* для доліхоцефалів – 8,600 мм і 10,11 мм; для мезоцефалів – 9,100 мм і 9,830 мм; для брахіцефалів – 9,055 мм і 10,07 мм; для гіпербрахіцефалів – 8,750 мм і 10,20 мм; *нижнього лівого (37)* для доліхоцефалів – 10,28 мм і 9,960 мм; для мезоцефалів – 9,000 мм і 9,860 мм; для брахіцефалів – 9,940 мм і 10,30 мм; для гіпербрахіцефалів – 8,900 мм і 10,25 мм.

Присінково-язиковий розмір шийки верхнього правого (17) другого ВКЗ у чоловіків доліхоцефалів достовірно менший ($p < 0,05$) порівняно з чоловіками мезоцефалами і має тенденції до менших значень порівняно з чоловіками брахіцефалами ($p = 0,063$) і гіпербрахіцефалами ($p = 0,091$) (див. табл. 3.2).

Присінково-язиковий шийки верхнього лівого (26) першого ВКЗ у чоловіків доліхоцефалів достовірно менший ($p < 0,05$) порівняно з чоловіками брахіцефалами і має тенденції до менших значень порівняно з чоловіками мезоцефалами ($p = 0,063$) і гіпербрахіцефалами ($p = 0,072$) (див. табл. 3.2).

3.3. Розміри коронок великих кутніх зубів та їх коренів у чоловіків із різним типом обличчя

Межі процентильного розмаху висоти перших ВКЗ у чоловіків із різними типами обличчя дорівнюють: *верхнього правого (16)* для широкого обличчя – 19,69 мм і 22,25 мм; для середнього обличчя – 18,84 мм і 21,57 мм; для вузького обличчя – 18,89 мм і 22,35 мм; для дуже вузького обличчя – 19,38 мм і 22,57 мм; *верхнього лівого (26)* для широкого обличчя – 19,65 мм і 22,00 мм; для середнього обличчя – 19,06 мм і 21,30 мм; для вузького обличчя – 19,58 мм і 22,27 мм; для дуже вузького обличчя – 19,66 мм і 22,10 мм; *нижнього правого (46)* для широкого обличчя – 20,00 мм і 22,45 мм; для середнього обличчя – 19,90 мм і 21,92 мм; для вузького обличчя – 20,30 мм і 22,03 мм; для дуже вузького обличчя – 19,95 мм і 22,15 мм; *нижнього лівого (36)* для широкого обличчя – 19,85 мм і 22,49 мм; для середнього обличчя – 19,70 мм і 21,94 мм; для вузького обличчя – 20,70 мм і 22,37 мм; для дуже вузького обличчя – 20,15 мм і 22,61 мм.

Між чоловіками із різними типами обличчя не встановлено статистично значущих, або тенденцій відмінностей висоти перших ВКЗ (табл. 3.3).

Межі процентильного розмаху висоти других ВКЗ у чоловіків із різними типами обличчя дорівнюють: *верхнього правого (17)* для широкого обличчя – 19,16 мм і 21,40 мм; для середнього обличчя – 19,18 мм і 21,48 мм; для вузького обличчя – 19,10 мм і 21,78 мм; для дуже вузького обличчя – 19,45 мм і 21,51 мм; *верхнього лівого (27)* для широкого обличчя – 19,20 мм і 22,00 мм; для середнього обличчя – 19,06 мм і 21,22 мм; для вузького обличчя – 19,63 мм і 21,55 мм; для дуже вузького обличчя – 19,73 мм і 21,48 мм; *нижнього правого (47)* для широкого обличчя – 19,25 мм і 22,27 мм; для середнього обличчя – 19,36 мм і 21,43 мм; для вузького обличчя – 19,60 мм і 22,23 мм; для дуже вузького обличчя – 20,02 мм і 22,05 мм; *нижнього лівого (37)* для широкого обличчя – 19,32 мм і 22,20 мм; для середнього обличчя – 19,44 мм і 21,33 мм; для вузького обличчя – 19,60 мм і 22,45 мм; для дуже вузького обличчя – 19,90 мм і 22,85 мм.

Висота нижнього правого (47) другого ВКЗ у чоловіків із середнім обличчям достовірно ($p < 0,05$) менша порівняно з чоловіками із дуже вузьким обличчям і має тенденцію ($p = 0,070$) до менших значень порівняно з чоловіками із вузьким обличчям (див. табл. 3.3).

Висота нижнього лівого (37) другого ВКЗ у чоловіків із середнім обличчям достовірно ($p < 0,05$) менша порівняно з чоловіками із дуже вузьким обличчям (див. табл. 3.3).

Межі процентильного розмаху висоти коронки перших ВКЗ у чоловіків із різними типами обличчя дорівнюють: *верхнього правого (16)* для широкого обличчя – 6,06 мм і 7,34 мм; для середнього обличчя – 5,67 мм і 6,69 мм; для вузького обличчя – 6,00 мм і 7,20 мм; для дуже вузького обличчя – 5,80 мм і 7,37 мм; *верхнього лівого (26)* для широкого обличчя – 6,23 мм і 6,99 мм; для середнього обличчя – 6,02 мм і 6,84 мм; для вузького обличчя – 6,04 мм і 7,35 мм; для дуже вузького обличчя – 6,10 мм і 7,18 мм; *нижнього правого (46)* для широкого обличчя – 6,30 мм і 7,05 мм; для середнього обличчя – 6,20 мм і 6,96 мм; для вузького обличчя – 5,86 мм і 7,13 мм; для дуже вузького обличчя – 6,17 мм і 7,20 мм; *нижнього лівого (36)* для широкого обличчя – 6,41 мм і 7,00 мм; для середнього обличчя – 6,24 мм і 7,17 мм; для вузького обличчя – 6,00 мм і 7,19 мм; для дуже вузького обличчя – 6,20 мм і 7,33 мм.

Висота коронки верхнього правого (16) першого ВКЗ у чоловіків із середнім обличчям має тенденції до менших значень порівняно з чоловіками із вузьким ($p = 0,073$) і дуже вузьким ($p = 0,066$) обличчям (див. табл. 3.3).

Висота коронки верхнього лівого (26) першого ВКЗ у чоловіків із середнім обличчям має незначну тенденцію ($p = 0,080$) до менших значень порівняно із чоловіками з вузьким обличчям (див. табл. 3.3).

Межі процентильного розмаху висоти коронки других ВКЗ у чоловіків із різними типами обличчя дорівнюють: *верхнього правого (17)* для широкого обличчя – 6,15 мм і 7,00 мм; для середнього обличчя – 6,03 мм і 6,63 мм; для вузького обличчя – 5,85 мм і 6,90 мм; для дуже вузького обличчя – 6,00 мм і 7,10 мм; *верхнього лівого (27)* для широкого обличчя – 6,21 мм і 7,13 мм; для середнього

обличчя – 6,00 мм і 6,92 мм; для вузького обличчя – 5,88 мм і 7,10 мм; для дуже вузького обличчя – 6,10 мм і 7,30 мм; *нижнього правого (47)* для широкого обличчя – 6,34 мм і 7,05 мм; для середнього обличчя – 6,12 мм і 6,93 мм; для вузького обличчя – 6,10 мм і 7,23 мм; для дуже вузького обличчя – 6,10 мм і 7,63 мм; *нижнього лівого (37)* для широкого обличчя – 6,37 мм і 7,26 мм; для середнього обличчя – 6,14 мм і 7,11 мм; для вузького обличчя – 6,09 мм і 7,36 мм; для дуже вузького обличчя – 6,13 мм і 7,60 мм.

Між чоловіками із різними типами обличчя не встановлено статистично значущих, або тенденцій відмінностей *висоти коронки других ВКЗ* (див. табл. 3.3).

Межі процентильного розмаху *довжини піднебінного кореня перших ВКЗ* у чоловіків із різними типами обличчя дорівнюють: *верхнього правого (16)* для широкого обличчя – 11,85 мм і 13,48 мм; для середнього обличчя – 11,91 мм і 13,68 мм; для вузького обличчя – 11,72 мм і 13,71 мм; для дуже вузького обличчя – 11,76 мм і 13,69 мм; *верхнього лівого (26)* для широкого обличчя – 11,40 мм і 13,47 мм; для середнього обличчя – 11,70 мм і 13,56 мм; для вузького обличчя – 11,85 мм і 13,85 мм; для дуже вузького обличчя – 11,95 мм і 13,76 мм.

Межі процентильного розмаху *довжини ближнього кореня перших ВКЗ* у чоловіків із різними типами обличчя: *нижнього правого (46)* для широкого обличчя – 13,65 мм і 15,62 мм; для середнього обличчя – 13,12 мм і 14,62 мм; для вузького обличчя – 13,09 мм і 15,20 мм; для дуже вузького обличчя – 13,16 мм і 15,19 мм; *нижнього лівого (36)* для широкого обличчя – 13,55 мм і 15,61 мм; для середнього обличчя – 13,40 мм і 15,52 мм; для вузького обличчя – 13,40 мм і 15,52 мм; для дуже вузького обличчя – 13,30 мм і 15,41 мм.

Між чоловіками із різними типами обличчя не встановлено статистично значущих, або тенденцій відмінностей *довжини піднебінного кореня верхніх правого (16) і лівого (26) та довжини ближнього кореня нижніх правого (46) і лівого (36) перших ВКЗ* (див. табл. 3.3).

Межі процентильного розмаху *довжини піднебінного кореня других ВКЗ* у чоловіків із різними типами обличчя дорівнюють: *верхнього правого (17)* для

широкого обличчя – 12,25 мм і 14,50 мм; для середнього обличчя – 10,46 мм і 13,22 мм; для вузького обличчя – 11,34 мм і 14,20 мм; для дуже вузького обличчя – 11,16 мм і 13,88 мм; *верхнього лівого (27)* для широкого обличчя – 12,80 мм і 14,45 мм; для середнього обличчя – 11,34 мм і 13,55 мм; для вузького обличчя – 11,88 мм і 14,10 мм; для дуже вузького обличчя – 11,69 мм і 14,26 мм.

Межі процентильного розмаху довжини *ближнього кореня других ВКЗ* у чоловіків із різними типами обличчя: *нижнього правого (47)* для широкого обличчя – 12,90 мм і 14,30 мм; для середнього обличчя – 13,10 мм і 14,16 мм; для вузького обличчя – 12,85 мм і 15,05 мм; для дуже вузького обличчя – 13,27 мм і 14,51 мм; *нижнього лівого (37)* для широкого обличчя – 12,94 мм і 14,76 мм; для середнього обличчя – 12,95 мм і 14,22 мм; для вузького обличчя – 12,94 мм і 15,12 мм; для дуже вузького обличчя – 13,38 мм і 15,10 мм.

Довжина піднебінного кореня верхнього правого (17) другого ВКЗ у чоловіків із середнім обличчям має тенденцію ($p=0,073$) до менших значень порівняно із чоловіками із широким обличчям (див. табл. 3.3).

Довжина ближнього кореня нижнього лівого (37) другого ВКЗ у чоловіків із середнім обличчям має виражену тенденцію ($p=0,052$) до менших значень порівняно із чоловіками із дуже вузьким обличчям (див. табл. 3.3).

Межі процентильного розмаху довжини *присінкового ближнього кореня ВКЗ* у чоловіків із різними типами обличчя дорівнюють: *перших верхнього правого (16)* для широкого обличчя – 11,28 мм і 13,50 мм; для середнього обличчя – 10,39 мм і 13,12 мм; для вузького обличчя – 10,35 мм і 13,63 мм; для дуже вузького обличчя – 10,70 мм і 13,38 мм; *верхнього лівого (26)* для широкого обличчя – 11,17 мм і 13,59 мм; для середнього обличчя – 10,89 мм і 13,27 мм; для вузького обличчя – 11,30 мм і 13,79 мм; для дуже вузького обличчя – 10,83 мм і 13,90 мм.

Межі процентильного розмаху довжини *дальнього кореня ВКЗ* у чоловіків із різними типами обличчя дорівнюють: *перших нижнього правого (46)* для широкого обличчя – 12,90 мм і 14,88 мм; для середнього обличчя – 13,18 мм і 14,61 мм; для вузького обличчя – 13,15 мм і 14,69 мм; для дуже вузького обличчя – 12,69 мм і 14,93 мм; *нижнього лівого (36)* для широкого обличчя – 12,96 мм і

15,15 мм; для середнього обличчя – 12,16 мм і 14,84 мм; для вузького обличчя – 13,13 мм і 15,08 мм; для дуже вузького обличчя – 12,50 мм і 15,00 мм.

Між чоловіками із різними типами обличчя не встановлено статистично значущих, або тенденцій відмінностей *довжини присінкового ближнього кореня верхніх правого (16) і лівого (26) та довжини дальнього кореня нижніх правого (46) і лівого (36) перших ВКЗ* (див. табл. 3.3).

Межі процентильного розмаху *довжини присінкового ближнього кореня ВКЗ* у чоловіків із різними типами обличчя дорівнюють: *других верхнього правого (17)* для широкого обличчя – 11,40 мм і 13,49 мм; для середнього обличчя – 11,38 мм і 14,03 мм; для вузького обличчя – 10,50 мм і 13,83 мм; для дуже вузького обличчя – 10,73 мм і 14,04 мм; *верхнього лівого (27)* для широкого обличчя – 10,61 мм і 13,35 мм; для середнього обличчя – 10,59 мм і 13,69 мм; для вузького обличчя – 10,52 мм і 13,73 мм; для дуже вузького обличчя – 10,73 мм і 13,75 мм.

Межі процентильного розмаху *довжини дальнього кореня ВКЗ* у чоловіків із різними типами обличчя дорівнюють: *других нижнього правого (47)* для широкого обличчя – 13,02 мм і 14,50 мм; для середнього обличчя – 11,72 мм і 13,88 мм; для вузького обличчя – 12,19 мм і 14,87 мм; для дуже вузького обличчя – 12,34 мм і 14,31 мм; *нижнього лівого (37)* для широкого обличчя – 12,95 мм і 14,50 мм; для середнього обличчя – 11,75 мм і 13,68 мм; для вузького обличчя – 11,94 мм і 14,48 мм; для дуже вузького обличчя – 12,45 мм і 14,43 мм.

Довжина дальнього кореня нижнього правого (47) другого ВКЗ у чоловіків із середнім обличчям достовірно ($p < 0,05$) менша порівняно з чоловіками із дуже вузьким обличчям та має тенденції до менших значень порівняно із чоловіками із широким ($p = 0,078$) та вузьким ($p = 0,079$) обличчям (див. табл. 3.3).

Довжина дальнього кореня нижнього лівого (37) другого ВКЗ у чоловіків із середнім обличчям достовірно менша порівняно з чоловіками із дуже вузьким ($p < 0,05$) і широким ($p < 0,05$) обличчям (див. табл. 3.3).

Межі процентильного розмаху *довжини присінкового дальнього кореня ВКЗ* у чоловіків із різними типами обличчя дорівнюють: *перших верхнього правого (16)* для широкого обличчя – 11,87 мм і 14,34 мм; для середнього обличчя –

12,06 мм і 15,18 мм; для вузького обличчя – 12,08 мм і 14,67 мм; для дуже вузького обличчя – 11,64 мм і 14,53 мм; *верхнього лівого (26)* для широкого обличчя – 12,76 мм і 13,78 мм; для середнього обличчя – 11,88 мм і 14,65 мм; для вузького обличчя – 10,50 мм і 13,83 мм; для дуже вузького обличчя – 12,26 мм і 14,43 мм; *других верхнього правого (17)* для широкого обличчя – 11,19 мм і 14,00 мм; для середнього обличчя – 12,20 мм і 14,60 мм; для вузького обличчя – 12,08 мм і 14,67 мм; для дуже вузького обличчя – 10,89 мм і 14,00 мм; *верхнього лівого (27)* для широкого обличчя – 11,70 мм і 13,41 мм; для середнього обличчя – 12,27 мм і 14,64 мм; для вузького обличчя – 11,89 мм і 14,11 мм; для дуже вузького обличчя – 11,58 мм і 14,16 мм.

Довжина присінкового дальнього кореня верхнього правого (17) другого ВКЗ у чоловіків із дуже вузьким обличчям достовірно менша та має виражену тенденцію до менших значень порівняно із чоловіками із вузьким ($p < 0,05$) та середнім ($p = 0,052$) обличчям (див. табл. 3.3).

Межі процентильного розмаху *мезіо-дистального розміру коронки перших ВКЗ* у чоловіків із різними типами обличчя дорівнюють: *верхнього правого (16)* для широкого обличчя – 9,80 мм і 10,75 мм; для середнього обличчя – 9,34 мм і 10,22 мм; для вузького обличчя – 9,62 мм і 10,48 мм; для дуже вузького обличчя – 9,39 мм і 10,48 мм; *верхнього лівого (26)* для широкого обличчя – 9,75 мм і 10,75 мм; для середнього обличчя – 9,34 мм і 10,14 мм; для вузького обличчя – 9,60 мм і 10,50 мм; для дуже вузького обличчя – 9,40 мм і 10,50 мм; *нижнього правого (46)* для широкого обличчя – 10,75 мм і 11,50 мм; для середнього обличчя – 10,43 мм і 11,38 мм; для вузького обличчя – 10,48 мм і 11,60 мм; для дуже вузького обличчя – 10,34 мм і 11,50 мм; *нижнього лівого (36)* для широкого обличчя – 10,88 мм і 11,50 мм; для середнього обличчя – 10,28 мм і 11,39 мм; для вузького обличчя – 10,26 мм і 11,50 мм; для дуже вузького обличчя – 10,38 мм і 11,50 мм.

Мезіо-дистальний розмір коронки верхнього правого (16) першого ВКЗ у чоловіків із середнім обличчям достовірно менший та має виражену тенденцію до менших значень порівняно із чоловіками із широким ($p < 0,05$) та вузьким ($p = 0,054$) обличчям (див. табл. 3.3).

Мезіо-дистальний розмір коронки верхнього лівого (26) першого ВКЗ у чоловіків із середнім обличчям достовірно менший порівняно із чоловіками із широким ($p < 0,05$) та вузьким ($p < 0,05$) обличчям (див. табл. 3.3).

Межі процентильного розмаху *мезіо-дистального розміру коронки других ВКЗ у чоловіків із різними типами обличчя дорівнюють: верхнього правого (17) для широкого обличчя – 9,25 мм і 9,93 мм; для середнього обличчя – 8,95 мм і 9,57 мм; для вузького обличчя – 8,85 мм і 9,92 мм; для дуже вузького обличчя – 8,89 мм і 9,74 мм; верхнього лівого (27) для широкого обличчя – 9,30 мм і 9,88 мм; для середнього обличчя – 9,06 мм і 9,64 мм; для вузького обличчя – 9,05 мм і 10,05 мм; для дуже вузького обличчя – 9,00 мм і 10,75 мм; нижнього правого (47) для широкого обличчя – 10,88 мм і 11,40 мм; для середнього обличчя – 10,51 мм і 11,39 мм; для вузького обличчя – 10,60 мм і 11,42 мм; для дуже вузького обличчя – 10,63 мм і 11,35 мм; нижнього лівого (37) для широкого обличчя – 10,90 мм і 11,48 мм; для середнього обличчя – 10,62 мм і 11,43 мм; для вузького обличчя – 10,65 мм і 11,50 мм; для дуже вузького обличчя – 10,59 мм і 11,50 мм.*

Мезіо-дистальний розмір коронки верхнього правого (17) другого ВКЗ у чоловіків із широким обличчям достовірно більший та має виражену тенденцію до більших значень порівняно із чоловіками із середнім ($p < 0,05$) та дуже вузьким ($p = 0,058$) обличчям (див. табл. 3.3).

Межі процентильного розмаху *мезіо-дистального розміру шийки перших ВКЗ у чоловіків із різними типами обличчя дорівнюють: верхнього правого (16) для широкого обличчя – 7,73 мм і 9,03 мм; для середнього обличчя – 7,78 мм і 8,87 мм; для вузького обличчя – 7,95 мм і 8,75 мм; для дуже вузького обличчя – 7,90 мм і 8,67 мм; верхнього лівого (26) для широкого обличчя – 7,77 мм і 8,88 мм; для середнього обличчя – 7,72 мм і 8,66 мм; для вузького обличчя – 8,00 мм і 8,72 мм; для дуже вузького обличчя – 7,94 мм і 8,60 мм; нижнього правого (46) для широкого обличчя – 9,39 мм і 10,10 мм; для середнього обличчя – 9,21 мм і 9,93 мм; для вузького обличчя – 9,10 мм і 9,98 мм; для дуже вузького обличчя – 9,08 мм і 9,85 мм; нижнього лівого (36) для широкого обличчя – 9,35 мм і 10,16 мм; для середнього обличчя – 9,10 мм і 10,01 мм; для вузького обличчя – 9,10 мм*

і 10,13 мм; для дуже вузького обличчя – 9,05 мм і 10,06 мм.

Між чоловіками із різними типами обличчя не встановлено статистично значущих, або тенденцій відмінностей *мезіо-дистального розміру шийки перших ВКЗ* (див. табл. 3.3).

Межі процентильного розмаху *мезіо-дистального розміру шийки других ВКЗ* у чоловіків із різними типами обличчя дорівнюють: *верхнього правого (17)* для широкого обличчя – 7,79 мм і 8,73 мм; для середнього обличчя – 7,39 мм і 8,17 мм; для вузького обличчя – 7,35 мм і 8,50 мм; для дуже вузького обличчя – 7,43 мм і 8,33 мм; *верхнього лівого (27)* для широкого обличчя – 7,90 мм і 8,50 мм; для середнього обличчя – 7,46 мм і 8,24 мм; для вузького обличчя – 7,32 мм і 8,34 мм; для дуже вузького обличчя – 7,50 мм і 8,22 мм; *нижнього правого (47)* для широкого обличчя – 9,63 мм і 10,29 мм; для середнього обличчя – 9,32 мм і 10,15 мм; для вузького обличчя – 9,27 мм і 10,26 мм; для дуже вузького обличчя – 9,40 мм і 10,09 мм; *нижнього лівого (37)* для широкого обличчя – 9,50 мм і 10,26 мм; для середнього обличчя – 9,64 мм і 10,33 мм; для вузького обличчя – 9,48 мм і 10,35 мм; для дуже вузького обличчя – 9,51 мм і 10,11 мм.

Мезіо-дистальний розмір шийки верхнього правого (17) другого ВКЗ у чоловіків із широким обличчям достовірно більший порівняно із чоловіками із середнім ($p < 0,05$) та дуже вузьким ($p < 0,05$) обличчям (див. табл. 3.3).

Мезіо-дистальний розмір шийки верхнього лівого (17) другого ВКЗ у чоловіків із широким обличчям достовірно ($p < 0,05$) більший порівняно із чоловіками із дуже вузьким обличчям (див. табл. 3.3).

Межі процентильного розмаху *присінково-язикового розміру коронки перших ВКЗ* у чоловіків із різними типами обличчя дорівнюють: *верхнього правого (16)* для широкого обличчя – 11,05 мм і 12,09 мм; для середнього обличчя – 10,91 мм і 11,86 мм; для вузького обличчя – 11,07 мм і 11,92 мм; для дуже вузького обличчя – 10,91 мм і 12,01 мм; *верхнього лівого (26)* для широкого обличчя – 11,04 мм і 12,05 мм; для середнього обличчя – 10,89 мм і 11,89 мм; для вузького обличчя – 11,08 мм і 11,90 мм; для дуже вузького обличчя – 11,00 мм і 12,00 мм; *нижнього правого (46)* для широкого обличчя – 10,44 мм і 11,35 мм; для серед-

нього обличчя – 10,23 мм і 11,15 мм; для вузького обличчя – 10,36 мм і 11,20 мм; для дуже вузького обличчя – 10,34 мм і 11,27 мм; *нижнього лівого (36)* для широкого обличчя – 10,50 мм і 11,42 мм; для середнього обличчя – 10,15 мм і 11,09 мм; для вузького обличчя – 10,35 мм і 11,36 мм; для дуже вузького обличчя – 10,29 мм і 11,30 мм.

Між чоловіками із різними типами обличчя не встановлено статистично значущих, або тенденцій відмінностей *присінково-язикового розміру коронки перших ВКЗ* (див. табл. 3.3).

Межі процентильного розмаху *присінково-язикового розміру коронки других ВКЗ* у чоловіків із різними типами обличчя дорівнюють: *верхнього правого (17)* для широкого обличчя – 11,10 мм і 12,50 мм; для середнього обличчя – 10,97 мм і 12,28 мм; для вузького обличчя – 10,87 мм і 12,09 мм; для дуже вузького обличчя – 10,84 мм і 12,16 мм; *верхнього лівого (27)* для широкого обличчя – 11,04 мм і 12,40 мм; для середнього обличчя – 10,99 мм і 12,07 мм; для вузького обличчя – 10,44 мм і 11,94 мм; для дуже вузького обличчя – 10,95 мм і 12,05 мм; *нижнього правого (47)* для широкого обличчя – 10,40 мм і 11,67 мм; для середнього обличчя – 10,11 мм і 11,25 мм; для вузького обличчя – 10,36 мм і 11,20 мм; для дуже вузького обличчя – 10,28 мм і 11,31 мм; *нижнього лівого (37)* для широкого обличчя – 10,38 мм і 11,59 мм; для середнього обличчя – 10,18 мм і 11,24 мм; для вузького обличчя – 10,32 мм і 11,39 мм; для дуже вузького обличчя – 10,23 мм і 11,35 мм.

Присінково-язиковий розмір коронки нижнього правого (47) другого ВКЗ у чоловіків із широким обличчям має незначну тенденцію ($p=0,078$) до більших значень порівняно із чоловіками із середнім обличчям (див. табл. 3.3).

Присінково-язиковий розмір коронки нижнього лівого (37) другого ВКЗ у чоловіків із широким обличчям має тенденцію ($p=0,067$) до більших значень порівняно із чоловіками із середнім обличчям (див. табл. 3.3).

Межі процентильного розмаху *присінково-язикового розміру шийки перших ВКЗ* у чоловіків із різними типами обличчя дорівнюють: *верхнього правого (16)* для широкого обличчя – 10,00 мм і 11,63 мм; для середнього обличчя – 10,20 мм

і 11,18 мм; для вузького обличчя – 10,21 мм і 11,52 мм; для дуже вузького обличчя – 10,25 мм і 11,28 мм; *верхнього лівого (26)* для широкого обличчя – 10,18 мм і 11,50 мм; для середнього обличчя – 10,20 мм і 11,13 мм; для вузького обличчя – 10,24 мм і 11,13 мм; для дуже вузького обличчя – 10,28 мм і 11,17 мм; *нижнього правого (46)* для широкого обличчя – 9,13 мм і 9,82 мм; для середнього обличчя – 8,87 мм і 9,72 мм; для вузького обличчя – 9,04 мм і 9,86 мм; для дуже вузького обличчя – 8,94 мм і 9,73 мм; *нижнього лівого (36)* для широкого обличчя – 9,20 мм і 9,92 мм; для середнього обличчя – 8,76 мм і 9,76 мм; для вузького обличчя – 9,11 мм і 10,00 мм; для дуже вузького обличчя – 8,96 мм і 9,71 мм.

Між чоловіками із різними типами обличчя не встановлено статистично значущих, або тенденцій відмінностей *присінково-язикового розміру шийки перших ВКЗ* (див. табл. 3.3).

Межі процентильного розмаху *присінково-язикового розміру шийки других ВКЗ* у чоловіків із різними типами обличчя дорівнюють: *верхнього правого (17)* для широкого обличчя – 5,92 мм і 8,88 мм; для середнього обличчя – 8,29 мм і 9,18 мм; для вузького обличчя – 7,12 мм і 8,85 мм; для дуже вузького обличчя – 7,62 мм і 9,00 мм; *верхнього лівого (27)* для широкого обличчя – 10,65 мм і 11,75 мм; для середнього обличчя – 10,55 мм і 11,54 мм; для вузького обличчя – 9,94 мм і 11,44 мм; для дуже вузького обличчя – 10,30 мм і 11,66 мм; *нижнього правого (47)* для широкого обличчя – 8,90 мм і 10,09 мм; для середнього обличчя – 8,64 мм і 9,97 мм; для вузького обличчя – 9,11 мм і 10,27 мм; для дуже вузького обличчя – 9,10 мм і 9,95 мм; *нижнього лівого (37)* для широкого обличчя – 8,90 мм і 9,92 мм; для середнього обличчя – 8,74 мм і 9,95 мм; для вузького обличчя – 8,99 мм і 10,19 мм; для дуже вузького обличчя – 8,94 мм і 10,09 мм.

Присінково-язиковий розмір коронки верхнього правого (17) другого ВКЗ у чоловіків із середнім обличчям має тенденцію до більших значень порівняно із чоловіками із вузьким ($p=0,066$) і дуже вузьким ($p=0,071$) обличчям (див. табл. 3.3).

Таким чином, у практично здорових чоловіків України встановлені регіональні, краніотипологічні та фаціотипологічні відмінності комп'ютерно-томогра-

фічних розмірів ВКЗ. Найбільша кількість регіональних відмінностей комп'ютерно-томографічних розмірів ВКЗ встановлена для мезіо-дистальних і присінково-язикових розмірів коронок верхніх зубів, висоти коронок зубів, а також довжини ближнього кореня нижніх перших зубів; краніотипологічних – для присінково-язикових розмірів коронки та шийки верхніх зубів, мезіо-дистальних розмірів шийки верхніх других зубів, а також довжини дальнього кореня нижніх перших зубів; фаціотипологічних – для мезіо-дистальних розмірів коронки верхніх зубів, мезіо-дистальних розмірів шийки других верхніх зубів і висоти та довжини дальнього кореня других нижніх зубів.

Результати досліджень, які представлені в даному розділі дисертації, відображені в трьох наукових статтях у фахових журналах [47, 48, 246] та двох тезах науково-практичних конференцій [49, 104].

РОЗДІЛ 4
КОМП'ЮТЕРНО-ТОМОГРАФІЧНІ РОЗМІРИ КОРОНОК ВЕЛИКИХ
КУТНІХ ЗУБІВ ТА ЇХ КОРЕНІВ У ПРАКТИЧНО ЗДОРОВИХ
ЧОЛОВІКІВ ЦЕНТРАЛЬНОГО РЕГІОНУ УКРАЇНИ В ЗАЛЕЖНОСТІ ВІД
ФОРМИ ГОЛОВИ АБО ТИПУ ОБЛИЧЧЯ

4.1. Розміри коронок великих кутніх зубів та їх коренів у чоловіків центрального регіону України з різною формою голови

Межі процентильного розмаху висоти перших ВКЗ у чоловіків різних краніотипів центрального регіону України дорівнюють (відповідно, 25,0 percentl і 75,0 percentl): *верхнього правого (16)* для доліхоцефалів – 19,55 мм і 22,76 мм; для мезоцефалів – 18,49 мм і 22,78 мм; для брахіцефалів – 19,63 мм і 23,00 мм; для гіпербрахіцефалів – 19,30 мм і 21,60 мм; *верхнього лівого (26)* для доліхоцефалів – 20,10 мм і 21,73 мм; для мезоцефалів – 19,03 мм і 22,65 мм; для брахіцефалів – 19,94 мм і 22,11 мм; для гіпербрахіцефалів – 19,38 мм і 22,09 мм; *нижнього правого (46)* для доліхоцефалів – 18,93 мм і 22,60 мм; для мезоцефалів – 19,47 мм і 22,01 мм; для брахіцефалів – 20,77 мм і 22,82 мм; для гіпербрахіцефалів – 20,50 мм і 22,39 мм; *нижнього лівого (36)* для доліхоцефалів – 20,10 мм і 22,10 мм; для мезоцефалів – 19,60 мм і 22,05 мм; для брахіцефалів – 21,06 мм і 23,05 мм; для гіпербрахіцефалів – 21,47 мм і 22,51 мм.

Висота нижнього лівого (36) першого ВКЗ у чоловіків мезоцефалів має виражену тенденцію ($p=0,060$) до менших значень порівняно із чоловіками гіпербрахіцефалами (див. табл. 4.1).

Межі процентильного розмаху висоти других ВКЗ у чоловіків різних краніотипів центрального регіону України дорівнюють: *верхнього правого (17)* для доліхоцефалів – 19,10 мм і 21,87 мм; для мезоцефалів – 18,88 мм і 21,92 мм; для брахіцефалів – 18,59 мм і 21,78 мм; для гіпербрахіцефалів – 19,72 мм і 22,18 мм;

Продовження табл. 4.1

1	2	3	4	5	6	7	8	9	10	11
26VRZ2	11,91±2,01	11,63±2,24	12,52±2,24	12,28±1,18	>0,05	>0,05	>0,05	>0,05	>0,05	>0,05
26VRZ3	12,88±1,86	12,97±1,97	13,52±1,64	13,93±1,68	>0,05	>0,05	>0,05	>0,05	>0,05	>0,05
26HKZ	6,525±1,056	6,481±1,226	6,693±0,838	6,589±0,625	>0,05	>0,05	<0,05	>0,05	>0,05	>0,05
26MD_K	9,604±0,835	9,705±0,679	10,01±0,56	10,23±0,78	>0,05	>0,05	>0,05	>0,05	>0,05	>0,05
26MD_S	8,022±0,874	8,186±0,521	8,319±0,443	8,547±1,081	>0,05	>0,05	<0,05	>0,05	>0,05	>0,05
26VO_K	10,90±0,77	11,30±0,68	11,31±0,89	11,40±0,80	>0,05	=0,089	=0,069	>0,05	>0,05	>0,05
26VO_S	10,07±1,13	10,42±1,06	10,49±1,19	10,69±1,09	>0,05	=0,069	=0,065	>0,05	>0,05	>0,05
27HZ	20,44±2,31	20,26±2,84	20,69±2,20	20,81±1,16	>0,05	>0,05	>0,05	>0,05	>0,05	>0,05
27HRZ1	12,83±1,95	12,82±2,16	13,23±2,12	12,78±1,17	>0,05	>0,05	<0,05	>0,05	>0,05	>0,05
27HRZ2	12,35±1,87	11,30±1,57	12,15±1,74	13,04±1,84	>0,05	>0,05	>0,05	>0,05	<0,05	>0,05
27HRZ3	13,90±2,20	12,31±2,44	12,57±1,51	13,87±1,20	>0,05	>0,05	<0,05	>0,05	=0,057	<0,05
27HKZ	6,323±1,070	6,436±1,162	6,712±0,916	6,673±0,554	>0,05	>0,05	>0,05	>0,05	>0,05	>0,05
27MD_K	8,922±0,942	9,300±0,583	9,465±1,111	9,433±0,530	>0,05	>0,05	<0,05	>0,05	>0,05	>0,05
27MD_S	7,483±0,871	7,932±0,571	7,745±0,540	8,093±0,351	>0,05	>0,05	=0,074	>0,05	>0,05	<0,05
27VO_K	11,13±0,98	11,30±1,30	11,49±1,19	11,92±0,63	>0,05	>0,05	<0,05	>0,05	>0,05	>0,05
27VO_S	11,00±2,28	10,69±1,36	10,90±1,33	11,27±0,62	>0,05	>0,05	<0,05	>0,05	>0,05	>0,05
37HZ	21,37±1,90	20,28±1,50	21,14±1,85	21,88±1,20	>0,05	>0,05	>0,05	>0,05	<0,01	>0,05
37HRZ4	14,06±1,28	13,69±1,12	14,34±1,77	14,72±1,25	>0,05	>0,05	<0,05	>0,05	<0,05	>0,05
37HRZ5	12,86±1,29	12,69±1,67	13,16±1,77	14,18±1,28	>0,05	>0,05	<0,05	>0,05	<0,05	=0,080
37HKZ	6,702±0,992	6,351±0,967	6,743±0,757	6,966±0,738	>0,05	>0,05	<0,05	>0,05	>0,05	>0,05
37MD_K	10,85±0,86	10,69±0,48	11,08±0,64	11,16±0,65	>0,05	>0,05	>0,05	<0,05	=0,063	>0,05
37MD_S	9,583±0,873	9,769±0,682	10,06±0,85	9,989±0,492	>0,05	>0,05	>0,05	>0,05	>0,05	>0,05
37VO_K	10,52±0,98	10,76±0,58	10,62±0,83	11,01±0,96	>0,05	>0,05	<0,05	>0,05	>0,05	>0,05
37VO_S	9,152±0,968	9,613±0,666	9,452±1,149	9,610±1,192	>0,05	>0,05	<0,05	>0,05	>0,05	>0,05
36HZ	21,18±1,99	21,02±1,72	21,87±1,70	21,79±1,50	>0,05	>0,05	<0,05	>0,05	=0,060	>0,05
36HRZ4	14,30±1,67	14,28±1,21	14,61±1,66	15,61±3,37	>0,05	>0,05	<0,05	>0,05	=0,082	>0,05

Продовження табл. 4.1

1	2	3	4	5	6	7	8	9	10	11
36HRZ5	13,11±1,84	13,45±1,56	14,42±1,76	14,36±1,72	>0,05	=0,066	>0,05	>0,05	>0,05	>0,05
36HKZ	6,600±0,989	6,558±0,723	6,938±0,611	6,871±0,542	>0,05	>0,05	>0,05	=0,057	>0,05	>0,05
36MD_K	10,65±0,96	10,75±0,62	10,87±0,94	11,06±0,74	>0,05	>0,05	>0,05	>0,05	>0,05	>0,05
36MD_S	9,366±0,650	9,585±0,784	9,520±0,779	9,598±0,559	>0,05	>0,05	<0,05	>0,05	>0,05	>0,05
36VO_K	10,46±0,82	10,75±0,71	11,01±1,45	10,82±0,61	>0,05	>0,05	>0,05	>0,05	>0,05	>0,05
36VO_S	9,146±0,645	9,398±0,465	9,258±0,516	9,430±0,515	>0,05	>0,05	<0,05	>0,05	>0,05	>0,05
46HZ	20,95±2,11	20,96±1,80	21,74±1,70	20,83±2,85	>0,05	>0,05	>0,05	>0,05	>0,05	>0,05
46HRZ4	14,22±1,81	14,05±1,32	14,39±1,69	14,77±1,66	>0,05	>0,05	<0,05	>0,05	>0,05	>0,05
46HRZ5	13,10±1,71	13,26±1,50	14,48±1,66	14,47±1,69	>0,05	<0,05	<0,05	=0,065	<0,05	>0,05
46HKZ	6,335±0,794	6,666±0,907	6,895±0,641	6,753±0,447	>0,05	=0,054	>0,05	>0,05	<0,05	>0,05
46MD_K	10,69±0,93	10,52±1,09	11,04±0,89	11,66±1,80	>0,05	>0,05	>0,05	>0,05	=0,060	>0,05
46MD_S	9,321±0,625	9,284±1,243	9,341±0,835	9,705±0,371	>0,05	>0,05	<0,05	>0,05	=0,090	>0,05
46VO_K	10,52±0,80	10,72±0,73	10,72±0,64	10,87±0,37	>0,05	>0,05	>0,05	>0,05	>0,05	>0,05
46VO_S	9,093±0,627	9,374±0,436	9,298±0,487	9,522±0,473	>0,05	>0,05	>0,05	>0,05	>0,05	>0,05
47HZ	21,14±1,62	20,42±1,44	21,33±2,08	21,44±0,80	>0,05	>0,05	<0,05	>0,05	=0,067	>0,05
47HRZ4	14,33±1,16	13,54±1,01	14,06±2,05	14,09±1,11	>0,05	>0,05	>0,05	>0,05	>0,05	>0,05
47HRZ5	13,19±1,76	12,72±1,61	13,42±2,11	14,11±1,19	>0,05	>0,05	<0,05	>0,05	<0,01	>0,05
47HKZ	6,567±0,837	6,624±1,184	6,931±0,950	7,001±0,670	>0,05	>0,05	<0,05	>0,05	>0,05	>0,05
47MD_K	10,80±0,88	10,69±0,44	11,05±0,63	11,28±0,58	>0,05	>0,05	<0,05	<0,05	<0,05	>0,05
47MD_S	9,452±0,763	9,791±0,782	9,979±0,873	10,06±0,48	>0,05	>0,05	=0,056	>0,05	>0,05	>0,05
47VO_K	10,55±0,91	10,72±0,50	10,62±0,83	10,93±0,84	>0,05	>0,05	>0,05	>0,05	>0,05	>0,05
47VO_S	9,232±0,854	9,591±0,585	9,299±0,806	9,674±1,138	>0,05	>0,05	<0,05	>0,05	>0,05	>0,05

Примітки: тут і в подальших таблицях 16- – верхній правий перший ВКЗ; 17- – верхній правий другий ВКЗ; 26- – верхній лівий перший ВКЗ; 27- – верхній лівий другий ВКЗ; 36- – нижній лівий перший ВКЗ; 37- – нижній лівий другий ВКЗ; 46- – нижній правий перший ВКЗ; 47- – нижній правий другий ВКЗ; HZ – висота відповідного зуба; HRZ1 – довжина

піднебінного кореня верхніх ВКЗ; HRZ2 – довжина присінкового ближнього кореня верхніх ВКЗ; HRZ3 – довжина присінкового дальнього кореня верхніх ВКЗ; HRZ4 – довжина ближнього кореня нижніх ВКЗ; HRZ5 – довжина дальнього кореня нижніх ВКЗ; MD_K – мезіо-дистальний розмір коронки; MD_S – мезіо-дистальний розмір шийки; VO_K – присінково-язиковий розмір коронки; VO_S – присінково-язиковий розмір шийки; p – достовірність відмінностей між одонтометричними показниками у представників відповідних краніотипів, або типів обличчя.

верхнього лівого (27) для доліхоцефалів – 20,05 мм і 22,40 мм; для мезоцефалів – 18,97 мм і 22,32 мм; для брахіцефалів – 18,79 мм і 22,88 мм; для гіпербрахіцефалів – 20,13 мм і 21,49 мм; *нижнього правого (47)* для доліхоцефалів – 19,53 мм і 22,26 мм; для мезоцефалів – 19,28 мм і 21,84 мм; для брахіцефалів – 19,60 мм і 23,01 мм; для гіпербрахіцефалів – 20,73 мм і 22,12 мм; *нижнього лівого (37)* для доліхоцефалів – 19,66 мм і 22,85 мм; для мезоцефалів – 19,40 мм і 21,45 мм; для брахіцефалів – 19,67 мм і 22,60 мм; для гіпербрахіцефалів – 20,78 мм і 22,85 мм.

Висота нижнього правого (47) другого ВКЗ у чоловіків мезоцефалів має тенденцію ($p=0,067$) до менших значень порівняно із чоловіками гіпербрахіцефалами (див. табл. 4.1).

Висота нижнього лівого (37) другого ВКЗ у чоловіків мезоцефалів достовірно ($p<0,01$) менша порівняно із чоловіками гіпербрахіцефалами (див. табл. 4.1).

Межі процентильного розмаху *висоти коронки перших ВКЗ* у чоловіків центрального регіону України різних краніотипів дорівнюють: *верхнього правого (16)* для доліхоцефалів – 5,650 мм і 7,420 мм; для мезоцефалів – 5,350 мм і 6,920 мм; для брахіцефалів – 5,970 мм і 7,455 мм; для гіпербрахіцефалів – 6,095 мм і 6,920 мм; *верхнього лівого (26)* для доліхоцефалів – 5,900 мм і 7,430 мм; для мезоцефалів – 5,630 мм і 6,900 мм; для брахіцефалів – 6,150 мм і 7,470 мм; для гіпербрахіцефалів – 6,170 мм і 6,895 мм; *нижнього правого (46)* для доліхоцефалів – 5,600 мм і 6,920 мм; для мезоцефалів – 5,925 мм і 7,225 мм; для брахіцефалів –

6,330 мм і 7,200 мм; для гіпербрахіцефалів – 6,590 мм і 6,995 мм; *нижнього лівого (36)* для доліхоцефалів – 5,530 мм і 7,550 мм; для мезоцефалів – 5,950 мм і 7,045 мм; для брахіцефалів – 6,720 мм і 7,350 мм; для гіпербрахіцефалів – 6,585 мм і 7,430 мм.

Висота коронки нижнього правого (46) першого ВКЗ у чоловіків доліхоцефалів має виражену тенденцію ($p=0,054$) до менших значень порівняно із чоловіками брахіцефалами (див. табл. 4.1).

Висота нижнього лівого (36) першого ВКЗ у чоловіків мезоцефалів має виражену тенденцію до менших значень ($p=0,057$) порівняно із чоловіками брахіцефалами (див. табл. 4.1).

Межі процентильного розмаху *висоти коронки других ВКЗ* у чоловіків центрального регіону України різних краніотипів дорівнюють: *верхнього правого (17)* для доліхоцефалів – 5,550 мм і 7,100 мм; для мезоцефалів – 5,300 мм і 6,995 мм; для брахіцефалів – 6,040 мм і 7,265 мм; для гіпербрахіцефалів – 6,270 мм і 7,290 мм; *верхнього лівого (27)* для доліхоцефалів – 5,760 мм і 6,600 мм; для мезоцефалів – 5,435 мм і 7,460 мм; для брахіцефалів – 6,090 мм і 7,480 мм; для гіпербрахіцефалів – 6,280 мм і 7,030 мм; *нижнього правого (47)* для доліхоцефалів – 6,270 мм і 6,850 мм; для мезоцефалів – 5,485 мм і 7,650 мм; для брахіцефалів – 6,100 мм і 7,640 мм; для гіпербрахіцефалів – 6,450 мм і 7,515 мм; *нижнього лівого (37)* для доліхоцефалів – 6,120 мм і 7,350 мм; для мезоцефалів – 5,515 мм і 7,110 мм; для брахіцефалів – 6,130 мм і 7,250 мм; для гіпербрахіцефалів – 6,225 мм і 7,610 мм.

Між чоловіками центрального регіону України із різними краніотипами не встановлено статистично значущих, або тенденцій відмінностей *висоти коронки других ВКЗ* (див. табл. 4.1).

Межі процентильного розмаху *довжини піднебінного кореня перших ВКЗ* у чоловіків центрального регіону України різних краніотипів дорівнюють: *верхнього правого (16)* для доліхоцефалів – 11,99 мм і 13,90 мм; для мезоцефалів – 11,82 мм і 14,12 мм; для брахіцефалів – 11,72 мм і 14,20 мм; для гіпербрахіцефалів – 11,76 мм і 13,43 мм; *верхнього лівого (26)* для доліхоцефалів – 11,81 мм і

13,52 мм; для мезоцефалів – 11,20 мм і 14,48 мм; для брахіцефалів – 11,70 мм і 14,11 мм; для гіпербрахіцефалів – 11,99 мм і 13,46 мм.

Межі процентильного розмаху довжини ближнього кореня перших ВКЗ у чоловіків центрального регіону України різних краніотипів дорівнюють: *нижнього правого (46)* для доліхоцефалів – 13,16 мм і 15,88 мм; для мезоцефалів – 12,90 мм і 14,85 мм; для брахіцефалів – 13,04 мм і 15,75 мм; для гіпербрахіцефалів – 13,57 мм і 15,86 мм; *нижнього лівого (36)* для доліхоцефалів – 13,45 мм і 15,75 мм; для мезоцефалів – 13,30 мм і 15,13 мм; для брахіцефалів – 13,27 мм і 16,13 мм; для гіпербрахіцефалів – 13,99 мм і 15,89 мм.

Довжина ближнього кореня першого нижнього лівого (36) ВКЗ у чоловіків мезоцефалів має незначну тенденцію ($p=0,082$) до менших значень порівняно із чоловіками гіпербрахіцефалами (див. табл. 4.1).

Межі процентильного розмаху довжини піднебінного кореня других ВКЗ у чоловіків центрального регіону України різних краніотипів дорівнюють: *верхнього правого (17)* для доліхоцефалів – 11,34 мм і 14,40 мм; для мезоцефалів – 12,14 мм і 13,88 мм; для брахіцефалів – 11,19 мм і 13,85 мм; для гіпербрахіцефалів – 10,85 мм і 13,75 мм; *верхнього лівого (27)* для доліхоцефалів – 11,30 мм і 14,13 мм; для мезоцефалів – 11,80 мм і 14,04 мм; для брахіцефалів – 12,36 мм і 14,77 мм; для гіпербрахіцефалів – 12,07 мм і 13,49 мм.

Межі процентильного розмаху довжини ближнього кореня других ВКЗ у чоловіків центрального регіону України різних краніотипів дорівнюють: *нижнього правого (47)* для доліхоцефалів – 13,15 мм і 15,50 мм; для мезоцефалів – 13,01 мм і 14,10 мм; для брахіцефалів – 13,09 мм і 15,60 мм; для гіпербрахіцефалів – 13,46 мм і 14,89 мм; *нижнього лівого (37)* для доліхоцефалів – 13,18 мм і 13,05 мм; для мезоцефалів – 13,14 мм і 14,30 мм; для брахіцефалів – 13,25 мм і 15,23 мм; для гіпербрахіцефалів – 14,03 мм і 15,63 мм.

Довжина ближнього кореня другого нижнього лівого (37) ВКЗ у чоловіків мезоцефалів достовірно ($p<0,05$) менша порівняно із чоловіками гіпербрахіцефалами (див. табл. 4.1).

Межі процентильного розмаху довжини присінкового ближнього кореня

ВКЗ у чоловіків центрального регіону України різних краніотипів дорівнюють: *перших верхнього правого (16)* для доліхоцефалів – 9,120 мм і 13,10 мм; для мезоцефалів – 10,01 мм і 13,53 мм; для брахіцефалів – 10,25 мм і 12,98 мм; для гіпербрахіцефалів – 11,04 мм і 14,05 мм; *верхнього лівого (26)* для доліхоцефалів – 10,53 мм і 12,98 мм; для мезоцефалів – 10,01 мм і 13,34 мм; для брахіцефалів – 10,37 мм і 13,94 мм; для гіпербрахіцефалів – 11,63 мм і 13,19 мм.

Межі процентильного розмаху довжини дальнього кореня *ВКЗ* у чоловіків центрального регіону України різних краніотипів дорівнюють: *перших нижнього правого (46)* для доліхоцефалів – 11,92 мм і 14,05 мм; для мезоцефалів – 12,00 мм і 14,57 мм; для брахіцефалів – 13,38 мм і 14,93 мм; для гіпербрахіцефалів – 13,81 мм і 15,28 мм; *нижнього лівого (36)* для доліхоцефалів – 11,73 мм і 14,28 мм; для мезоцефалів – 12,57 мм і 14,91 мм; для брахіцефалів – 13,00 мм і 15,07 мм; для гіпербрахіцефалів – 13,76 мм і 15,40 мм.

Довжина дальнього кореня першого нижнього правого (46) *ВКЗ* у чоловіків доліхоцефалів достовірно менша порівняно із чоловіками брахіцефалами ($p < 0,05$) і гіпербрахіцефалами ($p < 0,05$). Даний розмір у чоловіків мезоцефалів достовірно менший ($p < 0,05$) порівняно із чоловіками гіпербрахіцефалами і має тенденцію ($p = 0,065$) до менших значень порівняно із чоловіками брахіцефалами (див. табл. 4.1).

Довжина дальнього кореня першого нижнього лівого (36) *ВКЗ* у чоловіків доліхоцефалів має тенденцію ($p = 0,066$) до менших значень порівняно із чоловіками брахіцефалами (див. табл. 4.1).

Межі процентильного розмаху довжини присінкового ближнього кореня *ВКЗ* у чоловіків центрального регіону України різних краніотипів дорівнюють: *других верхнього правого (17)* для доліхоцефалів – 9,580 мм і 14,33 мм; для мезоцефалів – 9,850 мм і 12,18 мм; для брахіцефалів – 11,47 мм і 14,97 мм; для гіпербрахіцефалів – 11,64 мм і 14,45 мм; *верхнього лівого (27)* для доліхоцефалів – 10,25 мм і 13,94 мм; для мезоцефалів – 10,25 мм і 12,55 мм; для брахіцефалів – 10,73 мм і 13,42 мм; для гіпербрахіцефалів – 11,67 мм і 13,82 мм.

Межі процентильного розмаху довжини дальнього кореня *ВКЗ* у чоловіків

центрального регіону України різних краніотипів дорівнюють: *других нижнього правого (47)* для доліхоцефалів – 11,85 мм і 14,87 мм; для мезоцефалів – 11,14 мм і 13,67 мм; для брахіцефалів – 12,10 мм і 15,07 мм; для гіпербрахіцефалів – 13,70 мм і 14,69 мм; *нижнього лівого (37)* для доліхоцефалів – 12,10 мм і 14,00 мм; для мезоцефалів – 10,74 мм і 13,75 мм; для брахіцефалів – 11,90 мм і 14,24 мм; для гіпербрахіцефалів – 13,51 мм і 15,20 мм.

Довжина присінкового ближнього кореня верхнього правого (17) другого ВКЗ у чоловіків мезоцефалів достовірно менша порівняно із чоловіками брахіцефалами ($p < 0,05$) і гіпербрахіцефалами ($p < 0,01$) (див. табл. 4.1).

Довжина присінкового ближнього кореня верхнього лівого (27) другого ВКЗ у чоловіків мезоцефалів достовірно ($p < 0,05$) менша порівняно із чоловіками гіпербрахіцефалами (див. табл. 4.1).

Довжина дальнього кореня нижнього правого (47) другого ВКЗ у чоловіків мезоцефалів достовірно ($p < 0,01$) менша порівняно із чоловіками гіпербрахіцефалами (див. табл. 4.1).

Довжина дальнього кореня нижнього лівого (37) другого ВКЗ у чоловіків гіпербрахіцефалів достовірно більша порівняно із чоловіками доліхоцефалами ($p < 0,05$) і мезоцефалами ($p < 0,05$) та має незначну тенденцію ($p = 0,080$) до більших значень порівняно із чоловіками брахіцефалами (див. табл. 4.1).

Межі процентильного розмаху *довжини присінкового дальнього кореня ВКЗ* у чоловіків центрального регіону України різних краніотипів дорівнюють: *перших верхнього правого (16)* для доліхоцефалів – 10,18 мм і 14,00 мм; для мезоцефалів – 10,57 мм і 15,59 мм; для брахіцефалів – 12,06 мм і 14,55 мм; для гіпербрахіцефалів – 12,72 мм і 15,20 мм; *верхнього лівого (26)* для доліхоцефалів – 11,10 мм і 14,02 мм; для мезоцефалів – 11,00 мм і 14,68 мм; для брахіцефалів – 12,35 мм і 14,37 мм; для гіпербрахіцефалів – 12,65 мм і 15,17 мм; *других верхнього правого (17)* для доліхоцефалів – 12,10 мм і 14,11 мм; для мезоцефалів – 10,87 мм і 14,40 мм; для брахіцефалів – 11,08 мм і 13,22 мм; для гіпербрахіцефалів – 12,97 мм і 14,59 мм; *верхнього лівого (27)* для доліхоцефалів – 12,75 мм і 14,95 мм; для мезоцефалів – 10,66 мм і 13,62 мм; для брахіцефалів – 10,99 мм і 14,05

мм; для гіпербрахіцефалів – 12,87 мм і 14,48 мм.

Довжина присінкового дальнього кореня верхнього правого (17) другого ВКЗ у чоловіків брахіцефалів має виражену тенденцію ($p=0,054$) до менших значень порівняно із чоловіками гіпербрахіцефалами (див. табл. 4.1).

Довжина присінкового дальнього кореня верхнього лівого (27) другого ВКЗ у чоловіків гіпербрахіцефалів достовірно більша і має виражену тенденцію до більших значень порівняно із чоловіками брахіцефалами ($p<0,05$) і мезоцефалами ($p=0,057$) (див. табл. 4.1).

Межі процентильного розмаху *мезіо-дистального розміру коронки перших ВКЗ* у чоловіків центрального регіону України різних краніотипів дорівнюють: *верхнього правого (16)* для доліхоцефалів – 8,730 мм і 10,30 мм; для мезоцефалів – 9,270 мм і 10,51 мм; для брахіцефалів – 9,390 мм і 10,35 мм; для гіпербрахіцефалів – 9,985 мм і 10,48 мм; *верхнього лівого (26)* для доліхоцефалів – 8,970 мм і 10,23 мм; для мезоцефалів – 9,260 мм і 10,32 мм; для брахіцефалів – 9,700 мм і 10,43 мм; для гіпербрахіцефалів – 9,830 мм і 10,49 мм; *нижнього правого (46)* для доліхоцефалів – 10,34 мм і 11,27 мм; для мезоцефалів – 10,03 мм і 11,34 мм; для брахіцефалів – 10,48 мм і 11,60 мм; для гіпербрахіцефалів – 10,84 мм і 11,75 мм; *нижнього лівого (36)* для доліхоцефалів – 10,30 мм і 11,25 мм; для мезоцефалів – 10,32 мм і 11,30 мм; для брахіцефалів – 10,30 мм і 11,51 мм; для гіпербрахіцефалів – 10,34 мм і 11,69 мм.

Мезіо-дистальний розмір коронки верхнього правого (16) першого ВКЗ у чоловіків доліхоцефалів достовірно ($p<0,05$) менший порівняно із чоловіками гіпербрахіцефалами (див. табл. 4.1).

Мезіо-дистальний розмір коронки нижнього правого (46) першого ВКЗ у чоловіків гіпербрахіцефалів має виражену тенденцію ($p=0,060$) до більших значень порівняно із чоловіками мезоцефалами (див. табл. 4.1).

Межі процентильного розмаху *мезіо-дистального розміру коронки других ВКЗ* у чоловіків центрального регіону України різних краніотипів дорівнюють: *верхнього правого (17)* для доліхоцефалів – 8,450 мм і 9,880 мм; для мезоцефалів – 9,105 мм і 9,780 мм; для брахіцефалів – 8,920 мм і 9,520 мм; для гіпербрахіце-

фалів – 9,125 мм і 9,420 мм; *верхнього лівого (27)* для доліхоцефалів – 8,100 мм і 9,500 мм; для мезоцефалів – 8,935 мм і 9,680 мм; для брахіцефалів – 8,890 мм і 9,800 мм; для гіпербрахіцефалів – 9,100 мм і 9,875 мм; *нижнього правого (47)* для доліхоцефалів – 9,770 мм і 11,70 мм; для мезоцефалів – 10,46 мм і 11,07 мм; для брахіцефалів – 10,85 мм і 11,25 мм; для гіпербрахіцефалів – 10,76 мм і 11,82 мм; *нижнього лівого (37)* для доліхоцефалів – 9,850 мм і 10,32 мм; для мезоцефалів – 10,45 мм і 11,01 мм; для брахіцефалів – 10,85 мм і 11,38 мм; для гіпербрахіцефалів – 10,58 мм і 11,64 мм.

Мезіо-дистальний розмір коронки верхнього правого (17) другого ВКЗ у чоловіків доліхоцефалів має виражену тенденцію ($p=0,056$) до менших значень порівняно із чоловіками гіпербрахіцефалами (див. табл. 4.1).

Мезіо-дистальний розмір коронки нижнього правого (47) другого ВКЗ у чоловіків мезоцефалів достовірно менший порівняно із чоловіками брахіцефалами ($p<0,05$) і гіпербрахіцефалами ($p<0,05$) (див. табл. 4.1).

Мезіо-дистальний розмір коронки нижнього лівого (37) другого ВКЗ у чоловіків мезоцефалів достовірно менший ($p<0,05$) порівняно із чоловіками брахіцефалами і має тенденцію ($p=0,063$) до менших значень порівняно із чоловіками гіпербрахіцефалами (див. табл. 4.1).

Межі процентильного розмаху *мезіо-дистального розміру шийки перших ВКЗ* у чоловіків центрального регіону України різних краніотипів дорівнюють: *верхнього правого (16)* для доліхоцефалів – 7,200 мм і 8,250 мм; для мезоцефалів – 7,770 мм і 8,385 мм; для брахіцефалів – 8,130 мм і 8,730 мм; для гіпербрахіцефалів – 8,250 мм і 9,005 мм; *верхнього лівого (26)* для доліхоцефалів – 7,480 мм і 8,420 мм; для мезоцефалів – 7,825 мм і 8,570 мм; для брахіцефалів – 8,130 мм і 8,690 мм; для гіпербрахіцефалів – 8,050 мм і 8,800 мм; *нижнього правого (46)* для доліхоцефалів – 9,100 мм і 11,70 мм; для мезоцефалів – 9,150 мм і 9,790 мм; для брахіцефалів – 9,100 мм і 9,780 мм; для гіпербрахіцефалів – 9,460 мм і 9,985 мм; *нижнього лівого (36)* для доліхоцефалів – 8,960 мм і 10,00 мм; для мезоцефалів – 9,095 мм і 10,12 мм; для брахіцефалів – 9,150 мм і 9,880 мм; для гіпербрахіцефалів – 9,175 мм і 10,16 мм.

Мезіо-дистальний розмір шийки верхнього правого (16) першого ВКЗ у чоловіків доліхоцефалів достовірно менший порівняно із чоловіками брахіцефалами ($p < 0,05$) і гіпербрахіцефалами ($p < 0,05$) і має виражену тенденцію ($p = 0,061$) до менших значень порівняно із чоловіками мезоцефалами. Даний розмір у чоловіків гіпербрахіцефалів має виражену тенденцію ($p = 0,057$) до більших значень порівняно із чоловіками мезоцефалами (див. табл. 4.1).

Мезіо-дистальний розмір шийки нижнього правого (46) першого ВКЗ у чоловіків гіпербрахіцефалів має незначну тенденцію ($p = 0,090$) до більших значень порівняно із чоловіками мезоцефалами (див. табл. 4.1).

Межі процентильного розмаху *мезіо-дистального розміру шийки других ВКЗ у чоловіків центрального регіону України різних краніотипів дорівнюють: верхнього правого (17) для доліхоцефалів – 6,680 мм і 8,300 мм; для мезоцефалів – 7,340 мм і 8,620 мм; для брахіцефалів – 7,480 мм і 8,100 мм; для гіпербрахіцефалів – 7,875 мм і 8,370 мм; верхнього лівого (27) для доліхоцефалів – 6,700 мм і 8,300 мм; для мезоцефалів – 7,525 мм і 8,340 мм; для брахіцефалів – 7,470 мм і 8,020 мм; для гіпербрахіцефалів – 7,800 мм і 8,250 мм; нижнього правого (47) для доліхоцефалів – 8,850 мм і 10,17 мм; для мезоцефалів – 9,290 мм і 10,17 мм; для брахіцефалів – 9,400 мм і 10,38 мм; для гіпербрахіцефалів – 9,710 мм і 10,40 мм; нижнього лівого (37) для доліхоцефалів – 8,980 мм і 10,55 мм; для мезоцефалів – 9,325 мм і 10,13 мм; для брахіцефалів – 9,615 мм і 10,26 мм; для гіпербрахіцефалів – 9,615 мм і 10,26 мм.*

Мезіо-дистальний розмір шийки верхнього правого (17) другого ВКЗ у чоловіків гіпербрахіцефалів достовірно більший порівняно із чоловіками брахіцефалами ($p < 0,05$) і доліхоцефалами ($p < 0,05$) (див. табл. 4.1).

Мезіо-дистальний розмір шийки верхнього лівого (27) другого ВКЗ у чоловіків гіпербрахіцефалів достовірно більший ($p < 0,05$) порівняно із чоловіками брахіцефалами і має незначну тенденцію ($p = 0,074$) до більших значень порівняно із чоловіками доліхоцефалами (див. табл. 4.1).

Мезіо-дистальний розмір шийки нижнього правого (47) другого ВКЗ у чоловіків гіпербрахіцефалів має виражену тенденцію ($p = 0,056$) до більших значень

порівняно із чоловіками доліхоцефалами (див. табл. 4.1).

Межі процентильного розмаху *присінково-язикового розміру коронки перших ВКЗ* у чоловіків центрального регіону України різних краніотипів дорівнюють: *верхнього правого (16)* для доліхоцефалів – 10,30 мм і 11,51 мм; для мезоцефалів – 10,95 мм і 12,09 мм; для брахіцефалів – 11,09 мм і 11,94 мм; для гіпербрахіцефалів – 11,18 мм і 12,11 мм; *верхнього лівого (26)* для доліхоцефалів – 10,20 мм і 11,34 мм; для мезоцефалів – 10,94 мм і 11,91 мм; для брахіцефалів – 11,08 мм і 11,98 мм; для гіпербрахіцефалів – 11,19 мм і 11,95 мм; *нижнього правого (46)* для доліхоцефалів – 9,750 мм і 11,07 мм; для мезоцефалів – 10,18 мм і 11,42 мм; для брахіцефалів – 10,24 мм і 11,19 мм; для гіпербрахіцефалів – 10,59 мм і 11,18 мм; *нижнього лівого (36)* для доліхоцефалів – 9,640 мм і 10,93 мм; для мезоцефалів – 10,26 мм і 11,44 мм; для брахіцефалів – 10,20 мм і 11,42 мм; для гіпербрахіцефалів – 10,35 мм і 11,17 мм.

Присінково-язиковий розмір коронки верхнього правого (16) першого ВКЗ у чоловіків доліхоцефалів достовірно ($p < 0,05$) менший порівняно із чоловіками гіпербрахіцефалами і має тенденцію ($p = 0,064$) до менших значень порівняно із чоловіками брахіцефалами (див. табл. 4.1).

Присінково-язиковий розмір коронки верхнього лівого (26) першого ВКЗ у чоловіків доліхоцефалів має тенденції до менших значень порівняно із чоловіками брахіцефалами ($p = 0,089$) і гіпербрахіцефалами ($p = 0,069$) (див. табл. 4.1).

Межі процентильного розмаху *присінково-язикового розміру коронки других ВКЗ* у чоловіків центрального регіону України різних краніотипів дорівнюють: *верхнього правого (17)* для доліхоцефалів – 10,35 мм і 12,09 мм; для мезоцефалів – 11,25 мм і 11,97 мм; для брахіцефалів – 10,95 мм і 12,26 мм; для гіпербрахіцефалів – 11,32 мм і 12,47 мм; *верхнього лівого (27)* для доліхоцефалів – 10,15 мм і 11,90 мм; для мезоцефалів – 10,98 мм і 12,08 мм; для брахіцефалів – 11,08 мм і 12,13 мм; для гіпербрахіцефалів – 11,45 мм і 12,41 мм; *нижнього правого (47)* для доліхоцефалів – 9,700 мм і 11,26 мм; для мезоцефалів – 10,42 мм і 11,07 мм; для брахіцефалів – 10,11 мм і 11,25 мм; для гіпербрахіцефалів – 10,40 мм і 11,21 мм; *нижнього лівого (37)* для доліхоцефалів – 9,680 мм і 10,93 мм; для

мезоцефалів – 10,32 мм і 10,93 мм; для брахіцефалів – 10,11 мм і 11,27 мм; для гіпербрахіцефалів – 10,41 мм і 11,55 мм.

Присінково-язиковий розмір коронки верхнього правого (17) другого ВКЗ у чоловіків доліхоцефалів має незначну тенденцію ($p=0,090$) до менших значень порівняно із чоловіками гіпербрахіцефалами (див. табл. 4.1).

Присінково-язиковий розмір коронки верхнього лівого (27) другого ВКЗ у чоловіків доліхоцефалів достовірно ($p<0,05$) менший порівняно із чоловіками гіпербрахіцефалами (див. табл. 4.1).

Межі процентильного розмаху *присінково-язикового розміру шийки перших ВКЗ* у чоловіків центрального регіону України різних краніотипів дорівнюють: *верхнього правого (16)* для доліхоцефалів – 9,300 мм і 10,73 мм; для мезоцефалів – 10,22 мм і 11,19 мм; для брахіцефалів – 10,28 мм і 11,27 мм; для гіпербрахіцефалів – 10,45 мм і 11,95 мм; *верхнього лівого (26)* для доліхоцефалів – 9,330 мм і 10,47 мм; для мезоцефалів – 10,12 мм і 11,15 мм; для брахіцефалів – 10,40 мм і 11,26 мм; для гіпербрахіцефалів – 10,51 мм і 11,24 мм; *нижнього правого (46)* для доліхоцефалів – 8,700 мм і 9,630 мм; для мезоцефалів – 9,110 мм і 9,610 мм; для брахіцефалів – 8,800 мм і 9,690 мм; для гіпербрахіцефалів – 9,160 мм і 9,920 мм; *нижнього лівого (36)* для доліхоцефалів – 8,370 мм і 9,630 мм; для мезоцефалів – 9,125 мм і 9,695 мм; для брахіцефалів – 8,950 мм і 9,620 мм; для гіпербрахіцефалів – 8,995 мм і 9,710 мм.

Присінково-язиковий розмір шийки верхнього правого (16) першого ВКЗ у чоловіків доліхоцефалів достовірно ($p<0,05$) менший порівняно із чоловіками гіпербрахіцефалами і має тенденцію ($p=0,069$) до менших значень порівняно із чоловіками брахіцефалами (див. табл. 4.1).

Присінково-язиковий розмір шийки верхнього лівого (26) першого ВКЗ у чоловіків доліхоцефалів має тенденції до менших значень порівняно із чоловіками брахіцефалами ($p=0,069$) і гіпербрахіцефалами ($p=0,065$) (див. табл. 4.1).

Межі процентильного розмаху *присінково-язикового розміру шийки других ВКЗ* у чоловіків центрального регіону України різних краніотипів дорівнюють: *верхнього правого (17)* для доліхоцефалів – 9,980 мм і 11,57 мм; для мезоцефалів

– 10,74 мм і 11,53 мм; для брахіцефалів – 10,25 мм і 11,52 мм; для гіпербрахіцефалів – 10,80 мм і 11,87 мм; *верхнього лівого (27)* для доліхоцефалів – 9,880 мм і 11,72 мм; для мезоцефалів – 10,52 мм і 11,53 мм; для брахіцефалів – 10,55 мм і 11,75 мм; для гіпербрахіцефалів – 10,78 мм і 11,67 мм; *нижнього правого (47)* для доліхоцефалів – 8,320 мм і 10,17 мм; для мезоцефалів – 9,370 мм і 9,730 мм; для брахіцефалів – 8,700 мм і 9,860 мм; для гіпербрахіцефалів – 8,745 мм і 10,11 мм; *нижнього лівого (37)* для доліхоцефалів – 8,300 мм і 10,20 мм; для мезоцефалів – 9,305 мм і 9,930 мм; для брахіцефалів – 8,850 мм і 10,00 мм; для гіпербрахіцефалів – 8,740 мм і 9,950 мм.

Між чоловіками центрального регіону України із різними краніотипами не встановлено статистично значущих, або тенденцій відмінностей *присінково-язикового розміру шийки других ВКЗ* (див. табл. 4.1).

4.2. Розміри коронок великих кутніх зубів та їх коренів у чоловіків центрального регіону України з різним типом обличчя

Межі процентильного розмаху *висоти перших ВКЗ* у чоловіків центрального регіону України із різними типами обличчя дорівнюють: *верхнього правого (16)* для широкого обличчя – 19,57 мм і 23,00 мм; для середнього обличчя – 18,75 мм і 21,60 мм; для вузького обличчя – 19,50 мм і 22,76 мм; для дуже вузького обличчя – 19,55 мм і 22,63 мм; *верхнього лівого (26)* для широкого обличчя – 19,60 мм і 22,68 мм; для середнього обличчя – 19,16 мм і 22,63 мм; для вузького обличчя – 19,58 мм і 22,70 мм; для дуже вузького обличчя – 19,94 мм і 22,01 мм; *нижнього правого (46)* для широкого обличчя – 22,10 мм і 23,10 мм; для середнього обличчя – 20,18 мм і 21,99 мм; для вузького обличчя – 20,25 мм і 22,60 мм; для дуже вузького обличчя – 20,00 мм і 22,10 мм; *нижнього лівого (36)* для широкого обличчя – 22,12 мм і 23,16 мм; для середнього обличчя – 19,44 мм і 22,05 мм; для вузького обличчя – 20,50 мм і 22,60 мм; для дуже вузького обличчя –

20,44 мм і 22,10 мм.

Висота нижнього правого (46) першого ВКЗ у чоловіків із широким обличчям достовірно ($p < 0,05$) більша порівняно з чоловіками із дуже вузьким обличчям і має незначну тенденцію ($p = 0,078$) до більших значень порівняно з чоловіками із середнім обличчям (табл. 4.2).

Висота нижнього лівого (36) першого ВКЗ у чоловіків із широким обличчям достовірно ($p < 0,05$) більша порівняно з чоловіками із дуже вузьким обличчям і має тенденцію ($p = 0,064$) до більших значень порівняно з чоловіками із середнім обличчям (див. табл. 4.2).

Межі процентильного розмаху висоти *других ВКЗ* у чоловіків центрального регіону України із різними типами обличчя дорівнюють: *верхнього правого (17)* для широкого обличчя – 19,16 мм і 23,10 мм; для середнього обличчя – 18,95 мм і 21,60 мм; для вузького обличчя – 20,20 мм і 22,38 мм; для дуже вузького обличчя – 19,10 мм і 21,48 мм; *верхнього лівого (27)* для широкого обличчя – 19,01 мм і 23,51 мм; для середнього обличчя – 19,16 мм і 21,25 мм; для вузького обличчя – 20,05 мм і 21,75 мм; для дуже вузького обличчя – 19,05 мм і 22,03 мм; *нижнього правого (47)* для широкого обличчя – 20,61 мм і 22,67 мм; для середнього обличчя – 19,60 мм і 21,10 мм; для вузького обличчя – 19,60 мм і 22,18 мм; для дуже вузького обличчя – 19,42 мм і 22,13 мм; *нижнього лівого (37)* для широкого обличчя – 20,70 мм і 23,13 мм; для середнього обличчя – 19,61 мм і 20,85 мм; для вузького обличчя – 19,68 мм і 22,25 мм; для дуже вузького обличчя – 19,66 мм і 22,85 мм.

Висота нижнього лівого (37) другого ВКЗ у чоловіків із середнім обличчям достовірно ($p < 0,05$) менша порівняно з чоловіками із широким обличчям (див. табл. 4.2).

Межі процентильного розмаху висоти *коронки перших ВКЗ* у чоловіків центрального регіону України із різними типами обличчя дорівнюють: *верхнього правого (16)* для широкого обличчя – 6,150 мм і 7,390 мм; для середнього обличчя – 6,040 мм і 6,600 мм; для вузького обличчя – 6,250 мм і 7,400 мм; для дуже вузького обличчя – 5,650 мм і 7,360 мм; *верхнього лівого (26)* для широкого об-

Продовження табл. 4.2

1	2	3	4	5	6	7	8	9	10	11
36HRZ5	14,88±1,58	13,61±2,12	14,22±1,48	13,55±1,78	>0,05	>0,05	<0,05	>0,05	>0,05	>0,05
36HKZ	6,851±0,279	6,786±0,623	7,028±0,814	6,591±0,724	>0,05	>0,05	>0,05	>0,05	>0,05	=0,063
36MD_K	11,39±0,36	10,21±0,69	10,63±1,03	11,04±0,68	<0,01	=0,057	>0,05	>0,05	<0,01	>0,05
36MD_S	9,891±0,444	9,448±1,003	9,340±0,747	9,584±0,637	>0,05	=0,074	>0,05	>0,05	>0,05	>0,05
36VO_K	11,09±0,44	10,44±0,73	11,00±1,68	10,76±0,73	=0,050	>0,05	<0,05	>0,05	>0,05	>0,05
36VO_S	9,517±0,378	9,189±0,648	9,198±0,523	9,371±0,521	>0,05	>0,05	<0,05	>0,05	>0,05	>0,05
46HZ	22,34±1,36	20,95±2,15	21,12±2,76	21,08±1,61	=0,078	>0,05	<0,05	>0,05	>0,05	>0,05
46HRZ4	15,16±1,12	13,72±2,06	14,43±1,63	14,23±1,50	>0,05	>0,05	=0,072	>0,05	>0,05	>0,05
46HRZ5	14,68±1,61	13,89±1,92	14,18±1,44	13,63±1,87	>0,05	>0,05	=0,075	>0,05	>0,05	>0,05
46HKZ	7,027±0,662	6,770±0,655	6,821±0,793	6,558±0,726	>0,05	>0,05	<0,05	>0,05	>0,05	>0,05
46MD_K	11,36±0,37	10,63±0,82	10,87±1,98	11,03±0,76	<0,05	>0,05	=0,080	>0,05	>0,05	>0,05
46MD_S	9,763±0,405	9,738±0,944	9,058±1,090	9,389±0,715	>0,05	<0,05	<0,05	>0,05	>0,05	>0,05
46VO_K	11,08±0,45	10,61±0,70	10,63±0,70	10,72±0,64	>0,05	>0,05	<0,05	>0,05	>0,05	>0,05
46VO_S	9,387±0,342	9,254±0,533	9,265±0,568	9,374±0,512	>0,05	>0,05	>0,05	>0,05	>0,05	>0,05
47HZ	21,76±1,43	20,70±1,87	21,05±1,71	21,03±1,71	>0,05	>0,05	>0,05	>0,05	>0,05	>0,05
47HRZ4	14,31±1,08	13,75±1,68	13,59±1,46	14,14±1,61	>0,05	>0,05	>0,05	>0,05	>0,05	>0,05
47HRZ5	13,93±1,31	12,88±2,02	13,17±2,02	13,35±1,72	>0,05	>0,05	>0,05	>0,05	>0,05	>0,05
47HKZ	7,281±0,798	6,728±0,674	6,904±0,740	6,676±1,151	<0,05	>0,05	>0,05	>0,05	>0,05	>0,05
47MD_K	11,23±0,45	10,81±0,76	10,98±0,64	10,91±0,67	>0,05	>0,05	>0,05	>0,05	>0,05	>0,05
47MD_S	10,21±0,50	9,861±0,800	9,873±1,093	9,777±0,611	>0,05	>0,05	>0,05	>0,05	>0,05	>0,05
47VO_K	10,95±0,48	10,25±0,83	10,71±0,84	10,74±0,76	>0,05	>0,05	>0,05	>0,05	>0,05	>0,05
47VO_S	9,401±0,572	9,110±0,905	9,469±0,971	9,525±0,810	<0,05	>0,05	>0,05	>0,05	>0,05	>0,05

личчя – 6,250 мм і 7,310 мм; для середнього обличчя – 6,000 мм і 6,620 мм; для вузького обличчя – 6,600 мм і 7,380 мм; для дуже вузького обличчя – 5,907 мм і 7,090 мм; *нижнього правого (46)* для широкого обличчя – 6,480 мм і 7,250 мм; для середнього обличчя – 6,600 мм і 6,870 мм; для вузького обличчя – 6,230 мм і 7,400 мм; для дуже вузького обличчя – 5,880 мм і 7,100 мм; *нижнього лівого (36)* для широкого обличчя – 6,540 мм і 7,090 мм; для середнього обличчя – 6,250 мм і 7,030 мм; для вузького обличчя – 6,500 мм і 7,520 мм; для дуже вузького обличчя – 5,900 мм і 7,020 мм.

Висота коронки верхнього правого (16) першого ВКЗ у чоловіків із середнім обличчям має незначну тенденцію ($p=0,080$) до менших значень порівняно з чоловіками із вузьким обличчям (див. табл. 4.2).

Висота коронки верхнього лівого (26) першого ВКЗ у чоловіків із середнім обличчям має незначну тенденцію ($p=0,080$) до менших значень порівняно із чоловіками з вузьким обличчям (див. табл. 4.2).

Висота коронки нижнього лівого (36) першого ВКЗ у чоловіків із дуже вузьким обличчям має тенденцію ($p=0,063$) до менших значень порівняно із чоловіками з вузьким обличчям (див. табл. 4.2).

Межі процентильного розмаху *висоти коронки других ВКЗ* у чоловіків центрального регіону України із різними типами обличчя дорівнюють: *верхнього правого (17)* для широкого обличчя – 6,300 мм і 7,090 мм; для середнього обличчя – 6,130 мм і 6,650 мм; для вузького обличчя – 6,200 мм і 7,580 мм; для дуже вузького обличчя – 5,310 мм і 7,100 мм; *верхнього лівого (27)* для широкого обличчя – 6,310 мм і 7,510 мм; для середнього обличчя – 5,990 мм і 6,600 мм; для вузького обличчя – 6,090 мм і 7,480 мм; для дуже вузького обличчя – 5,550 мм і 7,220 мм; *нижнього правого (47)* для широкого обличчя – 6,570 мм і 8,010 мм; для середнього обличчя – 6,300 мм і 6,990 мм; для вузького обличчя – 6,250 мм і 7,550 мм; для дуже вузького обличчя – 5,880 мм і 7,630 мм; *нижнього лівого (37)* для широкого обличчя – 6,600 мм і 7,600 мм; для середнього обличчя – 6,200 мм і 7,000 мм; для вузького

обличчя – 6,230 мм і 7,620 мм; для дуже вузького обличчя – 5,670 мм і 6,960 мм.

Висота коронки нижнього лівого (37) другого ВКЗ у чоловіків із широким обличчям достовірно ($p < 0,05$) більша порівняно із чоловіками із середнім обличчям та має тенденцію ($p = 0,066$) до більших значень порівняно із чоловіками з дуже вузьким обличчям. Даний розмір у чоловіків із вузьким обличчям має незначну тенденцію ($p = 0,080$) до більших значень порівняно із чоловіками з дуже вузьким обличчям (див. табл. 4.2).

Межі процентильного розмаху довжини піднебінного кореня перших ВКЗ у чоловіків центрального регіону України із різними типами обличчя дорівнюють: *верхнього правого (16)* для широкого обличчя – 10,80 мм і 15,00 мм; для середнього обличчя – 12,01 мм і 13,34 мм; для вузького обличчя – 11,96 мм і 14,60 мм; для дуже вузького обличчя – 11,86 мм і 13,85 мм; *верхнього лівого (26)* для широкого обличчя – 10,82 мм і 15,01 мм; для середнього обличчя – 11,75 мм і 13,42 мм; для вузького обличчя – 12,05 мм і 13,85 мм; для дуже вузького обличчя – 11,81 мм і 14,00 мм.

Межі процентильного розмаху довжини ближнього кореня перших ВКЗ у чоловіків центрального регіону України із різними типами обличчя: *нижнього правого (46)* для широкого обличчя – 14,63 мм і 16,04 мм; для середнього обличчя – 12,32 мм і 15,73 мм; для вузького обличчя – 13,04 мм і 15,88 мм; для дуже вузького обличчя – 13,19 мм і 15,40 мм; *нижнього лівого (36)* для широкого обличчя – 15,00 мм і 16,00 мм; для середнього обличчя – 12,64 мм і 15,80 мм; для вузького обличчя – 13,75 мм і 15,87 мм; для дуже вузького обличчя – 13,38 мм і 15,41 мм.

Довжина ближнього кореня нижнього правого (46) першого ВКЗ у чоловіків із широким обличчям має тенденцію ($p = 0,072$) до більших значень порівняно з чоловіками із дуже вузьким обличчям (див. табл. 4.2).

Межі процентильного розмаху довжини піднебінного кореня других ВКЗ у чоловіків центрального регіону України із різними типами обличчя дорівнюють: *верхнього правого (17)* для широкого обличчя – 10,83 мм і

15,10 мм; для середнього обличчя – 9,950 мм і 13,50 мм; для вузького обличчя – 11,63 мм і 14,40 мм; для дуже вузького обличчя – 11,19 мм і 13,69 мм; *верхнього лівого (27)* для широкого обличчя – 12,80 мм і 15,73 мм; для середнього обличчя – 12,19 мм і 13,60 мм; для вузького обличчя – 11,88 мм і 13,60 мм; для дуже вузького обличчя – 12,25 мм і 14,53 мм.

Межі процентильного розмаху *довжини ближнього кореня других ВКЗ* у чоловіків центрального регіону України із різними типами обличчя: *нижнього правого (47)* для широкого обличчя – 13,87 мм і 15,62 мм; для середнього обличчя – 13,14 мм і 14,13 мм; для вузького обличчя – 12,75 мм і 14,30 мм; для дуже вузького обличчя – 13,30 мм і 14,75 мм; *нижнього лівого (37)* для широкого обличчя – 13,95 мм і 15,57 мм; для середнього обличчя – 13,15 мм і 14,10 мм; для вузького обличчя – 12,95 мм і 15,50 мм; для дуже вузького обличчя – 13,35 мм і 15,23 мм.

Між чоловіками із різними типами обличчя не встановлено статистично значущих, або тенденцій відмінностей *довжини піднебінного кореня верхніх других ВКЗ* і *довжини ближнього кореня нижніх других ВКЗ* (див. табл. 4.2).

Межі процентильного розмаху *довжини присінкового ближнього кореня ВКЗ* у чоловіків центрального регіону України із різними типами обличчя дорівнюють: *перших верхнього правого (16)* для широкого обличчя – 10,32 мм і 13,42 мм; для середнього обличчя – 10,25 мм і 13,25 мм; для вузького обличчя – 10,24 мм і 14,19 мм; для дуже вузького обличчя – 10,21 мм і 13,02 мм; *верхнього лівого (26)* для широкого обличчя – 10,36 мм і 13,90 мм; для середнього обличчя – 12,10 мм і 12,88 мм; для вузького обличчя – 10,53 мм і 13,23 мм; для дуже вузького обличчя – 10,15 мм і 13,43 мм.

Межі процентильного розмаху *довжини дальнього кореня ВКЗ* у чоловіків центрального регіону України із різними типами обличчя дорівнюють: *перших нижнього правого (46)* для широкого обличчя – 14,59 мм і 15,13 мм; для середнього обличчя – 13,38 мм і 14,28 мм; для вузького обличчя – 13,19 мм і 14,93 мм; для дуже вузького обличчя – 12,27 мм і 14,25 мм; *нижнього*

лівого (36) для широкого обличчя – 14,88 мм і 15,51 мм; для середнього обличчя – 11,84 мм і 14,68 мм; для вузького обличчя – 13,13 мм і 15,10 мм; для дуже вузького обличчя – 12,50 мм і 14,85 мм.

Довжина дальнього кореня нижнього правого (46) першого ВКЗ у чоловіків із широким обличчям має незначну тенденцію ($p=0,075$) до більших значень порівняно з чоловіками із дуже вузьким обличчям (див. табл. 4.2).

Довжина дальнього кореня нижнього лівого (36) першого ВКЗ у чоловіків із широким обличчям достовірно ($p<0,05$) більша порівняно з чоловіками із дуже вузьким обличчям (див. табл. 4.2).

Межі процентильного розмаху *довжини присінкового ближнього кореня ВКЗ* у чоловіків центрального регіону України із різними типами обличчя дорівнюють: *других верхнього правого (17)* для широкого обличчя – 12,44 мм і 13,76 мм; для середнього обличчя – 11,30 мм і 14,46 мм; для вузького обличчя – 10,50 мм і 13,75 мм; для дуже вузького обличчя – 9,900 мм і 14,01 мм; *верхнього лівого (27)* для широкого обличчя – 10,61 мм і 13,59 мм; для середнього обличчя – 10,64 мм і 13,42 мм; для вузького обличчя – 10,95 мм і 13,61 мм; для дуже вузького обличчя – 10,52 мм і 13,51 мм.

Межі процентильного розмаху *довжини дальнього кореня ВКЗ* у чоловіків із різними типами обличчя дорівнюють: *других нижнього правого (47)* для широкого обличчя – 13,63 мм і 14,59 мм; для середнього обличчя – 11,84 мм і 14,20 мм; для вузького обличчя – 11,94 мм і 14,87 мм; для дуже вузького обличчя – 12,27 мм і 14,25 мм; *нижнього лівого (37)* для широкого обличчя – 13,79 мм і 14,75 мм; для середнього обличчя – 11,80 мм і 13,24 мм; для вузького обличчя – 11,54 мм і 14,25 мм; для дуже вузького обличчя – 12,61 мм і 14,23 мм.

Довжина дальнього кореня нижнього лівого (37) другого ВКЗ у чоловіків центрального регіону України із широким обличчям достовірно ($p<0,05$) більша порівняно з чоловіками із середнім обличчям та має незначну тенденцію ($p= 0,074$) до більших значень порівняно із чоловіками із вузьким обличчям (див. табл. 4.2).

Межі процентильного розмаху довжини присінкового дальнього кореня ВКЗ у чоловіків центрального регіону України із різними типами обличчя дорівнюють: *перших верхнього правого (16)* для широкого обличчя – 11,13 мм і 15,00 мм; для середнього обличчя – 12,06 мм і 15,50 мм; для вузького обличчя – 12,19 мм і 15,18 мм; для дуже вузького обличчя – 11,23 мм і 14,00 мм; *верхнього лівого (26)* для широкого обличчя – 12,86 мм і 14,96 мм; для середнього обличчя – 12,15 мм і 15,75 мм; для вузького обличчя – 12,16 мм і 14,98 мм; для дуже вузького обличчя – 12,35 мм і 14,29 мм; *других верхнього правого (17)* для широкого обличчя – 12,27 мм і 16,51 мм; для середнього обличчя – 12,30 мм і 15,01 мм; для вузького обличчя – 12,10 мм і 14,67 мм; для дуже вузького обличчя – 10,39 мм і 13,40 мм; *верхнього лівого (27)* для широкого обличчя – 12,24 мм і 16,52 мм; для середнього обличчя – 11,25 мм і 14,97 мм; для вузького обличчя – 12,17 мм і 13,84 мм; для дуже вузького обличчя – 11,00 мм і 13,63 мм.

Довжина присінкового дальнього кореня верхнього правого (17) другого ВКЗ у чоловіків із дуже вузьким обличчям достовірно менша порівняно із чоловіками із вузьким ($p < 0,05$) та середнім ($p < 0,05$) обличчям та має виражену тенденцію ($p = 0,053$) до менших значень порівняно із чоловіками із широким обличчям (див. табл. 4.2).

Межі процентильного розмаху мезіо-дистального розміру коронки *перших ВКЗ* у чоловіків центрального регіону України із різними типами обличчя дорівнюють: *верхнього правого (16)* для широкого обличчя – 9,690 мм і 11,26 мм; для середнього обличчя – 9,350 мм і 10,25 мм; для вузького обличчя – 9,730 мм і 10,59 мм; для дуже вузького обличчя – 9,260 мм і 10,28 мм; *верхнього лівого (26)* для широкого обличчя – 9,720 мм і 10,75 мм; для середнього обличчя – 9,250 мм і 10,15 мм; для вузького обличчя – 9,600 мм і 10,37 мм; для дуже вузького обличчя – 9,250 мм і 10,20 мм; *нижнього правого (46)* для широкого обличчя – 10,94 мм і 11,61 мм; для середнього обличчя – 10,30 мм і 11,20 мм; для вузького обличчя – 9,860 мм і 9,600 мм; для дуже вузького обличчя – 10,52 мм і 11,47 мм; *нижнього лівого (36)* для ши-

рокого обличчя – 10,98 мм і 11,64 мм; для середнього обличчя – 10,10 мм і 10,38 мм; для вузького обличчя – 9,900 мм і 11,46 мм; для дуже вузького обличчя – 10,55 мм і 11,44 мм.

Мезіо-дистальний розмір коронки верхнього правого (16) першого ВКЗ у чоловіків із дуже вузьким обличчям має тенденції до менших значень порівняно із чоловіками із широким ($p=0,069$) та вузьким ($p=0,063$) обличчям (див. табл. 4.2).

Мезіо-дистальний розмір коронки нижнього правого (46) першого ВКЗ у чоловіків із широким обличчям достовірно ($p<0,05$) більший порівняно із чоловіками із середнім обличчям та має незначну тенденцію ($p=0,080$) до більших значень порівняно із чоловіками з дуже вузьким обличчям (див. табл. 4.2).

Мезіо-дистальний розмір коронки нижнього лівого (36) першого ВКЗ у чоловіків із широким обличчям достовірно ($p<0,05$) більший порівняно із чоловіками із середнім обличчям та має незначну тенденцію ($p=0,080$) до більших значень порівняно із чоловіками з вузьким обличчям. Даний розмір у чоловіків із дуже вузьким обличчям достовірно ($p<0,01$) більший порівняно із чоловіками із середнім обличчям (див. табл. 4.2).

Межі процентиального розмаху *мезіо-дистального розміру коронки других ВКЗ* у чоловіків центрального регіону України із різними типами обличчя дорівнюють: *верхнього правого (17)* для широкого обличчя – 9,170 мм і 10,26 мм; для середнього обличчя – 9,250 мм і 9,500 мм; для вузького обличчя – 8,600 мм і 9,810 мм; для дуже вузького обличчя – 8,850 мм і 9,450 мм; *верхнього лівого (27)* для широкого обличчя – 9,150 мм і 10,34 мм; для середнього обличчя – 9,100 мм і 9,630 мм; для вузького обличчя – 8,510 мм і 10,05 мм; для дуже вузького обличчя – 8,860 мм і 9,670 мм; *нижнього правого (47)* для широкого обличчя – 10,88 мм і 11,30 мм; для середнього обличчя – 10,48 мм і 11,38 мм; для вузького обличчя – 10,58 мм і 11,25 мм; для дуже вузького обличчя – 10,50 мм і 11,23 мм; *нижнього лівого (37)* для широкого обличчя – 10,90 мм і 11,40 мм; для середнього обличчя – 10,50 мм і

11,38 мм; для вузького обличчя – 10,55 мм і 11,25 мм; для дуже вузького обличчя – 10,50 мм і 11,50 мм.

Між чоловіками із різними типами обличчя не встановлено статистично значущих, або тенденцій відмінностей *мезіо-дистального розміра коронки других ВКЗ* (див. табл. 4.2).

Межі процентильного розмаху *мезіо-дистального розміру шийки перших ВКЗ* у чоловіків центрального регіону України із різними типами обличчя дорівнюють: *верхнього правого (16)* для широкого обличчя – 7,670 мм і 9,500 мм; для середнього обличчя – 7,880 мм і 8,350 мм; для вузького обличчя – 7,750 мм і 8,350 мм; для дуже вузького обличчя – 8,180 мм і 8,500 мм; *верхнього лівого (26)* для широкого обличчя – 7,640 мм і 9,100 мм; для середнього обличчя – 7,900 мм і 8,200 мм; для вузького обличчя – 8,00 мм і 8,67 мм; для дуже вузького обличчя – 7,940 мм і 8,480 мм; *нижнього правого (46)* для широкого обличчя – 9,420 мм і 10,20 мм; для середнього обличчя – 9,380 мм і 10,13 мм; для вузького обличчя – 8,680 мм і 9,600 мм; для дуже вузького обличчя – 9,160 мм і 9,800 мм; *нижнього лівого (36)* для широкого обличчя – 9,500 мм і 10,34 мм; для середнього обличчя – 8,880 мм і 9,500 мм; для вузького обличчя – 8,730 мм і 9,840 мм; для дуже вузького обличчя – 9,100 мм і 10,06 мм.

Мезіо-дистальний розмір шийки нижнього правого (46) першого ВКЗ у чоловіків із широким обличчям достовірно ($p < 0,05$) більший порівняно з чоловіками із вузьким обличчям (див. табл. 4.2).

Мезіо-дистальний розмір шийки нижнього лівого (36) першого ВКЗ у чоловіків із широким обличчям має незначну тенденцію ($p = 0,074$) до більших значень порівняно з чоловіками із вузьким обличчям (див. табл. 4.2).

Межі процентильного розмаху *мезіо-дистального розміру шийки других ВКЗ* у чоловіків центрального регіону України із різними типами обличчя дорівнюють: *верхнього правого (17)* для широкого обличчя – 7,790 мм і 8,750 мм; для середнього обличчя – 7,600 мм і 8,360 мм; для вузького обличчя – 7,130 мм і 8,300 мм; для дуже вузького обличчя – 7,460 мм і 8,400

мм; *верхнього лівого* (27) для широкого обличчя – 7,790 мм і 8,340 мм; для середнього обличчя – 7,500 мм і 8,340 мм; для вузького обличчя – 7,230 мм і 8,250 мм; для дуже вузького обличчя – 7,480 мм і 8,130 мм; *нижнього правого* (47) для широкого обличчя – 9,790 мм і 10,75 мм; для середнього обличчя – 9,130 мм і 10,13 мм; для вузького обличчя – 9,250 мм і 10,50 мм; для дуже вузького обличчя – 9,480 мм і 10,14 мм; *нижнього лівого* (37) для широкого обличчя – 9,850 мм і 10,75 мм; для середнього обличчя – 9,380 мм і 10,75 мм; для вузького обличчя – 9,150 мм і 10,27 мм; для дуже вузького обличчя – 9,600 мм і 10,03 мм.

Мезіо-дистальний розмір шийки нижнього лівого (37) *другого ВКЗ* у чоловіків із широким обличчям має тенденцію ($p=0,072$) до більших значень порівняно з чоловіками із дуже вузьким обличчям (див. табл. 4.2).

Межі процентильного розмаху *присінково-язикового розміру коронки перших ВКЗ* у чоловіків центрального регіону України із різними типами обличчя дорівнюють: *верхнього правого* (16) для широкого обличчя – 9,210 мм і 12,09 мм; для середнього обличчя – 11,00 мм і 11,67 мм; для вузького обличчя – 11,10 мм і 11,90 мм; для дуже вузького обличчя – 10,78 мм і 11,94 мм; *верхнього лівого* (26) для широкого обличчя – 9,240 мм і 12,09 мм; для середнього обличчя – 10,98 мм і 11,50 мм; для вузького обличчя – 10,94 мм і 11,90 мм; для дуже вузького обличчя – 10,90 мм і 11,88 мм; *нижнього правого* (46) для широкого обличчя – 10,75 мм і 11,60 мм; для середнього обличчя – 10,14 мм і 11,01 мм; для вузького обличчя – 10,19 мм і 11,17 мм; для дуже вузького обличчя – 10,26 мм і 11,27 мм; *нижнього лівого* (36) для широкого обличчя – 10,70 мм і 11,50 мм; для середнього обличчя – 10,17 мм і 10,65 мм; для вузького обличчя – 10,20 мм і 11,28 мм; для дуже вузького обличчя – 10,30 мм і 11,36 мм.

Присінково-язиковий розмір коронки нижнього лівого (36) *першого ВКЗ* у чоловіків із широким обличчям має виражену тенденцію ($p=0,050$) до більших значень порівняно з чоловіками із середнім обличчям (див. табл. 4.2).

Межі процентильного розмаху *присінково-язикового розміру коронки других ВКЗ* у чоловіків центрального регіону України із різними типами обличчя дорівнюють: *верхнього правого (17)* для широкого обличчя – 11,10 мм і 12,51 мм; для середнього обличчя – 11,10 мм і 12,35 мм; для вузького обличчя – 10,35 мм і 12,09 мм; для дуже вузького обличчя – 10,86 мм і 11,93 мм; *верхнього лівого (27)* для широкого обличчя – 11,04 мм і 12,43 мм; для середнього обличчя – 11,19 мм і 12,09 мм; для вузького обличчя – 10,15 мм і 11,94 мм; для дуже вузького обличчя – 11,06 мм і 12,05 мм; *нижнього правого (47)* для широкого обличчя – 10,41 мм і 11,26 мм; для середнього обличчя – 9,410 мм і 10,67 мм; для вузького обличчя – 10,28 мм і 11,01 мм; для дуже вузького обличчя – 10,25 мм і 11,26 мм; *нижнього лівого (37)* для широкого обличчя – 10,43 мм і 11,28 мм; для середнього обличчя – 9,970 мм і 10,67 мм; для вузького обличчя – 10,32 мм і 11,02 мм; для дуже вузького обличчя – 10,23 мм і 11,50 мм.

Між чоловіками із різними типами обличчя не встановлено статистично значущих, або тенденцій відмінностей *присінково-язикового розміра коронки других ВКЗ* (див. табл. 4.2).

Межі процентильного розмаху *присінково-язикового розміру шийки перших ВКЗ* у чоловіків центрального регіону України із різними типами обличчя дорівнюють: *верхнього правого (16)* для широкого обличчя – 7,700 мм і 11,63 мм; для середнього обличчя – 10,25 мм і 10,99 мм; для вузького обличчя – 10,08 мм і 11,27 мм; для дуже вузького обличчя – 10,28 мм і 10,95 мм; *верхнього лівого (26)* для широкого обличчя – 7,680 мм і 11,51 мм; для середнього обличчя – 10,33 мм і 11,08 мм; для вузького обличчя – 10,10 мм і 10,90 мм; для дуже вузького обличчя – 10,28 мм і 11,12 мм; *нижнього правого (46)* для широкого обличчя – 9,130 мм і 9,640 мм; для середнього обличчя – 8,890 мм і 9,690 мм; для вузького обличчя – 9,04 мм і 9,86 мм; для дуже вузького обличчя – 9,020 мм і 9,700 мм; *нижнього лівого (36)* для широкого обличчя – 9,300 мм і 9,920 мм; для середнього обличчя – 8,750 мм і

9,840 мм; для вузького обличчя – 8,780 мм і 9,510 мм; для дуже вузького обличчя – 9,030 мм і 9,620 мм.

Між чоловіками із різними типами обличчя не встановлено статистично значущих, або тенденцій відмінностей *присінково-язикового розміру шийки перших ВКЗ* (див. табл. 4.2).

Межі процентильного розмаху *присінково-язикового розміру шийки других ВКЗ* у чоловіків центрального регіону України із різними типами обличчя дорівнюють: *верхнього правого (17)* для широкого обличчя – 5,920 мм і 9,340 мм; для середнього обличчя – 8,600 мм і 9,050 мм; для вузького обличчя – 6,420 мм і 8,870 мм; для дуже вузького обличчя – 7,750 мм і 9,230 мм; *верхнього лівого (27)* для широкого обличчя – 10,70 мм і 11,75 мм; для середнього обличчя – 10,80 мм і 11,65 мм; для вузького обличчя – 9,940 мм і 11,44 мм; для дуже вузького обличчя – 10,40 мм і 11,72 мм; *нижнього правого (47)* для широкого обличчя – 9,130 мм і 9,640 мм; для середнього обличчя – 8,500 мм і 9,910 мм; для вузького обличчя – 8,850 мм і 9,970 мм; для дуже вузького обличчя – 9,270 мм і 10,17 мм; *нижнього лівого (37)* для широкого обличчя – 8,650 мм і 10,09 мм; для середнього обличчя – 8,240 мм і 9,900 мм; для вузького обличчя – 8,850 мм і 9,900 мм; для дуже вузького обличчя – 8,940 мм і 10,00 мм.

Між чоловіками із різними типами обличчя не встановлено статистично значущих, або тенденцій відмінностей *присінково-язикового розміру шийки других ВКЗ* (див. табл. 4.2).

Таким чином, у практично здорових чоловіків різних краніотипів і типів обличчя, мешканців центрального регіону України, встановлені відмінності комп'ютерно-томографічних розмірів ВКЗ. Найбільша кількість краніотипологічних відмінностей розмірів ВКЗ у чоловіків центрального регіону України встановлена на верхній щелепі між доліхоцефалами та гіпербрахіцефалами, а на нижній щелепі – між мезоцефалами та гіпербрахіцефалами. Найбільша кількість фаціотипологічних відмінностей розмірів ВКЗ у чоловіків центрального регіону України встановлена на верхній щелепі ли-

ше для довжини присінкового дальнього кореня правого другого зуба між представниками із дуже вузьким обличчям та іншими типами обличчя, а на нижній щелепі – між представниками з широким обличчям та з середнім і дуже вузьким обличчям.

Результати досліджень, які представлені у даному розділі дисертації, відображені в двох наукових статтях у фахових журналах [100, 247] (обидві включені до міжнародної наукометричної бази Web of Science).

РОЗДІЛ 5

**РЕГРЕСІЙНІ МОДЕЛІ КОМП'ЮТЕРНО-ТОМОГРАФІЧНИХ
РОЗМІРІВ ВЕЛИКИХ КУТНИХ ЗУБІВ У ПРАКТИЧНО ЗДОРОВИХ
ЧОЛОВІКІВ ІЗ РІЗНИХ РЕГІОНІВ УКРАЇНИ В ЗАЛЕЖНОСТІ ВІД
ОСОБЛИВОСТЕЙ КЕФАЛОМЕТРИЧНИХ ПОКАЗНИКІВ ТА
ФОРМИ ГОЛОВИ І ТИПУ ОБЛИЧЧЯ**

Для проведення коректного регресійного аналізу, нами у практично здорових чоловіків із різних адміністративно-територіальних регіонів України були встановлені кореляції лінійних розмірів ВКЗ із кефалометричними показниками, краніотипом і типом обличчя (табл. В1-В10).

При проведенні прямого покрокового регресійного аналізу, нами визначені наступні умови: кінцевий варіант моделі повинен мати коефіцієнт детермінації (R^2) не менше 0,50; значення встановленого F-критерію – не менше 2,5; кількість вільних членів, що включаються до регресійного рівняння, повинна бути мінімальною.

5.1. Регресійні моделі комп'ютерно-томографічних розмірів великих кутних зубів у чоловіків північного регіону України

Встановлено, що усі коефіцієнти моделі *присінково-язикового розміру шийки верхнього правого першого ВКЗ (16VO_S)* у чоловіків північного регіону України мають високу достовірність (табл. 5.1). Коефіцієнт детермінації на 76,7 % обумовлює допустимо залежну змінну. Результати дисперсійного аналізу вказують на високу значущість ($p < 0,001$) регресійного лінійного поліному (див. табл. 5.1). Модель має вигляд наступного лінійного рівняння:

$$16VO_S \text{ (північний регіон)} = 11,73 + 0,373 \times DUG_AUAU - 1,029 \times CHI_CHI + 0,228 \times FMT_FMT - 0,680 \times RGO_GN + 0,819 \times N_I - 0,764 \times N_GN.$$

Таблиця 5.1

Результати прямого покрокового регресійного (Regression Summary) та дисперсійного аналізів (Analysis of Variance) присінково-язикового розміру шийки верхнього правого першого ВКЗ (16VO_S) у чоловіків північного регіону України в залежності від особливостей кефалометричних показників.

Regression Summary for Dependent Variable: 16VO_S						
R= .876 R ² = .767 Adjusted R ² = .711						
F _(6,25) =13.70 p<.00000 Std.Error of estimate: .412						
	BETA	St. Err. of BETA	B	St. Err. of B	t(25)	p-level
Intercpt			11,73	3,658	3,21	0,0036
DUG_AUAU	0,594	0,103	0,373	0,065	5,76	0,0000
CHI_CHI	-0,604	0,110	-1,029	0,188	-5,47	0,0000
FMT_FMT	0,338	0,105	0,228	0,071	3,21	0,0036
RGO_GN	-0,329	0,105	-0,680	0,217	-3,14	0,0043
N_I	0,486	0,132	0,819	0,222	3,69	0,0011
N_GN	-0,477	0,123	-0,764	0,197	-3,88	0,0007
Analysis of Variance; DV: 16VO_S (kozyura.sta)						
	Sums of Squares	df	Mean Squares	F	p-level	
Regress.	13,97	6,000	2,328	13,70	0,0000	
Residual	4,248	25,00	0,170			
Total	18,22					

Примітки: тут і в подальшому, ВКЗ – великий кутній зуб; R – коефіцієнт множинної кореляції; R² – коефіцієнт детермінації; Adjusted R² – скоригований коефіцієнт детермінації; F_(!,!!)=!,,!! – критичне (!,,!!) та розрахункове (!,,!!) значення критерію Фішера; St. Error of estimate – стандартна помилка оцінки; BETA – стандартизований регресійний коефіцієнт; St. Err. of BETA – стандартна помилка стандартизованого регресійного коефіцієнта; B – регресійний B-коефіцієнт; St. Err. of B – стандартна помилка B-коефіцієнта; t – критерій Стюдента; p-level – рівень достовірності; Sums of Squares – сума квадратів; df – кількість показників; Mean Squares – середній квадрат; Regress. – регресія; Residual – залишки; Total – разом; Interscp – вільний член; DUG_AUAU – поперечна дуга (см); CHI_CHI – ширина ротової щілини

(см); FMT_FMT – найменша ширина голови (см); RGO_GN – довжина тіла нижньої щелепи справа (см); N_I – відстань між назіон та міжрізцевою точкою (см); N_GN – морфологічна довжина обличчя (см).

Більшість коефіцієнтів моделі *присінково-язикового розміру коронки верхнього правого першого ВКЗ (16VO_K)* у чоловіків північного регіону України мають високу достовірність, за винятком вільного члену (табл. 5.2). Коефіцієнт детермінації на 65,7 % обумовлює допустимо залежну змінну. Результати дисперсійного аналізу вказують на високу значущість ($p < 0,001$) регресійного лінійного поліному (див. табл. 5.2). Побудована модель має вигляд наступного лінійного рівняння:

$$16VO_K \text{ (північний регіон)} = -1,055 + 0,731 \times FMT_FMT + 0,298 \times DUG_AUAU - 0,688 \times MF_MF - 0,568 \times ZY_ZY + 0,337 \times EK_EK - 0,209 \times TIP_LICA + 0,477 \times N_STO.$$

Таблиця 5.2

Результати прямого покрокового регресійного (Regression Summary) та дисперсійного аналізів (Analysis of Variance) *присінково-язикового розміру коронки верхнього правого першого ВКЗ (16VO_K)* у чоловіків північного регіону України в залежності від особливостей кефалометричних показників.

Regression Summary for Dependent Variable: 16VO_K						
R= .810 R ² = .657 Adjusted R ² = .557						
F _(6,56) =7,24 p<.00022 Std.Error of estimate: .399						
	BETA	St. Err. of BETA	B	St. Err. of B	t(24)	p-level
Intercept			-1,055	2,269	-0,46	0,6462
FMT_FMT	1,390	0,280	0,731	0,147	4,96	0,0000
DUG_AUAU	0,608	0,140	0,298	0,069	4,35	0,0002
MF_MF	-0,351	0,147	-0,688	0,288	-2,39	0,0249
ZY_ZY	-1,310	0,317	-0,568	0,137	-4,13	0,0004
EK_EK	0,365	0,144	0,337	0,133	2,53	0,0184
TIP_LICA	-0,479	0,175	-0,209	0,077	-2,74	0,0115
N_STO	0,409	0,162	0,477	0,190	2,52	0,0189

Продовження табл. 5.2

Analysis of Variance; DV: 16VO_K (kozyura.sta)						
	Sums of Squares	df	Mean Squares	F	p-level	
Regress.	7,313	7,000	1,045	6,560	0,0002	
Residual	3,822	24,00	0,159			
Total	11,14					

Примітки: тут і в подальшому, MF_MF – міжочномкова ширина (см); ZY_ZY – ширина обличчя (см); EK_EK – зовнішньоочна ширина (см); TIP_LICA – тип обличчя (1- широке, 2- середнє, 3- вузьке, 4- дуже вузьке); N_STO – висота верхньої частини обличчя (см).

Більшість коефіцієнтів моделі *мезіо-дистального розміру шийки нижнього лівого другого ВКЗ (37MD_S)* у чоловіків північного регіону України мають високу достовірність, за винятком вільного члену та типу обличчя (табл. 5.3). Коефіцієнт детермінації на 57,6 % обумовлює допустимо залежну змінну. Результати дисперсійного аналізу вказують на високу значущість ($p < 0,001$) регресійного лінійного поліному (див. табл. 5.3). Побудована модель має вигляд наступного лінійного рівняння:

$$37MD_S \text{ (північний регіон)} = 5,319 - 0,819 \times SN_PRN - 0,599 \times RGO_GN + 0,262 \times DUG_GOP - 0,179 \times G_OP + 0,061 \times N_SN + 0,084 \times TIP_LICA.$$

Таблиця 5.3

Результати прямого покрокового регресійного (Regression Summary) та дисперсійного аналізів (Analysis of Variance) мезіо-дистального розміру шийки нижнього лівого другого ВКЗ (37MD_S) у чоловіків північного регіону України в залежності від особливостей кефалометричних показників.

Regression Summary for Dependent Variable: 37MD_S						
R= .759 R ² = .576 Adjusted R ² = .474						
F _(5,66) =6,25 p<.00079 Std.Error of estimate: .394						
	BETA	St. Err. of BETA	B	St. Err. of B	t(25)	p-level
Intercept			5,319	2,721	1,96	0,0618
SN_PRN	-0,331	0,132	-0,819	0,328	-2,50	0,0193

Продовження табл. 5.3

RGO_GN	-0,409	0,163	-0,599	0,238	-2,51	0,0187
DUG_GOP	0,899	0,185	0,262	0,054	4,86	0,0001
G_OP	-0,470	0,184	-0,179	0,070	-2,56	0,0169
N_SN	0,319	0,149	0,061	0,028	2,15	0,0418
TIP_LICA	0,212	0,141	0,084	0,056	1,50	0,1452
Analysis of Variance; DV: 37MD_S (kozyura.sta)						
	Sums of Squares	df	Mean Squares	F	p-level	
Regress.	5,273	6,000	0,879	5,661	0,0008	
Residual	3,881	25,00	0,155			
Total	9,154					

Примітки: тут і в подальшому, SN_PRN – глибина носа (см); DUG_GOP – найбільший обхват голови (см); G_OP – найбільша довжина голови (см); N_SN – висота носа (см).

Більш ніж половина коефіцієнтів моделі *висоти коронки нижнього лівого першого ВКЗ (36HKZ)* у чоловіків північного регіону України мають високу достовірність, за винятком вільного члену, глибини носа та відстані між назівом і міжрізцевою точкою (табл. 5.4). Коефіцієнт детермінації на 51,9 % обумовлює допустимо залежну змінну. Результати дисперсійного аналізу вказують на високу значущість ($p < 0,01$) регресійного лінійного поліному (див. табл. 5.4). Побудована модель має вигляд наступного лінійного рівняння:

$$36HKZ (\text{північний регіон}) = 0,770 + 0,649 \times N_STO - 0,559 \times CHI_CHI + 0,149 \times DUG_GOP + 0,928 \times SN_PRN - 0,389 \times N_I.$$

Таблиця 5.4

Результати прямого покрокового регресійного (Regression Summary) та дисперсійного аналізів (Analysis of Variance) висоти коронки нижнього лівого першого ВКЗ (36HKZ) у чоловіків північного регіону України в залежності від особливостей кефалометричних показників.

Regression Summary for Dependent Variable: 36HKZ
R= .720 R ² = .519 Adjusted R ² = .427
F _(5,26) =5.61 p<.00123 Std.Error of estimate: .521

Продовження табл. 5.4

	BETA	St. Err. of BETA	B	St. Err. of B	t(26)	p-level
Intercept			0,770	3,323	0,23	0,8186
N_STO	0,484	0,148	0,649	0,198	3,27	0,0030
CHI_CHI	-0,365	0,146	-0,559	0,224	-2,49	0,0193
DUG_GOP	0,404	0,142	0,149	0,052	2,84	0,0087
SN_PRN	0,296	0,146	0,928	0,456	2,03	0,0523
N_I	-0,257	0,149	-0,389	0,225	-1,73	0,0953
Analysis of Variance; DV: 36HKZ (kozyura.sta)						
	Sums of Squares	df	Mean Squares	F	p-level	
Regress.	7,626	5,000	1,525	5,611	0,0012	
Residual	7,068	26,00	0,272			
Total	14,69					

Більшість коефіцієнтів моделі *мезіо-дистального розміру шийки нижнього лівого першого ВКЗ (36MD_S)* у чоловіків північного регіону України мають високу достовірність, за винятком глибини носа (табл. 5.5). Коефіцієнт детермінації на 62,2 % обумовлює допустимо залежну змінну. Результати дисперсійного аналізу вказують на високу значущість ($p < 0,001$) регресійного лінійного поліному (див. табл. 5.5). Побудована модель має вигляд наступного лінійного рівняння:

$$36MD_S \text{ (північний регіон)} = 14,72 - 0,554 \times TIP_GOL + 0,260 \times FMT_FMT - 1,013 \times RGO_GN + 0,306 \times EU_EU - 0,640 \times SN_PRN.$$

Таблиця 5.5

Результати прямого покрокового регресійного (Regression Summary) та дисперсійного аналізів (Analysis of Variance) мезіо-дистального розміру шийки нижнього лівого першого ВКЗ (36MD_S) у чоловіків північного регіону України в залежності від особливостей кефалометричних показників.

Regression Summary for Dependent Variable: 36MD_S						
R= .788 R ² = .622 Adjusted R ² = .549						
F _(5,26) =8.55 p<.00007 Std.Error of estimate: .454						
	BETA	St. Err. of BETA	B	St. Err. of B	t(26)	p-level
Intercept			14,72	2,677	5,50	0,0000

Продовження табл. 5.5

TIP_GOL	-0,722	0,140	-0,554	0,107	-5,17	0,0000
FMT_FMT	0,439	0,127	0,260	0,075	3,45	0,0019
RGO_GN	-0,556	0,142	-1,013	0,259	-3,92	0,0006
EU_EU	0,434	0,153	0,306	0,108	2,83	0,0088
SN_PRN	-0,208	0,125	-0,640	0,385	-1,66	0,1083
Analysis of Variance; DV: 36MD_S (kozyura.sta)						
	Sums of Squares	df	Mean Squares	F	p-level	
Regress.	8,792	5,000	1,758	8,547	0,0001	
Residual	5,349	26,00	0,206			
Total	14,14					

Примітки: тут і в подальшому, TIP_GOL – краніотип (1- доліхоцефали, 2- мезоцефали, 3- брахіцефали, 4- гіпербрахіцефали); EU_EU – найбільша ширина голови (см).

Більш ніж половина коефіцієнтів моделі висоти коронки нижнього правого першого ВКЗ (46НКЗ) у чоловіків північного регіону України мають високу достовірність, за винятком вільного члену, зовнішньоочної ширини та ширини нижньої щелепи (табл. 5.6). Коефіцієнт детермінації на 55,7 % обумовлює допустимо залежну змінну. Результати дисперсійного аналізу вказують на високу значущість ($p < 0,001$) регресійного лінійного поліному (див. табл. 5.6). Побудована модель має вигляд наступного лінійного рівняння:

$$46НКЗ \text{ (північний регіон)} = -0,529 + 0,658 \times LGO_GN - 1,595 \times AL_AL + 0,273 \times EK_EK + 0,160 \times TIP_LICA + 0,279 \times GO_GO.$$

Таблиця 5.6

Результати прямого покрокового регресійного (Regression Summary) та дисперсійного аналізів (Analysis of Variance) висоти коронки нижнього правого першого ВКЗ (46НКЗ) у чоловіків північного регіону України в залежності від особливостей кефалометричних показників.

Regression Summary for Dependent Variable: 46НКЗ						
R= .746 R ² = .557 Adjusted R ² = .472						
F _(5,26) =6.54 p<.00046 Std.Error of estimate: .492						
	BETA	St. Err. of BETA	B	St. Err. of B	t(26)	p-level

Продовження табл. 5.6

Intercept			-0,529	2,744	-0,19	0,8485
LGO_GN	0,377	0,142	0,658	0,247	2,66	0,0133
AL_AL	-0,514	0,138	-1,595	0,430	-3,71	0,0010
EK_EK	0,262	0,137	0,273	0,143	1,90	0,0679
TIP_LICA	0,324	0,137	0,160	0,068	2,35	0,0264
GO_GO	0,272	0,145	0,279	0,148	1,88	0,0711
Analysis of Variance; DV: 46HKZ (kozyura.sta)						
	Sums of Squares	df	Mean Squares	F	p-level	
Regress.	7,907	5,000	1,581	6,544	0,0005	
Residual	6,283	26,00	0,242			
Total	14,19					

Примітки: тут і в подальшому, LGO_GN – довжина тіла нижньої щелепи зліва (см); AL_AL – ширина основи носа (см); GO_GO – ширина нижньої щелепи (см).

Більшість коефіцієнтів моделі *мезіо-дистального розміру шийки нижнього правого першого ВКЗ (46MD_S)* у чоловіків північного регіону України мають високу достовірність, за винятком сагітальної дуги та середньої ширини обличчя (табл. 5.7). Коефіцієнт детермінації на 68,5 % обумовлює допустимо залежну змінну. Результати дисперсійного аналізу вказують на високу значущість ($p < 0,001$) регресійного лінійного поліному (див. табл. 5.7). Побудована модель має вигляд наступного лінійного рівняння:

$$46MD_S \text{ (північний регіон)} = 18,85 + 0,148 \times FMT_FMT - 0,556 \times N_GN - 0,402 \times TIP_GOL - 1,247 \times RGO_GN + 0,407 \times EK_EK + 0,136 \times DUGS_GOP - 0,093 \times ZM_ZM.$$

Таблиця 5.7

Результати покрокового регресійного (Regression Summary) та дисперсійного аналізів (Analysis of Variance) мезіо-дистального розміру шийки нижнього правого першого ВКЗ (46MD_S) у чоловіків північного регіону України в залежності від особливостей кефалометричних показників.

Regression Summary for Dependent Variable: 46MD_S
R= .827 R ² = .685 Adjusted R ² = .593
F _(7,24) =7.44 p<.00009 Std.Error of estimate: .384

Продовження табл. 5.7

	BETA	St. Err. of BETA	B	St. Err. of B	t(24)	p-level
Intercept			18,85	2,804	6,72	0,0000
FMT_FMT	0,280	0,135	0,148	0,071	2,07	0,0490
N_GN	-0,441	0,129	-0,556	0,162	-3,42	0,0022
TIP_GOL	-0,588	0,142	-0,402	0,097	-4,15	0,0004
RGO_GN	-0,768	0,176	-1,247	0,285	-4,37	0,0002
EK_EK	0,646	0,147	0,407	0,092	4,40	0,0002
DUGS_GOP	0,373	0,195	0,136	0,071	1,91	0,0684
ZM_ZM	-0,194	0,118	-0,093	0,057	-1,64	0,1141
Analysis of Variance; DV: 46MD_S (kozyura.sta)						
	Sums of Squares	df	Mean Squares	F	p-level	
Regress.	7,697	7,000	1,100	7,443	0,0001	
Residual	3,546	24,00	0,148			
Total	11,24					

Примітки: тут і в подальшому, DUGS_GOP – сагітальна дуга (см); ZM_ZM – середня ширина обличчя (см).

5.2. Регресійні моделі комп'ютерно-томографічних розмірів великих кутніх зубів у чоловіків південного регіону України

Більшість коефіцієнтів моделі *мезіо-дистального розміру коронки верхнього правого першого ВКЗ (16MD_K)* у чоловіків південного регіону України мають високу достовірність, за винятком вільного члену (табл. 5.8). Коефіцієнт детермінації на 79,8 % обумовлює допустимо залежну змінну. Результати дисперсійного аналізу вказують на високу значущість ($p < 0,001$) регресійного лінійного поліному (див. табл. 5.8). Побудована модель має вигляд наступного лінійного рівняння:

$$16MD_K \text{ (південний регіон)} = 4,191 - 0,901 \times GO_GO - 2,024 \times SN_PRN + 0,660 \times G_OP + 1,083 \times ZY_ZY - 2,826 \times EK_EK + 1,050 \times ZM_ZM + 0,324 \times DUGS_GOP - 0,482 \times TIP_LICA.$$

Таблиця 5.8

Результати прямого покрокового регресійного (Regression Summary) та дисперсійного аналізів (Analysis of Variance) мезіо-дистального розміру коронки верхнього правого першого ВКЗ (16MD_K) у чоловіків південного регіону України в залежності від особливостей кефалометричних показників.

Regression Summary for Dependent Variable: 16MD_K						
R= .893 R ² = .798 Adjusted R ² = .730						
F _(8,24) =11.84 p<.00000 Std.Error of estimate: .756						
	BETA	St. Err. of BETA	B	St. Err. of B	t(24)	p-level
Intercpt			4,191	4,835	0,87	0,3946
GO_GO	-0,402	0,101	-0,901	0,226	-3,99	0,0005
SN_PRN	-0,404	0,111	-2,024	0,555	-3,65	0,0013
G_OP	0,330	0,118	0,660	0,237	2,78	0,0103
ZY_ZY	1,334	0,222	1,083	0,180	6,02	0,0000
EK_EK	-1,191	0,173	-2,826	0,410	-6,89	0,0000
ZM_ZM	1,101	0,273	1,050	0,260	4,04	0,0005
DUGS_GOP	0,381	0,115	0,324	0,097	3,33	0,0028
TIP_LICA	-0,503	0,205	-0,482	0,197	-2,45	0,0221
Analysis of Variance; DV: 16MD_K (kozyura.sta)						
	Sums of Squares	df	Mean Squares	F	p-level	
Regress.	54,13	8,000	6,766	11,84	0,0000	
Residual	13,72	24,00	0,572			
Total	67,85					

Більшість коефіцієнтів моделі мезіо-дистального розміру коронки верхнього лівого другого ВКЗ (27MD_K) у чоловіків південного регіону України мають високу достовірність, за винятком найбільшої довжини голови (табл. 5.9). Коефіцієнт детермінації на 62,2 % обумовлює допустимо залежну змінну. Результати дисперсійного аналізу вказують на високу значущість (p<0,001) регресійного лінійного поліному (див. табл. 5.9). Побудована модель має вигляд наступного лінійного рівняння:

$$27MD_K \text{ (південний регіон)} = 10,74 - 0,531 \times GO_GO - 1,886 \times EK_EK + 1,280 \times AL_AL + 0,568 \times ZY_ZY + 0,361 \times ZM_ZM + 0,373 \times G_OP.$$

Таблиця 5.9

Результати покрокового регресійного (Regression Summary) та дисперсійного аналізів (Analysis of Variance) мезіо-дистального розміру коронки верхнього лівого другого ВКЗ (27MD_K) у чоловіків південного регіону України в залежності від особливостей кефалометричних показників.

Regression Summary for Dependent Variable: 27MD_K						
R= .788 R ² = .622 Adjusted R ² = .534						
F _(6,26) =7.12 p<.00014 Std.Error of estimate: .701						
	BETA	St. Err. of BETA	B	St. Err. of B	t(26)	p-level
Intercpt			10,74	3,682	2,92	0,0072
GO_GO	-0,336	0,125	-0,531	0,199	-2,67	0,0128
EK_EK	-1,127	0,204	-1,886	0,342	-5,51	0,0000
AL_AL	0,345	0,133	1,280	0,492	2,60	0,0151
ZY_ZY	0,992	0,232	0,568	0,133	4,27	0,0002
ZM_ZM	0,537	0,185	0,361	0,125	2,90	0,0076
G_OP	0,265	0,140	0,373	0,197	1,90	0,0693
Analysis of Variance; DV: 27MD_K (kozyura.sta)						
	Sums of Squares	df	Mean Squares	F	p-level	
Regress.	20,97	6,000	3,494	7,116	0,0001	
Residual	12,77	26,00	0,491			
Total	33,73					

Більшість коефіцієнтів моделі *присінково-язикового розміру шийки нижнього лівого другого ВКЗ (37VO_S)* у чоловіків південного регіону України мають високу достовірність, за винятком вільного члену (табл. 5.10). Коефіцієнт детермінації на 75,6 % обумовлює допустимо залежну змінну. Результати дисперсійного аналізу вказують на високу значущість ($p < 0,001$) регресійного лінійного поліному (див. табл. 5.10). Побудована модель має вигляд наступного лінійного рівняння:

$$37VO_S \text{ (південний регіон)} = 2,138 + 0,315 \times N_PRN + 2,280 \times MF_MF - 0,924 \times N_STO - 0,456 \times TR_GN + 1,109 \times CHI_CHI - 0,970 \times EK_EK + 1,146 \times EU_EU - 0,179 \times DUGS_GOP.$$

Більшість коефіцієнтів моделі *присінково-язикового розміру коронки*

Таблиця 5.10

Результати покрокового регресійного (Regression Summary) та дисперсійного аналізів (Analysis of Variance) присінково-язикового розміру шийки нижнього лівого другого ВКЗ (37VO_S) у чоловіків південного регіону України в залежності від особливостей кефалометричних показників.

Regression Summary for Dependent Variable: 37VO_S						
R= .870 R ² = .756 Adjusted R ² = .675						
F _(8,24) =9.31 p<.00001 Std.Error of estimate: .652						
	BETA	St. Err. of BETA	B	St. Err. of B	t(24)	p-level
Intercpt			2,138	4,589	0,47	0,6455
N_PRN	0,923	0,142	0,315	0,049	6,50	0,0000
MF_MF	0,595	0,120	2,280	0,459	4,96	0,0000
N_STO	-0,375	0,143	-0,924	0,352	-2,63	0,0148
TR_GN	-0,396	0,111	-0,456	0,128	-3,56	0,0016
CHI_CHI	0,420	0,122	1,109	0,323	3,43	0,0022
EK_EK	-0,520	0,139	-0,970	0,260	-3,73	0,0010
EU_EU	0,482	0,126	1,146	0,301	3,81	0,0008
DUGS_GOP	-0,268	0,113	-0,179	0,075	-2,38	0,0257
Analysis of Variance; DV: 37VO_S (kozyura.sta)						
	Sums of Squares	df	Mean Squares	F	p-level	
Regress.	31,70	8,000	3,963	9,309	0,0000	
Residual	10,22	24,00	0,426			
Total	41,92					

Примітки: тут і в подальшому, N_PRN – довжина носа (см); TR_GN – фізіологічна довжина обличчя (см).

нижнього лівого другого ВКЗ (37VO_K) у чоловіків південного регіону України мають високу достовірність, за винятком вільного члену (табл. 5.11). Коефіцієнт детермінації на 70,6 % обумовлює допустимо залежну змінну. Результати дисперсійного аналізу вказують на високу значущість (p<0,001) регресійного лінійного поліному (див. табл. 5.11). Побудована модель має вигляд наступного лінійного рівняння:

$$37VO_K (\text{південний регіон}) = 5,946 + 0,223 \times N_PRN - 1,065 \times AL_AL - 1,794 \times EK_EK + 0,967 \times CHI_CHI + 1,340 \times MF_MF + 0,978 \times EU_EU + 0,425 \times$$

FMT_FMT – 0,293×TR_GN.

Таблиця 5.11

Результати покрокового регресійного (Regression Summary) та дисперсійного аналізів (Analysis of Variance) присінково-язикового розміру коронки нижнього лівого другого ВКЗ (37VO_K) у чоловіків південного регіону України в залежності від особливостей кефалометричних показників.

Regression Summary for Dependent Variable: 37VO_K						
R= .841 R ² = .706 Adjusted R ² = .609						
F _(7,22) =8,24 p<.00007 Std.Error of estimate: .663						
	BETA	St. Err. of BETA	B	St. Err. of B	t(24)	p-level
Intercpt			5,946	5,012	1,19	0,2472
N_PRN	0,705	0,124	0,223	0,039	5,69	0,0000
AL_AL	-0,278	0,128	-1,065	0,488	-2,18	0,0391
EK_EK	-1,039	0,222	-1,794	0,383	-4,68	0,0001
CHI_CHI	0,396	0,134	0,967	0,328	2,94	0,0071
MF_MF	0,378	0,137	1,340	0,487	2,75	0,0111
EU_EU	0,444	0,139	0,978	0,306	3,19	0,0039
FMT_FMT	0,487	0,180	0,425	0,157	2,70	0,0125
TR_GN	-0,275	0,120	-0,293	0,128	-2,28	0,0315
Analysis of Variance; DV: 37VO_K (kozyura.sta)						
	Sums of Squares	df	Mean Squares	F	p-level	
Regress.	25,38	8,000	3,173	7,219	0,0001	
Residual	10,55	24,00	0,439			
Total	35,93					

Усі коефіцієнти моделі присінково-язикового розміру шийки нижнього лівого першого ВКЗ (36VO_S) у чоловіків південного регіону України мають високу достовірність (табл. 5.12). Коефіцієнт детермінації на 63,3 % обумовлює допустимо залежну змінну. Результати дисперсійного аналізу вказують на високу значущість (p<0,001) регресійного лінійного поліному (див. табл. 5.12). Модель має вигляд наступного лінійного рівняння:

$$36VO_S \text{ (південний регіон)} = 7,870 + 0,177 \times N_SN + 1,130 \times MF_MF - 0,690 \times N_STO - 0,336 \times TR_GN + 0,569 \times EU_EU - 0,635 \times EK_EK + 0,129 \times ZY_ZY.$$

Таблиця 5.12

Результати покрокового регресійного (Regression Summary) та дисперсійного аналізів (Analysis of Variance) присінково-язикового розміру шийки нижнього лівого першого ВКЗ (36VO_S) у чоловіків південного регіону України в залежності від особливостей кефалометричних показників.

Regression Summary for Dependent Variable: 36VO_S						
R= .796 R ² = .633 Adjusted R ² = .530						
F _(6,16) =7,25 p<.00030 Std.Error of estimate: .458						
	BETA	St. Err. of BETA	B	St. Err. of B	t(25)	p-level
Intercpt			7,870	3,129	2,52	0,0187
N_SN	0,877	0,169	0,177	0,034	5,19	0,0000
MF_MF	0,505	0,145	1,130	0,324	3,49	0,0018
N_STO	-0,480	0,172	-0,690	0,248	-2,79	0,0100
TR_GN	-0,501	0,132	-0,336	0,089	-3,79	0,0008
EU_EU	0,410	0,147	0,569	0,205	2,78	0,0102
EK_EK	-0,582	0,189	-0,635	0,206	-3,08	0,0050
ZY_ZY	0,347	0,160	0,129	0,060	2,17	0,0394
Analysis of Variance; DV: 36VO_S (kozyura.sta)						
	Sums of Squares	df	Mean Squares	F	p-level	
Regress.	9,055	7,000	1,294	6,157	0,0003	
Residual	5,252	25,00	0,210			
Total	14,31					

Більшість коефіцієнтів моделі *присінково-язикового розміру коронки нижнього лівого першого ВКЗ (36VO_K)* у чоловіків південного регіону України мають високу достовірність, за винятком найбільшої довжини голови (табл. 5.13). Коефіцієнт детермінації на 50,4 % обумовлює допустимо залежну змінну. Результати дисперсійного аналізу вказують на високу значущість ($p < 0,001$) регресійного лінійного поліному (див. табл. 5.13). Побудована модель має вигляд наступного лінійного рівняння:

$$36VO_K \text{ (південний регіон)} = 17,23 + 0,129 \times N_SN - 0,522 \times N_I - 0,175 \times G_OP.$$

Усі коефіцієнти моделі *висоти коронки нижнього правого першого ВКЗ (46HKZ)* у чоловіків південного регіону України мають високу дос-

Таблиця 5.13

Результати покрокового регресійного (Regression Summary) та дисперсійного аналізів (Analysis of Variance) присінково-язикового розміру коронки нижнього лівого першого ВКЗ (36VO_K) у чоловіків південного регіону України в залежності від особливостей кефалометричних показників.

Regression Summary for Dependent Variable: 36VO_K						
R= .710 R ² = .504 Adjusted R ² = .452						
F _(3,29) =9.81 p<.00013 Std.Error of estimate: .480						
	BETA	St. Err. of BETA	B	St. Err. of B	t(29)	p-level
Intercept			17,23	2,694	6,39	0,0000
N_SN	0,655	0,133	0,129	0,026	4,94	0,0000
N_I	-0,341	0,132	-0,522	0,203	-2,57	0,0154
G_OP	-0,197	0,131	-0,175	0,117	-1,50	0,1444
Analysis of Variance; DV: 36VO_K (kozyura.sta)						
	Sums of Squares	df	Mean Squares	F	p-level	
Regress.	6,774	3,000	2,258	9,808	0,0001	
Residual	6,677	29,00	0,230			
Total	13,45					

товірність (табл. 5.14). Коефіцієнт детермінації на 74,8 % обумовлює допустимо залежну змінну. Результати дисперсійного аналізу вказують на високу значущість ($p < 0,001$) регресійного лінійного поліному (див. табл. 5.14). Модель має вигляд наступного лінійного рівняння:

$$46HKZ (\text{південний регіон}) = 18,12 - 1,145 \times SN_PRN - 0,620 \times EU_EU - 0,558 \times MF_MF - 0,113 \times N_PRN - 0,218 \times TIP_LICA + 0,590 \times LGO_GN - 0,636 \times CHI_CHI + 0,424 \times N_STO.$$

Більшість коефіцієнтів моделі мезіо-дистального розміру коронки нижнього правого першого ВКЗ (46MD_K) у чоловіків південного регіону України мають високу достовірність, за винятком фізіологічної довжини обличчя та поперечної дуги (табл. 5.15). Коефіцієнт детермінації на 56,0 % обумовлює допустимо залежну змінну. Результати дисперсійного аналізу вказують на високу значущість ($p < 0,001$) регресійного лінійного поліному

Таблиця 5.14

Результати прямого покрокового регресійного (Regression Summary) та дисперсійного аналізів (Analysis of Variance) висоти коронки нижнього правого першого ВКЗ (46HKZ) у чоловіків південного регіону України в залежності від особливостей кефалометричних показників.

Regression Summary for Dependent Variable: 46HKZ						
R= .865 R ² = .748 Adjusted R ² = .664						
F _(8,24) =8.89 p<.00001 Std.Error of estimate: .357						
	BETA	St. Err. of BETA	B	St. Err. of B	t(24)	p-level
Intercpt			18,12	2,566	7,06	0,0000
SN_PRN	-0,540	0,132	-1,145	0,279	-4,10	0,0004
EU_EU	-0,484	0,115	-0,620	0,147	-4,23	0,0003
MF_MF	-0,271	0,118	-0,558	0,242	-2,30	0,0302
N_PRN	-0,616	0,154	-0,113	0,028	-4,00	0,0005
TIP_LICA	-0,538	0,144	-0,218	0,058	-3,74	0,0010
LGO_GN	0,509	0,138	0,590	0,159	3,70	0,0011
CHI_CHI	-0,448	0,134	-0,636	0,191	-3,33	0,0028
N_STO	0,320	0,151	0,424	0,200	2,12	0,0446
Analysis of Variance; DV: 46HKZ (kozyura.sta)						
	Sums of Squares	df	Mean Squares	F	p-level	
Regress.	9,073	8,000	1,134	8,887	0,0000	
Residual	3,063	24,00	0,128			
Total	12,14					

Таблиця 5.15

Результати покрокового регресійного (Regression Summary) та дисперсійного аналізів (Analysis of Variance) мезіо-дистального розміру коронки нижнього правого першого ВКЗ (46MD_K) у чоловіків південного регіону України в залежності від особливостей кефалометричних показників.

Regression Summary for Dependent Variable: 46MD_K						
R= .748 R ² = .560 Adjusted R ² = .458						
F _(6,26) =5.51 p<.00086 Std.Error of estimate: .674						
	BETA	St. Err. of BETA	B	St. Err. of B	t(26)	p-level
Intercpt			24,38	4,357	5,60	0,0000
N_PRN	0,569	0,175	0,155	0,048	3,25	0,0032
RGO_GN	-0,651	0,177	-0,959	0,260	-3,68	0,0011

Продовження табл. 5.15

CHI_CHI	0,474	0,177	1,000	0,374	2,67	0,0128
N_STO	-0,498	0,187	-0,979	0,367	-2,67	0,0130
TR_GN	-0,201	0,138	-0,185	0,127	-1,45	0,1583
DUG_AUAU	-0,226	0,156	-0,154	0,106	-1,44	0,1609
Analysis of Variance; DV: 46MD_K (kozyura.sta)						
	Sums of Squares	df	Mean Squares	F	p-level	
Regress.	15,00	6,000	2,500	5,509	0,0009	
Residual	11,80	26,00	0,454			
Total	26,80					

(див. табл. 5.15). Побудована модель має вигляд наступного лінійного рівняння:

$$46MD_K \text{ (південний регіон)} = 24,38 + 0,155 \times N_PRN - 0,959 \times RGO_GN + 1,000 \times CHI_CHI - 0,979 \times N_STO - 0,185 \times TR_GN - 0,154 \times DUG_AUAU.$$

Майже половина коефіцієнтів моделі *присінково-язикового розміру шийки нижнього правого другого ВКЗ (47VO_S)* у чоловіків південного регіону України мають високу достовірність, за винятком вільного члену, ширини ротової щілини, фізіологічної довжини обличчя та поперечної дуги (табл. 5.16). Коефіцієнт детермінації на 54,9 % обумовлює допустимо залежну змінну. Результати дисперсійного аналізу вказують на високу значущість ($p < 0,01$) регресійного лінійного поліному (див. табл. 5.16). Побудована модель має вигляд наступного лінійного рівняння:

$$47VO_S \text{ (південний регіон)} = 6,611 + 0,204 \times N_PRN + 1,360 \times MF_MF - 0,712 \times EK_EK + 0,617 \times CHI_CHI - 0,262 \times TR_GN + 0,186 \times DUG_AUAU.$$

Таблиця 5.16

Результати покрокового регресійного (Regression Summary) та дисперсійного аналізів (Analysis of Variance) присінково-язикового розміру шийки нижнього правого другого ВКЗ (47VO_S) у чоловіків південного регіону України в залежності від особливостей кефалометричних показників.

Regression Summary for Dependent Variable: 47VO_S
R= .741 R ² = .549 Adjusted R ² = .444

Продовження табл. 5.16

F _(5,27) =6,26 p<.00115 Std.Error of estimate: .781						
	BETA	St. Err. of BETA	B	St. Err. of B	t(26)	p-level
Intercpt			6,611	4,780	1,38	0,1784
N_PRN	0,651	0,154	0,204	0,048	4,24	0,0003
MF_MF	0,388	0,146	1,360	0,511	2,66	0,0132
EK_EK	-0,417	0,162	-0,712	0,277	-2,56	0,0165
CHI_CHI	0,255	0,158	0,617	0,382	1,61	0,1189
TR_GN	-0,248	0,136	-0,262	0,143	-1,83	0,0785
DUG_AUAU	0,238	0,154	0,186	0,120	1,55	0,1336
Analysis of Variance; DV: 47VO_S (kozyura.sta)						
	Sums of Squares	df	Mean Squares	F	p-level	
Regress.	19,27	6,000	3,211	5,267	0,0011	
Residual	15,85	26,00	0,610			
Total	35,12					

Більш ніж половина коефіцієнтів моделі *присінково-язикового розміру коронки нижнього правого другого ВКЗ (47VO_K)* у чоловіків південного регіону України мають високу достовірність, за винятком відстані між назіон та міжрізцевою точкою, поперечної дуги та ширини нижньої щелепи (табл. 5.17). Коефіцієнт детермінації на 61,9 % обумовлює допустимо залежну змінну. Результати дисперсійного аналізу вказують на високу значущість (p<0,001) регресійного лінійного поліному (див. табл. 5.17). Побудована модель має вигляд наступного лінійного рівняння:

$$47VO_K \text{ (південний регіон)} = 14,27 + 0,217 \times N_SN - 0,583 \times N_I - 0,771 \times EK_EK + 0,951 \times CHI_CHI + 0,182 \times DUG_AUAU - 0,341 \times GO_GO.$$

Таблиця 5.17

Результати покрокового регресійного (Regression Summary) та дисперсійного аналізів (Analysis of Variance) присінково-язикового розміру коронки нижнього правого другого ВКЗ (47VO_K) у чоловіків південного регіону України в залежності від особливостей кефалометричних показників.

Regression Summary for Dependent Variable: 47VO_K
R= .787 R ² = .619 Adjusted R ² = .531
F _(6,26) =7.04 p<.00016 Std.Error of estimate: .704

Продовження табл. 5.17

	BETA	St. Err. of BETA	B	St. Err. of B	t(26)	p-level
Intercept			14,27	4,486	3,18	0,0038
N_SN	0,698	0,137	0,217	0,043	5,09	0,0000
N_I	-0,240	0,128	-0,583	0,311	-1,88	0,0719
EK_EK	-0,460	0,143	-0,771	0,240	-3,22	0,0034
CHI_CHI	0,401	0,154	0,951	0,365	2,60	0,0150
DUG_AUAU	0,238	0,139	0,182	0,106	1,71	0,0990
GO_GO	-0,215	0,136	-0,341	0,216	-1,58	0,1259
Analysis of Variance; DV: 47VO_K (kozyura.sta)						
	Sums of Squares	df	Mean Squares	F	p-level	
Regress.	20,94	6,000	3,491	7,037	0,0002	
Residual	12,90	26,00	0,496			
Total	33,84					

Усі коефіцієнти моделі *висоти коронки нижнього правого другого ВКЗ (47НКЗ)* у чоловіків південного регіону України мають високу достовірність (табл. 5.18). Коефіцієнт детермінації на 52,7 % обумовлює допустимо залежну змінну. Результати дисперсійного аналізу вказують на високу значущість ($p < 0,01$) регресійного лінійного поліному (див. табл. 5.18). Модель має вигляд наступного лінійного рівняння:

$$47НКЗ (\text{південний регіон}) = 15,35 - 0,718 \times TR_GN - 1,328 \times MF_MF + 0,169 \times DUGS_GOP + 0,649 \times TR_N + 1,172 \times AL_AL - 0,965 \times CHI_CHI.$$

Таблиця 5.18

Результати прямого покрокового регресійного (Regression Summary) та дисперсійного аналізів (Analysis of Variance) висоти коронки нижнього правого другого ВКЗ (47НКЗ) у чоловіків південного регіону України в залежності від особливостей кефалометричних показників.

Regression Summary for Dependent Variable: 47НКЗ						
R= .726 R ² = .527 Adjusted R ² = .418						
F _(6,26) =4.83 p<.00197 Std.Error of estimate: .705						
	BETA	St. Err. of BETA	B	St. Err. of B	t(26)	p-level
Intercept			15,35	3,985	3,85	0,0007

Продовження табл. 5.18

TR_GN	-0,773	0,215	-0,718	0,200	-3,59	0,0014
MF_MF	-0,430	0,150	-1,328	0,463	-2,87	0,0081
DUGS_GOP	0,314	0,152	0,169	0,082	2,07	0,0487
TR_N	0,636	0,231	0,649	0,235	2,76	0,0105
AL_AL	0,351	0,168	1,172	0,559	2,10	0,0459
CHI_CHI	-0,453	0,162	-0,965	0,346	-2,79	0,0097
Analysis of Variance; DV: 47HKZ (kozyura.sta)						
	Sums of Squares	df	Mean Squares	F	p-level	
Regress.	14,39	6,000	2,399	4,827	0,0020	
Residual	12,92	26,00	0,497			
Total	27,31					

Примітки: тут і в подальшому, TR_N – висота лоба (см).

Більшість коефіцієнтів моделі *мезіо-дистального розміру коронки нижнього правого другого ВКЗ (47MD_K)* у чоловіків південного регіону України мають високу достовірність, за винятком висоти верхньої частини обличчя (табл. 5.19). Коефіцієнт детермінації на 50,8 % обумовлює допустимо залежну змінну. Результати дисперсійного аналізу вказують на високу значущість ($p < 0,001$) регресійного лінійного поліному (див. табл. 5.19). Побудована модель має вигляд наступного лінійного рівняння:

$$47MD_K \text{ (південний регіон)} = 17,06 + 0,178 \times N_SN - 0,987 \times SN_PRN - 0,244 \times TR_GN - 0,504 \times N_STO.$$

Таблиця 5.19

Результати покрокового регресійного (Regression Summary) та дисперсійного аналізів (Analysis of Variance) мезіо-дистального розміру коронки нижнього правого другого ВКЗ (47MD_K) у чоловіків південного регіону України в залежності від особливостей кефалометричних показників.

Regression Summary for Dependent Variable: 47MD_K						
R= .712 R ² = .508 Adjusted R ² = .437						
F _(4,28) =7.22 p<.00040 Std.Error of estimate: .521						
	BETA	St. Err. of BETA	B	St. Err. of B	t(28)	p-level
Intercpt			17,06	1,861	9,17	0,0000

Продовження табл. 5.19

N_SN	0,844	0,177	0,178	0,037	4,77	0,0001
SN_PRN	-0,412	0,162	-0,987	0,387	-2,55	0,0166
TR_GN	-0,349	0,138	-0,244	0,097	-2,52	0,0178
N_STO	-0,337	0,185	-0,504	0,277	-1,82	0,0792
Analysis of Variance; DV: 47MD_K (kozyura.sta)						
	Sums of Squares	df	Mean Squares	F	p-level	
Regress.	7,849	4,000	1,962	7,217	0,0004	
Residual	7,613	28,00	0,272			
Total	15,46					

5.3. Регресійні моделі комп'ютерно-томографічних розмірів великих кутніх зубів у чоловіків центрального регіону України

Більшість коефіцієнтів моделі *присінково-язикового розміру коронки нижнього лівого першого ВКЗ (36VO_K)* у чоловіків центрального регіону України мають високу достовірність, за винятком висоти верхньої частини обличчя (табл. 5.20). Коефіцієнт детермінації на 61,3 % обумовлює допустимо залежну змінну. Результати дисперсійного аналізу вказують на високу значущість ($p < 0,001$) регресійного лінійного поліному (див. табл. 5.20). Побудована модель має вигляд наступного лінійного рівняння:

$$36VO_K \text{ (центральный регион)} = 13,75 - 0,203 \times TR_GN - 0,636 \times N_SN + 0,649 \times N_PRN + 0,193 \times N_STO.$$

Таблиця 5.20

Результати прямого покрокового регресійного (Regression Summary) та дисперсійного аналізів (Analysis of Variance) присінково-язикового розміру коронки нижнього лівого першого ВКЗ (36VO_K) у чоловіків центрального регіону України в залежності від особливостей кефалометричних показників.

Regression Summary for Dependent Variable: 36VO_K

Продовження табл. 5.20

R= .783 R ² = .613 Adjusted R ² = .587						
F _(4,59) =23.37 p<.00000 Std.Error of estimate: .683						
	BETA	St. Err. of BETA	B	St. Err. of B	t(59)	p-level
Intercpt			13,75	1,175	11,70	0,0000
TR_GN	-0,260	0,084	-0,203	0,066	-3,09	0,0031
N_SN	-1,677	0,191	-0,636	0,072	-8,80	0,0000
N_PRN	1,621	0,190	0,649	0,076	8,53	0,0000
N_STO	0,144	0,083	0,193	0,112	1,73	0,0896
Analysis of Variance; DV: 36VO_K (kozyura.sta)						
	Sums of Squares	df	Mean Squares	F	p-level	
Regress.	43,55	4,000	10,89	23,37	0,0000	
Residual	27,49	59,00	0,466			
Total	71,04					

Більшість коефіцієнтів моделі *мезіо-дистального розміру коронки нижнього правого першого ВКЗ (46MD_K)* у чоловіків центрального регіону України мають високу достовірність, за винятком зовнішньоочної ширини (табл. 5.21). Коефіцієнт детермінації на 64,8 % обумовлює допустимо залежну змінну. Результати дисперсійного аналізу вказують на високу значущість (p<0,001) регресійного лінійного поліному (див. табл. 5.21). Побудована модель має вигляд наступного лінійного рівняння:

$$46MD_K \text{ (центральный регион)} = 17,01 + 0,424 \times EU_EU - 0,299 \times DUG_GOP - 2,066 \times MF_MF + 1,193 \times CHI_CHI + 0,218 \times DUG_AUAU - 0,298 \times N_STO + 0,289 \times N_GN - 0,508 \times EK_EK.$$

Таблиця 5.21

Результати покрокового регресійного (Regression Summary) та дисперсійного аналізів (Analysis of Variance) мезіо-дистального розміру коронки нижнього правого першого ВКЗ (46MD_K) у чоловіків центрального регіону України в залежності від особливостей кефалометричних показників.

Regression Summary for Dependent Variable: 46MD_K	
R= .805 R ² = .648 Adjusted R ² = .596	
F _(8,55) =12.63 p<.00000 Std.Error of estimate: .765	

Продовження табл. 5.21

	BETA	St. Err. of BETA	B	St. Err. of B	t(55)	p-level
Intercept			17,01	3,743	4,55	0,0000
EU_EU	0,340	0,087	0,424	0,108	3,92	0,0002
DUG_GOP	-0,395	0,108	-0,299	0,082	-3,66	0,0006
MF_MF	-0,449	0,111	-2,066	0,510	-4,05	0,0002
CHI_CHI	0,434	0,104	1,193	0,287	4,15	0,0001
DUG_AUAU	0,248	0,098	0,218	0,086	2,54	0,0139
N_STO	-0,196	0,089	-0,298	0,134	-2,22	0,0306
N_GN	0,183	0,091	0,289	0,143	2,02	0,0481
EK_EK	-0,196	0,103	-0,508	0,268	-1,89	0,0635
Analysis of Variance; DV: 46MD_K (kozyura.sta)						
	Sums of Squares	df	Mean Squares	F	p-level	
Regress.	59,07	8,000	7,383	12,63	0,0000	
Residual	32,15	55,00	0,585			
Total	91,22					

5.4. Регресійні моделі комп'ютерно-томографічних розмірів великих кутніх зубів у чоловіків західного регіону України

Більшість коефіцієнтів моделі *мезіо-дистального розміру коронки верхнього правого другого ВКЗ (17MD_K)* у чоловіків західного регіону України мають високу достовірність, за винятком вільного члену (табл. 5.22). Коефіцієнт детермінації на 64,6 % обумовлює допустимо залежну змінну. Результати дисперсійного аналізу вказують на високу значущість ($p < 0,001$) регресійного лінійного поліному (див. табл. 5.22). Побудована модель має вигляд наступного лінійного рівняння:

$$17MD_K \text{ (західний регіон)} = 4,492 + 0,368 \times FMT_FMT + 0,909 \times N_PRN - 0,197 \times DUGS_GOP + 0,603 \times EK_EK - 0,137 \times TIP_LICA - 0,800 \times N_SN.$$

Більш ніж половина коефіцієнтів моделі *висоти коронки верхнього правого першого ВКЗ (16HKZ)* у чоловіків західного регіону України мають

Таблиця 5.22

Результати покрокового регресійного (Regression Summary) та дисперсійного аналізів (Analysis of Variance) мезіо-дистального розміру коронки верхнього правого другого ВКЗ (17MD_K) у чоловіків західного регіону України в залежності від особливостей кефалометричних показників.

Regression Summary for Dependent Variable: 17MD_K						
R= .804 R ² = .646 Adjusted R ² = .573						
F _(6,29) =8.82 p<.00002 Std.Error of estimate: .468						
	BETA	St. Err. of BETA	B	St. Err. of B	t(29)	p-level
Intercpt			4,492	2,551	1,76	0,0888
FMT_FMT	0,395	0,118	0,368	0,110	3,36	0,0022
N_PRN	4,178	1,648	0,909	0,358	2,54	0,0169
DUGS_GOP	-0,574	0,169	-0,197	0,058	-3,39	0,0020
EK_EK	0,368	0,122	0,603	0,200	3,02	0,0052
TIP_LICA	-0,319	0,136	-0,137	0,058	-2,35	0,0258
N_SN	-3,647	1,682	-0,800	0,369	-2,17	0,0385
Analysis of Variance; DV: 17MD_K (kozyura.sta)						
	Sums of Squares	df	Mean Squares	F	p-level	
Regress.	11,58	6,000	1,930	8,823	0,0000	
Residual	6,344	29,00	0,219			
Total	17,93					

високу достовірність, за винятком вільного члену, найбільшої ширини голови та довжини носа (табл. 5.23). Коефіцієнт детермінації на 57,9 % обумовлює допустимо залежну змінну. Результати дисперсійного аналізу вказують на високу значущість (p<0,001) регресійного лінійного поліному (див. табл. 5.1). Побудована модель має вигляд наступного лінійного рівняння:

$$16HKZ \text{ (західний регіон)} = -0,540 + 2,101 \times N_STO + 0,317 \times DUG_AUAU - 1,628 \times AL_AL + 1,233 \times CHI_CHI - 0,455 \times EU_EU - 0,082 \times N_PRN.$$

Більшість коефіцієнтів моделі мезіо-дистального розміру коронки верхнього лівого другого ВКЗ (27MD_K) у чоловіків західного регіону України мають високу достовірність, за винятком вільного члену та довжини тіла нижньої щелепи справа (табл. 5.24). Коефіцієнт детермінації на 61,5 %

Таблиця 5.23

Результати прямого покрокового регресійного (Regression Summary) та дисперсійного аналізів (Analysis of Variance) висоти коронки верхнього правого першого ВКЗ (16HKZ) у чоловіків західного регіону України в залежності від особливостей кефалометричних показників.

Regression Summary for Dependent Variable: 16HKZ						
R= .761 R ² = .579 Adjusted R ² = .492						
F _(6,29) =6.65 p<.00017 Std.Error of estimate: .874						
	BETA	St. Err. of BETA	B	St. Err. of B	t(29)	p-level
Intercept			-0,540	5,002	-0,11	0,9148
N_STO	0,840	0,162	2,101	0,404	5,20	0,0000
DUG_AUAU	0,399	0,136	0,317	0,108	2,94	0,0065
AL_AL	-0,347	0,135	-1,628	0,632	-2,58	0,0153
CHI_CHI	0,331	0,144	1,233	0,537	2,29	0,0292
EU_EU	-0,235	0,152	-0,455	0,295	-1,54	0,1338
N_PRN	-0,220	0,150	-0,082	0,056	-1,47	0,1513
Analysis of Variance; DV: 16HKZ (kozyura.sta)						
	Sums of Squares	df	Mean Squares	F	p-level	
Regress.	30,46	6,000	5,077	6,654	0,0002	
Residual	22,13	29,00	0,763			
Total	52,59					

Таблиця 5.24

Результати покрокового регресійного (Regression Summary) та дисперсійного аналізів (Analysis of Variance) мезіо-дистального розміру коронки верхнього лівого другого ВКЗ (27MD_K) у чоловіків західного регіону України в залежності від особливостей кефалометричних показників.

Regression Summary for Dependent Variable: 27MD_K						
R= .784 R ² = .615 Adjusted R ² = .535						
F _(6,29) =7.72 p<.00005 Std.Error of estimate: .479						
	BETA	St. Err. of BETA	B	St. Err. of B	t(29)	p-level
Intercept			2,934	2,663	1,10	0,2797
RGO_GN	0,235	0,137	0,308	0,180	1,71	0,0982
SN_PRN	0,399	0,118	0,930	0,275	3,39	0,0020
DUGS_GOP	-0,753	0,164	-0,254	0,055	-4,60	0,0001
TR_GN	0,307	0,138	0,216	0,097	2,23	0,0333

Продовження табл. 5.24

N_SN	0,432	0,161	0,093	0,035	2,67	0,0122
EK_EK	0,302	0,141	0,485	0,226	2,14	0,0407
Analysis of Variance; DV: 27MD_K (kozyura.sta)						
	Sums of Squares	df	Mean Squares	F	p-level	
Regress.	10,61	6,000	1,768	7,716	0,0001	
Residual	6,643	29,00	0,229			
Total	17,25					

обумовлює допустимо залежну змінну. Результати дисперсійного аналізу вказують на високу значущість ($p < 0,001$) регресійного лінійного поліному (див. табл. 5.24). Побудована модель має вигляд наступного лінійного рівняння:

$$27MD_K \text{ (західний регіон)} = 2,934 + 0,308 \times RGO_GN + 0,930 \times SN_PRN - 0,254 \times DUGS_GOP + 0,216 \times TR_GN + 0,093 \times N_SN + 0,485 \times EK_EK.$$

Усі коефіцієнти моделі *мезіо-дистального розміру коронки нижнього лівого другого ВКЗ (37MD_K)* у чоловіків західного регіону України мають високу достовірність (табл. 5.25). Коефіцієнт детермінації на 64,6 % обумовлює допустимо залежну змінну. Результати дисперсійного аналізу вказують на високу значущість ($p < 0,001$) регресійного лінійного поліному (див. табл. 5.25). Модель має вигляд наступного лінійного рівняння:

$$37MD_K \text{ (західний регіон)} = 7,787 + 0,445 \times N_STO + 0,607 \times SN_PRN + 0,341 \times TIP_LICA - 0,297 \times ZM_ZM + 0,466 \times TR_N + 0,604 \times N_I + 0,819 \times AL_AL - 0,125 \times DUG_GOP.$$

Таблиця 5.25

Результати покрокового регресійного (Regression Summary) та дисперсійного аналізів (Analysis of Variance) мезіо-дистального розміру коронки нижнього лівого другого ВКЗ (37MD_K) у чоловіків західного регіону України в залежності від особливостей кефалометричних показників.

Regression Summary for Dependent Variable: 37MD_K
R= .804 R ² = .646 Adjusted R ² = .542
F _(6,17) =8,27 p<.00015 Std.Error of estimate: .413

Продовження табл. 5.25

	BETA	St. Err. of BETA	B	St. Err. of B	t(27)	p-level
Intercept			7,787	3,020	2,58	0,0157
N_STO	0,358	0,136	0,445	0,169	2,64	0,0137
SN_PRN	0,299	0,136	0,607	0,276	2,20	0,0365
TIP_LICA	0,933	0,239	0,341	0,087	3,91	0,0006
ZM_ZM	-0,835	0,221	-0,297	0,079	-3,77	0,0008
TR_N	0,567	0,151	0,466	0,124	3,76	0,0008
N_I	0,417	0,145	0,604	0,210	2,88	0,0076
AL_AL	0,351	0,129	0,819	0,302	2,71	0,0115
DUG_GOP	-0,337	0,152	-0,125	0,056	-2,22	0,0350
Analysis of Variance; DV: 37MD_K (kozyura.sta)						
	Sums of Squares	df	Mean Squares	F	p-level	
Regress.	8,410	8,000	1,051	6,172	0,0001	
Residual	4,598	27,00	0,170			
Total	13,01					

Більшість коефіцієнтів моделі *мезіо-дистального розміру шийки нижнього лівого другого ВКЗ (37MD_S)* у чоловіків західного регіону України мають високу достовірність, за винятком вільного члену (табл. 5.26). Коефіцієнт детермінації на 58,1 % обумовлює допустимо залежну змінну. Результати дисперсійного аналізу вказують на високу значущість ($p < 0,001$) регресійного лінійного поліному (див. табл. 5.26). Побудована модель має вигляд наступного лінійного рівняння:

$$37MD_S \text{ (західний регіон)} = 5,612 + 1,466 \times N_I + 0,789 \times LGO_GN - 0,257 \times DUG_GOP - 0,474 \times N_GN + 0,162 \times DUGS_GOP.$$

Таблиця 5.26

Результати покрокового регресійного (Regression Summary) та дисперсійного аналізів (Analysis of Variance) мезіо-дистального розміру шийки нижнього лівого другого ВКЗ (37MD_S) у чоловіків західного регіону України в залежності від особливостей кефалометричних показників.

Regression Summary for Dependent Variable: 37MD_S
R= .762 R ² = .581 Adjusted R ² = .512
F _(5,30) =8.31 p<.00005 Std.Error of estimate: .387

Продовження табл. 5.26

	BETA	St. Err. of BETA	B	St. Err. of B	t(30)	p-level
Intercept			5,612	2,751	2,04	0,0502
N_I	1,114	0,212	1,466	0,279	5,25	0,0000
LGO_GN	0,789	0,146	0,789	0,146	5,40	0,0000
DUG_GOP	-0,764	0,200	-0,257	0,067	-3,82	0,0006
N_GN	-0,607	0,192	-0,474	0,150	-3,16	0,0036
DUGS_GOP	0,609	0,185	0,162	0,049	3,30	0,0025
Analysis of Variance; DV: 37MD_S (kozyura.sta)						
	Sums of Squares	df	Mean Squares	F	p-level	
Regress.	6,221	5,000	1,244	8,307	0,0001	
Residual	4,493	30,00	0,150			
Total	10,71					

Більшість коефіцієнтів моделі *присінково-язикового розміру шийки нижнього лівого першого ВКЗ (36VO_S)* у чоловіків західного регіону України мають високу достовірність, за винятком вільного члену та висоти лоба (табл. 5.27). Коефіцієнт детермінації на 64,6 % обумовлює допустимо залежну змінну. Результати дисперсійного аналізу вказують на високу значущість ($p < 0,001$) регресійного лінійного поліному (див. табл. 5.27). Побудована модель має вигляд наступного лінійного рівняння:

$$36VO_S \text{ (західний регіон)} = -0,859 + 1,641 \times SN_PRN + 0,504 \times LGO_GN + 0,444 \times TR_GN - 0,371 \times N_GN - 0,278 \times TR_N.$$

Таблиця 5.27

Результати прямого покрокового регресійного (Regression Summary) та дисперсійного аналізів (Analysis of Variance) присінково-язикового розміру шийки нижнього лівого першого ВКЗ (36VO_S) у чоловіків західного регіону України в залежності від особливостей кефалометричних показників.

Regression Summary for Dependent Variable: 36VO_S
R= .804 R ² = .646 Adjusted R ² = .587
F _(5,30) =10.95 p<.00000 Std.Error of estimate: .441

Продовження табл. 5.27

	BETA	St. Err. of BETA	B	St. Err. of B	t(30)	p-level
Intercept			-0,859	2,317	-0,37	0,7136
SN_PRN	0,719	0,124	1,641	0,283	5,81	0,0000
LGO_GN	0,406	0,118	0,504	0,146	3,44	0,0017
TR_GN	0,644	0,203	0,444	0,140	3,17	0,0035
N_GN	-0,382	0,152	-0,371	0,147	-2,52	0,0173
TR_N	-0,300	0,192	-0,278	0,178	-1,57	0,1280
Analysis of Variance; DV: 36VO_S (kozyura.sta)						
	Sums of Squares	df	Mean Squares	F	p-level	
Regress.	10,67	5,000	2,134	10,95	0,0000	
Residual	5,847	30,00	0,195			
Total	16,52					

Більшість коефіцієнтів моделі *присінково-язикового розміру коронки нижнього лівого першого ВКЗ (36VO_K)* у чоловіків західного регіону України мають високу достовірність, за винятком вільного члену (табл. 5.28). Коефіцієнт детермінації на 61,4 % обумовлює допустимо залежну змінну. Результати дисперсійного аналізу вказують на високу значущість ($p < 0,001$) регресійного лінійного поліному (див. табл. 5.28). Побудована модель має вигляд наступного лінійного рівняння:

$$36VO_K (\text{західний регіон}) = -4,197 + 1,752 \times SN_PRN + 0,176 \times DUG_AUAU + 0,489 \times LGO_GN + 0,442 \times N_STO.$$

Таблиця 5.28

Результати покрокового регресійного (Regression Summary) та дисперсійного аналізів (Analysis of Variance) присінково-язикового розміру коронки нижнього лівого першого ВКЗ (36VO_K) у чоловіків західного регіону України в залежності від особливостей кефалометричних показників.

Regression Summary for Dependent Variable: 36VO_K						
R= .784 R ² = .614 Adjusted R ² = .564						
F _(4,31) =12.34 p<.00000 Std.Error of estimate: .566						
	BETA	St. Err. of BETA	B	St. Err. of B	t(31)	p-level

Продовження табл. 5.28

Intercpt			-4,197	2,637	-1,59	0,1216
SN_PRN	0,615	0,121	1,752	0,344	5,10	0,0000
DUG_AUAU	0,317	0,119	0,176	0,066	2,66	0,0124
LGO_GN	0,315	0,118	0,489	0,183	2,67	0,0119
N_STO	0,252	0,119	0,442	0,208	2,13	0,0416
Analysis of Variance; DV: 36VO_K (kozyura.sta)						
	Sums of Squares	df	Mean Squares	F	p-level	
Regress.	15,81	4,000	3,953	12,34	0,0000	
Residual	9,930	31,00	0,320			
Total	25,74					

Усі коефіцієнти моделі *мезіо-дистального розміру коронки нижнього лівого першого ВКЗ (36MD_K)* у чоловіків західного регіону України мають високу достовірність (табл. 5.29). Коефіцієнт детермінації на 57,5 % обумовлює допустимо залежну змінну. Результати дисперсійного аналізу вказують на високу значущість ($p < 0,001$) регресійного лінійного поліному (див. табл. 5.29). Модель має вигляд наступного лінійного рівняння:

$$36MD_K \text{ (західний регіон)} = -9,286 + 0,443 \times EU_EU - 1,010 \times MF_MF + 0,418 \times G_OP + 0,527 \times LGO_GN + 0,856 \times SN_PRN + 0,146 \times ZM_ZM.$$

Таблиця 5.29

Результати покрокового регресійного (Regression Summary) та дисперсійного аналізів (Analysis of Variance) мезіо-дистального розміру коронки нижнього лівого першого ВКЗ (36MD_K) у чоловіків західного регіону України в залежності від особливостей кефалометричних показників.

Regression Summary for Dependent Variable: 36MD_K						
R= .758 R ² = .575 Adjusted R ² = .487						
F _(6,29) =6.54 p<.00019 Std.Error of estimate: .585						
	BETA	St. Err. of BETA	B	St. Err. of B	t(29)	p-level
Intercpt			-9,286	4,347	-2,14	0,0412
EU_EU	0,344	0,125	0,443	0,161	2,74	0,0104
MF_MF	-0,311	0,126	-1,010	0,411	-2,46	0,0203
G_OP	0,384	0,128	0,418	0,139	2,99	0,0056

Продовження табл. 5.29

LGO_GN	0,357	0,126	0,527	0,185	2,85	0,0080
SN_PRN	0,316	0,127	0,856	0,343	2,49	0,0186
ZM_ZM	0,307	0,135	0,146	0,064	2,28	0,0299
Analysis of Variance; DV: 36MD_K (kozyura.sta)						
	Sums of Squares	df	Mean Squares	F	p-level	
Regress.	13,42	6,000	2,236	6,537	0,0002	
Residual	9,919	29,00	0,342			
Total	23,33					

Більшість коефіцієнтів моделі *присінково-язикового розміру шийки нижнього правого першого ВКЗ (46VO_S)* у чоловіків західного регіону України мають високу достовірність, за винятком вільного члену та морфологічної довжини обличчя (табл. 5.30). Коефіцієнт детермінації на 58,2 % обумовлює допустимо залежну змінну. Результати дисперсійного аналізу вказують на високу значущість ($p < 0,001$) регресійного лінійного поліному (див. табл. 5.30). Побудована модель має вигляд наступного лінійного рівняння:

$$46VO_S \text{ (західний регіон)} = -0,399 + 1,567 \times SN_PRN + 0,473 \times LGO_GN + 0,252 \times TR_GN - 0,228 \times N_GN.$$

Таблиця 5.30

Результати покрокового регресійного (Regression Summary) та дисперсійного аналізів (Analysis of Variance) *присінково-язикового розміру шийки нижнього правого першого ВКЗ (46VO_S)* у чоловіків західного регіону України в залежності від особливостей кефалометричних показників.

Regression Summary for Dependent Variable: 46VO_S						
R= .763 R ² = .582 Adjusted R ² = .528						
F _(4,31) =10.80 p<.00001 Std.Error of estimate: .463						
	BETA	St. Err. of BETA	B	St. Err. of B	t(31)	p-level
Intercept			-0,399	2,370	-0,17	0,8673
SN_PRN	0,700	0,130	1,567	0,292	5,38	0,0000
LGO_GN	0,388	0,121	0,473	0,147	3,22	0,0030
TR_GN	0,373	0,136	0,252	0,092	2,74	0,0100

Продовження табл. 5.30

N_GN	-0,240	0,149	-0,228	0,142	-1,61	0,1174
Analysis of Variance; DV: 46VO_S (kozyura.sta)						
	Sums of Squares	df	Mean Squares	F	p-level	
Regress.	9,247	4,000	2,312	10,80	0,0000	
Residual	6,636	31,00	0,214			
Total	15,88					

Майже половина коефіцієнтів моделі *присінково-язикового розміру коронки нижнього правого першого ВКЗ (46VO_K)* у чоловіків західного регіону України мають високу достовірність, за винятком вільного члену, довжини тіла нижньої щелепи справа та зовнішньоочної ширини (табл. 5.31). Коефіцієнт детермінації на 57,1 % обумовлює допустимо залежну змінну. Результати дисперсійного аналізу вказують на високу значущість ($p < 0,001$) регресійного лінійного поліному (див. табл. 5.31). Побудована модель має вигляд наступного лінійного рівняння:

$$46VO_K \text{ (західний регіон)} = -5,950 + 1,570 \times SN_PRN + 0,282 \times TR_GN + 0,326 \times RGO_GN + 0,377 \times EK_EK.$$

Таблиця 5.31

Результати покрокового регресійного (Regression Summary) та дисперсійного аналізів (Analysis of Variance) присінково-язикового розміру коронки нижнього правого першого ВКЗ (46VO_K) у чоловіків західного регіону України в залежності від особливостей кефалометричних показників.

Regression Summary for Dependent Variable: 46VO_K						
R= .756 R ² = .571 Adjusted R ² = .516						
F _(4,31) =10.32 p<.00002 Std.Error of estimate: .560						
	BETA	St. Err. of BETA	B	St. Err. of B	t(31)	p-level
Intercpt			-4,590	2,890	-1,59	0,1223
SN_PRN	0,587	0,118	1,570	0,316	4,97	0,0000
TR_GN	0,349	0,118	0,282	0,095	2,95	0,0060
RGO_GN	0,217	0,134	0,326	0,201	1,62	0,1159
EK_EK	0,205	0,135	0,377	0,248	1,52	0,1382

Продовження табл. 5.31

Analysis of Variance; DV: 46VO_K (kozyura.sta)						
	Sums of Squares	df	Mean Squares	F	p-level	
Regress.	12,94	4,000	3,235	10,32	0,0000	
Residual	9,719	31,00	0,314			
Total	22,66					

Майже половина коефіцієнтів моделі *мезіо-дистального розміру шийки нижнього правого першого ВКЗ (46MD_S)* у чоловіків західного регіону України мають високу достовірність, за винятком вільного члену, найбільшого обхвату голови, зовнішньоочної ширини та найбільшої довжини голови (табл. 5.32). Коефіцієнт детермінації на 54,4 % обумовлює допустимо залежну змінну. Результати дисперсійного аналізу вказують на високу значущість ($p < 0,001$) регресійного лінійного поліному (див. табл. 5.32). Побудована модель має вигляд наступного лінійного рівняння:

$$46MD_S \text{ (західний регіон)} = -0,053 + 0,105 \times DUGS_GOP - 0,261 \times DUG_AUAU + 0,434 \times EU_EU + 0,343 \times EK_EK + 0,239 \times G_OP.$$

Таблиця 5.32

Результати покрокового регресійного (Regression Summary) та дисперсійного аналізів (Analysis of Variance) мезіо-дистального розміру шийки нижнього правого першого ВКЗ (46MD_S) у чоловіків західного регіону України в залежності від особливостей кефалометричних показників.

Regression Summary for Dependent Variable: 46MD_S						
R= .738 R ² = .544 Adjusted R ² = .468						
F _(5,30) =7.16 p<.00016 Std.Error of estimate: .484						
	BETA	St. Err. of BETA	B	St. Err. of B	t(30)	p-level
Intercept			-0,053	3,074	-0,02	0,9864
DUGS_GOP	0,329	0,183	0,105	0,058	1,80	0,0825
DUG_AUAU	-0,605	0,157	-0,261	0,068	-3,87	0,0006
EU_EU	0,414	0,143	0,434	0,150	2,90	0,0069
EK_EK	0,225	0,138	0,343	0,210	1,63	0,1134
G_OP	0,270	0,184	0,239	0,163	1,47	0,1529

Продовження табл. 5.32

Analysis of Variance; DV: 46MD_S (kozyura.sta)						
	Sums of Squares	df	Mean Squares	F	p-level	
Regress.	8,402	5,000	1,680	7,159	0,0002	
Residual	7,041	30,00	0,235			
Total	15,44					

Більшість коефіцієнтів моделі *присінково-язикового розміру шийки нижнього правого другого ВКЗ (47VO_S)* у чоловіків західного регіону України мають високу достовірність, за винятком морфологічної довжини обличчя (табл. 5.33). Коефіцієнт детермінації на 52,7 % обумовлює допустимо залежну змінну. Результати дисперсійного аналізу вказують на високу значущість ($p < 0,001$) регресійного лінійного поліному (див. табл. 5.33). Побудована модель має вигляд наступного лінійного рівняння:

$$47VO_S (\text{західний регіон}) = -7,589 + 1,019 \times LGO_GN + 1,129 \times N_I + 0,710 \times SN_PRN - 0,318 \times N_GN.$$

Таблиця 5.33

Результати покрокового регресійного (Regression Summary) та дисперсійного аналізів (Analysis of Variance) *присінково-язикового розміру шийки нижнього правого другого ВКЗ (47VO_S)* у чоловіків західного регіону України в залежності від особливостей кефалометричних показників.

Regression Summary for Dependent Variable: 47VO_S						
R= .726 R ² = .527 Adjusted R ² = .465						
F _(4,31) =8.62 p<.00008 Std.Error of estimate: .570						
	BETA	St. Err. of BETA	B	St. Err. of B	t(31)	p-level
Intercept			-7,589	3,242	-2,34	0,0259
LGO_GN	0,724	0,134	1,019	0,189	5,38	0,0000
N_I	0,609	0,205	1,129	0,380	2,97	0,0056
SN_PRN	0,274	0,134	0,710	0,347	2,05	0,0493
N_GN	-0,289	0,201	-0,318	0,222	-1,43	0,1622
Analysis of Variance; DV: 47VO_S (kozyura.sta)						
	Sums of Squares	df	Mean Squares	F	p-level	

Продовження табл. 5.33

Regress.	11,20	4,000	2,799	8,618	0,0001	
Residual	10,07	31,00	0,325			
Total	21,27					

Більшість коефіцієнтів моделі *присінково-язикового розміру коронки нижнього правого другого ВКЗ (47VO_K)* у чоловіків західного регіону України мають високу достовірність, за винятком висоти верхньої частини обличчя (табл. 5.34). Коефіцієнт детермінації на 53,9 % обумовлює допустимо залежну змінну. Результати дисперсійного аналізу вказують на високу значущість ($p < 0,001$) регресійного лінійного поліному (див. табл. 5.34). Побудована модель має вигляд наступного лінійного рівняння:

$$47VO_K \text{ (західний регіон)} = -8,965 + 0,437 \times N_STO + 0,919 \times AL_AL + 0,970 \times N_I + 0,757 \times RGO_GN.$$

Таблиця 5.34

Результати покрокового регресійного (Regression Summary) та дисперсійного аналізів (Analysis of Variance) присінково-язикового розміру коронки нижнього правого другого ВКЗ (47VO_K) у чоловіків західного регіону України в залежності від особливостей кефалометричних показників.

Regression Summary for Dependent Variable: 47VO_K						
R= .734 R ² = .539 Adjusted R ² = .479						
F _(4,31) =9.05 p<.00006 Std.Error of estimate: .570						
	BETA	St. Err. of BETA	B	St. Err. of B	t(31)	p-level
Intercpt			-8,965	3,626	-2,47	0,0191
N_STO	0,271	0,135	0,437	0,218	2,00	0,0538
AL_AL	0,304	0,128	0,919	0,386	2,38	0,0237
N_I	0,516	0,146	0,970	0,274	3,54	0,0013
RGO_GN	0,514	0,132	0,757	0,194	3,89	0,0005
Analysis of Variance; DV: 47VO_K (kozyura.sta)						
	Sums of Squares	df	Mean Squares	F	p-level	
Regress.	11,76	4,000	2,940	9,051	0,0001	
Residual	10,07	31,00	0,325			
Total	21,83					

Більшість коефіцієнтів моделі *мезіо-дистального розміру шийки нижнього правого другого ВКЗ (47MD_S)* у чоловіків західного регіону України мають високу достовірність, за винятком вільного члену (табл. 5.35). Коефіцієнт детермінації на 53,2 % обумовлює допустимо залежну змінну. Результати дисперсійного аналізу вказують на високу значущість ($p < 0,001$) регресійного лінійного поліному (див. табл. 5.35). Побудована модель має вигляд наступного лінійного рівняння:

$$47MD_S \text{ (західний регіон)} = 6,668 + 1,897 \times N_I - 0,209 \times DUG_GOP + 0,251 \times DUGS_GOP + 0,626 \times LGO_GN - 0,603 \times N_GN - 0,374 \times G_OP.$$

Таблиця 5.35

Результати прямого покрокового регресійного (Regression Summary) та дисперсійного аналізів (Analysis of Variance) *мезіо-дистального розміру шийки нижнього правого другого ВКЗ (47MD_S)* у чоловіків західного регіону України в залежності від особливостей кефалометричних показників.

Regression Summary for Dependent Variable: 47MD_S						
R= .730 R ² = .532 Adjusted R ² = .436						
F _(5,50) =6,29 p<.00066 Std.Error of estimate: .487						
	BETA	St. Err. of BETA	B	St. Err. of B	t(29)	p-level
Intercpt			6,668	3,472	1,92	0,0647
N_I	1,230	0,244	1,897	0,376	5,05	0,0000
DUG_GOP	-0,529	0,228	-0,209	0,090	-2,33	0,0272
DUGS_GOP	0,806	0,214	0,251	0,067	3,76	0,0008
LGO_GN	0,534	0,157	0,626	0,184	3,40	0,0020
N_GN	-0,658	0,212	-0,603	0,194	-3,11	0,0042
G_OP	-0,433	0,209	-0,374	0,181	-2,07	0,0470
Analysis of Variance; DV: 47MD_S (kozyura.sta)						
	Sums of Squares	df	Mean Squares	F	p-level	
Regress.	7,837	6,000	1,306	5,502	0,0007	
Residual	6,885	29,00	0,237			
Total	14,72					

5.5. Регресійні моделі комп'ютерно-томографічних розмірів великих кутніх зубів у чоловіків східного регіону України

Більшість коефіцієнтів моделі висоти коронки верхнього правого другого ВКЗ (17HKZ) у чоловіків східного регіону України мають високу достовірність, за винятком найменшої ширини голови (табл. 5.36). Коефіцієнт детермінації на 68,2 % обумовлює допустимо залежну змінну. Результати дисперсійного аналізу вказують на високу значущість ($p < 0,001$) регресійного лінійного поліному (див. табл. 5.36). Побудована модель має вигляд наступного лінійного рівняння:

$$17HKZ (\text{східний регіон}) = 14,12 + 0,740 \times N_GN - 0,205 \times DUGS_GOP - 1,216 \times SN_PRN - 0,146 \times FMT_FMT - 0,583 \times EK_EK + 0,668 \times MF_MF - 0,466 \times CHI_CHI.$$

Таблиця 5.36

Результати прямого покрокового регресійного (Regression Summary) та дисперсійного аналізів (Analysis of Variance) висоти коронки верхнього правого другого ВКЗ (17HKZ) у чоловіків східного регіону України в залежності від особливостей кефалометричних показників.

Regression Summary for Dependent Variable: 17HKZ						
R= .826 R ² = .682 Adjusted R ² = .599						
F _(7,27) =8.27 p<.00002 Std.Error of estimate: .442						
	BETA	St. Err. of BETA	B	St. Err. of B	t(27)	p-level
Intercept			14,12	2,650	5,33	0,0000
N_GN	0,785	0,128	0,740	0,121	6,12	0,0000
DUGS_GOP	-0,531	0,123	-0,205	0,047	-4,32	0,0002
SN_PRN	-0,525	0,129	-1,216	0,298	-4,07	0,0004
FMT_FMT	-0,245	0,125	-0,146	0,074	-1,96	0,0598
EK_EK	-0,378	0,138	-0,583	0,212	-2,75	0,0106
MF_MF	0,390	0,146	0,668	0,250	2,67	0,0128
CHI_CHI	-0,267	0,123	-0,466	0,214	-2,17	0,0389
Analysis of Variance; DV: 17HKZ (kozyura.sta)						
	Sums of Squares	df	Mean Squares	F	p-level	

Продовження табл. 5.36

Regress.	11,31	7,000	1,616	8,269	0,0000	
Residual	5,275	27,00	0,195			
Total	16,58					

Більшість коефіцієнтів моделі *висоти коронки верхнього правого першого ВКЗ (16HKZ)* у чоловіків східного регіону України мають високу достовірність, за винятком відстані між назіон та міжрізцевою точкою, довжини носа та тіла нижньої щелепи зліва (табл. 5.37). Коефіцієнт детермінації на 53,8 % обумовлює допустимо залежну змінну. Результати дисперсійного аналізу вказують на високу значущість ($p < 0,01$) регресійного лінійного поліному (див. табл. 5.37). Побудована модель має вигляд наступного рівняння:

$$16HKZ (\text{східний регіон}) = 12,21 - 0,382 \times \text{TIP_LICA} - 1,096 \times \text{SN_PRN} + 0,264 \times \text{TR_GN} - 0,619 \times \text{N_I} - 0,428 \times \text{FMT_FMT} - 0,102 \times \text{N_PRN} + 0,456 \times \text{LGO_GN}.$$

Таблиця 5.37

Результати прямого покрокового регресійного (Regression Summary) та дисперсійного аналізів (Analysis of Variance) висоти коронки верхнього правого першого ВКЗ (16HKZ) у чоловіків східного регіону України в залежності від особливостей кефалометричних показників.

Regression Summary for Dependent Variable: 16HKZ						
R= .733 R ² = .538 Adjusted R ² = .418						
F _(6,49) =7,27 p<.00201 Std.Error of estimate: .862						
	BETA	St. Err. of BETA	B	St. Err. of B	t(27)	p-level
Intercept			12,21	3,924	3,11	0,0044
TIP_LICA	-0,495	0,155	-0,382	0,120	-3,19	0,0035
SN_PRN	-0,292	0,138	-1,096	0,516	-2,12	0,0431
TR_GN	0,358	0,167	0,264	0,123	2,15	0,0406
N_I	-0,296	0,172	-0,619	0,359	-1,73	0,0959
FMT_FMT	-0,445	0,154	-0,428	0,148	-2,88	0,0076
N_PRN	-0,316	0,160	-0,102	0,052	-1,98	0,0580
LGO_GN	0,249	0,172	0,456	0,314	1,45	0,1583
Analysis of Variance; DV: 16HKZ (kozyura.sta)						
	Sums of Squares	df	Mean Squares	F	p-level	

Продовження табл. 5.37

Regress.	23,32	7,000	3,331	4,486	0,0020	
Residual	20,05	27,00	0,743			
Total	43,37					

Більшість коефіцієнтів моделі *мезіо-дистального розміру коронки верхнього лівого першого ВКЗ (26MD_K)* у чоловіків східного регіону України мають високу достовірність, за винятком довжини носа та типу обличчя (табл. 5.38). Коефіцієнт детермінації на 57,2 % обумовлює допустимо залежну змінну. Результати дисперсійного аналізу вказують на високу значущість ($p < 0,001$) регресійного лінійного поліному (див. табл. 5.38). Побудована модель має вигляд наступного лінійного рівняння:

$$26MD_K (\text{східний регіон}) = 11,90 - 0,276 \times DUGS_GOP + 0,235 \times N_SN + 1,046 \times AL_AL - 0,592 \times MF_MF + 0,312 \times EU_EU - 0,153 \times N_PRN - 0,147 \times TIP_LICA.$$

Таблиця 5.38

Результати покрокового регресійного (Regression Summary) та дисперсійного аналізів (Analysis of Variance) мезіо-дистального розміру коронки верхнього лівого першого ВКЗ (26MD_K) у чоловіків східного регіону України в залежності від особливостей кефалометричних показників.

Regression Summary for Dependent Variable: 26MD_K						
R= .756 R ² = .572 Adjusted R ² = .461						
F _(6,15) =7,27 p<.00082 Std.Error of estimate: .498						
	BETA	St. Err. of BETA	B	St. Err. of B	t(27)	p-level
Intercpt			11,90	2,190	5,43	0,0000
DUGS_GOP	-0,737	0,167	-0,276	0,063	-4,41	0,0002
N_SN	1,129	0,424	0,235	0,088	2,66	0,0129
AL_AL	0,383	0,155	1,046	0,422	2,48	0,0198
MF_MF	-0,356	0,149	-0,592	0,248	-2,39	0,0243
EU_EU	0,367	0,163	0,312	0,139	2,25	0,0330
N_PRN	-0,789	0,429	-0,153	0,083	-1,84	0,0769
TIP_LICA	-0,317	0,173	-0,147	0,080	-1,83	0,0781
Analysis of Variance; DV: 26MD_K (kozyura.sta)						
	Sums of Squares	df	Mean Squares	F	p-level	

Продовження табл. 5.38

Regress.	8,923	7,000	1,275	5,147	0,0008	
Residual	6,687	27,00	0,248			
Total	15,61					

Більшість коефіцієнтів моделі *висоти коронки верхнього лівого другого ВКЗ (27HKZ)* у чоловіків східного регіону України мають високу достовірність, за винятком фізіологічної довжини обличчя (табл. 5.39). Коефіцієнт детермінації на 63,9 % обумовлює допустимо залежну змінну. Результати дисперсійного аналізу вказують на високу значущість ($p < 0,001$) регресійного поліному (див. табл. 5.39). Побудована модель має вигляд наступного рівняння:

$$27HKZ (\text{східний регіон}) = 7,681 + 0,635 \times N_GN - 1,088 \times SN_PRN - 0,208 \times DUGS_GOP - 0,638 \times N_STO - 0,262 \times TIP_LICA + 0,105 \times TR_GN.$$

Таблиця 5.39

Результати прямого покрокового регресійного (Regression Summary) та дисперсійного аналізів (Analysis of Variance) висоти коронки верхнього лівого другого ВКЗ (27HKZ) у чоловіків східного регіону України в залежності від особливостей кефалометричних показників.

Regression Summary for Dependent Variable: 27HKZ						
R= .799 R ² = .639 Adjusted R ² = .562						
F _(6,28) =8.27 p<.00003 Std.Error of estimate: .520						
	BETA	St. Err. of BETA	B	St. Err. of B	t(28)	p-level
Intercept			7,681	2,779	2,76	0,0100
N_GN	0,599	0,164	0,635	0,174	3,66	0,0010
SN_PRN	-0,418	0,120	-1,088	0,313	-3,47	0,0017
DUGS_GOP	-0,480	0,134	-0,208	0,058	-3,59	0,0013
N_STO	-0,418	0,154	-0,638	0,236	-2,71	0,0114
TIP_LICA	-0,488	0,178	-0,262	0,095	-2,74	0,0106
TR_GN	0,205	0,132	0,105	0,068	1,55	0,1317
Analysis of Variance; DV: 27HKZ (kozyura.sta)						
	Sums of Squares	df	Mean Squares	F	p-level	
Regress.	13,39	6,000	2,231	8,265	0,0000	
Residual	7,559	28,00	0,270			
Total	20,95					

Більшість коефіцієнтів моделі *мезіо-дистального розміру шийки нижнього лівого першого ВКЗ (36MD_S)* у чоловіків східного регіону України мають високу достовірність, за винятком міжочноямкової ширини (табл. 5.40). Коефіцієнт детермінації на 55,6 % обумовлює допустимо залежну змінну. Результати дисперсійного аналізу вказують на високу значущість ($p < 0,001$) регресійного лінійного поліному (див. табл. 5.40). Побудована модель має вигляд наступного лінійного рівняння:

$$36MD_S \text{ (східний регіон)} = 15,56 - 0,415 \times N_GN + 0,763 \times EK_EK - 0,371 \times ZM_ZM - 0,277 \times ZY_ZY - 0,333 \times TR_N + 0,578 \times MF_MF.$$

Таблиця 5.40

Результати покрокового регресійного (Regression Summary) та дисперсійного аналізів (Analysis of Variance) мезіо-дистального розміру шийки нижнього лівого першого ВКЗ (36MD_S) у чоловіків східного регіону України в залежності від особливостей кефалометричних показників.

Regression Summary for Dependent Variable: 36MD_S						
R= .745 R ² = .556 Adjusted R ² = .461						
F _(5,84) =6,28 p<.00048 Std.Error of estimate: .519						
	BETA	St. Err. of BETA	B	St. Err. of B	t(28)	p-level
Intercept			15,56	2,579	6,03	0,0000
N_GN	-0,435	0,143	-0,415	0,137	-3,04	0,0051
EK_EK	0,490	0,164	0,763	0,256	2,98	0,0059
ZM_ZM	-0,759	0,199	-0,371	0,097	-3,82	0,0007
ZY_ZY	-0,483	0,191	-0,277	0,109	-2,54	0,0171
TR_N	-0,293	0,142	-0,333	0,162	-2,06	0,0487
MF_MF	0,334	0,165	0,578	0,286	2,02	0,0531
Analysis of Variance; DV: 36MD_S (kozyura.sta)						
	Sums of Squares	df	Mean Squares	F	p-level	
Regress.	9,429	6,000	1,571	5,837	0,0005	
Residual	7,538	28,00	0,269			
Total	16,97					

Регресійні моделі усіх інших лінійних комп'ютерно-томографічних розмірів ВКЗ у практично здорових чоловіків різних адміністративно-

територіальних регіонів України мають коефіцієнт детермінації менше 0,5 і тому не мають суттєвого значення для практичної стоматології.

Таким чином, нами на основі особливостей кефалометричних показників, краніотипу і типу обличчя побудовані достовірні регресійні моделі індивідуальних лінійних розмірів ВКЗ із коефіцієнтом детермінації більшим, ніж 0,5 у практично здорових чоловіків північного (7 моделей), південного (12 моделей), центрального (2 моделі), західного (14 моделей) і східного (5 моделей) регіонів України.

Результати досліджень, які представлені у даному розділі дисертації, відображені в двох наукових статтях у фахових журналах, що включені до міжнародних наукометричних баз [193, 194] та двох тезах науково-практичних конференцій [50, 51]. Отримано свідоцтво про реєстрацію авторського права на твір [45].

РОЗДІЛ 6

АНАЛІЗ І УЗАГАЛЬНЕННЯ РЕЗУЛЬТАТІВ ДОСЛІДЖЕНЬ

У попередніх розділах дисертації встановлені межі процентильного розмаху кефалометричних показників, лінійних комп'ютерно-томографічних розмірів коронок ВКЗ і їх коренів та їх відмінності у практично здорових чоловіків першого зрілого віку з різних адміністративно-територіальних регіонів України, а також краніотологічні та фаціотипологічні відмінності розмірів зубів у чоловіків загалом і у представників центрального регіону України; розроблені регресійні моделі лінійних розмірів ВКЗ у залежності від особливостей кефалометричних показників, краніотипу і типу обличчя у чоловіків різних регіонів України.

Одним із основних питань ортодонції є профілактика та корекція неправильного прикусу, а також інших зубощелепних аномалій. Сучасний рівень розвитку ортодонції дозволяє відновлювати форму і функцію зубощелепної системи різними методами [56, 244]. Прогрес стоматології, поява нових технологій, матеріалів, методів лікування поступово сформували новий напрямок – естетичну стоматологію. При роботі необхідно прагнути не тільки до закриття дефекту і позбавлення пацієнта болю, але і відтворити природну красу зубів [120, 259].

Щоб добитися стійкого і гарантованого клінічного успіху, потрібен комплексний підхід. Тобто проблема повернення природної форми зубів не відноситься до розряду виключно естетичних. Відновлення відсутніх зубів необхідно здійснювати максимально наближаючись до природних анатомічних особливостей зубощелепного апарату індивідуума. Відсутність знань про розмірні характеристики зубів і точних розрахунків їх морфометричних показників призводить до лікарських помилок [99, 213, 243]. Саме тому, проблема естетики в стоматології перестала бути лише ортопедичною і змістилась в напрямку конституціональної і етнічної одон-

тології [132, 151, 178, 228].

В останнє десятиліття багаточисельні дослідження направлені на вивчення питань регіональних особливостей кефалометричних та одонтометричних показників [176, 177, 180, 203, 210, 221, 240, 252, 253], результати яких мають позитивний вплив на рівень стоматологічного здоров'я населення.

У спільних дослідженнях із Шінкарук-Диковицькою М. М. і Орловським В. О. [46, 102, 103, 169] нами визначені процентильний діапазон кефалометричних параметрів у практично здорових осіб чоловічої статі першого зрілого віку, що проживають в різних адміністративно-територіальних регіонах України, а також у досліджуваних різних краніо- та фаціотипів загалом в Україні та окремо у чоловіків з центрального регіону України.

Ми прийшли до висновку, що в усіх без виключення адміністративно-територіальних регіонах України спостерігається тенденція до процесів грацилізації і брахіцефалізації, що підтверджується більшим відсотком чоловіків із вузьким і дуже вузьким обличчям, а також брахіцефалів.

У чоловіків загалом і у представників центрального регіону України в напрямку гіпербрахіцефалія < брахіцефалія < мезоцефалія < доліхоцефалія відмічено збільшення величини найбільшого обхвата, поперечної і сагітальної дуги, найбільшої довжини голови, фізіологічної довжини обличчя, висоти лоба, висоти, довжини і глибини носа, відрізка між назіон та міжрізцевою точкою, а також міжочноямкової ширини; а в напрямку доліхоцефалія < мезоцефалія < брахіцефалія < гіпербрахіцефалія спостерігається збільшення найбільшої і найменшої ширини голови та середньої ширини обличчя.

Подібним чином в обох групах чоловіків у напрямку дуже вузьке обличчя < вузьке обличчя < середнє обличчя < широке обличчя відмічено збільшення найбільшої і найменшої ширини голови, середньої ширини обличчя, ширини обличчя, ширини ротової щілини, а також довжини тіла нижньої щелепи праворуч і ліворуч; а в напрямку широке обличчя < середнє обличчя

< вузьке обличчя < дуже вузьке обличчя зафіксовано збільшення висоти лоба, довжини, висоти і глибини носа, фізіологічної довжини обличчя, відстані між назіон та міжрізцевою точкою, висоти верхньої частини обличчя, морфологічної довжини обличчя.

В ряді наукових досліджень авторами встановлені значні етнічні особливості довжини, кількості, форми коренів і кореневих каналів кутніх зубів [55, 75, 108]. В основному, дані за цією темою носять уривчастий характер або представлені невеликими дослідженнями. Їх автори зазвичай не дають точних уявлень про достовірність регіональних відмінностей. Єдиним в цьому напрямку комплексним системним дослідженням на вітчизняній вибірці наразі є дослідження стоматологічного статусу чоловіків із різних регіонів України, проведене Шінкарук-Диковицькою М. М. [99].

Нами встановлені межі процентильного розмаху лінійних комп'ютерно-томографічних розмірів коронок ВКЗ та їх коренів у практично здорових чоловіків першого зрілого віку з різних адміністративно-територіальних регіонів України, а також у представників різних краніотипів та типів обличчя без регіонального розподілу та у чоловіків центрального регіону України.

Встановлено (табл. 6.1), що *на верхній щелепі* у чоловіків *північного* регіону України мезіо-дистальні розміри коронки усіх ВКЗ достовірно більші, або мають тенденцію до більших значень, ніж у представників *центрального* регіону (на 1,9-4,3 %, $p < 0,05$, $p = 0,089-0,090$), а також верхній правий перший ВКЗ більший, ніж у представників *південного* регіону (на 1,7 %, $p = 0,072$), а верхній лівий другий ВКЗ більший, ніж у представників *західного* регіону (на 3,7 %, $p = 0,091$); присінково-язикові розміри коронки правого та лівого перших ВКЗ більші, ніж у представників *центрального* (на 3,3 % і 3,2 %, $p < 0,05$, $p = 0,056$), *західного* (на 4,3 % і 3,6 %, $p < 0,05$) та *східного* (лише правого першого ВКЗ на 3,0 %, $p = 0,090$) регіонів; присінково-язиковий розмір шийки правого першого ВКЗ більший, ніж у представників *західного* (на 6,2 %, $p < 0,05$) та *східного* (на 4,3 %, $p = 0,074$) регіонів. У чоловіків *пів-*

Таблиця 6.1

Відмінності КТ-розмірів ВКЗ верхньої щелепи у чоловіків із різних регіонів України.

Показники	Північний	Південний	Центральний	Західний	Східний
17_HZ					
17_HKZ		▼↓	↑	▲	
17_MD_K	▲		▼		
17_MD_S					
17_VO_K		↑		↓	↓
17_VO_S		↑			↓
17_HRZ1					
17_HRZ2	▼	▲↑	↓		↓
17_HRZ3					
16_HZ		↓	↑	↑	
16_HKZ					
16_MD_K	↑	↓	↓		
16_MD_S					
16_VO_K	▲↑		↓	▼	↓
16_VO_S	▲↑			▼	↓
16_HRZ1					
16_HRZ2					
16_HRZ3					
26_HZ		↓	↑		
26_HKZ		↓		↑	
26_MD_K	↑		↓		
26_MD_S					
26_VO_K	▲		▼	▼	
26_VO_S					
26_HRZ1					
26_HRZ2					
26_HRZ3		↓			↑
27_HZ					
27_HKZ		▼		▲	
27_MD_K	▲↑		▼	↓	
27_MD_S					
27_VO_K					
27_VO_S					
27_HRZ1	▼	↓		▲↑	
27_HRZ2					
27_HRZ3					

Примітки: тут і в подальшому ▲ Δ або ▼ ∇ – величина показника між

відповідними групами має достовірні відмінності; $\uparrow\wedge$ або $\downarrow\vee$ – величина показника між відповідними групами має тенденцію до більших або менших значень; 17_ – верхній правий другий ВКЗ; 16_ – верхній правий перший ВКЗ; 26_ – верхній лівий перший ВКЗ; 27_ – верхній лівий другий ВКЗ; HZ – висота відповідного зуба; HKZ – висота коронки; MD_K – мезіо-дистальний розмір коронки; MD_S – мезіо-дистальний розмір шийки; VO_K – присінково-язиковий розмір коронки; VO_S – присінково-язиковий розмір шийки; HRZ1 – довжина піднебінного кореня; HRZ2 – довжина присінкового ближнього кореня; HRZ3 – довжина присінкового дальнього кореня.

денного регіону України висота правого та лівого перших ВКЗ менша, ніж у представників *центрального* (на 3,3 % і 2,7 %, $p=0,055$ і $0,074$) та *західного* (лише правого першого ВКЗ, на 3,6 %, $p=0,088$) регіонів; висота коронки правого другого та лівих першого й другого ВКЗ достовірно менша, або має тенденцію до менших значень, ніж у представників *західного* (на 4,4-6,6 %, $p<0,05-0,01$, $p=0,063$) та *центрального* (лише правого другого ВКЗ на 5,1 %, $p=0,087$) регіонів; присінково-язиковий розмір коронки правого другого ВКЗ більший, ніж у представників *західного* (на 3,3 %, $p=0,062$) та *східного* (на 3,3 %, $p=0,083$) регіонів; присінково-язиковий розмір шийки правого другого ВКЗ більший, ніж у представників *східного* регіону (на 4,9 %, $p=0,072$); довжина присінкового ближнього кореня правого другого ВКЗ більша, ніж у представників *північного* (на 7,7 %, $p<0,05$), *центрального* (на 6,2 %, $p=0,068$) та *східного* (на 6,2 %, $p=0,068$) регіонів; довжина присінкового дальнього кореня лівого першого ВКЗ менша, ніж у представників *східного* регіону (на 8,0 %, $p=0,057$). У чоловіків *західного* регіону України довжина піднебінного кореня лівого другого ВКЗ більша, ніж у представників *північного* (на 7,6 %, $p<0,05$) та *південного* (на 5,0 %, $p=0,091$) регіонів (див. табл. 6.1).

Інша картина *регіональних відмінностей* розмірів ВКЗ встановлена *на нижній щелепі* (табл. 6.2). У чоловіків *південного* регіону України висота

Таблиця 6.2

Відмінності КТ-розмірів ВКЗ нижньої щелепи у чоловіків із різних регіонів України.

Показники	Північний	Південний	Центральний	Західний	Східний
37_HZ					
37_HKZ					
37_MD_K					
37_MD_S					
37_VO_K					
37_VO_S				↓	↑
37_HRZ4					
37_HRZ5					
36_HZ	▼		▲	▲	
36_HKZ	↑	▼↓	▲	▲	↑
36_MD_K					
36_MD_S					
36_VO_K					
36_VO_S					
36_HRZ4	▼↓	↑	▲	▲	
36_HRZ5	↓	↑			
46_HZ					
46_HKZ	▲	▼	▲	▲	
46_MD_K					
46_MD_S					
46_VO_K					
46_VO_S		↑	↓		
46_HRZ4	↓	↑			
46_HRZ5					
47_HZ					
47_HKZ		▼		▲	
47_MD_K					
47_MD_S					
47_VO_K					
47_VO_S		↑	↓	↓v	Λ
47_HRZ4					
47_HRZ5					

Примітки: тут і в подальшому 37_ – нижній лівий другий ВКЗ; 36_ – нижній лівий перший ВКЗ; 46_ – нижній правий перший ВКЗ; 47_ – нижній правий другий ВКЗ; HRZ4 – довжина ближнього кореня; HRZ5 – довжина дальнього кореня.

коронки лівого та правого перших ВКЗ достовірно менша, або має тенденцію до менших значень, ніж у представників *північного* (на 5,3 % і 4,4 %, $p < 0,05$, $p = 0,068$), *центрального* (на 5,1 % і 5,6 %, $p < 0,05-0,01$), *західного* (на 6,0 % і 7,6 %, $p < 0,05-0,01$) та *східного* (лише лівого першого ВКЗ на 5,2 %, $p = 0,069$) регіонів, а також лише правого другого ВКЗ, ніж у представників *західного* регіону (на 6,4 %, $p < 0,05$); присінково-язиковий розмір шийки правих першого та другого ВКЗ більший, ніж у представників *центрального* (на 3,9 % і 2,5 %, $p = 0,062$ і $0,084$) та *західного* (лише правого другого ВКЗ на 5,0 %, $p = 0,050$) регіонів. У чоловіків *північного* регіону України висота лівого першого ВКЗ менша, ніж у представників *центрального* (на 3,2 %, $p < 0,05$) та *західного* (на 3,9 %, $p < 0,05$) регіонів; довжина ближнього кореня лівого та правого перших ВКЗ менша, ніж у представників *південного* регіону (на 3,5 % і 4,0 %, $p = 0,087$ і $0,092$), а лише лівого першого ВКЗ, ніж у представників *центрального* (на 5,7 %, $p < 0,05$) та *західного* (на 7,4 %, $p < 0,05$) регіонів; довжина дальнього кореня лівого першого ВКЗ менша, ніж у представників *південного* регіону (на 3,5 %, $p = 0,056$). У чоловіків *східного* регіону України присінково-язиковий розмір шийки лівого та правого других ВКЗ більший, ніж у представників *західного* регіону (на 4,5 % і 4,4 %, $p = 0,063$ і $0,075$) (див. табл. 6.2).

Загальновідомо, що анатомо-морфологічні особливості зубощелепної системи зумовлені типологічною специфікою мозкового та лицевого черепа [36, 38, 85]. У світлі сучасних досягнень медицини доведено найбільшу ефективність організації індивідуальної профілактики стоматологічних захворювань на основі знань конституційних особливостей населення [37, 139, 191].

Суттєве значення у вивченні краніотипологічних закономірностей морфо-функціонального розвитку коронок зубів та їх коренів має вибір методології обліку їх кількісної своєрідності [35, 86]. На учасному етапі в одонтології здійснюється перехід від аналізу середніх значень одонтометричних показників до виявлення їх довірчих інтервалів і процентильного

розмаху з поправкою на стать, вік, расово-етнічну і конституціональну приналежність [5, 35, 74, 81, 85, 109, 110, 181]. Це необхідно не тільки для виявлення факторів благополуччя і рівня здоров'я, але і є діагностичним ключем до своєчасного вирішення питання стосовно показів до поглибленого спеціалізованого обстеження, а також вибору профілактичних заходів.

Однією з актуальних проблем клінічної анатомії, стоматології та ортодонтії є встановлення особливостей анатомічної організації органів ротової порожнини у представників різних краніотипів. На сьогоднішній день в літературі [213, 214] накопичені відомості щодо етіології, патогенезу і методів лікування дентопатій та функціональної морфології зубощелепного апарату у представників різних вікових, статевих і вікових груп. Однак, питання будови зубощелепного апарату в залежності від особливостей форми голови вимагають подальшого вивчення. У літературі [56, 75, 77] зустрічаються лише поодинокі повідомлення щодо морфології зубощелепної системи у представників із різним типом черепа. Дослідження відносно структурних перебудов у порівнянні з еквівалентом анатомічної норми, практично відсутні. Зустрічаються лише нечисленні дані взаємозв'язків розмірів коронок зубів та їх коренів із кістковими та м'язовими структурами голови [91, 214].

Виходячи з результатів дослідження ряду науковців [35, 36, 85] у брахіцефалів виявлено максимальні значення поперечних лінійних розмірів жувальної групи зубів. За довжиною коронки проміжне положення займають представники з мезо- і доліхоцефалічними типами голови. За величиною довжини коренів зубів брахіцефали значно поступаються іншим краніотипам, а доліхоцефали – посідають проміжне значення. У напрямку доліхоцефали-мезоцефали-брахіцефали-гіпербрахіцефали відмічається збільшення поперечних розмірів коронок ВКЗ та їх коренів. За вертикальними розмірами коронок зубів не встановлено жодних краніотипологічних відмінностей. Між мезоцефалами та брахі- і гіперцефалами не встановлено

відмінностей поперечних і вертикальних розмірів коронок ВКЗ та їх коренів.

При аналізі комп'ютерно-томографічних розмірів коронок ВКЗ та їх коренів у чоловіків *різних краніотипів* встановлено (табл. 6.3):

на *верхній щелені* – у *доліхоцефалів* присінково-язикові розміри коронки усіх ВКЗ достовірно менші, ніж у *мезоцефалів* (на 4,4-4,8 %, $p < 0,05-0,01$) і *брахіцефалів* (на 3,5-4,9 %, $p < 0,05$), а правого й лівого других ВКЗ мають тенденцію до менших значень, ніж у *гіпербрахіцефалів* (на 4,6 % і 4,9 %, $p = 0,052$ і $0,054$); присінково-язикові розміри шийки усіх ВКЗ достовірно менші, або мають тенденцію до менших значень, ніж у *мезоцефалів* (на 3,7-7,2 %, $p < 0,05-0,01$, $p = 0,063$) і *брахіцефалів* (на 3,8-5,4 %, $p < 0,05-0,01$, $p = 0,063$), а правого і лівого других та лівого першого ВКЗ – мають тенденції до менших значень порівняно з *гіпербрахіцефалами* (на 3,2-4,2 %, $p = 0,064-0,091$); мезіо-дистальний розмір шийки правого й лівого других ВКЗ достовірно менші, або мають тенденцію до менших значень, ніж у *мезоцефалів* (на 4,7 % і 5,1 %, $p < 0,05$), *брахіцефалів* (лише правого другого ВКЗ на 4,0 %, $p = 0,085$) і *гіпербрахіцефалів* (на 4,7 % і 6,1 %, $p < 0,05-0,01$), а правого першого ВКЗ – має тенденцію до менших значень, ніж у *гіпербрахіцефалів* (на 4,2 %, $p = 0,079$); довжина присінкового ближнього кореня правого першого ВКЗ достовірно менша, ніж у *брахіцефалів* (на 9,4 %, $p < 0,05$) і *гіпербрахіцефалів* (на 9,1 %, $p < 0,05$); довжина присінкового дальнього кореня лівого другого ВКЗ має тенденцію до більших значень порівняно з *брахіцефалами* (на 5,9 %, $p = 0,075$); у *брахіцефалів* мезіо-дистальний розмір шийки лівого другого ВКЗ має тенденції до менших значень порівняно з *мезоцефалами* (на 2,3 %, $p = 0,084$) і *гіпербрахіцефалами* (на 2,2 %, $p = 0,059$);

на *нижній щелені* – у *доліхоцефалів* висота коронки правого першого ВКЗ достовірно менша, ніж у *мезоцефалів* (на 6,0 %, $p < 0,05$) і *брахіцефалів* (на 5,4 %, $p < 0,05$); мезіо-дистальний розмір шийки правого другого ВКЗ має тенденцію до менших значень, ніж у *гіпербрахіцефалів* (на 3,2 %, $p = 0,073$); довжина дальнього кореня лівого й правого перших ВКЗ достовір-

Таблиця 6.3

Відмінності КТ-розмірів ВКЗ у чоловіків різних краніотипів.

Показ- ники	Верхня щелепа				Нижня щелепа				Показ- ники
	Дц	Мц	Бц	ГБц	Дц	Мц	Бц	ГБц	
17_HZ									37_HZ
17_HKZ									37_HKZ
17_MD_K									37_MD_K
17_MD_S	▼↓	▲	↑	▲					37_MD_S
17_VO_K	▼↓	▲	▲	↑					37_VO_K
17_VO_S	▼↓	▲	↑	↑					37_VO_S
17_HRZ1									37_HRZ4
17_HRZ2									37_HRZ5
17_HRZ3									
16_HZ									36_HZ
16_HKZ									36_HKZ
16_MD_K									36_MD_K
16_MD_S	↓			↑					36_MD_S
16_VO_K	▼	▲	▲						36_VO_K
16_VO_S	▼	▲	▲						36_VO_S
16_HRZ1									36_HRZ4
16_HRZ2	▼		▲	▲	▼↓		▲	↑	36_HRZ5
16_HRZ3									
26_HZ									46_HZ
26_HKZ					▼	▲	▲		46_HKZ
26_MD_K									46_MD_K
26_MD_S									46_MD_S
26_VO_K	▼	▲	▲						46_VO_K
26_VO_S	▼↓	▲	▲	↑					46_VO_S
26_HRZ1									46_HRZ4
26_HRZ2					▼↓		▲	↑	46_HRZ5
26_HRZ3									
27_HZ									47_HZ
27_HKZ									47_HKZ
27_MD_K									47_MD_K
27_MD_S	▼	▲↑	↓	▲↑	↓			↑	47_MD_S
27_VO_K	▼↓	▲	▲	↑					47_VO_K
27_VO_S	▼↓	↑	▲	↑					47_VO_S
27_HRZ1									47_HRZ4
27_HRZ2									47_HRZ5
27_HRZ3	↑		↓						

Примітка: тут і в подальшому Дц – доліхоцефали; Мц – мезоцефали; Бц –

брахіцефали; ГБц – гіпербрахіцефали.

но менша, ніж у *брахіцефалів* (на 6,7 % і 5,4 %, $p < 0,05$) та має тенденцію до менших значень порівняно з *гіпербрахіцефалами* (на 5,2 % і 4,3 %, $p = 0,074$) (див. табл. 6.3).

Реставрація зубів потребує врахування багатьох антропологічних особливостей пацієнта для створення повної гармонії між його обличчям та зубами. Саме тому естетичний результат оцінюється тільки тоді, коли розглядається не ізольована ділянка порожнини рота, а все обличчя людини [58, 76]. Саме тому кефалометричні дослідження мають застосовуватись на всіх етапах ортодонтичного лікування [119].

В даний час досить докладно вивчені морфометричні параметри зубощелепної системи в залежності від кефалометричних показників при різних патологічних станах [132, 220, 234]. У той же час, відомості про лінійні розміри великих кутніх зубів та їх коренів у практично здорового населення України з фізіологічною оклюзією в залежності від типів обличчя до теперішнього моменту не є повними і систематизованими.

Згідно результатів досліджень Глушак А. А. [21-23] та Ломиашвили Л. М. і Погодаев Д. В. [56] відомо, що співрозмірність окремих частин обличчя по відношенню до розмірних характеристик зубів найчастіше проявляється в області передньої групи зубів. А результати досліджень інших науковців [17, 76] вказують на те, що розміри жувальної групи зубів більш тісно пов'язані з розмірами нижньої щелепи: мезіо-дистальні і присінково-язикові розміри великих кутніх зубів мають прямий зв'язок із поздовжніми розмірами гілки нижньої щелепи, а довжина коренів зубів – з висотою альвеолярної частини нижньої щелепи.

При аналізі комп'ютерно-томографічних розмірів коронок ВКЗ та їх коренів у чоловіків із *різними типами обличчя* встановлено (табл. 6.4):

на *верхній щелепі* – у чоловіків із *середнім типом обличчя* в більшості випадків мезіо-дистальний розмір коронки ВКЗ (за винятком лівого дру-

Таблиця 6.4

Відмінності КТ-розмірів ВКЗ та їх коренів у чоловіків із різними типами обличчя.

Показ- ники	Верхня щелепа				Нижня щелепа				Показ- ники
	Шо	Со	Во	ДВо	Шо	Со	Во	ДВо	
17_HZ						▼		▲	37_HZ
17_HKZ									37_HKZ
17_MD_K	▲↑	▼		↓					37_MD_K
17_MD_S	▲	▼		▼					37_MD_S
17_VO_K					↑	↓			37_VO_K
17_VO_S		↑	↓	↓					37_VO_S
17_HRZ1	↑	↓				↓		↑	37_HRZ4
17_HRZ2					▲	▼		▲	37_HRZ5
17_HRZ3		↑	▲	▼↓					
16_HZ									36_HZ
16_HKZ		↓	↑	↑					36_HKZ
16_MD_K	▲	▼↓	↑						36_MD_K
16_MD_S									36_MD_S
16_VO_K									36_VO_K
16_VO_S									36_VO_S
16_HRZ1									36_HRZ4
16_HRZ2									36_HRZ5
16_HRZ3									
26_HZ									46_HZ
26_HKZ		↓	↑						46_HKZ
26_MD_K	▲	▼	▲						46_MD_K
26_MD_S									46_MD_S
26_VO_K									46_VO_K
26_VO_S									46_VO_S
26_HRZ1									46_HRZ4
26_HRZ2									46_HRZ5
26_HRZ3									
27_HZ						▼↓	↑	▲	47_HZ
27_HKZ									47_HKZ
27_MD_K									47_MD_K
27_MD_S	▲			▼					47_MD_S
27_VO_K					↑	↓			47_VO_K
27_VO_S									47_VO_S
27_HRZ1									47_HRZ4
27_HRZ2					↑	▼↓	↑	▲	47_HRZ5
27_HRZ3									

Примітки: тут і в подальшому Шо – широке обличчя; Со – середнє об-

личчя; Во – вузьке обличчя; ДВо – дуже вузьке обличчя.

гого) достовірно менший або має тенденцію до менших значень, ніж у представників із *широким* (на 3,1-4,5 %, $p < 0,05$) та *вузьким* (за винятком правого другого на 2,7 % і 1,3 %, $p < 0,05$, $p = 0,054$) типами обличчя, мезіо-дистальний розмір шийки правого другого ВКЗ достовірно менший, ніж у представників із *широким* (на 4,8 %, $p < 0,05$) обличчям, висота коронки правого і лівого перших ВКЗ має тенденцію до менших значень, ніж у представників із *вузьким* (на 5,3 % і 4,0 %, $p = 0,073$ і $0,080$) та *дуже вузьким* (лише правого на 5,7 %, $p = 0,066$) обличчям, а присінково-язиковий розмір шийки правого другого ВКЗ, навпаки, має тенденції до більших значень, ніж у представників із *вузьким* (на 6,3 %, $p = 0,066$) та *дуже вузьким* (на 5,3 %, $p = 0,071$) обличчям, довжина піднебінного кореня правого другого ВКЗ має тенденцію до менших значень, ніж у представників із *широким* (на 7,6 %, $p = 0,073$) типом обличчя; у чоловіків із *дуже вузьким обличчям* мезіо-дистальний розмір шийки правого і лівого других ВКЗ достовірно менший, ніж у представників із *широким* (на 4,7 % і 4,4 %, $p < 0,05$) обличчям, мезіо-дистальний розмір коронки правого другого ВКЗ має тенденцію до менших значень, ніж у представників із *широким* обличчям (на 3,2 %, $p = 0,058$), а довжина присінкового дальнього кореня правого другого ВКЗ достовірно менша або має тенденцію до менших значень, ніж у представників із *вузьким* (на 6,9 %, $p < 0,05$) та *середнім* (на 6,3 %, $p = 0,052$) типами обличчя;

на *нижній щелепі* – у чоловіків із *середнім типом обличчя* висота правого і лівого других ВКЗ достовірно менша або має тенденцію до менших значень, ніж у представників із *дуже вузьким* (на 3,7 % і 4,3 %, $p < 0,05$) та *вузьким* (лише лівого на 3,3 %, $p = 0,070$) обличчям, довжина дальнього кореня правого і лівого других ВКЗ достовірно менша або має тенденцію до менших значень, ніж у представників із *широким* (на 5,5 % і 5,0 %, $p < 0,05$, $p = 0,078$), *дуже вузьким* (на 5,0 % і 5,1 %, $p < 0,05$) та *вузьким* (на 5,0 %, $p = 0,079$) типами обличчя, а довжина ближнього кореня лівого другого ВКЗ

має тенденцію до менших значень, ніж у представників із *дуже вузьким* (на 4,0 %, $p=0,052$) обличчям, присінково-язиковий розмір коронки правого і лівого других ВКЗ має тенденцію до менших значень, ніж у представників із *широким* (на 4,4 % і 5,2 %, $p=0,067$ і $0,078$) типом обличчя (див. табл. 6.4).

Необхідно відмітити, що Шінкарук-Диковицька М. М. і Орловський В. О. [105] у практично здорових чоловіків із різними типами обличчя встановили незначну кількість відмінностей лінійних розмірів коронок малих кутніх зубів та їх коренів: присінково-язиковий розмір шийки лівого і правого верхнього другого малих кутніх зубів у чоловіків із середнім типом обличчя мають достовірно більші значення порівняно з чоловіками із широким та вузьким і дуже вузьким обличчям; а мезіо-дистальний розмір шийки даних зубів у чоловіків із вузьким обличчям достовірно більший порівняно із чоловіками із широким обличчям.

При поділі чоловіків за регіональною приналежністю, попередньо, ми отримали більш значні міжгрупові відмінності. Тобто, при врахуванні антропологічного складу населення України, етнічний метод диференціації [75, 78, 81] можливо є більш чутливим в порівнянні з краніологічним. Підтвердити або спростувати дану гіпотезу може дозволити статистичний аналіз розбіжностей одонтометричних показників з використанням методу скоригованої вибірки – «краніотип всередині регіону» [81].

При аналізі комп'ютерно-томографічних розмірів коронок ВКЗ та їх коренів у чоловіків *центрального регіону України різних краніотипів* встановлено (табл. 6.5):

на *верхній щелелі* – у *доліхоцефалів* мезіо-дистальний розмір коронки правих першого й другого ВКЗ менший, ніж у *гіпербрахіцефалів* (на 8,1 % і 4,7 %, $p<0,05$ і $p=0,056$); мезіо-дистальний розмір шийки правого першого ВКЗ менший, ніж у *мезоцефалів* (на 3,6 %, $p=0,061$), *брахіцефалів* (на 9,4 %, $p<0,05$) і *гіпербрахіцефалів* (на 10,6 %, $p<0,05$); присінково-язиковий розмір коронки усіх ВКЗ менший, ніж у *гіпербрахіцефалів* (на 4,4-6,6 %, $p<0,05$, $p=0,069$ і $0,090$), а правого й лівого перших ВКЗ – ніж у *брахі-*

Таблиця 6.5

**Відмінності КТ-розмірів ВКЗ у чоловіків центрального регіону України
різних краніотипів.**

Показ- ники	Верхня щелепа				Нижня щелепа				Показ- ники
	Дц	Мц	Бц	ГБц	Дц	Мц	Бц	ГБц	
17_HZ						▼		▲	37_HZ
17_HKZ									37_HKZ
17_MD_K	↓			↑		▼↓	▲	↑	37_MD_K
17_MD_S	▼		▼	▲					37_MD_S
17_VO_K	↓			↑					37_VO_K
17_VO_S									37_VO_S
17_HRZ1						▼		▲	37_HRZ4
17_HRZ2		▼	▲	▲	▼	▼	↓	▲↑	37_HRZ5
17_HRZ3			↓	↑					
16_HZ						↓		↑	36_HZ
16_HKZ						↓	↑		36_HKZ
16_MD_K	▼			▲					36_MD_K
16_MD_S	▼↓	↑v	▲	▲^					36_MD_S
16_VO_K	▼↓		↑	▲					36_VO_K
16_VO_S	▼↓		↑	▲					36_VO_S
16_HRZ1						↓		↑	36_HRZ4
16_HRZ2					↓		↑		36_HRZ5
16_HRZ3									
26_HZ									46_HZ
26_HKZ					↓		↑		46_HKZ
26_MD_K						↓		↑	46_MD_K
26_MD_S						↓		↑	46_MD_S
26_VO_K	↓		↑	↑					46_VO_K
26_VO_S	↓		↑	↑					46_VO_S
26_HRZ1									46_HRZ4
26_HRZ2					▼	▼↓	▲↑	▲▲	46_HRZ5
26_HRZ3									
27_HZ						↓		↑	47_HZ
27_HKZ									47_HKZ
27_MD_K						▼	▲	▲	47_MD_K
27_MD_S	↓		▼	▲↑	↓			↑	47_MD_S
27_VO_K	▼			▲					47_VO_K
27_VO_S									47_VO_S
27_HRZ1									47_HRZ4
27_HRZ2		▼		▲		▼		▲	47_HRZ5
27_HRZ3		↓	▼	▲↑					

цефалів (на 4,7 % і 3,6 %, $p=0,064$ і $p=0,089$); присінково-язиковий розмір шийки правого й лівого перших ВКЗ менший, ніж у *брахіцефалів* (на 4,7 % і 4,0 %, $p=0,069$) і *гіпербрахіцефалів* (на 8,4 % і 5,8 %, $p<0,05$, $p=0,065$); у *мезоцефалів* довжина присінкового ближнього кореня правого й лівого других ВКЗ менша, ніж у гіпербрахіцефалів (на 13,3 % і 15,1 %, $p<0,05-0,01$) і лише правого другого ВКЗ – ніж у брахіцефалів (на 11,1 %, $p<0,05$); у *гіпербрахіцефалів* мезіо-дистальний розмір шийки правого й лівого других ВКЗ більший, ніж у *доліхоцефалів* (на 8,5 % і 7,5 %, $p<0,05$ і $p=0,074$) і *брахіцефалів* (на 7,4 % і 4,3 %, $p<0,05$), а правого першого ВКЗ – більший, ніж у *мезоцефалів* (на 7,3 %, $p=0,057$); довжина присінкового дальнього кореня правого й лівого других ВКЗ більша, ніж у *брахіцефалів* (на 9,4 % і 11,3 %, $p<0,05$ і $p=0,054$) і лише лівого другого ВКЗ – ніж у *мезоцефалів* (на 11,3 %, $p=0,057$);

на *нижній щелені* – у *мезоцефалів* висота лівих першого й другого та правого другого ВКЗ менша, ніж у *гіпербрахіцефалів* (на 3,5-7,3 %, $p<0,01$, $p=0,060$ і $0,067$); висота коронки лівого першого ВКЗ менша, ніж у *брахіцефалів* (на 5,5 %, $p=0,057$); мезіо-дистальний розмір коронки лівого й правого других ВКЗ менший, ніж у *брахіцефалів* (на 3,3 % і 3,5 %, $p<0,05$) і *гіпербрахіцефалів* (на 5,2 % і 4,2 %, $p<0,05$, $p=0,063$) і лише правого першого ВКЗ – ніж у *гіпербрахіцефалів* (на 9,8 %, $p=0,060$); довжина ближнього кореня лівих першого й другого ВКЗ менша, ніж у *гіпербрахіцефалів* (на 7,0 % і 8,5 %, $p<0,05$, $p=0,082$); довжина дальнього кореня правого першого ВКЗ менша, ніж у *брахіцефалів* (на 8,4 %, $p=0,065$); у *гіпербрахіцефалів* мезіо-дистальний розмір шийки правого першого ВКЗ більший, ніж у *мезоцефалів* (на 4,3 %, $p=0,090$), а правого другого ВКЗ – ніж у *доліхоцефалів* (на 6,0 %, $p=0,056$); довжина дальнього кореня лівого другого та правих першого й другого ВКЗ більша, ніж у *мезоцефалів* (на 8,4-10,5 %, $p<0,05-0,01$), лише лівого другого ВКЗ – ніж у *доліхоцефалів* (на 9,3 %, $p<0,05$) і *брахіцефалів* (на 7,2 %, $p=0,080$); у *доліхоцефалів* висота коронки правого першого ВКЗ менша, ніж у *брахіцефалів* (на 8,1 %, $p=0,054$); довжина дальнього кореня

лівого першого ВКЗ менша, ніж у *брахіцефалів* (на 9,1 %, $p=0,066$), а правого першого ВКЗ – ніж у *брахіцефалів* (на 9,5 %, $p<0,05$) і *гіпербрахіцефалів* (на 9,5 %, $p<0,05$) (див. табл. 6.5).

При аналізі комп'ютерно-томографічних розмірів коронок ВКЗ та їх коренів у чоловіків *центрального регіону України з різними типами обличчя* встановлено (табл. 6.6):

на *верхній щелепі* – у чоловіків із *вузьким типом обличчя* висота коронки правого і лівого перших ВКЗ має незначну тенденцію до менших значень, ніж у представників із *середнім* (на 6,7 % і 7,1 %, $p=0,080$ в обох випадках) типом обличчя; у чоловіків із *дуже вузьким типом обличчя* мезіо-дистальний розмір коронки правого першого ВКЗ має тенденції до менших значень, ніж у представників із *широким* (на 6,1 %, $p=0,069$) та *вузьким* (на 3,5 %, $p=0,063$) типами обличчя, а довжина присінкового дальнього кореня правого другого ВКЗ достовірно менша або має тенденцію до менших значень, ніж у представників із *широким* (на 16,9 %, $p=0,053$), *середнім* (на 15,6 %, $p<0,05$) та *вузьким* (на 13,9 %, $p<0,05$) типами обличчя;

на *нижній щелепі* – у чоловіків із *широким типом обличчя* висота правого і лівого перших та лівого другого ВКЗ достовірно більша або має тенденцію до більших значень, ніж у представників із *середнім* (на 5,61-7,89 %, $p<0,05$, $p=0,064$ і $0,078$) та *дуже вузьким* (лише перших на 4,80 % і 5,64 %, $p<0,05$) обличчям, висота коронки лівого другого ВКЗ достовірно більша або має тенденцію до більших значень, ніж у представників із *середнім* (на 9,3 %, $p<0,05$) та *дуже вузьким* (на 10,1 %, $p=0,066$) обличчям, мезіо-дистальний розмір коронки правого і лівого перших ВКЗ достовірно більший або має тенденцію до більших значень, ніж у представників із *середнім* (на 6,4 % і 10,4 %, $p<0,05-0,01$), *вузьким* (лише лівого на 6,7 %, $p=0,057$) та *дуже вузьким* (лише правого на 2,9 %, $p=0,080$) обличчям, мезіо-дистальний розмір шийки правого і лівого перших ВКЗ достовірно більший або має тенденцію до більших значень, ніж у представників із *вузьким* (на 7,2 % і 5,6 %, $p<0,05$, $p=0,074$) обличчям, а лівого другого ВКЗ – ніж у пред-

ставників із *дуже вузьким* (на 4,0 %, $p=0,072$) обличчям, присінково-язиковий розмір коронки лівого першого ВКЗ має тенденцію до більших значень, ніж у представників із *середнім* (на 5,9 %, $p=0,05$) обличчям, довжина ближнього кореня правого першого ВКЗ має тенденцію до більших значень, ніж у представників із *дуже вузьким* (на 6,1 %, $p=0,072$) обличчям; довжина дальнього кореня лівого й правого перших ВКЗ достовірно більша, або має тенденції до більших значень, ніж у представників із *дуже вузьким* обличчям (на 8,9 % і 7,2 %, $p<0,05$ і $p=0,075$), а лівого другого ВКЗ – ніж у представників із *середнім* (на 10,9 %, $p<0,05$) і *вузьким* (на 9,2 %, $p=0,074$) типом обличчя; у чоловіків із ***вузьким типом обличчя*** висота коронки лівих першого і другого ВКЗ має тенденції до більших значень, ніж у представників із *дуже вузьким* (на 6,2 % і 6,7 %, $p=0,063$ і $0,080$) обличчям; у чоловіків із ***дуже вузьким типом обличчя*** мезіо-дистальний розмір коронки лівого першого ВКЗ достовірно більший, ніж у представників із *середнім* (на 7,5 %, $p<0,01$) обличчям (див. табл. 6.6).

Процес грамотного моделювання анатомічних форм призводить до того, що новоутворені конструкції з реставраційних матеріалів гармонійно поєднуються з краніофаціальними структурами. Робота по прогнозуванню розмірів зубів – це щоденне завдання, що стоїть перед стоматологами, але вирішувалась вона раніше, як правило, інтуїтивно [128, 207, 228, 269].

Якщо раніше методи моделювання параметрів зубів ґрунтувалися в основному на спрощених моделях з численними припущеннями, то наразі важливим є моделювання розмірів зубів, яке вимагає глибоких знань анатомії і, зокрема, врахування індивідуальних розмірних особливостей зубощелепної і краніофасціальної системи [22, 118, 121, 132].

Знання одонтології різних груп населення дозволяють розробити індивідуальний підхід при проведенні заходів, спрямованих на лікування та відновлення зубів і зубощелепної системи в цілому, розширює значення для інших спеціальностей, включаючи судову медицину і антропологию [22, 88, 251, 271]. Фахівці, які займаються цією галуззю одонтології, праг-

нуть виявити загальні закономірності будови і розвитку зубної системи, індивідуальну і статеву мінливість зубів, закони їх морфогенезу, взаємовідношення різних елементів системи, корелятивну залежність розмірів і структури окремих зубів між собою і черепом. У результаті, маючи ряд відомих морфометричних параметрів зубів пацієнта, шляхом обчислень на основі рівнянь регресії ми отримуємо індивідуальні параметри відсутніх зубів та їх тканин [226, 258].

Рядом досліджень встановлено взаємозв'язок розмірів зубів і цефалометричних показників [23, 146]. При прийнятті рішення про проведення хірургічної маніпуляції лікар керується великою кількістю індивідуальних чинників, властивих пацієнту. Визначено, що співвідношення таких двох компонентів як зубо-щелепна система і краніофациальний комплекс мають вирішальне значення у забезпеченні функції жувальних і артикуляційних рухів, захисті скронево-нижньощелепних суглобів, зміні форми та розташування оклюзійної площини, визначенні процесів редукції та вікових змін [76].

Розповсюджені алгоритми відновлення нормальної оклюзії базуються на інтеграції даних про параметри зубів і черепа конкретного пацієнта, орієнтуючись на їх морфофункціональну єдність [275]. Даний підхід є індивідуалізованим, в світовій літературі носить назву «персоніфікованого» і суттєво поширений серед лікарів останні 5-7 років [251, 275]. Моделювання розмірів зубів за черепними параметрами все більше цікавлять стоматологічних лікарів і ортодонтів.

Є величезний досвід використання різних видів регресійного аналізу в галузі біомедичної антропології. Такі дослідження завжди є популяційно-специфічними, оскільки ті або інші антропологічні ознаки людини варіюють в залежності від етнічної приналежності і клімато-географічних умов проживання [234].

Побудовані регресійні моделі комп'ютерно-томографічних розмірів ВКЗ у залежності від особливостей кефалометричних показників, краніоти-

пу і типу обличчя практично здорових чоловіків першого зрілого віку з різних адміністративно-територіальних регіонів України мають вигляд наступних лінійних рівнянь:

присінково-язиковий розмір шийки верхнього правого першого ВКЗ (північний регіон) = 11,73 + 0,373×DUG_AUAU – 1,029×CHI_CHI + 0,228×FMT_FMT – 0,680×RGO_GN + 0,819×N_I – 0,764×N_GN (R²=0,767; F_(6,25)=13,70; p<0,001; Error of estimate=0,412);

присінково-язиковий розмір коронки верхнього правого першого ВКЗ (північний регіон) = –1,055 + 0,731×FMT_FMT + 0,298×DUG_AUAU – 0,688×MF_MF – 0,568×ZY_ZY + 0,337×EK_EK – 0,209×TIP_LICA + 0,477×N_STO (R²=0,657; F_(6,56)=7,24; p<0,001; Error of estimate=0,399);

мезіо-дистальний розмір шийки нижнього лівого другого ВКЗ (північний регіон) = 5,319 – 0,819×SN_PRN – 0,599×RGO_GN + 0,262×DUG_GOP – 0,179×G_OP + 0,061×N_SN + 0,084×TIP_LICA (R²=0,576; F_(5,66)=6,25; p<0,001; Error of estimate=0,394);

висота коронки нижнього лівого першого ВКЗ (північний регіон) = 0,770 + 0,649×N_STO – 0,559×CHI_CHI + 0,149×DUG_GOP + 0,928×SN_PRN – 0,389×N_I (R²=0,519; F_(5,26)=5,61; p<0,01; Error of estimate=0,521);

мезіо-дистальний розмір шийки нижнього лівого першого ВКЗ (північний регіон) = 14,72 – 0,554×TIP_GOL + 0,260×FMT_FMT – 1,013×RGO_GN + 0,306×EU_EU – 0,640×SN_PRN (R²=0,622; F_(5,26)=8,55; p<0,001; Error of estimate=0,454);

висота коронки нижнього правого першого ВКЗ (північний регіон) = –0,529 + 0,658×LGO_GN – 1,595×AL_AL + 0,273×EK_EK + 0,160×TIP_LICA + 0,279×GO_GO (R²=0,557; F_(5,26)=6,54; p<0,001; Error of estimate=0,492);

мезіо-дистальний розмір шийки нижнього правого першого ВКЗ (північний регіон) = 18,85 + 0,148×FMT_FMT – 0,556×N_GN – 0,402×TIP_GOL –

$1,247 \times \text{RGO_GN} + 0,407 \times \text{EK_EK} + 0,136 \times \text{DUGS_GOP} - 0,093 \times \text{ZM_ZM}$
($R^2=0,685$; $F_{(7,24)}=7,44$; $p<0,001$; Error of estimate=0,384);

мезіо-дистальний розмір коронки верхнього правого першого ВКЗ (південний регіон) = $4,191 - 0,901 \times \text{GO_GO} - 2,024 \times \text{SN_PRN} + 0,660 \times \text{G_OP} + 1,083 \times \text{ZY_ZY} - 2,826 \times \text{EK_EK} + 1,050 \times \text{ZM_ZM} + 0,324 \times \text{DUGS_GOP} - 0,482 \times \text{TIP_LICA}$ ($R^2=0,798$; $F_{(8,24)}=11,84$; $p<0,001$; Error of estimate=0,756);

мезіо-дистальний розмір коронки верхнього лівого другого ВКЗ (південний регіон) = $10,74 - 0,531 \times \text{GO_GO} - 1,886 \times \text{EK_EK} + 1,280 \times \text{AL_AL} + 0,568 \times \text{ZY_ZY} + 0,361 \times \text{ZM_ZM} + 0,373 \times \text{G_OP}$ ($R^2=0,622$; $F_{(6,26)}=7,12$; $p<0,001$; Error of estimate=0,701);

присінково-язиковий розмір шийки нижнього лівого другого ВКЗ (південний регіон) = $2,138 + 0,315 \times \text{N_PRN} + 2,280 \times \text{MF_MF} - 0,924 \times \text{N_STO} - 0,456 \times \text{TR_GN} + 1,109 \times \text{CHI_CHI} - 0,970 \times \text{EK_EK} + 1,146 \times \text{EU_EU} - 0,179 \times \text{DUGS_GOP}$ ($R^2=0,756$; $F_{(8,24)}=9,31$; $p<0,001$; Error of estimate=0,652);

присінково-язиковий розмір коронки нижнього лівого другого ВКЗ (південний регіон) = $5,946 + 0,223 \times \text{N_PRN} - 1,065 \times \text{AL_AL} - 1,794 \times \text{EK_EK} + 0,967 \times \text{CHI_CHI} + 1,340 \times \text{MF_MF} + 0,978 \times \text{EU_EU} + 0,425 \times \text{FMT_FMT} - 0,293 \times \text{TR_GN}$ ($R^2=0,706$; $F_{(7,22)}=8,24$; $p<0,001$; Error of estimate=0,663);

присінково-язиковий розмір шийки нижнього лівого першого ВКЗ (південний регіон) = $7,870 + 0,177 \times \text{N_SN} + 1,130 \times \text{MF_MF} - 0,690 \times \text{N_STO} - 0,336 \times \text{TR_GN} + 0,569 \times \text{EU_EU} - 0,635 \times \text{EK_EK} + 0,129 \times \text{ZY_ZY}$ ($R^2=0,633$; $F_{(6,16)}=7,25$; $p<0,001$; Error of estimate=0,458);

присінково-язиковий розмір коронки нижнього лівого першого ВКЗ (південний регіон) = $17,23 + 0,129 \times \text{N_SN} - 0,522 \times \text{N_I} - 0,175 \times \text{G_OP}$ ($R^2=0,504$; $F_{(3,29)}=9,81$; $p<0,001$; Error of estimate=0,480);

висота коронки нижнього правого першого ВКЗ (південний регіон) = $18,12 - 1,145 \times \text{SN_PRN} - 0,620 \times \text{EU_EU} - 0,558 \times \text{MF_MF} - 0,113 \times \text{N_PRN} - 0,218 \times$

$TIP_LICA + 0,590 \times LGO_GN - 0,636 \times CHI_CHI + 0,424 \times N_STO$ ($R^2=0,748$; $F_{(8,24)}=8,89$; $p<0,001$; Error of estimate=0,357);

мезіо-дистальний розмір коронки нижнього правого першого ВКЗ (південний регіон) = $24,38 + 0,155 \times N_PRN - 0,959 \times RGO_GN + 1,000 \times CHI_CHI - 0,979 \times N_STO - 0,185 \times TR_GN - 0,154 \times DUG_AUAU$ ($R^2=0,560$; $F_{(6,26)}=5,51$; $p<0,001$; Error of estimate=0,674);

присінково-язиковий розмір шийки нижнього правого другого ВКЗ (південний регіон) = $6,611 + 0,204 \times N_PRN + 1,360 \times MF_MF - 0,712 \times EK_EK + 0,617 \times CHI_CHI - 0,262 \times TR_GN + 0,186 \times DUG_AUAU$ ($R^2=0,549$; $F_{(5,27)}=6,26$; $p<0,01$; Error of estimate=0,781);

присінково-язиковий розмір коронки нижнього правого другого ВКЗ (південний регіон) = $14,27 + 0,217 \times N_SN - 0,583 \times N_I - 0,771 \times EK_EK + 0,951 \times CHI_CHI + 0,182 \times DUG_AUAU - 0,341 \times GO_GO$ ($R^2=0,619$; $F_{(6,26)}=7,04$; $p<0,001$; Error of estimate=0,704);

висота коронки нижнього правого другого ВКЗ (південний регіон) = $15,35 - 0,718 \times TR_GN - 1,328 \times MF_MF + 0,169 \times DUGS_GOP + 0,649 \times TR_N + 1,172 \times AL_AL - 0,965 \times CHI_CHI$ ($R^2=0,527$; $F_{(6,26)}=4,83$; $p<0,01$; Error of estimate=0,705);

мезіо-дистальний розмір коронки нижнього правого другого ВКЗ (південний регіон) = $17,06 + 0,178 \times N_SN - 0,987 \times SN_PRN - 0,244 \times TR_GN - 0,504 \times N_STO$ ($R^2=0,508$; $F_{(4,28)}=7,22$; $p<0,001$; Error of estimate=0,521);

присінково-язиковий розмір коронки нижнього лівого першого ВКЗ (центральний регіон) = $13,75 - 0,203 \times TR_GN - 0,636 \times N_SN + 0,649 \times N_PRN + 0,193 \times N_STO$ ($R^2=0,613$; $F_{(4,59)}=23,37$; $p<0,001$; Error of estimate=0,683);

мезіо-дистальний розмір коронки нижнього правого першого ВКЗ (центральний регіон) = $17,01 + 0,424 \times EU_EU - 0,299 \times DUG_GOP - 2,066 \times MF_MF + 1,193 \times CHI_CHI + 0,218 \times DUG_AUAU - 0,298 \times N_STO + 0,289 \times N_GN - 0,508 \times$

EK_EK ($R^2=0,648$; $F_{(8,55)}=12,63$; $p<0,001$; Error of estimate=0,765);

мезіо-дистальний розмір коронки верхнього правого другого ВКЗ (західний регіон) = 4,492 + 0,368×FMT_FMT + 0,909×N_PRN – 0,197×DUGS_GOP + 0,603×EK_EK – 0,137×TIP_LICA – 0,800×N_SN ($R^2=0,646$; $F_{(6,29)}=8,82$; $p<0,001$; Error of estimate=0,468);

висота коронки верхнього правого першого ВКЗ (західний регіон) = -0,540 + 2,101×N_STO + 0,317×DUG_AUAU – 1,628×AL_AL + 1,233×CHI_CHI – 0,455×EU_EU – 0,082×N_PRN ($R^2=0,579$; $F_{(6,29)}=6,65$; $p<0,001$; Error of estimate=0,874);

мезіо-дистальний розмір коронки верхнього лівого другого ВКЗ (західний регіон) = 2,934 + 0,308×RGO_GN + 0,930×SN_PRN – 0,254×DUGS_GOP + 0,216×TR_GN + 0,093×N_SN + 0,485×EK_EK ($R^2=0,615$; $F_{(6,29)}=7,72$; $p<0,001$; Error of estimate=0,479);

мезіо-дистальний розмір коронки нижнього лівого другого ВКЗ (західний регіон) = 7,787 + 0,445×N_STO + 0,607×SN_PRN + 0,341×TIP_LICA – 0,297×ZM_ZM + 0,466×TR_N + 0,604×N_I + 0,819×AL_AL – 0,125×DUG_GOP ($R^2=0,646$; $F_{(6,17)}=8,27$; $p<0,001$; Error of estimate=0,413);

мезіо-дистальний розмір шийки нижнього лівого другого ВКЗ (західний регіон) = 5,612 + 1,466×N_I + 0,789×LGO_GN – 0,257×DUG_GOP – 0,474×N_GN + 0,162×DUGS_GOP ($R^2=0,581$; $F_{(5,30)}=8,31$; $p<0,001$; Error of estimate=0,387);

присінково-язиковий розмір шийки нижнього лівого першого ВКЗ (західний регіон) = -0,859 + 1,641×SN_PRN + 0,504×LGO_GN + 0,444×TR_GN – 0,371×N_GN – 0,278×TR_N ($R^2=0,646$; $F_{(5,30)}=10,95$; $p<0,001$; Error of estimate=0,441);

присінково-язиковий розмір коронки нижнього лівого першого ВКЗ (західний регіон) = -4,197 + 1,752×SN_PRN + 0,176×DUG_AUAU + 0,489×LGO_GN +

0,442×N_STO ($R^2=0,614$; $F_{(4,31)}=12,34$; $p<0,001$; Error of estimate=0,566);

мезіо-дистальний розмір коронки нижнього лівого першого ВКЗ (західний регіон) = -9,286 + 0,443×EU_EU – 1,010×MF_MF + 0,418×G_OP + 0,527×LGO_GN + 0,856×SN_PRN + 0,146×ZM_ZM ($R^2=0,575$; $F_{(6,29)}=6,54$; $p<0,001$; Error of estimate=0,585);

присінково-язиковий розмір шийки нижнього правого першого ВКЗ (західний регіон) = -0,399 + 1,567×SN_PRN + 0,473×LGO_GN + 0,252×TR_GN – 0,228×N_GN ($R^2=0,582$; $F_{(4,31)}=10,80$; $p<0,001$; Error of estimate=0,463);

присінково-язиковий розмір коронки нижнього правого першого ВКЗ (західний регіон) = -5,950 + 1,570×SN_PRN + 0,282×TR_GN + 0,326×RGO_GN + 0,377×EK_EK ($R^2=0,571$; $F_{(4,31)}=10,32$; $p<0,001$; Error of estimate=0,560);

мезіо-дистальний розмір шийки нижнього правого першого ВКЗ (західний регіон) = -0,053 + 0,105×DUGS_GOP – 0,261×DUG_AUAU + 0,434×EU_EU + 0,343×EK_EK + 0,239×G_OP ($R^2=0,544$; $F_{(5,30)}=7,16$; $p<0,001$; Error of estimate=0,484);

присінково-язиковий розмір шийки нижнього правого другого ВКЗ (західний регіон) = -7,589 + 1,019×LGO_GN + 1,129×N_I + 0,710×SN_PRN – 0,318×N_GN ($R^2=0,527$; $F_{(4,31)}=8,62$; $p<0,001$; Error of estimate=0,570);

присінково-язиковий розмір коронки нижнього правого другого ВКЗ (західний регіон) = -8,965 + 0,437×N_STO + 0,919×AL_AL + 0,970×N_I + 0,757×RGO_GN ($R^2=0,539$; $F_{(4,31)}=9,05$; $p<0,001$; Error of estimate=0,570);

мезіо-дистальний розмір шийки нижнього правого другого ВКЗ (західний регіон) = 6,668 + 1,897×N_I – 0,209×DUG_GOP + 0,251×DUGS_GOP + 0,626×LGO_GN – 0,603×N_GN – 0,374×G_OP ($R^2=0,532$; $F_{(5,50)}=6,29$; $p<0,001$; Error of estimate=0,487);

висота коронки верхнього правого другого ВКЗ (східний регіон) = 14,12 + 0,740×N_GN – 0,205×DUGS_GOP – 1,216×SN_PRN – 0,146×FMT_FMT –

$0,583 \times \text{EK_EK} + 0,668 \times \text{MF_MF} - 0,466 \times \text{CHI_CHI}$ ($R^2=0,682$; $F_{(7,27)}=8,27$; $p<0,001$; Error of estimate=0,442);

висота коронки верхнього правого першого ВКЗ (східний регіон) = $12,21 - 0,382 \times \text{TIP_LICA} - 1,096 \times \text{SN_PRN} + 0,264 \times \text{TR_GN} - 0,619 \times \text{N_I} - 0,428 \times \text{FMT_FMT} - 0,102 \times \text{N_PRN} + 0,456 \times \text{LGO_GN}$ ($R^2=0,538$; $F_{(6,49)}=7,27$; $p<0,01$; Error of estimate=0,862);

мезіо-дистальний розмір коронки верхнього лівого першого ВКЗ (східний регіон) = $11,90 - 0,276 \times \text{DUGS_GOP} + 0,235 \times \text{N_SN} + 1,046 \times \text{AL_AL} - 0,592 \times \text{MF_MF} + 0,312 \times \text{EU_EU} - 0,153 \times \text{N_PRN} - 0,147 \times \text{TIP_LICA}$ ($R^2=0,572$; $F_{(6,15)}=7,27$; $p<0,001$; Error of estimate=0,498);

висота коронки верхнього лівого другого ВКЗ (східний регіон) = $7,681 + 0,635 \times \text{N_GN} - 1,088 \times \text{SN_PRN} - 0,208 \times \text{DUGS_GOP} - 0,638 \times \text{N_STO} - 0,262 \times \text{TIP_LICA} + 0,105 \times \text{TR_GN}$ ($R^2=0,639$; $F_{(6,28)}=8,27$; $p<0,001$; Error of estimate=0,520);

мезіо-дистальний розмір шийки нижнього лівого першого ВКЗ (східний регіон) = $15,56 - 0,415 \times \text{N_GN} + 0,763 \times \text{EK_EK} - 0,371 \times \text{ZM_ZM} - 0,277 \times \text{ZY_ZY} - 0,333 \times \text{TR_N} + 0,578 \times \text{MF_MF}$ ($R^2=0,556$; $F_{(5,84)}=6,28$; $p<0,001$; Error of estimate=0,519);

де, ВКЗ – великий кутній зуб; R^2 – коефіцієнт детермінації; $F_{(!,!!)}=!,!!$ – критичне (!,!!) та розрахункове (!!,!!) значення критерію Вішера; St. Error of estimate – standard error of the standardized regression coefficient; розміри голови та обличчя – в см; TIP_GOL – краніотип (1- доліхоцефали, 2- мезоцефали, 3- брахіцефали, 4- гіпербрахіцефали); TIP_LICA – тип обличчя (1- широкі, 2- середні, 3- вузькі, 4- дуже вузькі); DUG_AUAU – поперечна дуга; DUG_GOP – найбільший обхват голови; DUGS_GOP – сагітальна дуга; EU_EU – найбільша ширина голови; FMT_FMT – найменша ширина голови; G_OP – найбільша довжина голови; AL_AL – ширина основи носа; CHI_CHI – ширина ротової щілини; EK_EK – зовнішньоочна ширина;

GO_GO – ширина нижньої щелепи; LGO_GN – довжина тіла нижньої щелепи зліва; MF_MF – міжчочномкова ширина; N_GN – морфологічна довжина обличчя; N_I – відстань між назіон та міжрізцевою точкою; N_PRN – довжина носа; N_SN – висота носа; N_STO – висота верхньої частини обличчя; RGO_GN – довжина тіла нижньої щелепи справа; SN_PRN – глибина носа; TR_GN – фізіологічна довжина обличчя; TR_N – висота лоба; ZM_ZM – середня ширина обличчя; ZY_ZY – ширина обличчя.

Моделі усіх інших лінійних розмірів ВКЗ у практично здорових чоловіків із різних адміністративно-територіальних регіонів України мають коефіцієнт детермінації менше 0,5 і тому не мають суттєвого значення для практичної стоматології.

Таким чином, в результаті проведених досліджень нами, за допомогою регресійного аналізу, на основі особливостей цефалометричних показників, краніотипу і типу обличчя побудовані достовірні моделі (із коефіцієнтом детермінації R^2 більшим, ніж 0,5) лінійних комп'ютерно-томографічних розмірів ВКЗ верхньої і нижньої щелеп у практично здорових чоловіків *північного* (3 моделі мезіо-дистальних розмірів шийки зубів нижньої щелепи, $R^2=0,576-0,685$; 2 моделі присінково-язикових розмірів зубів верхньої щелепи, $R^2=0,657$ і $0,767$; 2 моделі висоти коронок зубів нижньої щелепи, $R^2=0,519$ і $0,557$), *південного* (4 моделі мезіо-дистальних розмірів коронки зубів верхньої та нижньої щелеп, $R^2=0,508-0,798$; 6 моделей присінково-язикових розмірів коронки та шийки зубів нижньої щелепи, $R^2=0,504-0,756$; 2 моделі висоти коронок зубів нижньої щелепи, $R^2=0,527$ і $0,748$), *центрального* (лише модель мезіо-дистального розміру коронки нижнього правого першого ВКЗ, $R^2=0,648$; та модель присінково-язикового розміру коронки нижнього лівого першого ВКЗ, $R^2=0,613$), *західного* (4 моделі мезіо-дистальних розмірів коронки зубів верхньої та нижньої щелеп, $R^2=0,575-0,646$; 3 моделі мезіо-дистальних розмірів шийки зубів нижньої щелепи, $R^2=0,532-0,581$; 3 моделі присінково-язикових розмірів коронки зубів нижньої щелепи, $R^2=0,539-0,614$; 3 моделі присінково-язикових розмірів шийки

зубів нижньої щелепи, $R^2=0,527-0,646$; 1 модель висоти коронки зуба верхньої щелепи, $R^2=0,579$) і *східного* (3 моделі висоти коронок зубів верхньої щелепи, $R^2=0,538-0,682$; 1 модель мезіо-дистального розміру коронки зуба верхньої щелепи, $R^2=0,572$; 1 модель мезіо-дистального розміру шийки зуба нижньої щелепи, $R^2=0,556$) регіонів України.

До побудованих моделей індивідуальних комп'ютерно-томографічних лінійних розмірів ВКЗ верхньої і нижньої щелеп із коефіцієнтом детермінації більше 0,5 найчастіше входять:

у чоловіків *північного регіону України* – параметри лицьового відділу голови 61,0 % (довжина тіла нижньої щелепи справа – 9,8 %; зовнішньоочна ширина та глибина носа – по 7,3 %; висота верхньої частини обличчя, відстань між назіон та міжрізцевою точкою, морфологічна довжина обличчя та ширина ротової щілини – по 4,9 %), параметри мозкового відділу голови 26,8 % (найменша ширина голови – 9,8%; найбільший обхват голови та поперечна дуга – по 4,9 %), тип обличчя 7,3 % та краніотип 4,9 %; окремо до моделей мезіо-дистальних розмірів – довжина тіла нижньої щелепи справа (16,7 %), краніотип, найменша ширина голови та глибина носа (по 11,1 %); до моделей присінково-язикових розмірів – поперечна дуга та найменша ширина голови (по 15,4 %);

у чоловіків *південного регіону України* – параметри лицьового відділу голови 75,8 % (фізіологічна довжина обличчя, ширина ротової щілини та зовнішньоочна ширина – по 10,6 %; міжочноямкова ширина – 9,1 %; довжина носа – 7,6 %; висота верхньої частини обличчя та висота носа – по 6,1 %; ширина обличчя, ширина основи носа, глибина носа та ширина нижньої щелепи – по 4,5 %), параметри мозкового відділу голови 21,2 % (найбільша ширина голови – 6,1 %; поперечна дуга, сагітальна дуга та найбільша довжина голови – по 4,5 %) та тип обличчя 3,0 %; окремо до моделей мезіо-дистальних розмірів – середня ширина обличчя, фізіологічна довжина обличчя, висота верхньої частини обличчя, найбільша довжина голови, ширина нижньої щелепи, зовнішньоочна ширина та глибина носа (по 8,3 %); до

моделей присінково-язикових розмірів – зовнішньоочна ширина (13,2 %), ширина ротової щілини, міжчочномкова ширина та фізіологічна довжина обличчя (по 10,5 %), довжина і висота носа та найбільша ширина голови (по 7,9 %), висота верхньої частини обличчя, поперечна дуга та відстань між назіон та міжрізцевою точкою (по 5,3 %); до моделей висоти коронок – ширина ротової щілини та міжчочномкова ширина (по 14,3 %);

у чоловіків *центрального регіону України* – до обох моделей входить висота верхньої частини обличчя;

у чоловіків *західного регіону України* – параметри лицьового відділу голови 72,6 % (глибина носа – 11,0 %; довжина тіла нижньої щелепи зліва – 9,6 %; відстань між назіон та міжрізцевою точкою і морфологічна довжина обличчя – по 6,8 %; зовнішньоочна ширина, висота верхньої частини обличчя та фізіологічна довжина обличчя – по 5,5 %) та параметри мозкового відділу голови 24,7 % (сагітальна дуга – 6,8 %; поперечна дуга, найбільша ширина голови, найбільший обхват голови та найбільша довжина голови – по 4,1 %); окремо до моделей мезіо-дистальних розмірів зубів – сагітальна дуга (12,5 %), зовнішньоочна ширина, глибина носа, відстань між назіон та міжрізцевою точкою, довжина тіла нижньої щелепи зліва, найбільший обхват голови та найбільша довжина голови (по 7,5 %); до моделей присінково-язикових розмірів зубів – глибина носа (20,0 %), довжина тіла нижньої щелепи зліва (16,0 %), фізіологічна довжина обличчя та морфологічна довжина обличчя (по 12,0 %);

у чоловіків *східного регіону України* – параметри лицьового відділу голови 72,7 % (глибина носа, морфологічна довжина обличчя та міжчочномкова ширина – по 9,1 %; довжина носа, зовнішньоочна ширина та фізіологічна довжина обличчя – по 6,1 %), параметри мозкового відділу голови 18,2 % (сагітальна дуга – 9,1 %; найменша ширина голови – 6,1 %) та тип обличчя 9,1 %; окремо до моделей висоти коронок зубів – глибина носа (15,0 %), тип обличчя, фізіологічна довжина обличчя, морфологічна довжи-

на обличчя, найменша ширина голови та сагітальна дуга (по 10,0 %); до моделей мезіо-дистальних розмірів зубів – міжчочномкова ширина (15,4 %).

Порівнюючи отримані нами результати з результатами моделювання лінійних розмірів малих кутніх зубів [226] необхідно відмітити: у чоловіків *північного регіону України* було побудовано 6 моделей мезіо-дистальних розмірів ($R^2=0,562-0,715$) до яких найчастіше входять поперечна дуга і ширина ротової щілини (по 10,5 %) та ширина основи носа, ширина нижньої щелепи і довжина тіла нижньої щелепи зліва (по 7,9 %); 4 моделі присінково-язикових розмірів ($R^2=0,525-0,822$) до яких найчастіше входять висота верхньої частини обличчя (16,0 %), найбільша довжина голови, довжина тіла нижньої щелепи зліва і морфологічна довжина обличчя (по 12,0 %); 3 моделі висоти коронок ($R^2=0,507-0,632$) до яких найчастіше входять зовнішньоочна ширина (18,7 %) та поперечна дуга і довжина тіла нижньої щелепи зліва (по 12,5 %); у чоловіків *південного регіону України* було побудовано лише 1 модель мезіо-дистальних розмірів ($R^2=0,509$) та 3 моделі висоти коронок ($R^2=0,564-0,702$) до яких найчастіше входять висота лоба (17,6 %), найбільший обхват голови, ширина основи носа, міжчочномкова ширина і довжина тіла нижньої щелепи справа (по 11,8 %); у чоловіків *захіного регіону України* було побудовано 4 моделі мезіо-дистальних розмірів малих кутніх зубів ($R^2=0,535-0,659$) до яких найчастіше входять найбільший обхват голови і відстань між назіон та міжрізцевою точкою (по 14,8 %), поперечна дуга, ширина ротової щілини і довжина тіла нижньої щелепи справа (по 11,1 %); 1 модель висоти коронок малих кутніх зубів ($R^2=0,522$); у чоловіків *східного регіону України* було побудовано 6 моделей мезіо-дистальних розмірів малих кутніх зубів ($R^2=0,505-0,641$) до яких найчастіше входять сагітальна дуга, ширина ротової щілини і висота лоба (по 12,8 %), середня ширина обличчя (10,3 %) і довжина тіла нижньої щелепи зліва (7,7 %); 2 моделі присінково-язикових розмірів малих кутніх зубів ($R^2=0,519$ і $0,559$) до яких найчастіше входять поперечна дуга, ширина ротової щілини, зовнішньоочна ширина, ширина нижньої щелепи і довжина носа (по 14,3 %); 1

модель висоти коронки малих кутніх зубів ($R^2 = 0,603$). У чоловіків *центрального регіону України* моделей комп'ютерно-томографічних лінійних розмірів малих кутніх зубів із коефіцієнтом детермінації більше 0,5 взагалі не побудовано.

На основі регресійного аналізу, нами розроблена комп'ютерна програма для визначення нормативних індивідуальних лінійних розмірів ВКЗ чоловіків із різних адміністративно-територіальних регіонів України в залежності від особливостей кефалометричних розмірів, краніотиту та типу обличчя. Дана програма дозволить лікарям стоматологам покращити діагностику і лікування стоматологічної патології.

Підводячи підсумок усієї роботи слід підкреслити, що проведені дослідження відповідають запитам сучасної стоматології, де естетика, поряд з функціональністю, зайняла законне місце як одна з основних задач ортодонтичного лікування. Отримані дані доповнюють паспорт здоров'я жителів різних регіонів України, а використання морфометричних характеристик великих кутніх зубів у порівняльному аспекті та побудова регресійних рівнянь лінійних розмірів великих кутніх зубів залежно від особливостей кефалометричних показників у осіб з різним типом черепа і обличчя дозволяє прогнозувати, в першу чергу, індивідуальну мінливість зубощелепної системи. Це розширює можливість удосконалення методів діагностики і лікування хворих з певною приватною конституцією і регіональною приналежністю та наголошує на необхідності антропологічної спрямованості в наукових дослідженнях і практичній медичній діяльності.

ВИСНОВКИ

У дисертаційній роботі подано вирішення науково-практичного завдання, яке полягає у встановленні величини та особливостей комп'ютерного-графічних лінійних розмірів коронок ВКЗ та їх коренів у практично здорових чоловіків із різних адміністративно-територіальних регіонів України та у чоловіків різних краніо- та фаціотипів як загалом в Україні, так і у представників центрального регіону України; а також, враховуючи результати кореляцій кефалометричних показників, краніо- та фаціотипу з розмірами ВКЗ, побудові та аналізу регресійних моделей індивідуальних розмірів зубів.

1. Найбільш виражені достовірні або тенденції *регіональних відмінностей* розмірів ВКЗ на *верхній щелепі* встановлені: у чоловіків *північного* регіону більші значення мезіо-дистального розміру коронки усіх зубів, ніж у представників *центрального* регіону (на 1,9-4,3 %), присінково-язикового розміру коронки правого й лівого перших зубів, ніж у представників *центрального* (на 3,2 % і 3,3 %) і *західного* (на 3,6 % і 4,3 %) регіонів, а також присінково-язикових розмірів шийки правого першого зуба, ніж у представників *західного* (на 6,2 %) і *східного* (на 4,3 %) регіонів; у чоловіків *західного* регіону більші значення висоти коронки правого другого та лівих першого й другого зубів, ніж у представників *південного* регіону (на 4,4-6,6 %) та довжини піднебінного кореня лівого другого зуба, ніж у представників *північного* (на 7,6 %) та *південного* (на 5,0 %) регіонів; у чоловіків *південного* регіону більші значення довжини присінкового ближнього кореня правого другого зуба, ніж у представників *північного* (на 7,7 %), *центрального* (на 6,2 %) і *східного* (на 6,2 %) регіонів; а на *нижній щелепі* – у чоловіків *північного* регіону менші значення висоти лівого першого зуба, ніж у представників *центрального* (на 3,2 %) і *західного* (на 3,9 %) регіонів та довжини ближнього кореня лівого першого зуба, ніж у представників *південного* (на

4,0 %), *центрального* (на 5,7 %) і *західного* (на 7,4 %) регіонів; у чоловіків *південного* регіону менші значення висоти коронки правого й лівого перших зубів, ніж у представників *північного* (на 4,4 % і 5,3 %), *центрального* (на 5,1 % і 5,6 %) і *західного* (на 6,0 % і 7,6 %) регіонів, а також лише для правого другого зуба, ніж у представників *західного* регіону (на 6,4 %).

2. У чоловіків *доліхоцефалів* встановлені достовірно менші або тенденції до менших значень присінково-язикових розмірів коронки та шийки верхніх зубів, ніж у *мезоцефалів* (на 3,7-7,2 %), *брахіцефалів* (на 3,5-5,4 %) і *гіпербрахіцефалів* (за винятком правого першого зуба на 3,2-4,9 %); мезіо-дистального розміру шийки верхніх других зубів, ніж у *мезоцефалів* (на 4,7 % і 5,1 %) і *гіпербрахіцефалів* (на 4,7 % і 6,1 %); висоти коронки нижнього правого першого зуба, ніж у *мезоцефалів* (на 6,0 %) і *брахіцефалів* (на 5,4 %); довжини присінкового ближнього кореня верхнього правого першого зуба, ніж у *брахіцефалів* (на 9,4 %) і *гіпербрахіцефалів* (на 9,1 %); довжини дальнього кореня нижніх перших зубів, ніж у *брахіцефалів* (на 5,4 % і 6,7 %) і *гіпербрахіцефалів* (на 4,3 % і 5,2 %).

3. У чоловіків із *різним типом обличчя* найбільш виражені достовірні або тенденції відмінностей розмірів ВКЗ встановлені: у чоловіків із *дуже вузьким* обличчям більші значення висоти нижніх других зубів, ніж у представників із *середнім* обличчям (на 3,7 % і 4,3 %) та менші значення довжини присінкового дальнього кореня верхнього правого другого зуба, ніж у представників із *середнім* (на 6,3 %) і *вузьким* (на 6,9 %) обличчям; у чоловіків із *середнім обличчям* менші значення мезіо-дистального розміру коронки верхніх перших і правого другого зубів, ніж у представників із *широким* (на 3,1-4,5 %) і *вузьким* (за винятком правого другого зуба на 1,3 % і 2,7 %) обличчям, а також довжини дальнього кореня нижніх других зубів, ніж у представників із *широким* (на 5,0 % і 5,5 %) і *дуже вузьким* (на 5,0 % і 5,1 %) обличчям; у чоловіків із *широким обличчям* більші значення мезіо-дистального розміру шийки верхніх других зубів, ніж у представників із *дуже вузьким* (на 4,4 і 4,7 %) і *середнім* (лише для правого зуба на 4,8 %)

обличчям.

4. Найбільш виражені достовірні або тенденції *краніотипологічних відмінностей* розмірів ВКЗ у чоловіків *центрального регіону України* на *верхній щелені* встановлені: у *доліхоцефалів* менші значення мезіо-дистального розміру коронки правих зубів, ніж у *гіпербрахіцефалів* (на 4,7 % і 8,1 %), присінково-язикового розміру коронки усіх зубів, ніж у *гіпербрахіцефалів* (на 4,4-6,6 %) і *брахіцефалів* (лише для перших зубів на 3,6 % і 7,7 %) та присінково-язикового розміру шийки перших зубів, ніж у *гіпербрахіцефалів* (на 5,8 % і 8,4 %) і *брахіцефалів* (на 4,0 % і 4,7 %); у *гіпербрахіцефалів* більші значення мезіо-дистального розміру шийки других і правого першого зубів, ніж у *доліхоцефалів* (на 7,5-10,6 %) і *брахіцефалів* (за винятком правого першого зуба на 4,3 % і 7,4 %) та довжини присінкового дальнього кореня других зубів, ніж у *брахіцефалів* (на 9,4 % і 11,3 %) і *мезоцефалів* (лише для лівого зуба на 11,3 %); у *мезоцефалів* менші значення довжини присінкового ближнього кореня других зубів, ніж у *гіпербрахіцефалів* (на 13,3 % і 15,1 %) і *брахіцефалів* (лише для правого зуба на 11,1 %); а на *нижній щелені* – у *мезоцефалів* менші значення висоти других і лівого першого зубів, ніж у *гіпербрахіцефалів* (на 3,5-7,3 %), мезіо-дистального розміру коронки других і правого першого зубів, ніж у *гіпербрахіцефалів* (на 4,2-9,8 %) і *брахіцефалів* (за винятком правого першого зуба на 4,2 % і 5,2 %) і довжини ближнього кореня лівих зубів, ніж у *гіпербрахіцефалів* (на 7,0 % і 8,5 %); у *гіпербрахіцефалів* більші значення довжини дальнього кореня лівого другого і правого першого зубів, ніж у *доліхоцефалів* (на 9,3 % і 9,5 %), *мезоцефалів* (на 8,4 % і 10,5 %) і *брахіцефалів* (лише для лівого другого зуба на 7,2 %), а також лише для правого другого зуба, ніж у *мезоцефалів* (на 9,9 %).

5. У чоловіків *центрального регіону України з різним типом обличчя* найбільш виражені достовірні або тенденції відмінності розмірів ВКЗ встановлені: на *верхній щелені* лише менші значення довжини присінкового дальнього кореня у представників із *дуже вузьким* обличчям, ніж у представ-

ників із *іншими типами обличчя* (на 13,9-16,9 %); а на *нижній щелепі* – у представників із *широким обличчям* більші значення висоти перших і лівого другого зубів, ніж у представників із *середнім* (на 5,6-7,9 %) і *дуже вузьким* (за винятком лівого другого зуба на 4,8 % і 5,6 %) обличчям; висоти коронки лівого другого зуба, ніж із *середнім* (на 9,3 %) та *дуже вузьким* (на 10,1 %) типами обличчя; мезіо-дистального розміру коронки перших зубів, ніж у представників із *середнім* обличчям (на 6,4 % і 10,4 %); мезіо-дистального розміру шийки перших зубів, ніж у представників із *вузьким* обличчям (на 5,6 % і 7,2 %); довжини дальнього кореня перших зубів, ніж у представників із *дуже вузьким* обличчям (на 7,2 % і 8,9 %), а також лише для лівого другого зуба, ніж у представників із *середнім* (на 10,9 %) і *вузьким* (на 9,2 %) обличчям.

6. У практично здорових чоловіків із різних регіонів України на основі особливостей кефалометричних показників, краніотипу та типу обличчя розроблені достовірні регресійні моделі (з коефіцієнтом детермінації R^2 більшим ніж 0,5) індивідуальних лінійних комп'ютерно-томографічних розмірів ВКЗ (за винятком східного регіону, переважно, мезіо-дистальних і присінково-язикових розмірів): для *північного* – 7 моделей, $R^2=0,519-0,767$; *південного* – 12 моделей, $R^2=0,504-0,798$; *центрального* – 2 моделі, $R^2=0,613$ і $0,648$; *західного* – 14 моделей, $R^2=0,527-0,646$; *східного* – 5 моделей, $R^2=0,538-0,682$.

7. До побудованих моделей найчастіше входять: у *північному регіоні* – довжина тіла нижньої щелепи справа і найменша ширина голови (по 9,8 %), зовнішньоочна ширина, глибина носа та тип обличчя (по 7,3 %); в *південному регіоні* – фізіологічна довжина обличчя, ширина ротової щілини та зовнішньоочна ширина (по 10,6 %), міжочноямкова ширина (9,1 %), довжина носа (7,6 %), висота верхньої частини обличчя, висота носа та найбільша ширина голови (по 6,1 %); в *західному регіоні* – глибина носа (11,0 %), довжина тіла нижньої щелепи зліва (9,6 %), відстань між назіон та міжрізцевою точкою, морфологічна довжина обличчя та сагітальна дуга (по 6,8 %),

зовнішньоочна ширина, висота верхньої частини обличчя та фізіологічна довжина обличчя (по 5,5 %); в *східному регіоні* – глибина носа, морфологічна довжина обличчя, міжочноямкова ширина та сагітальна дуга (по 9,1 %), довжина носа, зовнішньоочна ширина, фізіологічна довжина обличчя та найменша ширина голови (по 6,1 %).

СПИСОК ВИКОРИСТАНИХ ДЖЕРЕЛ

1. Алексеев, В. П., & Дебец, Г.Ф. (1964). *Краниометрия: методика антропологических исследований*. М.: Наука.
2. Барінов, Є. Ф., Чайковський, Ю. Б., Сулаєва, О. М., & Барінова, Є. Ф. (за ред. акад. АНВО України, проф. Е. Ф. Барінова, чл.-кор. НАМН України, проф. Ю. Б. Чайковського) (2013). *Гістологія, цитологія та ембріологія : навч. підруч. для студ. вищ. навч. закл. IV рівня акредитації : у 3 кн.* К. : Медицина. Кн. 3, ч. 2.
3. Біда, В. І., Струк, В. І., & Біда, О. В. (2015). Показники мікроциркуляції тканин пародонта у осіб з патологічним стиранням твердих тканин зубів різного ступеня тяжкості, ускладненим бруксизмом. *Збірник наукових праць співробітників НМАПО ім. П. Л. Шупика*, 24(1), 471-477.
4. Бобрик, І. І., Школьніков, В. С., Максименко, С. Д., & Гумінський, Ю. Й. (2012). *Анатомія дитини (з основами ембріології та вадами розвитку) : навч.-метод. посіб. для студ. вищ. мед. (фармац.) навч. закл. III-IV р.а., лікарів-інтернів, лікарів-педіатрів, лікарів-хірургів, лікарів-генетиків, а також спеціалістів з вікової гігієни*. Луганськ : Віртуальна реальність.
5. Болгова, Е. С., Возный, В. Б., Бутенко, Д. Б., Ступченко, М. М., Растегаева, В. Ю., Пархомець, Р. А., & Барановская, Л. В. (2007). Особенности морфометрических показателей вторых премоляров лиц украинской популяции в зависимости от возраста и пола. *Український медичний альманах*, 2, 28-30.
6. Борисенко, А. В., & Шінкарук-Диковицька, М. М. (2014). До питання щодо генетичної складової в ураженні зубів карієсом різної інтенсивності. *Світ медицини та біології*, 4(47), 18-22.
7. Борисенко, А. В., & Шінкарук-Диковицька, М. М. (2014). Частота ураження карієсом молярів у соматично здорових чоловіків із різних регіо-

нів України за даними стоматологічного обстеження та конусно-променевої комп'ютерної томографії. *Biomedical and biosocial anthropology*, 23, 80-86.

8. Борисенко, А. В., & Шінкарук-Диковицька, М. М. (2015). Характеристика премолярів після терапевтичного лікування у соматично здорових чоловіків із різних регіонів України. *Інновації в стоматології*, 1, 19-24.

9. Бунак, В. В. (1941). *Антропометрия. Практический курс*. М.: Учпедгиз.

10. Вовк, Ю. М., & Черно, В. С. (2014). *Порівняльна анатомія пазух твердої оболони головного мозку : монографія*. Миколаїв : Іліон.

11. Вовканич, Л. С. (2016). *Вікова анатомія і фізіологія : навч. посіб. для практ. занять*. Львів : ЛДУФК.

12. Воробець, А. Б. (2014). Особливості структурно-функціональної організації ямки великих кутніх зубів. *Вісник наукових досліджень*, 4, 90-91.

13. Воробець, А. Б., Гасюк, П. А., & Росоловська, С. О. (2014). Характеристика фізико-механічних властивостей твердих тканин зубів. *Клінічна стоматологія*, 3, 80.

14. Воробець, А. Б., Гасюк, П. А., & Росоловська, С. О. (2015). Аспекти розвитку каріозного процесу в фісурах ямках великих кутніх зубів у гендерному аспекті. *Клінічна стоматологія*, 3-4, 132-133.

15. Воробець, А. Б., Гасюк, П. А., & Росоловська, С. О. (2016). Гендерні відмінності одонтометричних показників коронок великих кутніх зубів людини. *Світ медицини та біології*, 4(58), 16-19.

16. Гаджула, Н. Г. (2015). *Пропедевтика терапевтичної стоматології : навч. посіб. для студентів стоматол. ф-тів вищ. мед. навч. закл. III-IV рівня акредитації*. Вінниця : Нілан.

17. Гайворонский, И. В., Гайворонский, А. И., Гайворонская, М. Г., Дубовик, Е. И., Кеворкова, С. А., Колтунов, А. В., ... Щаникова, А. С. (2008). Краниометрические корреляции зубочелюстной системы, височно-нижнечелюстного сустава и лицевого черепа у взрослого человека. *Морфология*, 133(2), 29.

18. Гасюк, П. А., Воробець, А. Б., & Белінська, Л. Д. (2015). Особливості морфологічної будови твердих тканин екваторіальної ділянки великих кутніх зубів у чоловіків. *Клінічна стоматологія*, 2, 6-9.
19. Гасюк, П. А., Ковтун, Н. Я., & Воробець, А. Б. (2014). Морфометричні показники коронки малих кутніх зубів верхньої та нижньої щелеп людини в нормі. *Молодий вчений*, 2(05), 154-156.
20. Гасюк, П. А., Росоловська, С. О., & Воробець, А. Б. (2014). Ембріологічні аспекти формування та прорізування зубів. *Клінічна стоматологія*, 3, 16-18.
21. Глушак, А. А. (2013). Мезіодистальні розміри зубів у хлопчиків та дівчаток з ортогнатичним прикусом в залежності від форми голови та типу обличчя. *Український медичний альманах*, 11(4), 11-17.
22. Глушак, А. А. (2015). Вестибуло-оральні розміри зубів у хлопчиків та дівчаток з ортогнатичним прикусом в залежності від форми голови та типу обличчя. *Вісник Вінницького національного медичного університету*, 19(1), 37-43.
23. Глушак, А. А., Гунас, И. В., Лисничук, Н. Е., & Самойленко, А. В. (2015). Вертикальные размеры зубов у подростков Подолья с ортогнатическим прикусом в зависимости от формы головы и типа лица. *Биология ватиббиёт муаммолари*, 2(83), 28-37.
24. Головацький, А. С., Черкасов, В. Г., Сапін, М. Р., & Федонюк, Я. І. (за ред. В. Г. Черкасова та А. С. Головацького) (2013). *Анатомія людини : підруч. для студ. вищ. мед. навч. закл. IV рівнів акредитації : в 3-х т. (Вид. 3-тє, доопрац.)*. Вінниця : Нова Книга. Т. 1.
25. Головацький, А. С., Черкасов, В. Г., Сапін, М. Р., Парахін, А. І., & Ковальчук, О. І. (за ред. А. С. Головацького та В. Г. Черкасова) (2016). *Анатомія людини : підруч. для студ. вищ. мед. навч. закл. IV рівнів акредитації : в 3-х т. (Вид. 5-тє, доопрац.)*. Вінниця : Нова Книга. Т. 1.
26. Головацький, А. С., Черкасов, В. Г., Сапін, М. Р., Парахін, А. І., & Ковальчук, О. І. (за ред. В. Г. Черкасова та А. С. Головацького) (2015). *Анато-*

мія людини : підруч. для студентів вищ. мед. навч. закл. IV рівня акредитації : в 3-х т. (Вид. 4-те, доопрац.). Вінниця : Нова Книга. Т. 1.

27. Гунас, І. В., Московко, С. П., & Шевчук, Ю. Г. (2013). Відмінності комп'ютерно-томографічних параметрів центральної частини бічних шлуночків головного мозку у хворих на епілепсію юнаків і дівчат Поділля загальною та з урахуванням краніютипу. *Вісник морфології*, 17(2), 373-377.

28. Гунас, І. В., Шевчук, Ю. Г., & Прокопенко, С. В. (2013). Зв'язки комп'ютерно-томографічних параметрів ліквороутримуючих структур головного мозку з антропометричними та соматотипологічними показниками здорових юнаків і дівчат Поділля загальних груп. *Український морфологічний альманах*, 11(3), 42-45.

29. Даниленко, Г. М., Покроєва, Л. Д., Кратенко, І. С., & Волкова, І. В. (2006). Гігієнічна скринінг-оцінка впровадження здоров'яформуючих інновацій у загальноосвітніх навчальних закладах : [навчально-методичний посібник для медико-педагогічного персоналу шкіл]. Харків, [б. в.].

30. Дегтярева, Л. А., & Беленова, Е. И. (2013). Влияние конституционально-морфологических особенностей на течение хронического верхушечного периодонтита. *Соврем. Стоматология*, 4, 25-28.

31. Дмитрієв, М. О. (2016). Кореляції кутових показників верхньої щелепи з характеристиками положення зубів та профілю м'яких тканин обличчя у мешканців України юнацького віку. *Вісник морфології*, 22(2), 380-384.

32. Дмитрієв, М. О. (2017). Зв'язки лінійних показників верхньої щелепи з характеристиками змикальної площини, положення зубів та профілем м'яких тканин лиця у юнаків і дівчат. *Biomedical and biosocial anthropology*, 28, 95-101.

33. Зербіно, Д. Д., Багрій, М. М., Боднар, Я. Я., & Діброва, В. А. (за ред. Д. Д. Зербіно) (2016). *Патоморфологія та гістологія : атлас : гістологія - патоморфологія - цитоморфологія*. Вінниця : Нова Книга.

34. Зубов, А. А. (2003). *Одонтологія. Методика антропологічних досліджень*. М.: Наука.

35. Зубов, А. А. (2006). *Методологическое пособие по антропологическому анализу одонтологических материалов*. М.: Наука.
36. Икрамов, В. Б. (2010). Индивидуальная анатомическая изменчивость челюстно-лицевого аппарата у мужчин и женщин зрелого возраста. *Украинский морфологический альманах*, 8(4), 74-75.
37. Каган, И. И. (2011). Клиническая анатомия в современной морфологии и медицине. *Медицинское образование и профессиональное развитие*, 2, 27-35.
38. Калмин, О. В., Мясникова, Е. Л., & Никишин, Д. В. (2013). Взаимосвязь дентотипа с цефалотипом и формой лица у детей г. Пензы. *Известия высших учебных заведений. Поволжский регион. Медицинские науки*, 1(25), 20-30.
39. Кобцева, О. А. (2012). Діагностика типу щелепного росту при антропометричних дослідженнях. *Соврем. стоматология*, 4, 136-137.
40. Ковтун, Н. Я., Гнатюк, М. С., & Гасюк, П. А. (2014). Планіметричні показники коронки малих кутніх зубів у нормі. *Вісник наукових досліджень*, 1, 53-56.
41. Козак, Р. В. (2014). Однотометричні показники міжальвеолярної відстані на контрольних моделях до та після лікування у пацієнтів з патологічною стертістю зубів. *Вісник проблем біології і медицини*, 2(1), 174-176.
42. Косенко, К. Н., & Громов, О. В. (2012). Возрастные показатели подвижности зубов различных анатомических групп у лиц с интактным пародонтом. *Вісник стоматології*, 3, 78-81.
43. Косенко, К. Н., & Громов, О. В. (2012). Показатели подвижности зубов различных анатомических групп у больных генерализованным пародонитом. *Вісник стоматології*, 4, 72-77.
44. Костиленко, Ю. П. (2012). Морфометрические показатели долевого соотношения между объемом пульповой камеры и толщиной дентина постоянных зубов в норме и при патологической истираемости с учетом возра-

стной градации по данным рентгенографии. *Вісник проблем біології і медицини*, 4(1), 200-203.

45. Коцюра, О. О., & Костенко, М. П. (2019). Свідectво про реєстрацію авторського права на твір. Комп'ютерна програма «TeethNorm» для визначення індивідуальних метричних характеристик великих кутніх зубів в залежності від кефалометричних показників чоловіків із різних регіонів України «TeethNorm» /. – № № 90674; заявл. 11. 05.2019, № 89443, опубл. 06.06.2019р.

46. Коцюра, О. О. (2017). *Відмінності розподілу краніотипів в практично здорових чоловіків із різних регіонів України*. Тези представлені в матеріалах науково-практичної конференції з міжнародною участю присвяченої 60-ти річчю ДВНЗ «Тернопільський державний медичний університет імені І. Я. Горбачевського МОЗ України», Тернопіль (стор. 97-99). Тернопіль: ДВНЗ «Тернопільський державний медичний університет імені І. Я. Горбачевського МОЗ України».

47. Коцюра, О. О. (2017). Комп'ютерно-томографічні розміри великих кутніх зубів та їх коренів у практично здорових чоловіків різних краніотипів. *Biomedical and Biosocial Anthropology*, 28, 78-81.

48. Коцюра, О. О. (2017). Особливості лінійних комп'ютерно-томографічних розмірів великих кутніх зубів та їх коренів у практично здорових чоловіків із різних етнотериторіальних регіонів України. *Вісник морфології*, 23(1), 114-117.

49. Коцюра, О. О. (2017). *Показники лінійних комп'ютерно-томографічних розмірів великих кутніх зубів в залежності від краніотипологічних особливостей у практично здорових чоловіків України*. Тези представлені в матеріалах науково-практичної конференції присвяченої пам'яті професорів-морфологів Терентьева Г. В., Роменського О. Ю., Когана Б. Й., Шапаренка П. П., Жученка С. П. «Прикладні аспекти морфології», Вінниця (стор. 124-125). Вінниця: друкарня «Тези».

50. Коцюра, О. О. (2019). *Регресійний аналіз як метод моделювання лінійних розмірів великих кутніх зубів в залежності від кефалометричних показників у практично здорових чоловіків із різних регіонів України*. Тези представлені в матеріалах Всеукраїнської науково-практичної конференції «Актуальні проблеми сучасної ортопедичної стоматології», Вінниця (стор. 36-37). Вінниця, ТОВ «ТВОРИ».

51. Коцюра, О. О. (2019). *Регресійні моделі КТ-розмірів великих кутніх зубів у чоловіків центрального регіону України в залежності від особливостей кефалометричних показників*. Тези представлені в матеріалах науково-практичної конференції з міжнародною участю «Ternopil dental summit », Тернопіль (стор. 94-96). Тернопіль: ДВНЗ «Тернопільський державний медичний університет імені І. Я. Горбачевського МОЗ України».

52. Кравченко, А. І., & Мороз, Л. В. (2012). *Анатомія, фізіологія, патологія дітей і підлітків : навч. посіб.* Суми : Мрія.

53. Кулигіна, В. М., & Аршинніков, Р. С. (2014). Динаміка показників кислотостійкості, вогнищевої демінералізації та швидкості ремінералізації емалі зубів у пацієнтів з різними видами зубних відкладень. *Biomedical and biosocial anthropology*, 23, 203-210.

54. Кулигіна, В. М., & Мунтян, О. В. (2015). Зміни показників мікроциркуляції пульпи зубів при здійсненні місцевоанестезувального супроводу стоматологічного лікування. *Клінічна стоматологія*, 2, 43-49.

55. Левченко, Л. Т. (1998). *Морфологическая типология зубочелюстного аппарата*. Новосибірск: [б.и.].

56. Ломиашвили, Л. М., & Погодаев, Д. В. (2005). Вариабельность форм моляров зубочелюстного аппарата человека. *Изд-во «ДентАрт»*, 1, 18-27.

57. Луцик, О. Д., Іванова, А. Й., Кабак, К. С., & Чайковський, Ю. Б. (2013). *Гістологія людини : підруч. для студ. вищ. мед. навч. закл. III-IV рівнів акредитації*. (Вид. 4-те, доопрац. і випр.). К. : Книга-Плюс.

58. Луцкая, И. (2017). *Терапевтическая стоматология*. Litres.

59. Мардар, Г. І., Цигикало, О. В., & Гораш, Є. В. (2015). *Анатомія людини : іл. навч. посіб.*. Чернівці : Рута.
60. Марченко, А. В. (2017). Моделі індивідуальних лінійних розмірів необхідних для побудови коректної форми зубної дуги у дівчат в залежності від особливостей одонтометричних та кефалометричних показників. *Biomedical and biosocial anthropology*, 28, 88-92.
61. Марченко, А. В., Петрушанко, Т. О., & Гунас, І. В. (2017). Моделювання за допомогою регресійного аналізу трансверзальних розмірів верхньої й нижньої щелепи та сагітальних характеристик зубної дуги в юнаків в залежності від особливостей одонтометричних і кефалометричних показників. *Вісник морфології*, 23(1), 107-111.
62. Мельник, І. П. (2013). *Обличчя: клінічна анатомія, успадковані та набуті аномалії : компендіум : [довідник]*. Чернівці : Місто.
63. Музика, Ф. В., Гриньків, М. Я., & Куцериб, Т. М. (2014). *Анатомія людини : навч. посіб.*. Львів : ЛДУФК.
64. Нідзельський, М. Я., Шиян, Є. Г., & Давиденко, Г. М. (2016). *Естетичні акценти стоматології : [посібник]*. Вінниця : Нова Книга.
65. Орловський, В. О. (2017). *Краніотипологічна мінливість лінійних розмірів малих кутніх зубів у практично здорових чоловіків України*. Тези представлені в матеріалах науково-практичної конференції «Прикладні аспекти морфології» присвячена пам'яті професорів-морфологів Терентьєва Г. В., Роменського О. Ю., Когана Б. Й., Шапаренка П. П., Жученка С. П., Вінниця (стор. 122-124). Вінниця: друкарня «Тези».
66. Орловський, В. О. (2017). Особливості комп'ютерно-томографічних розмірів малих кутніх зубів та їх коренів у практично здорових чоловіків України з різною формою голови. *Biomedical and biosocial anthropology*, 28, 92-94.
67. Орловський, В. О. (2017). Особливості лінійних комп'ютерно-томографічних розмірів малих кутніх зубів та їх коренів у практично здоро-

вих чоловіків центрального регіону України з різними типами обличчя. *Вісник морфології*, 23(2), 311-314.

68. Орловський, В. О. (2017). Регіональні відмінності лінійних комп'ютерно-томографічних розмірів малих кутніх зубів та їх коренів у практично здорових чоловіків України. *Вісник морфології*, 23(1), 102-107.

69. Орловський, В. О. (2018). *Кількісний аналіз зв'язків комп'ютерно-томографічних розмірів малих кутніх зубів із кефалометричними показниками практично здорових чоловіків центрального регіону України*. Тези представлені в матеріалах міжнародної науково-практичної конференції «Перспективні напрями розвитку сучасних медичних та фармацевтичних наук», Дніпро (стор. 22-24). Дніпро : Організації наукових медичних досліджень «Salutem».

70. Орловський, В. О. (2018). *Множинні зв'язки комп'ютерно-томографічних розмірів малих кутніх зубів із кефалометричними показниками практично здорових чоловіків центрального регіону України*. Тези представлені в матеріалах міжнародної науково-практичної конференції «Світова медицина: сучасні тенденції та фактори розвитку», Львів (стор. 114-116). Львів : ГО «Львівська медична спільнота».

71. Півторака, В. І., Проніна, О. М., Вовк, Ю. М., Гнатюк, М. С., Антіпов, М. В., Ахтемійчук, Ю. Т., ... Черняк, В. А. (за ред. проф. В. І. Півторака, проф. О. М. Проніної) (2016). *Оперативна хірургія і топографічна анатомія голови та шиї : баз. підруч. для студентів стоматол. ф-тів ВНЗ МОЗ України IV рівня акредитації*. Вінниця : Нова Книга.

72. Позур, Т. П. (2017). Одонтометричні показники і параметри зубної дуги в залежності від типів обличчя (огляд літератури). *Biomedical and biosocial anthropology*, 28, 216-220.

73. Проффит, У. Р. (пер. с англ.; под ред. Л.С. Персина) (2006). *Современная ортодонтия*. М.: МЕДпресс-информ.

74. Ракош, Т., & Грабер, Т. М. (2012). *Зубоальвеолярное и челюстно лицевое ортодонтическое лечение*. Львов : ГалДент.

75. Расулов, И. М. (2011). *Одонтологические и одонтоглифические исследования особенностей зубов у лиц различных национальностей и перспективы использования полученных данных в стоматологии* (Докторская диссертация). <https://www.dissercat.com/>
76. Романовская, А. П., & Сысоев, Н. П. (2001). Взаимосвязь типов лица с размерами и формой зубных дуг. *Проблемы, достижения и перспективы развития медико-биологических наук и практического здравоохранения. - Труды КГМУ*, 137(2), 126-128.
77. Самусев, Р. П., Краюшкин, А. И., & Дмитриенко, С. В. (ред. М. Р. Сапин) (2002). *Основы клинической морфологии зубов: учебное пособие*. М. : ООО «Издательский дом «ОНИКС 21 век»: ООО «Мир и Образование».
78. Сегеда, С. П. (2001). *Антропологічний склад українського народу: етногенетичний аспект*. Видавництво імені Олени Теліги.
79. Сидоренко, П. І., Бондаренко, Г. О., & Куц, С. О. (2012). *Анатомія та фізіологія людини : підруч. для студ. вищ. мед. навч. закл. I-II рівнів акредитації за спец. "Лікувальна справа", "Акушерська справа", "Лабораторна діагностика"*. (4-е вид., випр.). К. : Медицина.
80. Скворцова, І. Г. (2012). Результати цефалометричного дослідження хворих на нижню мікрогнатію до та після місцевої кісткової пластики. *Вісник проблем біології і медицини*, 1, 199-206.
81. Смердина, Ю. Г. (2007). Этнические особенности одонтологических признаков. *Успехи современного естествознания*, 8, 63-64.
82. Смоляр, Н. І., & Чухрай, Н. Л. (2012). Оцінка визначення ступеню активності карієсу зубів у дітей шкільного віку, як одного із показників санації. *Вісник стоматології*, 4, 97-100.
83. Смоляр, Н. І., Солонько, Г. М., & Дубецька-Грабоус, І. С. (2012). Підвищення ефективності профілактики раннього карієсу молочних зубів шляхом співпраці педіатрів та дитячих стоматологів. *Соврем. Педиатрия*, 5, 51-54.

84. Степаненко, О. Ю., & Мар'єнко, Н. І. (2013). Статеві особливості індивідуальної мінливості будови черв'яка мозочка людини. *Галиц. лікар. вісн.*, 20(1), 77-79.
85. Тверской, А. В., & Петричко, С. А. (2010). Вариабельность отдельных анатомических образований лицевого отдела черепа у людей с различными формами черепа. *Морфология*, 137(4), 187.
86. Тегако, О. В., & Иванов, М. С. (2006). Анатомические особенности корневой системы зубов человека. *Журнал «Современная стоматология»*, 3, 11-18.
87. Тимофеев, А. А., Ушко, Н. А., & Тимофеев, А. А. (2016). Показатели периотестометрии зубов у здоровых людей. *Современная стоматология*, 3, 71-73.
88. Трезубов, В. Н., Булычева, Е. А., Чикун, С. О., Трезубов, В. В., & Алпатьева, Ю. В. (2015). Цефалометрическое изучение лицевого скелета при планировании устранения деформаций окклюзионной поверхности зубных рядов. *Институт стоматологии*, 4, 102-104.
89. Удод, О. А., & Зінкович, І. І. (2014). Застосування клінічних та лабораторних показників у прогнозуванні приросту інтенсивності карієсу тимчасових зубів. *Вісник проблем біології і медицини*, 2(2), 183-186.
90. Хоменко, Л. О., Біденко, Н. В., & Татченко, А. О. (2014). Форма та розміри площ фасеток стирання на апроксимальних поверхнях коронок тимчасових молярів. *Новини стоматології*, 4, 72-77.
91. Чеканин, И. М. (2005). *Взаимосвязь формы и размеров зубных дуг с параметрами краниофациального комплекса при мезоцефалии* (Кандидатская диссертация). <http://www.dslib.net>
92. Шевчук, Ю. Г. (2014). Відмінності кефалометричних, соматотипологічних і показників компонентного складу маси тіла між здоровими та хворими на епілепсію юнаками та дівчатами Поділля. *Український морфологічний альманах*, 12(1), 99-103.

93. Шінкарук-Диковицька, М. М. (2012). Медико-соціальні фактори умов життя соматично здорових чоловіків із різних природних та адміністративних регіонів України. *Biomedical and Biosocial Anthropology*, 19, 248-254.
94. Шінкарук-Диковицька, М. М. (2012). Показники використання засобів догляду порожнини рота соматично здорових чоловіків із різних регіонів України. *Український медичний альманах*, 15(5), 164-169.
95. Шінкарук-Диковицька, М. М. (2012). Показники суб'єктивної оцінки стану тканин пародонту в соматично здорових чоловіків із різних регіонів України. *Український медичний альманах*, 15(6) 184-187.
96. Шінкарук-Диковицька, М. М. (2014). Показники відсутності зубів у соматично здорових чоловіків із різних етно-територіальних регіонів України. *Вісник наукових досліджень*, 4, 62-66.
97. Шінкарук-Диковицька, М. М. (2014). Частота ураження карієсом різців та іклів у соматично здорових чоловіків із різних етно-територіальних регіонів України за даними стоматологічного обстеження та конусно-променевої комп'ютерної томографії. *Вісник Вінницького національного медичного університету*, 18(2), 477-484.
98. Шінкарук-Диковицька, М. М. (2015). Регіональні особливості частоти хронічного періодонтиту, кістогранулем або кист премолярів у соматично здорових чоловіків за даними стоматологічного обстеження та комп'ютерної томографії. *Вісник морфології*, 21(1), 177 - 181.
99. Шінкарук-Диковицька, М. М. (2016). *Показники захворюваності зубів та їх залежність від фенотипічних особливостей соматично здорових чоловіків із різних регіонів України* (Докторська дисертація). <http://www.irbis-nbuv.gov.ua>
100. Шінкарук-Диковицька, М. М., & Коцюра, О. О. (2017). Відмінності лінійних комп'ютерно-томографічних розмірів великих кутніх зубів та їх коренів у практично здорових чоловіків центрального регіону України різних краніотипів. *Світ медицини та біології*, 2(60), 120-123.

101. Шінкарук-Диковицька, М. М., Коцюра, О. О., & Орловський, В. О. (2012). Сучасні променеві та антропометричні методи дослідження в стоматології. *Вісник Вінницького національного медичного університету*, 16(2), 546-550.
102. Шінкарук-Диковицька, М. М., Коцюра, О. О., & Орловський, В. О. (2016). Регіональні та краніотипологічні відмінності кефалометричних показників у практично здорових чоловіків України. *Вісник морфології*, 22(2), 314-319.
103. Шінкарук-Диковицька, М. М., Коцюра, О. О., & Орловський, В. О. (2016). Відмінності кефалометричних показників у практично здорових чоловіків України з різними типами обличчя. *Світ медицини та біології*, 4(58), 82-87.
104. Шінкарук-Диковицька, М. М., Коцюра, О. О., & Орловський, В. О. (2016). *Лінійні розміри молярів та премолярів та їх зв'язок з показниками кефалометрії*. Тези представлені в матеріалах науково-практичної конференції «Інноваційні технології в стоматології», Тернопіль (стор. 54-56). Тернопіль: ДВНЗ «Тернопільський державний медичний університет імені І. Я. Горбачевського МОЗ України».
105. Шінкарук-Диковицька, М. М., & Орловський, В. О. (2017). Відмінності лінійних розмірів малих кутніх зубів та їх коренів у практично здорових чоловіків України з різними типами обличчя. *Світ медицини та біології*, 2(60), 124-126.
106. Школьнік, Е. Я. (2015). Розбіжності кефалометричних показників між здоровими і хворими на гострий гнійний гайморит юнаками і чоловіками Поділля без урахування краніотипу і брахіцефалів. *Вісник Вінницького національного медичного університету*, 19(1), 44-47.
107. Шнайдер, С. А., Громов, О. В., & Чуйко, А. М. (2015). Вивчення біомеханічних показників зуба та інтактного пародонту за допомогою комп'ютерного моделювання. *Современная стоматология*, 5, 83-89.

108. Юсупов, Р. Д., Алямовский, В. В., Николаев, В. Г., Козлов, В. В., Казакова, Г. Н., & Борисов, А. Ю. (2013). Этнические особенности кефалометрических показателей и проявлений одонтологических признаков населения Восточной Сибири. *В мире научных открытий (Красноярск)*, 7, 139-156.
109. Янушевич, О. О. (2008). *Медицинская и клиническая генетика для стоматологов*. М.: ГЭОТАР-Медиа.
110. Ярадайкина, М. Н., Фищев, С. Б., & Севастьянов, А. В. (2011). *Взаимосвязь размеров постоянных зубов с параметрами зубочелюстных дуг и челюстно-лицевой областью*. Тезисы представлены в сборнике материалов респ. конференции стоматологов, Уфа (стр. 254-257). Уфа : [б.и.].
111. Яров, Ю. Ю. (2013). Обоснование схем поддерживающего лечения после дентальной имплантации. *Вісн. стоматології*, 4, 63-68.
112. Adel, M., Yamaguchi, T., Nadim, M., Tomita, D., Hikita, Y., Nakawaki, T., ... Maki, K. (2016). Evaluation of the craniofacial morphology of Egyptian adults undergoing orthodontic treatment. *Dentistry*, 6(379), 2161-1122.
113. Aggarwal, I., & Singla, A. (2016). Soft tissue cephalometric analysis applied to Himachali ethnic population. *Indian Journal of Dental Sciences*, 8(3), 124.
114. Al Jeshi, A., Al-Mulla, A., & Ferguson, D. J. (2014). Orthodontic treatment need in Dubai school adolescents: a study of 20,000 school-age adolescents in 66 public and private schools comparing orthodontic treatment need by gender and ethnicity. *Oral health and dental management*, 13(3), 857-865.
115. Alam, M. K., Shahid, F., Purmal, K., Sikder, M. A., & Saifuddin, M. (2015). Human Mesiodistal Tooth Width Measurements and Comparison with Dental Cast in a Bangladeshi Population. *J. Contemp. Dent. Pract.*, 16(4), 299-303.
116. Al-Barakati, S. F. (2011). Soft tissue facial profile of adult Saudis. Lateral cephalometric analysis. *Saudi Med. J.*, 32(8), 836-842.

117. Alhashimi, N., Al Jawad, F. H. A., Al Sheeb, M., Al Emadi, B., Al-Abdulla, J., & Al Yafei, H. (2016). The prevalence and distribution of nonsyndromic hyperdontia in a group of Qatari orthodontic and pediatric patients. *European journal of dentistry*, 10(3), 392.
118. Allen, D., Rebellato, J., Sheats, R., & Ceron, A. M. (2003). Skeletal and Dental Contributions to Posterior Cross-bites. *Angle Orthodontist.*, 5, 515-524.
119. Almond, J. R., Leroux, B. G., Knight, D. J., & Ramsay, D. S. (1999). Craniofacial morphology and tooth wear: A longitudinal study of orthodontic patients. *Angle orthod.*, 69(1), 7-13.
120. Anari, S. (2017). Aesthetic dentistry Changing public perceptions. *British dental journal*, 223(6), 390.
121. Anderson, G., Fields, H. W., Beck, M., Chacon, G., & Vig, K. W. (2006). Development of Cephalometric Norms Using a Unified Facial and Dental Approach. *The Angle Orthodontist*, 76(4), 612-618.
122. Araya-Díaz, P., Ruz, G. A., & Palomino, H. M. (2013). Discovering craniofacial patterns using multivariate cephalometric data for treatment decision making in orthodontics. *Int. J. Morphol.*, 31(3), 1109-1115.
123. Arbutina, A., Savić, M. A., Davidović, M. U., & Radman, I. K. (2015). Orthodontic Diagnosis Based on Schwarz Analysis among the Population of Republika Srpska. *Serbian Dental Journal*, 62(4), 166-173.
124. Ata-Ali, F., Ata-Ali, J., Ferrer-Molina, M., Cobo, T., De Carlos, F., & Cobo, J. (2016). Adverse effects of lingual and buccal orthodontic techniques: A systematic review and meta-analysis. *American Journal of Orthodontics and Dentofacial Orthopedics*, 149(6), 820-829.
125. Atit, M. B., Deshmukh, S. V., Rahalkar, J., Subramanian, V., Naik, C., & Darda, M. (2013). Mean values of Steiner, Tweed, Ricketts and McNamara analysis in Maratha ethnic population: A cephalometric study. *APOS Trends in Orthodontics*, 3(5), 137.

126. Auconi, P., Scazzocchio, M., Cozza, P., McNamara J. A. Jr., & Franchi, L. (2014). Prediction of Class III treatment outcomes through orthodontic data mining. *European journal of orthodontics*, 37(3), 257-267.
127. Ballanti, F., Baldini, A., Ranieri, S., Nota, A., & Cozza, P. (2016). Is there a correlation between nasal septum deviation and maxillary transversal deficiency? A retrospective study on prepubertal subjects. *International journal of pediatric otorhinolaryngology*, 83, 109-112.
128. Bamber, M. A., Harris, M., & Natcher, C. (2001). A validation of two orthognathic model surgery techniques. *J. Orthod.*, 28, 135-142.
129. Banabilh, S. M., Suzina, A. H., Dinsuhaimi, S., Samsudin, A. R., & Singh, G. D. (2009). Dental arch morphology in south-east Asian adults with obstructive sleep apnoea: geometric morphometrics. *Journal of oral rehabilitation*, 36(3),184-192.
130. Barone, S., & Razionale, A. V. (2013). Creation of 3D multi-body orthodontic models by using independent imaging sensors. *Sensors*, 13(2), 2033-2050.
131. Bath-Balogh, M., & Fehrenbach, M. J. (2014). *Illustrated Dental Embryology, Histology, and Anatomy-E-Book*. Elsevier Health Sciences.
132. Bedoya, A., Osorio, J. C., & Tamayo, J. A. (2015). Dental Arch Size, Biting Force, Bizygomatic Width and Face Height in Three Colombian Ethnic Groups. *International Journal of Morphology*, 33(1), 55-61.
133. Bennett, J. C., & McLaughlin, R. P. (2014). *Fundamentals of orthodontic treatment mechanics*. Le Grande Publishing.
134. Berkovitz, K. B., Holland, G. R., & Moxham, B. J. (2016). *Oral anatomy, histology and embryology*. Elsevier Health Sciences.
135. Bontrager, K. L., & Lampignano, J. (2013). *Textbook of Radiographic Positioning and Related Anatomy-E-Book*. Elsevier Health Sciences.
136. Bora, M., Chokotiya, H., Banthia, A., Sharma, M., & Majumder, P (2015). Dental crowding and its ralationship to dental morphology in an ethnic population. *International Journal of Oral Care & Research*, 3(1), 63-67.

137. Cardoso, Mde. A., Castro, R. C., Li, A. T., Normando, D., Garib, D. G., & Capellozza, F. L. (2013). Prevalence of long face pattern in Brazilian individuals of different ethnic backgrounds. *Journal of Applied Oral Science*, 21(2), 150-156.
138. Cartwright, G., Wright, N. S., Vasuvadev, J., Akram, S., Huppa, C., Matthews, N. S., ... Cobourne, M. T. (2016). Outcome of combined orthodontic-surgical treatment in a United Kingdom university dental institute. *Journal of orthodontics*, 43(2), 94-101.
139. Cattaneo, C., Butti, A. C., & Bernini, S., Biagi, R., & Salvato, A. (2010). Comparative evaluation of the group of teeth with the best prediction value in the mixed dentition analysis. *Eur. J. Paediatr. Dent.*, 11(1), 23-29.
140. Celebi, A. A., Tan, E., Gelgor, I. E., Colak, T., & Ayyildiz, E. (2013). Comparison of soft tissue cephalometric norms between Turkish and European-American adults. *The Scientific World Journal*, 2013, 806203.
141. Chancy, U., Sequeira, P. S., & Jain, J. (2015). Ethnic variation of selected dental traits in Coorg. *Journal of forensic dental sciences*, 7(3), 180.
142. Chaushu, S., Becker, T., Becker, A. (2015). Impacted central incisors: factors affecting prognosis and treatment duration. *Am. J. Orthod. Dentofacial Orthop.*, 147(3), 355-362.
143. Chhajed, S., Kodumuru, S., Singh, G., Arun, A.V., Cholleti, S. K., & Kothari, S. (2014). Facial soft tissue cephalometric norms in a central Indian ethnic population. *Journal of Indian Orthodontic Society*, 48(1), 7.
144. Chiurapatya, L., Jaitly, A., Sesham, V., & Yelchuru, S. H. (2016). Evaluation of Composite Cephalometric Norms in South Indian Subjects. *Orthodontic Journal of Nepal*, 5(2), 25-27.
145. Coquerelle, M., Bayle, P., Bookstein, F. L., Braga, J., Halazonetis, D. J., Katina, S., & Weber, G. W. (2010). The association between dental mineralization and mandibular form: a study combining additive conjoint measurement and geometric morphometrics. *Journal of anthropological sciences= Rivista di antropologia: JASS*, 88, 129-150.

146. Cracel-Nogueira, F., & Pinho, T. (2013). Assessment of the perception of smile esthetics by laypersons, dental students and dental practitioners. *Int. Orthod.*, 11(4), 432-444.
147. Daraze, A., Delatte, M., Bou Saba, S., & Majzoub, Z. (2017). Craniofacial characteristics in the sagittal dimension: A cephalometric study in Lebanese young adults. *International orthodontics*, 15(1), 114-130.
148. Di Venere, D., Gaudio, R. M., Laforgia, A., Stefanachi, G., Tafuri, S., Pettini, F., ... Corsalini, M. (2016). Correlation between dento-skeletal characteristics and craniomandibular disorders in growing children and adolescent orthodontic patients: retrospective case-control study. *ORAL & implantology*, 9(4), 175.
149. dos Santos, J. V. E., Lima, L. F. P., Vasconcelos, A. F. A., Vilela, H. M., & Rosenblatt, A. (2016). Orthodontic treatment needs in children and its relationship with gender, family income and ethnic groups. *Rev Cubana Estomatol*, 53(1), 19-27.
150. Eigbobo, J. O., Sote, E. O., & Oredugba, F. A. (2011). Variations of crown dimensions of permanent dentitions in a selected population of Nigerian children. *Nig. Q. J. Hosp. Med.*, 21(2), 163-168.
151. El-Zanaty, H. M., El-Beialy, A. R., Abou El-Ezz, A. M., Attia, K. H., El-Bialy, A. R., & Mostafa, Y. A. (2010). Three-dimensional dental measurements: an alternative to plaster models. *Am. J. Orthod. Dentofacial. Orthop.*, 137, 259-265.
152. Emes, Y., Oncu, B., Aybar, B., Al-Badri, N., İşsever, H., Atalay, B., & Yalçın, S. (2015). Measurement of the lingual position of the lower third molar roots using cone-beam computed tomography. *J. Oral Maxillofac. Surg.*, 73(1), 13-17.
153. English, J. D., Akyalcin, S., Peltomaki, T., & Litschel, K. (2014). *Mosby's Orthodontic Review-E-Book*. Elsevier Health Sciences.
154. Farias, A. C., Cangussu, M. C., Ferreira, R. F., & de Castellucci, M. (2013). Occlusal characteristics and orthodontic treatment need in black adolescents in

Salvador/BA (Brazil): an epidemiologic study using the Dental Aesthetics Index. *Dental press journal of orthodontics*, 18(1), 34, 1-8.

155. Fehrenbach, M. J., & Herring, S. W. (2015). *Illustrated Anatomy of the Head and Neck-E-Book*. Elsevier Health Sciences.

156. Fehrenbach, M. J., & Popowics, T. (2015). *Illustrated dental embryology, histology, and anatomy*. Elsevier Health Sciences.

157. Feldens, C. A., Nakamura, E. K., Tessarollo, F. R., & Closs, L. Q. (2014). Desire for orthodontic treatment and associated factors among adolescents in Southern Brazil. *The Angle Orthodontist*, 85(2), 224-232.

158. Fiorelli, G., & Melsen, B. (2017). Biomechanics in orthodontics. *American Journal of Orthodontics and Dentofacial Orthopedics*, 152(1), 134-135.

159. Fleming, P. S., Lee, R. T., Mcdonald, T., Pandis, N., & Johal, A. (2014). The timing of significant arch dimensional changes with fixed orthodontic appliances: data from a multicenter randomised controlled trial. *Journal of dentistry*, 42(1), 1-6.

160. Furtado, G. C., Furtado, A., Abu El Haje, O., Butignon, L. E., Pesqueira, A. A., & Paranhos, L. R. (2014). Relationship between the morphology of the maxillary central incisor and horizontal and vertical measurements of the face. *Indian. J. Dent. Res.*, 25(2), 178-183.

161. Fuyamada, M., Shibata, M., Nawa, H., Yoshida, K., Kise, Y., Katsumata, A., ... Goto, S. (2014). Reproducibility of maxillofacial landmark identification on three-dimensional cone-beam computed tomography images of patients with mandibular prognathism: comparative study of a tentative method and traditional cephalometric analysis. *The Angle Orthodontist*, 84(6), 966-973.

162. Gandhi, V., Mehta, F., & Joshi, H.. (2017). Treatment of class II malocclusion and impacted canines with two-phase orthodontic treatment. *Contemporary clinical dentistry*, 8(1), 161.

163. Gibelli, D., Cappella, A., Cerutti, E., Spagnoli, L., Dolci, C., & Sforza, C. (2015). How frequent is ponticulus posticus in italian people? A lateral

cephalometric study in an orthodontic population. *Italian Journal of Anatomy and Embryology*, 120(1), 34.

164. Gibelli, D., Cappella, A., Cerutti, E., Spagnoli, L., Dolci, C., & Sforza, C. (2016). Prevalence of ponticulus posticus in a Northern Italian orthodontic population: a lateral cephalometric study. *Surgical and Radiologic Anatomy*, 38(3), 309-312.

165. Gosling, J. A., Harris, P. F., Humpherson, J. R., Whitmore, I., & Willan, P. L. T. (2016). *Human Anatomy, Color Atlas and Textbook E-Book*. Elsevier Health Sciences.

166. Graber, L. W., Vanarsdall Jr., R. L., & Vig, K. W. L. (2016). *Orthodontics-E-Book: Current Principles and Techniques*. Elsevier Health Sciences.

167. Grassia, V., D'Apuzzo, F., Ferrulli, V. E., Matarese, G., Femiano, F., & Perillo, L. (2014). Dento-skeletal effects of mixed palatal expansion evaluated by postero-anterior cephalometric analysis. *Eur. J. Paediatr. Dent.*, 15(1), 59-62.

168. Gulati, A., & Jain, S. (2013). Comparison of dentoskeletofacial cephalometric values of Malwa population of Madhya Pradesh with other racial and ethnic groups. *Journal of Pierre Fauchard Academy (India Section)*, 27(3), 95-101.

169. Gunas, I. V., Shinkaruk-Dykovytska, M. M., Kotsyura, O. O., Orlovskiy, V. O., Dmytrenko, S. V., Shayuk, A. V., & Glushak, A. A. (2017). Differences of craniotype distribution and types of face among apparently healthy men from different regions of Ukraine. *Folia Morphol.*, 76(3), 473-477.

170. Habib, S. R., Shiddi, I. A., Al-Sufyani, M. D., & Althobaiti, F. A. (2015). Relationship and inter observer agreement of tooth and face forms in a Saudi subpopulation. *J. Coll. Physicians Surg. Pak.*, 25(4), 276-280.

171. Hansen, J. T. (2014). *Netter's Clinical Anatomy E-Book*. Elsevier Health Sciences.

172. Haskell, B. S., & Segal, E. S. (2014). Ethnic and ethical challenges in treatment planning: dealing with diversity in the 21st century. *The Angle Orthodontist*, 84(2), 380-382.

173. Hassan, D. A., Abuaffan, A. H., & Hashim, H. A. (2014). Prevalence of hypodontia in a sample of Sudanese orthodontic patients. *Journal of orthodontic science*, 3(3), 63.
174. Healey, D. L., Gauld, R. D., & Thomson, W. M. (2015). The socio-demographic and malocclusion characteristics of adolescents presenting for specialist orthodontic treatment in New Zealand practices. *Australian orthodontic journal*, 31(1), 20.
175. Hedayati, Z., & Dashlibrun, Y. N. (2013). The prevalence and distribution pattern of hypodontia among orthodontic patients in Southern Iran. *European journal of dentistry*, 7(1), 78.
176. Heliövaara, A., Vuola, P., & Hukki, J. (2015). Craniofacial cephalometric morphology in 8-year-old children with operated sagittal synostosis. *Orthodontics & craniofacial research*, 18(1), 27-32.
177. Hermann, N. V., Darvann, T. A., & Kreiborg, S. (2017). Early post-natal development of the mandibular permanent first molar in infants with unilateral complete cleft lip and palate. *Orthodontics & craniofacial research*, 20(4), 196-201.
178. Hieu, L. C., Zlatov, N., Vander Sloten, J., Bohez, E., Khanh, L., Binh, P. H., ... Toshev, Y. (2005). Medical rapid prototyping applications and methods. *Assembly Automation*, 25,(4), 284-292.
179. Hourfar, J., Bister, D., Lisson, J. A., Goldbecher, C., & Ludwig, B. (2016). Vestibulo-Oral inclination of maxillary and mandibular canines and bicuspids - a CBCT investigation. *Head Face Med.*, 12(1), 22.
180. Huh, Y. J., Huh, K. H., Kim, H. K., Nam, S. E., Song, H. Y., Lee, J. H., & Park, Y. S. (2013). Constancy of the angle between the Frankfort horizontal plane and the sella-nasion line: A nine-year longitudinal study. *The Angle Orthodontist*, 84(2), 286-291.
181. Hussein, K. W., Rajion, Z. A., Hassan, R., & Noor, S. N. (2009). Variations in tooth size and arch dimensions in Malay schoolchildren // Aust. Orthod. J. – 2009. – № 25(2). – P. 163-168.

182. Huynh, N. T., & Almeida, F. R. (2016). Orthodontics treatments for managing obstructive sleep apnea syndrome in children: a systematic review and meta-analysis. *Sleep medicine reviews*, 25, 84-94.
183. Isa, Z. M., Tawfiq, O. F., Noor, N. M., Shamsudheen, M. I., & Rijal, O. M. (2010). Regression methods to investigate the relationship between facial measurements and widths of the maxillary anterior teeth. *J. Prosthet. Dent.*, 103(3), 182-188.
184. Ismail, K., Suhaimi, S. S., Abu Bakar, N., Mokhtar, K. I., & Kharuddin, A. F. (2017). Demographics Characteristics and Analysis of Malocclusions of Orthodontic Patients Seen at IIUM Dental Specialist Clinic, Kuantan, Pahang. *International Medical Journal Malaysia*, 16(2), 107-111.
185. Jan, A., Bangash, A. A., Adil, S., Shah Arhab, S., Khalid, Z., & Pasha, H. (2016). Comparison of Bolton ratio between two ethnic groups reporting to armed forces institute of dentistry (AFID) Rawalpindi. *Pakistan Armed Forces Medical Journal*, 66(1), 75-78.
186. Jeong, J. I., Kim, H. Y., Hong, S. D., Ryu, G., Kim, S. J., Lee, K. E., ... Chung, S. K. (2016). Upper Airway Variation and Frequent Alcohol Consumption Can Affect Compliance With Continuous Positive Airway Pressure. *Clinical and experimental otorhinolaryngology*, 9(4), 346.
187. Kalyani, K. R., Kumar, K. K., Sekhar, P. C., Reddy, G. S., Prasad, L. K., & Ramana Reddy, B. V. (2016). Analysis of palatal rugae patterns among two ethnic populations of Andhra Pradesh. *Journal of Dr. NTR University of Health Sciences*, 5(1), 44.
188. Kamiloglu, B., & Kelahmet, U. (2014). Prevalence of impacted and transmigrated canine teeth in a Cypriote orthodontic population in the Northern Cyprus area. *BMC Research notes*, 7(1), 346.
189. Kašparová, M., Procházka, A., Grajciarová, L., Yadollahi, M., Vyšata, Ol., & Dostálová, T. (2014). Evaluation of dental morphometrics during the orthodontic treatment. *Biomedical engineering online*, 13(1), 68.

190. Koch, B. L., Hamilton, B. E., Hudgins, P. A., & Harnsberger, H. R. (2016). *Diagnostic Imaging: Head and Neck E-Book*. Elsevier Health Sciences.
191. Kolokitha, O. E., & Topouzelis, N. (2011). Cephalometric methods of prediction in orthognathic surgery. *J. Maxillofac Oral Surg.*, 10(3), 236-245.
192. Koralakunte, P. R., & Budihal, D. H. (2012). A clinical study to evaluate the correlation between maxillary central incisor tooth form and face form in an Indian population. *J. Oral Sci.*, 54(3), 273-278.
193. Kotsyura, O. O. (2018). Modeling using regression analysis of linear sizes of molars depending on the cephalometric indices of practically healthy men of the Northern and Southern regions of Ukraine. *Biomedical and Biosocial Anthropology*, 30, 68-74.
194. Kotsyura, O. O. (2018). Regression models of individual linear sizes of molars depending on the features of cephalometric indices in practically healthy men of the Western and Eastern regions of Ukraine. *Reports of Morphology*, 24(1), 56-61.
195. Krishnan, V. (2017). Root Resorption with Orthodontic Mechanics: Pertinent Areas Revisited. *Australian dental journal*, 62(1), 71-77.
196. Kumar, S. K., Lakshmi, A. V., Namita, S., & Elumalai, M. (2013). Craniofacial morphologic variations and its association with hypodontia pattern (Anterior) in South Indian female population. *Biosci Biotechnol Res Asia*, 10, 325-328.
197. Kurnia, C., Susiana, S., & Husin, W. (2013). Facial indices in chinese ethnic students aged 20-22. *Journal of Dentistry Indonesia*, 19(1), 1-4.
198. Laganà, G., Masucci, C., Fabi, F., Bollero, P., & Cozza, P. (2013). Prevalence of malocclusions, oral habits and orthodontic treatment need in a 7-to 15-year-old schoolchildren population in Tirana. *Progress in orthodontics*, 14(1), 12.
199. Laniado, S. O., & Matthews, G. J. (2017). Children's orthodontic utilization in the United States: Socioeconomic and surveillance considerations. *American Journal of Orthodontics and Dentofacial Orthopedics*, 152(5), 672-678.

200. Lentini-Oliveira, D., Carvalho, F. R., Qingsong, Y., Junjie, L., Saconato, H., Machado, M. A., ... Prado, G. F. (2014). *Orthodontic and orthopaedic treatment for anterior open bite in children*. The Cochrane Library.
201. Leoni, G. B., Versiani, M. A., Pécora, J. D., & Damião de Sousa-Neto, M. (2014). Micro-computed tomographic analysis of the root canal morphology of mandibular incisors. *J. Endod.*, 40(5), 710-716.
202. Li, Q., Tak, C. M., Mimi, Y., Chew, W. H., Kelvin, W., & Chiong, F. (2017). Anomalies of permanent tooth number in three Asian ethnicities. *Australasian Orthodontic Journal*, 33(2), 212.
203. Liang, C., Liu, S., Liu, Q., Zhang, B., & Li, Z. (2014). Norms of McNamara's Cephalometric Analysis on Lateral View of 3D CT Imaging in Adults from Northeast China. *Journal of Hard Tissue Biology*, 23(2), 249-254.
204. Logan, B. M., Reynolds, P., Rice, S., & Hutchings, R. (2016). *McMinn's Color Atlas of Head and Neck Anatomy E-Book*. Elsevier Health Sciences.
205. Lombardo, L., Coppola, P., & Siciliani, G. (2015). Comparison of dental and alveolar arch forms between different ethnic groups. *International Orthodontics*, 13(4), 462-488.
206. Martin, C. A., Dieringer, B. M., & McNeil, D. W. (2017). Orthodontic Treatment completion and Discontinuation in a rural sample from north central appalachia in the Usa. *Frontiers in public health*, 5, 171.
207. Mavili, M. E., Canter, H. I., Saglam-Aydinatay, B., Kamaci, S., & Kocadereli, I. (2007). Use of three-dimensional medical modeling methods for precise planning of orthognathic surgery. *The Journal of Craniofacial Surgery*, 18(4), 740-747.
208. Merritt, J. M., Greenlee, G., Bollen, A. M., Scott, J. M., & Chi, D. L. (2016). Racial disparities in orthodontic service use for Medicaid-enrolled children: An evaluation of the Washington Medicaid program. *American Journal of Orthodontics and Dentofacial Orthopedics*, 149(4), 516-522.

209. Mohanty, P., Dany, S. S., Acharya, S. S., Sahoo, N., Das, S. K., Chatterjee, S., & Mohanty, D. (2016). Pattern of Malocclusion in Orthodontic Patients: A Multi Centre Study. *Journal of International Oral Health*, 8(12), 1105-1109.
210. Moreno Uribe, L. M., Howe, S. C., Kummet, C., Vela, K. C., Dawson, D. V., & Southard, T. E. (2014). Phenotypic diversity in white adults with moderate to severe Class II malocclusion. *American Journal of Orthodontics and Dentofacial Orthopedics*, 145(3), 305-316.
211. Mount, D. L. (2017). Atlas of Anatomy. *Plastic and Reconstructive Surgery*, 139(6), 1490.
212. Mulimani, P. S., Azmi, M. I. B., Jamali, N. R., Basir, N. N. B. M., & Soe, H. H. K. (2017). Occlusal characteristics and ethnic variations in Malaysian orthodontic patients. *Singapore Dental Journal*, 38, 71-77.
213. Nada, R. M., Maal, T. J., Breuning, K. H., Berge, S. J., Mostafa, Y. A., & Kuijpers-Jagtman, A. M. (2011). Accuracy and reproducibility of voxel based superimposition of cone beam computed tomography models on the anterior cranial base and the zygomatic arches. *PloS One*, 6, e16520.
214. Nanda, R. S. (2000). The contribution of craniofacial growth to clinical orthodontics. *American journal orthodontics and dentofacial orthopedics*, 117(5), 45-56.
215. Nazarali, N., Altalibi, M., Nazarali, S., Major, M. P., Flores-Mir, C., & Major, P. W. (2015). Mandibular advancement appliances for the treatment of paediatric obstructive sleep apnea: a systematic review. *European journal of orthodontics*, 37(6), 618-626.
216. Nelson, S. J. (2014). *Wheeler's Dental Anatomy, Physiology and Occlusion-E-Book*. Elsevier Health Sciences.
217. Netter, F. H. (2014). *Atlas of Human Anatomy, Professional Edition E-Book: including NetterReference. com Access with Full Downloadable Image Bank*. Elsevier Health Sciences.

218. Niazi, M., Najmi, Y., & Qadri, M. M. (2016). Frequency of cusp of carabelli in orthodontic patients reporting to Islamabad Dental Hospital. *Pakistan Orthodontic Journal*, 8(2), 85-88.
219. Norton, N. S. (2016). *Netter's Head and Neck Anatomy for Dentistry E-Book*. Elsevier Health Sciences.
220. Okunseri, C., Zheng, C., Steinmetz, C. N., Okunseri, E., & Szabo, A. (2017). Trends and racial/ethnic disparities in antibiotic prescribing practices of dentists in the United States. *Journal of public health dentistry*. doi: 10.1111/jphd.12245
221. Olate, S., Zaror, C., Blythe, J. N., & Mommaerts, M. Y. (2016). A systematic review of soft-to-hard tissue ratios in orthognathic surgery. Part III: Double jaw surgery procedures. *Journal of Cranio-Maxillofacial Surgery*, 44(10), 1599-1606.
222. Olive, R. (2014). Orthodontic and surgical management of impacted teeth [Book Review]. *Australian Orthodontic Journal*, 30(2), 243.
223. Oliveira, M. A., Venâncio, J. F., Raposo, L. H., Barbosa Júnior, N., & Biffi, J. C. (2015). Morphometric evaluation and planning of anticurvature filing in roots of maxillary and mandibular molars. *Braz. Oral Res.*, 29, 1-9.
224. Orlovskiy, V. O. (2017). Features relations computed tomography sizes of premolar teeth with cephalometric indicators of practically healthy men from northern and southern regions of Ukraine. *Biomedical and Biosocial Anthropology*, 29, 73-77.
225. Orlovskiy, V. O., Cherkasov, V. G., & Chaika, V. G. (2018). Features of correlations of computer-tomographic sizes of premolars with cephalometric indices of practically healthy men from the western and eastern regions of Ukraine. *Biomedical and Biosocial Anthropology*, 29, 36-42.
226. Orlovskiy, V. O., Shinkaruk-Dykovytska, M. M., & Gunas, I. V. (2018). Modeling using regression analysis of individual linear dimensions of premolars depending on cephalometric indicators of practically healthy men from different regions of Ukraine. *Вісник наукових досліджень*, 1, 90-95.

227. Ortu, E., Giannoni, M., Ortu, M., Gatto, R., & Monaco, A. (2014). Oropharyngeal airway changes after rapid maxillary expansion: the state of the art. *International journal of clinical and experimental medicine*, 7(7), 1632.
228. Pachêco-Pereira, C., Canto, G. De L., Major, P. W., & Flores-Mir, C. (2014). Variation of orthodontic treatment decision-making based on dental model type: A systematic review. *The Angle Orthodontist*, 85(3), 501-509.
229. Padilla, M., Tello, L., Moreno, F., Osorio, J. C., & Bedoya, A. (2013). Analysis of dental arch dimensions in three colombian ethnic groups. *Int. J. Morphol.*, 31(1), 100-106.
230. Pandey, V., Chandra, S., Dilip Kumar, H. P., Gupta, A., Bhandari, P. P., & Rathod, P. (2016). Impact of dental neglect score on oral health among patients receiving fixed orthodontic treatment: A cross-sectional study. *Journal of International Society of Preventive & Community Dentistry*, 6(2), 120.
231. Paredes, V., Tarazona, B., Zamora, N., Cibrian, R., & Gandia, J. L. (2015). New regression equations for predicting human teeth sizes. *Head Face Med.*, 11, 8.
232. Peikidis, E., Goren, A. D., Faber, R. D., Branets, I., Dauer, L. T., Quinn, B., & Colosi, D. (2016). A representative study of pediatric panoramic and cephalometric radiation exposure to organs of the head and neck. *J. Radiol. Imaging*, 1(6), 39-43.
233. Perez, S. I., & Gonzalez, P. N. (2006). Differences between sliding semi-landmark methods in geometric morphometrics, with an application to human craniofacial and dental variation. *Journal of anatomy*, 208(6), 769-784.
234. Piao, Y., Kim, S. J., Yu, H. S., Cha, J. Y., & Baik, H. S. (2016). Five-year investigation of a large orthodontic patient population at a dental hospital in South Korea. *The Korean Journal of Orthodontics*, 46(3), 137-145.
235. Price, K. E., & Fakhouri, W. D. (2016). Analysis of the relationship between micrognathia and cleft palate: a systematic review. *The Cleft Palate-Craniofacial Journal*, 53(2), 34-44.

236. Purmal, K., Alam, M. K., Moganadass, D. D., Zakariat, N. N., & Cheong, N. W. (2013). The application and correlation of Pont's Index to the facial framework of three main ethnic groups in Malaysia. *Australian orthodontic journal*, 29(1), 34.
237. Rankin, J. (2017). *Physiology in Childbearing E-Book: With Anatomy and Related Biosciences*. Elsevier Health Sciences.
238. Rizvi, H., & Hossain, Z. (2017). Cephalometric profile of Bangladeshis: Tweed's analysis. *APOS Trends in Orthodontics*, 7(3), 130.
239. Rizzo, D. C. (2015). *Fundamentals of anatomy and physiology*. Cengage Learning.
240. Rongo, R., D'Antò, V., Bucci, R., Polito, I., Martina, R., & Michelotti, A. (2017). Skeletal and dental effects of Class III orthopaedic treatment: a systematic review and meta-analysis. *Journal of Oral Rehabilitation*, 44(7), 545-562.
241. Sadek, S., Newton, T., & Sayers, M. (2015). How patient and carer expectations of orthodontic treatment vary with ethnicity. *Journal of orthodontics*, 42(3), 208-213.
242. Saidaloevich, M. S., Dushmanamedov, M. Z., & Murtazaev, S. S. (2015). Ethnic aspects of orthognathic bite. *European science review*, 7-8, 80-85.
243. Sandro, B., & Razonale, A. V. (2013). Creation of 3D multi-body orthodontic models by using independent imaging sensors. *Sensors*, 13(2), 2033-2050.
244. Santoroa, M., Jarjourab, K., Cangialosic, T. J. (2006). Accuracy of digital and analogue cephalometric measurements assessed with the sandwich technique. *American Journal of Orthodontics add Dentofacial Orthopedics*, 3, 345-351.
245. Schaefer, K., Lauc, T., Mitteroecker, P., Gunz, P., & Bookstein, F. L. (2006). Dental arch asymmetry in an isolated Adriatic community. *American Journal of Physical Anthropology*, 129(1), 132-142.
246. Shinkaruk-Dykovytska, M. M., Kotsyura, O. O., & Cherkasova, O. V. (2017). Features linear computed tomography sizes of large molar teeth and their

roots in practically healthy men from Ukraine with different types of faces. *Біжнік морфології*, 23(2), 323-327.

247. Shinkaruk-Dykovytska, M. M., Kotsyura, O. O., Tepla, T. O., Melnik, M. P., Chaika, V. G., Shepitko, K. V., & Lykhytskyi, O. M. (2018). Linear difference computed tomography size large molar teeth and their roots in healthy men from central regions of Ukraine with different types of face. *World of Medicine and Biology*, 1(63), 89-93.

248. Shinkaruk-Dykovytska, M. M., Orlovskiy, V. O., Gavrilyuk, A. O., Datsenko, G. V., & Zakalata, T. R. (2017). Differences in computer-tomographic size of premolar teeth and their roots in practically healthy men of different craniotypes, inhabitants of the central region of Ukraine. *World of Medicine and Biology*, 4(62), 104-107.

249. Singh, S., Deshmukh, S., Merani, V., & Rejintal, N. (2016). Mean values of Arnett's soft tissue analysis in Maratha ethnic (Indian) population - A cephalometric study. *Journal of International Society of Preventive & Community Dentistry*, 6(4), 327.

250. Slade, E. M. (2013). *Functional Data Analysis in Cephalometric Tracing and Mandibular Examination* (Diss.). <https://deepblue.lib.umich.edu/bitstream/handle/2027.42/98840/emslade.pdf;sequence=1>

251. Slavicek, G. (2011). *Cephalometrie*. Berlin: Steinbeis-Ed.

252. Solem, R. C. (2017). Utilizing three-dimensional data in orthodontic practice and research. *Orthodontics & craniofacial research*, 20(1), 114-118.

253. Sprenger, R., Martins, L. A. C., dos Santos, J. C. B., de Menezes, C. C., Venezian, G. C., & Degan, V. V. (2017). A retrospective cephalometric study on upper airway spaces in different facial types. *Progress in orthodontics*, 18(1), 25.

254. Sridhar, K., Arun, A. V., Karthikswamy, Kumar, P. K., Sudheer Kumar, C. H., & Pratap Verma, K. V. V. (2011). Morphometrics of permanent dentition in Chennai population. *Journal of Indian Orthodontic Society*, 45(3), 110.

255. Standring, S. (2015). *Gray's Anatomy E-Book: The Anatomical Basis of Clinical Practice*. Elsevier Health Sciences.

256. Streiff, B. J., Seneviratne, M., & Kingsley, K. (2015). Screening and Prevalence of the Novel Cariogenic Pathogen *Scardovia wiggisiae* among Adult Orthodontic and Non-Orthodontic Patient Saliva Samples. *International Journal of Dentistry and Oral Health*, 1(6), 1.
257. Stupar, I., Yetkiner, E., Attin, T., & Attin, R. (2016). Influence of Lateral Cephalometric Radiography on Treatment Planning and Preferences in Skeletal Open-Bite Patients: Do Lateral Cephalograms Influence Treatment Planning?. *Turkish J. Orthod.*, 29, 87-90.
258. Swennen, G. R. J., Barth, E., Eulzer, C., & Schutyser, F. (2007). The use of a new 3D splint and double CT scan procedure to obtain an accurate anatomic virtual augmented model of the skull. *International Journal of Oral & Maxillofacial Surgery*, 36(2), 146-152.
259. Swennen, G. R. J., Mommaerts, M. Y., Abeloos, J., De Clercq, C., Lamoral, P., Neyt, N., ... Schutyser, F. (2009). A cone-beam CT based technique to augment the 3D virtual skull model with a detailed dental surface. *International Journal of Oral and Maxillofacial Surgery*, 38(1), 48-57.
260. Tabachnick, G. B., & Fidell, L. S. (2014). *Using multivariate statistics* (6th ed.). Edinburgh: Pearson Education Limited.
261. Thakur, G., Singla, A., Jaj, H. S., Mahajan, V., Negi, P., & Justa, A. (2016). To evaluate relationship between craniofacial structures and nose in Himachali ethnic population. *Indian Journal of Dental Sciences*, 8(4), 193.
262. Tikku, T., Khanna, R., Maurya, R. P., Srivastava, K., & Bhushan, R. (2014). Comparative evaluation of cephalometric measurements of monitor-displayed images by Nemoceph software and its hard copy by manual tracing. *Journal of oral biology and craniofacial research*, 4(1), 35-41.
263. Torabinejad, M., Walton, R. E., & Fouad, A. (2014). *Endodontics-e-book: Principles and practice*. Elsevier Health Sciences.
264. Tu, Y.-K., & Pandis, N. (2013). Analyzing longitudinal orthodontic data. Part 1: Multilevel linear and curvilinear models. *American journal of orthodontics and dentofacial orthopedics*, 144(3), 481-486.

265. Tu, Y.-K., & Pandis, N. (2013). Analyzing longitudinal orthodontic data. Part 2: nonlinear growth models. *American journal of orthodontics and dentofacial orthopedics*, 144(4), 628-631.
266. Upadhyaya, C., & Kafle, D. (2016). Maxillary Canine Impactions in Orthodontic Patients: A Study. *Orthodontic Journal of Nepal*, 5(2), 17-19.
267. Urbizu, A., Ferré, A., Poca, M. A., Rovira, A., Sahuquillo, J., Martin, B. A., & Macaya, A. (2017). Cephalometric oropharynx and oral cavity analysis in Chiari malformation Type I: a retrospective case-control study. *Journal of neurosurgery*, 126(2), 626-633.
268. Wahab, R. M. A., Idris, H., Yacob, H., & Ariffin, S. H. Z. (2013). Cephalometric and malocclusion analysis of kadazan dusun ethnic orthodontic patients. *Sains Malaysiana*, 42(1), 25-32.
269. Walker, F., Ayoub, A. F., Moos, K. F., & Barbenel, J. (2008). Face bow and articulator for planning orthognathic surgery: 1 face bow. *British Journal of Oral & Maxillofacial Surgery*, 46(7), 567-572.
270. White, S. C., & Pharoah, M. J. (2014). *Oral Radiology-E-Book: Principles and Interpretation*. Elsevier Health Sciences.
271. Yadav, A. O., Walia, C. S., Borle, R. M., Chaoji, K. H., Rajan, R., & Datarkar, A. N. (2011). Cephalometric norms for Central Indian population using Burstone and Legan analysis. *Indian J. Dent. Res.*, 22(1), 28-33.
272. Yau, H.-T., & Chen, Y.-C. (2014). Tooth model reconstruction based upon data fusion for orthodontic treatment simulation. *Computers in biology and medicine*, 48, 8-16.
273. Zecca, P. A., Fastuca, R., Beretta, M., Caprioglio, A., & Macchi, A. (2016). Correlation assessment between three-dimensional facial soft tissue scan and lateral cephalometric radiography in orthodontic diagnosis. *International journal of dentistry*, 2016, 1-8.
274. Zhao, Q., Li, N., & Cao, J. (2015). Morphological features of maxillary anterior teeth in a sample of Chinese population. *Homo*, 66(5), 448-454.

275. Zilberman, O., Huggare, J. A., & Parikakis, K. A. (2003). Evaluation of the validity of tooth size and arch width measurements using conventional and three-dimensional virtual orthodontic models. *Angle Orthod.*, 73, 301-306.

ДОДАТКИ

Додаток А

Список публікацій здобувача за темою дисертації:

1. Шінкарук-Диковицька М. М. Регіональні та краніотипологічні відмінності кефалометричних показників у практично здорових чоловіків України / М. М. Шінкарук-Диковицька, О. О. Коцюра, В. О. Орловський // Вісник морфології. – 2016. – Т. 22, № 2. – С. 314-319.
2. Шінкарук-Диковицька М. М. Відмінності кефалометричних показників у практично здорових чоловіків України з різними типами обличчя / М. М. Шінкарук-Диковицька, О. О. Коцюра, В. О. Орловський // Світ медицини та біології. – 2016. – №4(58). – С. 82-87.
3. Коцюра О. О. Особливості лінійних комп'ютерно-томографічних розмірів великих кутніх зубів та їх коренів у практично здорових чоловіків із різних етнотериторіальних регіонів України / О. О. Коцюра // Вісник морфології. – 2017. – Т. 23, № 1. – С. 114-117.
4. Коцюра О. О. Комп'ютерно-томографічні розміри великих кутніх зубів та їх коренів у практично здорових чоловіків різних краніотипів / О. О. Коцюра // Biomedical and Biosocial Anthropology. – 2017. – № 28. – С. 78-81.
5. Шінкарук-Диковицька М. М. Відмінності лінійних комп'ютерно-томографічних розмірів великих кутніх зубів та їх коренів у практично здорових чоловіків центрального регіону України різних краніотипів / М. М. Шінкарук-Диковицька, О. О. Коцюра // Світ медицини та біології. – 2017. – №2(60). – С. 120-123.
6. Differences of craniotype distribution and types of face among apparently healthy men from different regions of Ukraine / I. V. Gunas, M. M.

Shinkaruk-Dykovytska, O. O. Kotsyura, V. O. Orlovskiy, S. V. Dmytrenko, A. V. Shayuk, A. A. Glushak // *Folia Morphol.* – 2017. – Vol.76, №3. – P. 473-477.

7. Shinkaruk-Dikovitska M. M. Features linear computed tomography sizes of large molar teeth and their roots in practically healthy men from Ukraine with different types of faces / M. M. Shinkaruk-Dikovitska, O. O. Kotsyura, O. V. Cherkasova // *Вісник морфології.* – 2017. – Т. 23, № 2. – С. 323-327.

8. Linear difference computed tomography size large molar teeth and their roots in healthy men from central regions of Ukraine with different types of face / M. M. Shinkaruk-Dykovytska, O. O. Kotsyura, T. O. Tepla, M. P. Melnik, V. G. Chaika, K. V. Shepitko, O. M. Lykhytskyi // *World of Medicine and Biology.* – 2018. – №1(63). – P. 89-93.

9. Kotsyura O. O. Modeling using regression analysis of linear sizes of molars depending on the cephalometric indices of practically healthy men of the Northern and Southern regions of Ukraine / O. O. Kotsyura // *Biomedical and Biosocial Anthropology.* – 2018. – № 30. – С. 68-74.

10. Kotsyura O. O. Regression models of individual linear sizes of molars depending on the features of cephalometric indices in practically healthy men of the Western and Eastern regions of Ukraine / O. O. Kotsyura // *Reports of Morphology.* – 2018. – Vol. 24, № 1. – P. 56-61.

11. Шінкарук-Диковицька М. М. Сучасні променеві та антропометричні методи дослідження в стоматології / М. М. Шінкарук-Диковицька, О. О. Коцюра, В. О. Орловський // *Вісник Вінницького національного медичного університету.* – 2012. – Т. 16, № 2. – С. 546-550.

12. Свідоцтво про реєстрацію авторського права на твір. Комп'ютерна програма «TeethNorm» для визначення індивідуальних метричних характеристик великих кутніх зубів в залежності від кефалометричних показників чоловіків із різних регіонів України / О. О. Коцюра, М. П. Костенко. – № 90674; заявл. 11. 05.2019, № 89443, опубл. 06.06.2019.

Наукові праці, які засвідчують апробацію матеріалів дисертації:

13. Шінкарук-Диковицька М. М. Лінійні розміри молярів та премолярів та їх зв'язок з показниками кефалометрії / М. М. Шінкарук-Диковицька, О. О. Коцюра, В. О. Орловський // «Інноваційні технології в стоматології» : збірник матеріалів науково-практичної конференції (м. Тернопіль, 23 вересня 2016 р.). – Тернопіль: ДВНЗ «Тернопільський державний медичний університет імені І. Я. Горбачевського МОЗ України». – С. 54-56.

14. Коцюра О. О. Відмінності розподілу краніотипів в практично здорових чоловіків із різних регіонів України / О. О. Коцюра // Матеріали науково-практичної конференції з міжнародною участю присвяченої 60-ти річчю ДВНЗ «Тернопільський державний медичний університет імені І. Я. Горбачевського МОЗ України» (м. Тернопіль, 1-2 червня 2017 р.). – Тернопіль: ДВНЗ «Тернопільський державний медичний університет імені І. Я. Горбачевського МОЗ України». – С. 97-99.

15. Коцюра О. О. Показники лінійних комп'ютерно-томографічних розмірів великих кутніх зубів в залежності від краніотипологічних особливостей у практично здорових чоловіків України / О. О. Коцюра // «Прикладні аспекти морфології» : матеріали науково-практичної конференції присвяченої пам'яті професорів-морфологів Терентьєва Г. В., Роменського О. Ю., Когана Б. Й., Шапаренка П. П., Жученка С. П. / за редакцією академіка НАМН України, професора В. М. Мороза, чл.-кор. НАМН України, професора Ю. Б. Чайковського, професора В. Г. Черкасова, професора М. А. Волошина, професора В. І. Півторака (м. Вінниця, 21-22 вересня 2017р.). – Вінниця: друкарня «Тези», 2017. – С. 124-125.

16. Коцюра О. О. Регресійний аналіз як метод моделювання лінійних розмірів великих кутніх зубів в залежності від кефалометричних показників у практично здорових чоловіків із різних регіонів України / О. О. Коцюра // «Актуальні проблеми сучасної ортопедичної стоматології» : матеріали Всеукраїнської науково-практичної конференції (м. Вінниця, 10-11 травня 2019р.). – Вінниця, ТОВ «ТВОРИ», 2019. – С. 36-37.

17. Коцюра О. О. Регресійні моделі КТ-розмірів великих кутніх зубів у чоловіків центрального регіону України в залежності від особливостей кефалометричних показників / О. О. Коцюра // Матеріали науково-практичної конференції з міжнародною участю «Ternopil dental summit» (м. Тернопіль, 23-24 травня 2019 р.). – Тернопіль: ДВНЗ «Тернопільський державний медичний університет імені І. Я. Горбачевського МОЗ України». – С. 94-96.

Апробація результатів дисертації:

- науково-практичній конференції з міжнародною участю присвяченої 75-річчю з дня народження професора В. І. Проняєва «Актуальні питання клінічної анатомії та оперативної хірургії» (м. Чернівці, 24-25 березня 2016) – стендова доповідь;
- науково-практичній конференції «Інноваційні технології в стоматології» (м. Тернопіль, 23 вересня 2016) – стендова доповідь і публікація;
- науково-практичній конференції з міжнародною участю присвяченої 60-ти річчю ДВНЗ «Тернопільський державний медичний університет імені І. Я. Горбачевського МОЗ України» «Ternopil Dental Summit» (м. Тернопіль, 1-2 червня 2017) – стендова доповідь і публікація;
- науково-практичній конференції присвяченої пам'яті професорів-морфологів Г. В. Терентьєва, О. Ю. Роменського, Б. Й. Когана, П. П. Шапаренка, С. П. Жученка «Прикладні аспекти морфології» (м. Вінниця, 21-22 вересня 2017) – усна доповідь і публікація;
- науково-практичній конференції з міжнародною участю присвяченої 60-річчю від дня народження професора Ю. Т. Ахтемійчука «Індивідуальна анатомічна мінливість органів та структур організму в онтогенезі» (м. Чернівці, 13-15 вересня 2018) – стендова доповідь;
- науково-практичній конференції з міжнародною участю «Актуальні питання морфогенезу та ре моделювання тканин і органів у нормі та патології» (м. Тернопіль, 20-21 вересня 2018) – усна доповідь;

- Всеукраїнській науково-практичній конференції «Актуальні проблеми сучасної ортопедичної стоматології» (м. Вінниця, 10-11 травня 2019) – усна доповідь і публікація;
- науково-практичній конференції з міжнародною участю «Тернопіль Dental Summit» (м. Тернопіль, 23-24 травня 2019) – стендова доповідь і публікація.

Додаток Б1



«ЗАТВЕРДЖУЮ»
 Професор з науково-педагогічної (навчальної)
 роботи Вінницького національного медичного
 університету ім. М.І. Пирогова
 д.мед.н., професор Гумінський Ю. Й.
 05 2019 р.

АКТ ВПРОВАДЖЕННЯ

Назва роботи: «Лінійні розміри великих кутніх зубів та їх зв'язок із показниками кефалометрії у практично здорових чоловіків із різних регіонів України»

1.Автор: Коцюра Ольга Олександрівна, старший викладач кафедри ортопедичної стоматології Вінницького національного медичного університету ім. М. І. Пирогова.

2.Пропозиція для впровадження: При порівнянні міжрегіональних відмінностей кефалометричних показників у практично здорових чоловіків із різних регіонів України встановлено, що найбільша довжина голови, довжина, глибина і висота носа, висота верхньої частини обличчя, відстань між назіон та міжрізцевою точкою, міжчонною шириною у чоловіків східного, північного та центрального регіонів достовірно більша або має тенденції до більших значень порівняно з чоловіками західного і південного регіонів. Як в загальній групі чоловіків, так і у представників центрального регіону України в напрямку гіпербрахіцефалія < брахіцефалія < мезоцефалія < доліхоцефалія відмічається збільшення найбільшого обхвата голови, поперечної і сагітальної дуги, найбільшої довжини голови, висоти лоба, фізіологічної довжини обличчя, довжини, висоти і глибини носа, відстані між назіон та міжрізцевою точкою та міжчонною шириною. І, навпаки, у напрямку доліхоцефалія < мезоцефалія < брахіцефалія < гіпербрахіцефалія відмічається збільшення найбільшої і найменшої ширини голови і середньої ширини обличчя.

3. Актуальність дослідження: Кефалометричні дані пацієнта є одним із основних способів діагностики патології зубощелепної системи, оцінки саморегуляції, росту щелепно-лицевої ділянки та контролю за лікуванням. Міжрегіональні відмінності процесів росту і розвитку мозкового відділу черепа і лицьового скелета, або окремих їх частин, пояснюються впливом територіально-специфічних несприятливих екологічних впливів, дефіциту в біосфері макро- і мікроелементів, ендокринно-обмінних порушень, спадкових навантажень та різноманітних місцевих факторів. Відмінності кефалометричних показників у практично здорових чоловіків із різних регіонів України та різних краніотипів майже не вивчалися.

4. Установа-розробник: Вінницький національний медичний університет ім. М. І. Пирогова.

5. Джерело інформації: Шінкарук-Диковицька М. М. Регіональні та краніотипологічні відмінності кефалометричних показників у практично

здорових чоловіків України / М. М. Шінкарук-Диковицька, О. О. Коцюра, В. О. Орловський // Вісник морфології. – 2016. – Т. 22, №2. – С. 314-319.

Differences of craniotype distribution and types of face among apparently healthy men from different regions of Ukraine / I. V. Gunas, M. M. Shinkaruk-Dykovytska, O. O. Kotsyura, V. O. Orlovskiy, S. V. Dmytrenko, A. V. Shayuk, A. A. Glushak // Folia Morphol. – 2017. – Vol.76, №3. – P. 473-477.

6. Ким і коли впроваджено: кафедра анатомії людини Вінницького національного медичного університету ім. М. І. Пирогова.

Початок впровадження: травень 2019 р.

Затверджено на засіданні кафедри анатомії людини Вінницького національного медичного університету ім. М. І. Пирогова.

Протокол засідання кафедри № 16 від 8 травня 2019 р.

7. Форма впровадження: результати дослідження впроваджено у навчальний процес та лекційний курс.

8. Соціально-економічний ефект: Використання результатів наукових досліджень у навчальному процесі дозволяє розширити знання студентів щодо регіональних відмінностей кефалометричних показників у чоловіків із різними краніотипами.

9. Зауваження, пропозиції: не вносилися.

Завідувач кафедри анатомії людини
Вінницького національного
медичного університету ім. М. І. Пирогова,
доктор медичних наук, професор



Тихолаз В.О.

Додаток Б2



«ЗАТВЕРДЖУЮ»

Проректор

науково-педагогічної (навчальної) роботи

Вінницького національного медичного

університету ім. М.І.Пирогова

д.мед.н., професор Гумінський Ю. Й.

19.04.2019 р.

АКТ ВПРОВАДЖЕННЯ

Назва роботи: «Лінійні розміри великих кутніх зубів та їх зв'язок із показниками кефалометрії у практично здорових чоловіків із різних регіонів України»

1. Автор: Коцюра Ольга Олександрівна, старший викладач кафедри ортопедичної стоматології Вінницького національного медичного університету ім. М. І. Пирогова.

2. Пропозиція для впровадження: Вперше у практично здорових чоловіків із центрального регіону України встановлені особливості відмінностей комп'ютерно-томографічних розмірів великих кутніх зубів в залежності від типу обличчя. Найбільш виражені відмінності розмірів великих кутніх зубів встановлені на нижній щелепі для висоти коронки, мезіо-дистальних розмірів коронки і шийки, а також довжини ближнього і дальнього кореня правого і лівого перших та лівого другого зубів.

3. Актуальність дослідження: Щоб попередити розвиток рецидиву та отримати гарні функціонально-естетичні показники, необхідно гармонійне поєднання вестибуло-оральних, мезіо-дистальних розмірів зубів, висоти і форми їх коронки. Вони важливі для визначення естетичної характеристики зубів, так і встановлення їх етнічних особливостей.

4. Установа-розробник: Вінницький національний медичний університет ім. М. І. Пирогова .

5. Джерела інформації:

Коцюра О.О. Особливості лінійних комп'ютерно-томографічних розмірів великих кутніх зубів та їх коренів у практично здорових чоловіків із різних етно-територіальних регіонів України \ О.О.Коцюра \ Вісник морфології. – 2017. – Т. 23. № 1. – С. 114-117.

Linear difference computed tomography size large molar teeth in healthy men from central regions of Ukraine /М. М. Shinkaruk-Dykovytska, О. О. Kotsyura, Т. О. Tepla, М. Р. Melnik, V. G. Chaika, К. V. Shepitko, О. М. Lykhytskyi //Світ медицини та біології.– 2018. – № 1(63). – С. 89-93.

6. Ким і коли впроваджено: кафедра ортопедичної стоматології, Вінницький національний медичний університет ім. М.І.Пирогова.

Початок впровадження : квітень 2019 р.

Затверджено на засіданні кафедри ортопедичної стоматології ВНМУ ім. М.І. Пирогова

Протокол засідання кафедри № 7 від 19.04 2019 р.

7. Форма впровадження: результати дослідження впроваджено у навчальний процес та лекційний курс.

8. Соціально-економічний ефект: покращення підготовки молодих спеціалістів.


9. Зауваження, пропозиції: не вносилися.

Завідувач кафедри ортопедичної стоматології
Вінницького національного
медичного університету імені М.І. Пирогова,
кандидат медичних наук, доцент

Беляєв Е.В.

Додаток БЗ

«Затверджую»

Проректор з науково-педагогічної роботи
 Національного медичного університету імені О.О. Богомольця
 професор 
 « 07 » _____ Черенко Т.М.
 2017 р.



АКТ ВПРОВАДЖЕННЯ

Назва роботи: «Лінійні розміри великих кутніх зубів та їх зв'язок із показниками кефалометрії у практично здорових чоловіків із різних регіонів України»

1. Автор: Коцюра Ольга Олександрівна, асистент кафедри ортопедичної стоматології Вінницького національного медичного університету ім. М.І. Пирогова.

2. Пропозиція до впровадження: У практично здорових чоловіків із різних регіонів України вперше встановлено збільшення найбільшої і найменшої ширини голови, ширини обличчя, середньої ширини обличчя, ширини ротової щілини, довжини тіла нижньої щелепи справа і зліва у напрямку дуже вузьке обличчя → вузьке обличчя → середнє обличчя → широке обличчя та зменшення висоти лоба, фізіологічної довжини обличчя, довжини, висоти і глибини носа, висоти верхньої частини обличчя, відстані між назіон та міжрізцевою точкою і морфологічної довжини обличчя. Також підтверджено процеси граціалізації чоловічого населення в різних регіонах України.

3. Актуальність дослідження: Незаперечно, основним методом вивчення естетики обличчя в процесі ортодонтичного лікування є кефалометричне дослідження голови, яке включає вивчення її параметрів, типу обличчя і розміру окремих його частин. Порівняння отриманих даних з етнічною, регіональною, віковою, статевою і індивідуальною нормою дозволяє визначити наявність та вираженість функціональних і морфологічних порушень зубощелепної системи і вибрати раціональний метод їх лікування.

4. Установа-розробник: Вінницький національний медичний університет ім. М.І. Пирогова.

5. Джерела інформації:

Шінкарук-Диковицька М. М. Відмінності кефалометричних показників у практично здорових чоловіків України з різними типами обличчя / М. М. Шінкарук-Диковицька, О. О. Коцюра, В. О. Орловський // Світ медицини та біології. – 2016. – №4(58). – С. 82-87.

Differences of craniotype distribution and types of face among apparently healthy men from different regions of Ukraine / I. V. Gunas, M. M. Shinkaruk-Dykovytska, O. O. Kotsyura, V. O. Orlovskiy, S. V. Dmytrenko, A. V. Shayuk, A. A. Glushak // Folia Morphol. – 2017. – Vol.76, №3. – P. 473-477.

6. Ким і коли впроваджено: кафедра анатомії людини Національного медичного університету імені О.О. Богомольця

Початок впровадження: листопад 2017 р.

Протокол засідання кафедри № 12 від 07.11 2017р.

7. Форма впровадження: результати дослідження впроваджено у навчальний процес та лекційний курс.

8. Соціально-економічний ефект: покращення підготовки молодих спеціалістів.

Відповідальний за впровадження:

Завідувач кафедри анатомії людини,

Заслужений діяч науки і техніки України,

д.мед.н., проф.




В.Г. Черкасов



Додаток Б4

«Затверджую»

Перший проректор з науково-педагогічної роботи
Львівського національного медичного університету
імені Данила Галицького
член-кор. НАМН України
професор  Гжегоцький М.В.

« 30 » 08 2019 р.



АКТ ВПРОВАДЖЕННЯ

Назва роботи: «Лінійні розміри великих кутніх зубів та їх зв'язок із показниками кефалометрії у практично здорових чоловіків із різних регіонів України»

1. Автор: Коцюра Ольга Олександрівна, старший викладач кафедри ортопедичної стоматології Вінницького національного медичного університету ім. М. І. Пирогова.

2. Пропозиція до впровадження: У практично здорових чоловіків України із середнім типом обличчя на верхній щелепі в більшості випадків встановлені менші значення наступних розмірів великих кутніх зубів: мезіо-дистального розміру коронки зубів, ніж у представників із широким та вузьким типами обличчя, мезіо-дистального розміру шийки правого другого зуба, ніж у представників із широким обличчям, висоти коронки правого і лівого перших зубів, ніж у представників із вузьким та дуже вузьким обличчям, довжини піднебінного кореня правого другого зуба, ніж у представників із широким типом обличчя; а у чоловіків із дуже вузьким обличчям встановлені менші значення - мезіо-дистального розміру шийки правого і лівого других зубів, ніж у представників із широким обличчям, мезіо-дистального розміру коронки правого другого зуба, ніж у представників із широким обличчям та довжини присінкового дальнього кореня правого другого зуба, ніж у представників із вузьким та середнім типами обличчя. На нижній щелепі у чоловіків із середнім типом обличчя в більшості випадків встановлені менші значення наступних розмірів великих кутніх зубів: висоти правого і лівого других зубів, ніж у представників із дуже вузьким та вузьким обличчям, довжини дальнього кореня правого і лівого других зубів, ніж у представників із широким, дуже вузьким та вузьким типами обличчя, довжини ближнього кореня лівого другого зуба, ніж у представників із дуже вузьким обличчям, присінково-язикового розміру коронки правого і лівого других зубів, ніж у представників із широким типом обличчя.

3. Актуальність дослідження: Дослідники, що займаються вивченням форми черепа і обличчя, однак в думці про значний її вплив на розміри зубів. Це робить можливими виділення груп ризику виникнення, патології великих кутніх зубів з урахуванням особливостей будови зубощелепної системи у осіб з певним краніотипом або типом обличчя. Для підвищення ефективності ортодонтичного лікування необхідне поглиблене комплексне вивчення одонтологічного типу у представників різних адміністративно-територіальних регіонів України з урахуванням історично сформованих генетичних особливостей будови зубощелепної системи у взаємозв'язку з параметрами краніо-фасіального комплексу.

4. Установа розробник: Вінницький національний медичний університет ім. М.І. Пирогова

5. Джерела інформації:

Коцюра О.О. Комп'ютерно-томографічні розміри великих кутніх зубів та їх коренів у практично здорових чоловіків різних краніотипів. \ О.О.Коцюра \ Biomedical and Biosocial Anthropology. – 2017. – № 28. – С. 78-81.

Features linear computed tomography sizes of large molar teeth and their roots in practically healthy men from Ukraine with different types of faces. / M. Shinkaruk-Dikovitska, O. Kotsyura, O. Cherkasova // Вісник морфології. – 2017. – Т.23. №2. – С.323-327.

6. Ким і коли впроваджено: кафедра нормальної анатомії Львівського національного медичного університету імені Данила Галицького.

Початок впровадження: березень 2019 р.

Протокол засідання кафедри № 1 від 30 серпня 2019 р.

7. Форма впровадження: результати дослідження впроваджено у навчальний процес та лекційний курс.

8. Соціально-економічний ефект: покращення підготовки молодих спеціалістів.

Відповідальний за впровадження:

Завідувач кафедри нормальної анатомії,
д.мед.н., проф.

Л.Р. Матешук-Вацеба

Додаток Б5

«Затверджую»

Проректор з наукової роботи
Тернопільського національного
медичного університету імені

І. Я. Горбачевського МОЗ України»

Професор _____ Кліщ І.М.

«_____» 2019 р.

АКТ ВПРОВАДЖЕННЯ

Назва роботи: «Лінійні розміри великих кутніх зубів та їх зв'язок із показниками кефалометрії у практично здорових чоловіків із різних регіонів України»

1. Автор: Коцюра Ольга Олександрівна, старший викладач кафедри ортопедичної стоматології Вінницького національного медичного університету ім. М. І. Пирогова.

2. Пропозиція до впровадження: Вперше у практично здорових чоловіків України в залежності від регіональної приналежності встановлені особливості лінійних комп'ютерно-томографічних розмірів великих кутніх зубів та їх коренів. В напрямку південь - північ - схід - захід - центр відмічається збільшення вертикальних параметрів коронки перших і других великих кутніх зубів (довжина і висота коронки зубів, довжина зуба); зменшення поперечних параметрів коронки перших і других великих кутніх зубів (присінково-язиковий і мезіо-дистальний розміри коронки і шийки зубів); зменшення поздовжніх розмірів коренів зубів (довжина піднебінного і дистально-щічного коренів великих кутніх зубів верхньої щелепи та медіального і дистального коренів великих кутніх зубів нижньої щелепи). Між чоловіками західного і східного регіонів встановлені лише поодинокі тенденції відмінностей, а між чоловіками центрального та західного і східного регіонів не встановлено жодних достовірних відмінностей зазначених лінійних показників великих кутніх зубів.

3. Актуальність дослідження: Сучасна відновна та естетична стоматологія накопичила величезний арсенал технік і методик відновлення втрачених або зруйнованих зубів і коренів. Проте, питанню їх розмірів та етнічних і популяційних особливостей сучасна стоматологія приділяє недостатньо уваги. Реставрація часто проводиться не лише індивідуально, але й керуючись естетичними уподобаннями стоматолога або зубного техника. Сплановане нами дослідження регіональних варіацій розмірів великих кутніх зубів і їх кореневої системи полягатиме у детальному їх вивченні з використанням такого уніфікованого методу дослідження, як комп'ютерна-томографія, з подальшою математичною обробкою результатів, що забезпечить можливість застосувати наукові дані в практиці.

4. Установа розробник: Вінницький національний медичний університет ім. М.І. Пирогова

5. Джерела інформації:

Шінкарук-Диковицька М. М. Сучасні променеві та антропометричні методи дослідження в стоматології / М. М. Шінкарук-Диковицька, О. О. Коцюра, В. О.

Орловський // Вісник Вінницького національного медичного університету. – 2012. – Т. 16, № 2. – С. 546-550.

Коцюра О.О. Особливості лінійних комп'ютерно-томографічних розмірів великих кутніх зубів та їх коренів у практично здорових чоловіків із різних етно-територіальних регіонів України \ О.О.Коцюра \ Вісник морфології. – 2017. – Т. 23, № 1. – С. 114-117.

6. Ким і коли впроваджено: кафедра анатомії людини ДВНЗ «Тернопільський державний медичний університет імені І. Я. Горбачевського МОЗ України»

Початок впровадження: червень 2019 р.

Протокол засідання кафедри № 7 від 27 серпня 2019 р.

7. Форма впровадження: результати дослідження впроваджено у навчальний процес та лекційний курс.

8. Соціально-економічний ефект: покращення підготовки молодих спеціалістів.

Відповідальний за впровадження:
Завідувач кафедри анатомії людини,
д.мед.н., проф.

І. Є. Герасимюк

Додаток Б6

Затверджую
Проректор з науково-педагогічної роботи
Вищого державного навчального
закладу України “Буковинський державний
медичний університет”
дон. 02010974 І.В. Геруш
2019 р.

**АКТ ВПРОВАДЖЕННЯ**

Пропозиція для впровадження: «Лінійні розміри великих кутніх зубів та їх зв'язок із показниками кефалометрії у практично здорових чоловіків із різних регіонів України».

Установа-розробник: Вінницький національний медичний університет ім. М. І. Пирогова, старший викладач кафедри ортопедичної стоматології Коцюра Ольга Олександрівна.

Джерела інформації:

1. Шінкарук-Диковицька М.М. Відмінності лінійних комп'ютерно-томографічних розмірів великих кутніх зубів та їх коренів у практично здорових чоловіків центрального регіону України різних краніотипів / М.М. Шінкарук-Диковицька, О.О. Коцюра // Світ медицини та біології. – 2017. – № 2(60). – С.120-123.

2. Linear difference computed tomography size large molar teeth in healthy men from central regions of Ukraine /M. M. Shinkaruk-Dykovytska, O. O. Kotsyura, T. O. Tepla, M. P. Melnik, V. G. Chaika, K. V. Shepitko, O. M. Lykhytskyi // Світ медицини та біології.– 2018. – № 1(63). – С. 89-93.

Базова установа, яка проводить впровадження: кафедра анатомії, топографічної анатомії та оперативної хірургії Вищого державного навчального закладу України “Буковинський державний медичний університет”.

Термін впровадження: вересень-жовтень 2019 року.

Форми впровадження: введено у навчальний процес – у матеріали лекцій та практичних занять з анатомії, топографічної анатомії та оперативної хірургії. Затверджено на засіданні кафедри (протокол № 2 від 03.09.2019 р.).

**Завідувач кафедри анатомії,
клінічної анатомії та оперативної
хірургії Вищого державного
навчального закладу України
“Буковинський державний
медичний університет”,
доктор медичних наук, професор**

О.М. Слободян

Додаток В

Кореляції комп'ютерно-томографічних лінійних розмірів великих кутніх зубів та їх коренів із кефалометричними показниками чоловіків із різних адміністративно-територіальних регіонів України.

В таблицях додатку:

ВКЗ – великий кутній зуб;

16- – верхній правий перший ВКЗ;

17- – верхній правий другий ВКЗ;

26- – верхній лівий перший ВКЗ;

27- – верхній лівий другий ВКЗ;

36- – нижній лівий перший ВКЗ;

37- – нижній лівий другий ВКЗ;

46- – нижній правий перший ВКЗ;

47- – нижній правий другий ВКЗ;

AL_AL – ширина основи носа (відстань між алярними точками);

CHI_CHI – ширина ротової щілини;

DUG_AUAU – поперечна дуга;

DUG_GOP – найбільший обхват голови;

DUGS_GOP – сагітальна дуга;

EK_EK – зовнішньоочна ширина (біорбітальна ширина);

EU_EU – найбільша ширина голови (потиличний діаметр);

FMT_FMT – найменша ширина голови (лобовий діаметр);

G_OP – найбільша довжина голови;

GO_GO – ширина нижньої щелепи, або ширина між кутами нижньої щелеп;

HRZ1 – довжина піднебінного кореня верхніх ВКЗ;

HRZ2 – довжина присінкового ближнього кореня верхніх ВКЗ;

HRZ3 – довжина присінкового дальнього кореня верхніх ВКЗ;

HRZ4 – довжина ближнього кореня нижніх ВКЗ;

HRZ5 – довжина дальнього кореня нижніх ВКЗ;
HZ – висота відповідного зуба;
IN_GARS – морфологічний індекс Гарсона;
KRANIO – черепний показчик;
LGO_GN – довжина тіла нижньої щелепи зліва;
MD_K – мезіо-дистальний розмір коронки;
MD_S – мезіо-дистальний розмір шийки;
MF_MF – міжочноямкова ширина (передня міжорбітальна ширина);
N_GN – морфологічна довжина обличчя;
N_I – відстань між назіон та міжрізцевою точкою;
N_PRN – довжина носа;
N_SN – висота носа;
N_STO – висота верхньої частини обличчя;
RGO_GN – довжина тіла нижньої щелепи справа;
SN_PRN – глибина носа;
TIP_GOL – краніотип;
TIP_LICA – тип обличчя;
TR_GN – фізіологічна довжина обличчя;
TR_N – висота лоба;
VO_K – присінково-язиковий розмір коронки;
VO_S – присінково-язиковий розмір шийки;
ZM_ZM – середня ширина обличчя;
ZY_ZY – ширина обличчя, це відстань між виличними точками;
жирним – виділені достовірні кореляції;
підкресленням – виділені недостовірні середньої сили кореляції.

Таблиця В.1

**Кореляції розмірів ВКЗ із кефалометричними показниками мозкового
черепа чоловіків північного регіону України (n=10-32).**

	DUG_	DUG_	DUGS_	G_OP	EU_EU	FMT_	KRANIO	TIP_
1	GOP	AUAU	GOP			FMT		GOL
	2	3	4	5	6	7	8	9
17HZ	0,36	0,29	0,07	0,25	0,39	0,16	0,17	0,12
17HRZ1	0,23	0,19	0,16	0,10	<u>0,34</u>	0,18	0,16	0,10
17VRZ2	0,14	0,00	0,06	0,16	-0,04	0,13	-0,19	-0,09
17VRZ3	0,13	0,03	-0,02	-0,02	0,08	0,05	0,14	0,18
17HKZ	0,18	0,37	0,03	0,24	<u>0,30</u>	0,09	0,12	0,04
17MD_K	0,06	0,13	0,05	0,13	0,20	0,25	0,03	0,00
17MD_S	0,19	0,16	0,00	0,27	0,26	0,35	-0,02	-0,09
17VO_K	0,14	0,29	0,03	-0,10	0,41	0,21	0,43	0,36
17VO_S	0,13	0,26	0,10	-0,09	0,47	0,28	0,45	0,38
16HZ	0,02	0,20	-0,04	0,00	-0,03	-0,15	0,05	0,05
16HRZ1	0,06	0,10	-0,21	-0,14	0,01	0,09	0,14	0,15
16VRZ2	0,07	0,28	0,10	-0,11	<u>0,31</u>	0,16	0,36	0,24
16VRZ3	0,07	0,13	-0,18	-0,10	-0,05	-0,03	0,13	0,18
16HKZ	-0,02	0,17	0,23	0,16	-0,03	-0,21	-0,16	-0,18
16MD_S	0,48	<u>0,30</u>	0,25	0,39	0,41	0,51	0,02	-0,06
16MD_K	0,00	0,26	-0,11	-0,11	0,23	0,02	<u>0,32</u>	0,28
16VO_S	0,36	0,47	0,27	0,22	0,39	0,37	0,13	-0,04
16VO_K	0,29	<u>0,33</u>	0,29	0,10	0,26	0,40	0,07	-0,05
26HZ	0,03	0,16	-0,12	0,03	-0,14	-0,02	0,00	0,03
26HRZ1	0,00	0,02	-0,16	-0,03	0,10	-0,06	0,20	0,24
26VRZ2	0,04	-0,06	-0,05	-0,12	0,08	<u>0,32</u>	0,13	0,14
26VRZ3	-0,09	0,12	-0,20	-0,29	-0,18	-0,04	0,12	0,15
26HKZ	0,16	0,20	0,21	<u>0,34</u>	0,00	-0,04	-0,24	-0,27
26MD_K	0,07	<u>0,33</u>	-0,06	0,09	0,12	-0,01	0,09	0,03
26MD_S	0,38	0,44	<u>0,32</u>	<u>0,30</u>	0,46	0,43	0,12	-0,01
26VO_K	0,06	0,23	0,09	-0,16	0,19	0,37	0,28	0,20
26VO_S	0,25	0,40	0,23	0,04	0,29	<u>0,34</u>	0,17	0,02
27HZ	<u>0,32</u>	0,28	0,04	0,09	0,54	0,29	0,39	<u>0,31</u>
27HRZ1	0,10	0,14	0,10	0,04	0,15	0,29	0,06	0,02
27VRZ2	0,10	0,02	0,01	0,12	0,00	0,10	-0,08	-0,01
27VRZ3	0,06	0,04	-0,07	-0,11	0,01	0,10	0,11	0,15
27HKZ	0,21	0,44	0,13	0,29	0,22	0,03	-0,04	-0,15
27MD_K	0,10	0,12	0,06	0,17	0,14	<u>0,31</u>	-0,07	-0,08
27MD_S	0,28	0,19	0,07	<u>0,31</u>	<u>0,32</u>	0,38	-0,02	-0,07
27VO_K	0,07	0,20	-0,09	-0,13	0,27	0,21	0,35	<u>0,30</u>
27VO_S	0,03	0,17	-0,03	-0,17	<u>0,33</u>	0,29	0,43	0,39
37HZ	0,49	0,35	0,18	<u>0,34</u>	<u>0,32</u>	0,24	-0,02	-0,13
37HRZ1	0,38	0,17	0,05	0,18	<u>0,33</u>	<u>0,32</u>	0,12	-0,02
37VRZ2	0,27	0,13	-0,02	0,18	0,18	<u>0,30</u>	0,04	-0,03
37HKZ	0,29	0,36	0,16	0,27	0,23	0,12	-0,05	-0,11
37MD_K	<u>0,31</u>	0,53	0,13	0,25	<u>0,33</u>	0,21	0,09	-0,05

Продовження табл. В.1

1	2	3	4	5	6	7	8	9
37MD_S	0,42	0,48	0,12	0,19	0,57	0,48	<u>0,32</u>	0,14
37VO_K	-0,05	0,20	0,11	-0,03	0,09	0,12	0,12	0,05
37VO_S	-0,14	0,05	0,01	-0,19	0,15	0,16	<u>0,34</u>	0,27
36HZ	0,23	0,11	0,24	0,26	0,06	0,16	-0,16	-0,20
36HRZ1	0,08	-0,08	0,08	0,14	-0,12	0,13	-0,25	-0,28
36VRZ2	0,14	0,03	0,20	0,18	0,11	0,49	-0,05	-0,08
36HKZ	<u>0,31</u>	0,36	<u>0,30</u>	0,25	0,23	0,01	0,02	-0,07
36MD_K	0,06	0,29	0,09	<u>0,32</u>	0,07	0,15	-0,18	-0,28
36MD_S	0,35	0,38	0,26	0,43	0,19	0,39	-0,21	<u>-0,30</u>
36VO_K	-0,12	0,20	0,01	0,14	-0,07	0,05	-0,14	-0,18
36VO_S	-0,08	0,14	0,10	0,02	0,15	0,20	0,16	0,05
46HZ	<u>0,32</u>	<u>0,32</u>	<u>0,35</u>	0,37	0,28	0,29	-0,06	-0,17
46HRZ1	0,13	0,00	0,02	0,28	-0,06	0,00	-0,27	<u>-0,32</u>
46VRZ2	0,29	0,18	0,23	<u>0,34</u>	0,26	0,38	-0,04	-0,13
46HKZ	0,43	0,46	0,39	<u>0,32</u>	0,40	<u>0,30</u>	0,07	-0,08
46MD_K	0,10	0,21	0,01	0,27	0,09	0,15	-0,11	-0,20
46MD_S	0,29	0,39	0,23	0,41	0,27	0,29	-0,13	-0,25
46VO_K	-0,12	0,25	0,01	0,11	0,02	-0,05	-0,05	-0,11
46VO_S	-0,16	0,06	0,03	-0,02	0,10	0,10	0,15	0,08
47HZ	0,51	0,50	0,23	0,28	0,29	0,26	-0,04	-0,18
47HRZ1	0,43	0,41	0,20	0,23	0,49	0,38	0,19	0,01
47VRZ2	0,25	0,21	0,01	0,11	0,10	0,27	-0,03	-0,12
47HKZ	0,25	0,35	0,11	0,18	0,16	0,09	-0,06	-0,11
47MD_K	0,19	0,51	0,04	0,12	<u>0,31</u>	0,18	0,17	0,02
47MD_S	0,23	0,36	0,08	0,07	0,40	0,49	0,24	0,08
47VO_K	0,15	0,24	0,21	0,09	0,20	0,16	0,08	0,01
47VO_S	-0,02	0,17	0,20	-0,05	0,26	0,19	<u>0,30</u>	0,23

Таблиця В.2

**Кореляції розмірів ВКЗ із кефалометричними показниками лицевого черепа чоловіків
північного регіону України (n=10-32).**

	ZY_ ZY	ZM_ ZM	GO_ GO	TR_ N	TR_ GN	N_ PRN	N_ SN	SN_ PRN	N_ STO	N_I	N_ GN	MF_ MF	EK_ EK	AL_ AL	CHI_ CHI	PGO _GN	IGO _GN	IN_ GARS	TIP_ LICA
1	2	3	4	5	6	7	8	9	10	11	12	13	14	15	16	17	18	19	20
17HZ	0,08	0,12	0,18	0,14	0,22	<u>0,32</u>	<u>0,34</u>	-0,01	0,20	-0,03	0,05	0,17	<u>0,32</u>	0,04	-0,09	0,20	0,25	-0,08	-0,11
17HRZ1	0,22	0,14	0,05	0,05	0,03	0,24	0,20	0,17	0,00	-0,04	-0,14	0,07	0,28	0,28	0,19	0,28	<u>0,32</u>	<u>-0,31</u>	-0,27
17VRZ2	-0,14	0,18	0,15	-0,07	0,21	0,07	0,10	-0,12	-0,09	-0,06	0,24	0,15	-0,02	-0,02	0,00	-0,10	-0,19	0,12	0,03
17VRZ3	0,15	<u>0,37</u>	0,19	-0,01	0,07	0,27	0,17	-0,08	0,13	-0,04	0,21	0,19	-0,06	-0,07	0,14	0,13	0,12	-0,03	0,02
17HKZ	0,15	-0,20	0,18	0,27	-0,01	<u>0,30</u>	0,37	0,06	0,28	-0,12	-0,24	0,02	0,29	-0,20	-0,14	0,16	0,27	-0,24	-0,18
17MD_K	0,20	-0,16	0,25	-0,02	-0,05	0,08	0,10	-0,11	-0,12	0,04	-0,15	-0,11	0,35	-0,16	-0,12	0,02	0,17	<u>-0,30</u>	-0,20
17MD_S	0,17	-0,01	0,08	0,01	-0,10	0,16	0,24	-0,14	-0,14	-0,10	-0,10	-0,05	0,25	-0,02	-0,19	0,03	0,20	-0,28	<u>-0,31</u>
17VO_K	0,05	0,03	0,19	-0,07	0,01	0,07	0,08	<u>-0,31</u>	-0,08	-0,01	-0,06	0,10	0,36	0,11	0,01	-0,03	0,07	-0,21	-0,20
17VO_S	0,10	-0,02	0,14	-0,04	0,01	0,00	0,00	<u>-0,30</u>	-0,15	-0,07	-0,06	0,15	<u>0,33</u>	0,14	0,01	0,00	0,02	0,18	0,17
16HZ	0,01	-0,02	0,16	-0,10	-0,04	0,22	0,25	-0,02	0,15	0,09	-0,10	0,10	0,24	-0,04	0,07	-0,04	0,03	-0,04	0,02
16HRZ1	-0,05	0,21	-0,07	-0,11	-0,02	0,10	0,08	0,12	-0,06	0,02	-0,09	0,06	0,19	-0,01	0,36	-0,13	-0,05	0,00	-0,07
16VRZ2	0,11	0,04	0,17	-0,17	-0,27	-0,02	-0,04	-0,11	0,05	0,09	-0,18	-0,09	0,21	-0,02	0,00	0,10	0,09	-0,23	-0,19
16VRZ3	-0,05	0,27	0,11	-0,01	0,22	0,18	0,12	-0,03	0,06	0,20	0,06	0,18	0,08	-0,08	0,15	-0,10	0,08	0,10	0,06
16HKZ	0,11	<u>-0,30</u>	0,10	-0,05	-0,10	0,15	0,22	0,03	0,29	-0,17	-0,17	-0,05	0,19	-0,15	-0,17	0,14	0,10	-0,07	0,07
16MD_S	0,18	0,41	0,02	0,08	0,19	-0,15	-0,03	-0,06	-0,26	0,15	0,41	0,21	0,18	-0,14	-0,28	0,09	0,19	-0,06	-0,19
16MD_K	-0,01	0,11	-0,06	-0,03	0,02	-0,08	-0,09	0,20	0,23	0,05	-0,04	0,03	0,17	-0,22	0,02	-0,06	0,05	-0,03	-0,05
16VO_S	0,19	-0,08	0,17	0,05	0,04	0,14	0,19	-0,25	-0,11	-0,01	-0,05	-0,06	0,21	<u>-0,32</u>	-0,41	0,01	0,22	-0,15	-0,16
16VO_K	0,08	-0,10	<u>0,30</u>	0,12	0,20	-0,02	0,02	-0,06	-0,06	0,17	-0,04	-0,11	0,16	-0,10	-0,19	0,00	0,09	-0,16	-0,16
26HZ	0,05	0,06	0,20	-0,11	0,00	0,27	0,26	0,05	<u>0,35</u>	0,29	0,09	0,01	0,12	<u>-0,32</u>	-0,14	-0,05	0,02	0,18	0,17
26HRZ1	-0,05	0,15	-0,05	0,08	-0,11	0,24	0,19	0,02	0,11	-0,10	-0,15	0,08	-0,01	-0,15	0,07	0,07	0,13	-0,08	-0,04
26VRZ2	-0,04	0,37	0,26	-0,18	-0,10	-0,04	-0,09	-0,06	-0,20	0,14	0,06	-0,24	-0,05	-0,02	-0,04	-0,05	0,06	-0,09	-0,09
26VRZ3	0,00	0,20	0,17	-0,12	0,18	0,06	0,04	0,18	0,19	0,16	0,13	0,16	0,04	-0,07	0,21	-0,21	-0,13	0,18	0,12

Продовження табл. В.2

1	2	3	4	5	6	7	8	9	10	11	12	13	14	15	16	17	18	19	20
26HKZ	0,12	-0,16	0,15	0,00	-0,02	0,16	0,21	0,03	0,35	0,03	0,01	-0,03	0,22	-0,21	-0,21	0,20	0,18	0,04	0,11
26MD_K	-0,04	0,13	-0,05	-0,09	-0,02	-0,02	0,00	0,09	0,20	0,17	-0,02	0,02	<u>0,32</u>	<u>-0,31</u>	-0,07	-0,02	0,16	0,15	0,12
26MD_S	0,27	0,24	0,10	0,11	0,16	-0,17	-0,07	-0,03	-0,21	0,02	<u>0,33</u>	<u>0,30</u>	0,16	-0,10	-0,15	0,06	0,11	-0,19	-0,28
26VO_K	0,09	-0,08	<u>0,34</u>	0,13	0,22	0,08	0,07	-0,09	-0,03	0,08	-0,08	-0,10	0,17	-0,14	-0,12	-0,16	-0,01	-0,20	-0,19
26VO_S	0,14	-0,06	<u>0,30</u>	0,19	0,17	0,06	0,06	0,01	0,03	-0,01	-0,02	-0,05	-0,04	-0,27	<u>-0,33</u>	-0,05	0,09	-0,15	-0,16
27HZ	0,13	<u>0,30</u>	0,06	-0,02	0,13	0,00	-0,02	0,01	0,06	0,06	0,10	0,25	0,35	0,16	0,21	0,13	0,16	-0,24	-0,26
27HRZ1	0,24	0,21	0,12	-0,07	0,00	0,21	0,15	0,09	-0,04	0,05	-0,12	-0,01	0,27	0,10	0,20	0,13	0,21	-0,25	-0,25
27VRZ2	-0,03	0,22	0,05	-0,19	0,14	-0,04	-0,08	-0,07	0,03	0,09	<u>0,30</u>	0,24	0,01	-0,05	0,15	-0,06	-0,22	0,08	0,01
27VRZ3	0,04	0,44	0,11	-0,11	0,08	0,06	0,04	-0,05	0,04	-0,01	0,12	0,21	0,06	0,08	<u>0,34</u>	-0,05	-0,13	-0,09	-0,14
27HKZ	0,10	-0,24	0,02	0,07	-0,06	0,16	0,20	0,12	0,27	-0,14	-0,25	0,00	0,22	-0,29	-0,22	0,14	0,25	-0,13	-0,09
27MD_K	0,11	-0,11	0,22	0,04	0,05	0,01	0,02	0,00	-0,09	0,05	-0,03	-0,12	0,15	-0,25	-0,21	-0,03	0,10	-0,19	-0,14
27MD_S	0,23	0,04	0,05	-0,03	-0,02	0,20	0,24	-0,11	-0,17	-0,09	0,05	-0,01	0,16	-0,05	-0,25	0,08	0,26	-0,22	-0,26
27VO_K	-0,10	0,11	0,08	-0,08	0,09	-0,07	-0,07	-0,23	0,00	0,17	-0,06	0,13	0,37	0,17	0,14	-0,15	-0,13	-0,14	-0,22
27VO_S	-0,03	0,09	0,09	0,01	0,15	-0,07	-0,07	-0,20	-0,02	0,13	-0,02	0,13	<u>0,33</u>	0,15	0,13	-0,15	-0,17	-0,21	-0,29
37HZ	0,12	0,16	0,04	0,12	0,17	0,17	0,19	0,24	0,19	0,08	0,07	0,18	0,12	0,01	-0,04	0,09	0,21	-0,10	-0,11
37HRZ1	0,02	0,25	-0,05	-0,01	0,08	-0,03	-0,02	-0,04	0,05	0,12	0,11	0,16	0,17	0,28	0,21	0,07	0,14	-0,04	-0,15
37VRZ2	0,12	0,20	0,14	-0,06	0,13	0,00	0,00	0,19	-0,05	0,24	0,26	0,05	0,08	-0,19	-0,14	-0,11	0,13	0,08	0,03
37HKZ	0,08	0,00	-0,11	0,11	0,01	0,16	0,23	0,27	0,07	-0,16	-0,11	0,05	0,24	-0,20	-0,20	0,05	0,16	-0,16	-0,11
37MD_K	-0,03	0,06	0,03	0,17	0,13	0,15	0,14	-0,28	0,08	-0,06	-0,02	0,23	0,38	-0,09	0,08	-0,01	0,21	-0,03	-0,05
37MD_S	0,09	0,13	0,05	0,06	0,00	0,08	0,11	<u>-0,30</u>	-0,18	-0,14	0,06	0,16	<u>0,30</u>	-0,08	-0,13	-0,02	0,17	-0,16	-0,25
37VO_K	0,07	-0,27	<u>0,34</u>	0,03	0,14	0,09	0,07	-0,28	0,14	0,13	-0,11	-0,01	0,18	0,06	0,04	0,00	0,00	-0,13	-0,16
37VO_S	0,02	-0,08	<u>0,31</u>	-0,05	-0,10	-0,06	-0,11	-0,43	-0,06	0,09	-0,10	-0,01	0,00	0,15	0,01	0,02	-0,05	-0,17	-0,23
36HZ	0,18	0,21	0,20	<u>0,35</u>	0,24	0,06	0,11	0,44	0,09	0,13	0,09	0,01	-0,01	-0,15	-0,14	0,15	<u>0,31</u>	-0,05	0,02
36HRZ1	-0,03	0,35	-0,04	0,00	-0,03	-0,13	-0,11	0,17	-0,16	0,07	-0,06	-0,02	-0,12	0,01	0,10	-0,05	0,14	-0,03	-0,04
36VRZ2	0,24	0,28	0,22	0,35	0,26	-0,02	0,06	0,18	0,01	0,20	-0,03	-0,10	0,08	-0,24	-0,18	0,13	0,25	-0,27	<u>-0,31</u>
36HKZ	0,29	-0,08	0,15	0,37	0,24	0,26	<u>0,31</u>	0,35	0,44	-0,01	0,06	0,12	0,13	-0,21	-0,19	0,23	<u>0,31</u>	-0,07	0,04
36MD_K	-0,10	-0,10	0,10	0,06	-0,01	0,05	0,08	-0,38	-0,07	-0,12	-0,07	0,08	0,23	-0,28	-0,23	-0,18	0,06	0,04	0,01
36MD_S	0,11	0,13	0,07	0,13	0,23	0,05	0,06	-0,15	-0,07	0,04	0,09	<u>0,30</u>	0,11	-0,25	-0,17	-0,14	0,02	-0,17	-0,26

Продовження табл. В.2

1	2	3	4	5	6	7	8	9	10	11	12	13	14	15	16	17	18	19	20
36VO_K	0,01	-0,28	<u>0,31</u>	0,21	0,18	0,17	0,14	-0,10	0,15	0,03	-0,11	0,03	0,18	-0,28	-0,10	-0,18	-0,04	-0,03	0,00
36VO_S	0,11	-0,13	<u>0,31</u>	0,07	-0,07	0,03	-0,01	<u>-0,33</u>	-0,06	0,09	-0,24	-0,09	0,09	-0,16	-0,20	-0,01	0,07	-0,27	-0,23
46HZ	<u>0,34</u>	0,19	<u>0,30</u>	<u>0,31</u>	0,15	0,16	0,16	0,15	-0,07	0,01	0,03	0,08	0,05	-0,23	-0,18	0,23	0,51	-0,29	-0,19
46HRZ1	-0,02	0,27	-0,14	0,05	-0,11	0,03	0,04	0,13	-0,05	0,03	-0,18	0,07	-0,02	0,04	0,09	0,06	0,27	-0,07	-0,04
46VRZ2	0,18	0,27	0,20	<u>0,31</u>	0,18	-0,06	-0,01	0,16	0,00	0,29	0,00	-0,04	0,11	-0,09	-0,12	0,26	0,44	-0,21	-0,19
46HKZ	0,38	0,07	0,36	0,43	0,26	0,29	0,35	0,21	0,25	-0,01	0,08	0,07	0,25	-0,20	-0,17	0,24	0,51	-0,19	-0,07
46MD_K	-0,14	0,03	0,11	0,09	0,01	0,06	0,12	-0,24	0,08	0,01	-0,04	0,04	0,25	-0,19	-0,16	-0,19	0,05	0,13	0,09
46MD_S	0,21	-0,01	-0,10	0,08	0,02	0,20	0,23	-0,15	-0,03	-0,09	-0,15	0,16	0,23	-0,29	-0,16	-0,08	0,14	<u>-0,35</u>	-0,35
46VO_K	0,03	-0,40	<u>0,31</u>	0,10	0,07	0,22	0,20	-0,14	0,16	-0,04	-0,20	-0,01	0,26	-0,27	-0,11	-0,16	-0,02	-0,08	0,01
46VO_S	0,05	-0,21	0,25	0,13	-0,08	0,15	0,15	-0,26	0,03	0,10	-0,29	-0,12	0,12	-0,08	-0,13	-0,06	-0,02	-0,25	-0,22
47HZ	0,15	0,10	0,12	0,04	0,20	0,13	0,14	0,24	0,07	0,07	0,09	0,19	0,14	-0,02	0,07	0,01	0,19	-0,06	-0,08
47HRZ1	0,18	0,10	0,13	0,13	0,15	0,05	0,03	-0,06	-0,01	0,01	0,12	0,27	0,16	0,25	0,23	0,14	0,22	-0,17	-0,24
47VRZ2	0,14	0,01	0,27	0,00	0,16	0,07	0,02	0,26	0,00	0,28	0,23	-0,01	-0,04	-0,15	0,00	-0,17	0,10	0,10	0,12
47HKZ	-0,03	-0,01	-0,10	-0,07	-0,08	0,04	0,10	0,12	-0,07	-0,22	-0,10	0,05	0,24	-0,18	-0,16	-0,05	0,06	-0,08	-0,05
47MD_K	-0,04	-0,01	0,08	0,13	0,03	0,09	0,10	-0,20	0,17	-0,08	-0,13	0,13	0,35	-0,18	0,03	-0,10	0,07	-0,09	-0,09
47MD_S	0,11	0,05	0,18	0,05	-0,11	0,03	0,02	-0,26	-0,24	-0,17	-0,04	0,03	0,11	-0,04	-0,07	-0,04	0,08	-0,24	<u>-0,30</u>
47VO_K	0,04	-0,16	0,26	-0,06	0,15	0,04	0,00	<u>-0,33</u>	-0,01	0,10	-0,02	0,08	0,17	0,16	0,01	0,08	0,12	-0,10	-0,12
47VO_S	0,08	-0,16	0,22	0,06	-0,01	0,09	0,06	<u>-0,34</u>	-0,04	-0,01	-0,09	0,03	-0,03	0,03	-0,23	0,08	0,04	-0,17	-0,21

Таблиця В.3

Кореляції розмірів ВКЗ із кефалометричними показниками мозкового черепа чоловіків південного регіону України (n=6-33).

	DUG_	DUG_	DUGS_	G_OP	EU_EU	FMT_	KRANIO	TIP_
1	GOP	AUAU	GOP			FMT		GOL
	2	3	4	5	6	7	8	9
17HZ	-0,03	-0,14	0,06	0,18	<u>-0,30</u>	0,01	<u>-0,31</u>	<u>-0,33</u>
17HRZ1	0,03	0,13	0,11	0,09	-0,25	<u>-0,32</u>	-0,23	-0,18
17VRZ2	0,09	0,10	0,17	0,24	-0,24	-0,25	-0,38	<u>-0,33</u>
17VRZ3	0,10	-0,01	0,28	0,17	-0,28	0,03	-0,28	-0,26
17HKZ	-0,21	-0,15	-0,20	-0,25	-0,06	0,16	0,14	0,06
17MD_K	-0,15	0,12	-0,11	-0,03	-0,13	-0,23	-0,04	-0,07
17MD_S	-0,05	0,09	-0,15	-0,09	-0,06	-0,24	-0,03	0,02
17VO_K	-0,12	-0,01	-0,17	-0,02	-0,20	0,28	-0,11	-0,18
17VO_S	-0,12	-0,03	-0,16	0,09	-0,26	0,23	-0,22	-0,29
16HZ	-0,28	-0,02	-0,07	<u>-0,33</u>	-0,03	0,13	0,21	0,20
16HRZ1	-0,14	-0,03	0,18	-0,17	-0,11	0,06	0,11	0,12
16VRZ2	-0,23	0,00	-0,20	<u>-0,34</u>	-0,05	-0,05	0,20	0,25
16VRZ3	-0,01	-0,10	-0,05	0,01	0,05	0,34	0,01	0,03
16HKZ	-0,11	0,03	0,12	-0,20	0,03	-0,07	0,16	0,10
16MD_S	-0,04	-0,02	0,00	0,22	-0,01	-0,11	-0,19	-0,22
16MD_K	-0,15	-0,12	-0,07	0,09	-0,11	0,08	-0,12	-0,18
16VO_S	-0,21	0,07	-0,19	-0,01	-0,17	-0,06	-0,12	-0,12
16VO_K	-0,18	0,11	-0,20	0,04	-0,24	0,11	-0,19	-0,22
26HZ	-0,20	0,03	-0,02	-0,15	-0,05	0,12	0,05	0,06
26HRZ1	-0,07	0,01	0,20	-0,07	-0,17	0,09	-0,04	0,02
26VRZ2	-0,41	-0,07	-0,18	-0,07	-0,42	-0,12	-0,25	-0,16
26VRZ3	-0,17	-0,05	-0,10	-0,16	0,01	0,20	0,12	0,13
26HKZ	-0,03	0,01	0,15	-0,15	0,06	-0,06	0,12	0,10
26MD_K	-0,15	-0,12	-0,08	0,08	-0,02	-0,01	-0,10	-0,12
26MD_S	-0,13	-0,06	-0,07	0,17	-0,14	0,03	-0,20	-0,26
26VO_K	-0,35	0,04	-0,22	0,01	-0,37	-0,19	-0,25	-0,23
26VO_S	<u>-0,30</u>	0,03	<u>-0,31</u>	0,03	-0,27	-0,08	-0,20	-0,19
27HZ	-0,09	-0,17	0,05	0,13	<u>-0,31</u>	-0,03	-0,27	<u>-0,30</u>
27HRZ1	-0,07	0,10	0,09	0,02	-0,27	-0,41	-0,19	-0,11
27VRZ2	0,07	0,11	0,10	0,18	<u>-0,32</u>	-0,35	-0,38	<u>-0,31</u>
27VRZ3	-0,03	0,00	0,14	0,19	<u>-0,34</u>	0,12	<u>-0,34</u>	-0,36
27HKZ	-0,29	-0,16	-0,27	-0,28	-0,10	0,16	0,13	0,07
27MD_K	-0,13	0,06	-0,13	0,06	-0,23	-0,17	-0,21	-0,20
27MD_S	-0,10	0,13	-0,20	0,03	-0,18	-0,30	-0,19	-0,16
27VO_K	-0,13	-0,09	-0,20	0,00	-0,15	0,16	-0,11	-0,12
27VO_S	-0,17	-0,13	-0,22	0,01	-0,22	0,11	-0,16	-0,16
37HZ	-0,08	0,15	0,09	0,11	-0,25	-0,26	-0,24	-0,19
37HRZ1	-0,10	0,12	-0,04	0,09	-0,29	-0,11	-0,27	-0,18
37VRZ2	-0,10	0,07	0,06	0,11	-0,27	-0,09	-0,25	-0,15
37HKZ	0,00	0,08	0,20	-0,06	-0,08	-0,35	0,02	0,01
37MD_K	-0,07	0,09	-0,05	-0,17	0,07	0,04	0,14	0,09

Продовження табл. В.3

1	2	3	4	5	6	7	8	9
37MD_S	-0,13	-0,05	-0,15	-0,11	-0,03	-0,07	0,01	-0,04
37VO_K	-0,06	-0,01	-0,11	-0,09	0,04	-0,11	0,04	0,03
37VO_S	0,06	-0,02	-0,04	0,00	-0,01	-0,18	-0,07	-0,02
36HZ	-0,18	-0,13	0,12	0,02	-0,06	0,11	-0,01	-0,05
36HRZ1	-0,06	-0,06	0,17	-0,03	-0,06	0,00	-0,05	0,02
36VRZ2	-0,20	-0,03	-0,06	0,05	-0,09	0,07	-0,09	-0,13
36HKZ	-0,28	0,00	-0,28	-0,15	-0,12	0,06	0,09	0,05
36MD_K	-0,03	-0,12	-0,09	-0,01	-0,01	0,07	-0,08	-0,10
36MD_S	-0,15	-0,14	-0,15	-0,19	-0,11	0,00	0,04	0,06
36VO_K	-0,17	-0,22	-0,03	-0,24	-0,14	0,06	0,07	0,10
36VO_S	0,00	0,03	0,04	0,05	0,00	-0,10	-0,09	-0,11
46HZ	-0,27	-0,13	0,04	-0,14	-0,11	0,19	0,06	0,05
46HRZ1	0,11	0,05	0,26	-0,04	0,01	0,08	-0,01	0,05
46VRZ2	<u>-0,30</u>	-0,09	-0,12	-0,10	-0,19	0,11	-0,06	-0,07
46HKZ	-0,38	-0,13	-0,28	-0,17	-0,24	0,02	0,04	0,05
46MD_K	-0,07	-0,19	0,01	-0,06	-0,12	0,00	-0,08	-0,05
46MD_S	0,04	0,05	-0,06	-0,02	-0,08	-0,11	-0,09	-0,09
46VO_K	-0,14	-0,18	0,02	-0,24	-0,20	-0,09	0,03	0,04
46VO_S	0,04	0,08	0,04	0,03	-0,01	-0,15	-0,09	-0,11
47HZ	-0,04	0,15	0,15	-0,01	-0,19	-0,21	-0,11	-0,06
47HRZ1	-0,06	0,15	0,05	0,04	-0,28	-0,23	-0,21	-0,14
47VRZ2	-0,07	0,17	0,06	0,14	<u>-0,33</u>	-0,14	<u>-0,30</u>	-0,21
47HKZ	0,00	0,13	0,21	-0,08	-0,04	<u>-0,33</u>	0,07	0,04
47MD_K	-0,09	0,07	-0,07	-0,08	0,01	0,12	0,04	0,00
47MD_S	-0,18	-0,02	-0,15	-0,19	-0,01	-0,13	0,07	0,06
47VO_K	0,03	-0,03	0,02	0,02	-0,11	-0,15	-0,10	-0,08
47VO_S	0,01	-0,04	-0,04	0,07	-0,17	-0,25	-0,20	-0,13

Таблиця В.4

**Кореляції розмірів ВКЗ із кефалометричними показниками лицевого черепа чоловіків
південного регіону України (n=6-33).**

	ZY_ ZY	ZM_ ZM	GO_ GO	TR_ N	TR_ GN	N_ PRN	N_ SN	SN_ PRN	N_ STO	N_I	N_ GN	MF_ MF	EK_ EK	AL_ AL	CHI_ CHI	PGO _GN	IGO _GN	IN_ GARS	TIP_ LICA
1	2	3	4	5	6	7	8	9	10	11	12	13	14	15	16	17	18	19	20
17HZ	-0,15	-0,09	-0,15	0,03	-0,14	0,22	0,21	0,13	0,08	-0,06	0,02	-0,08	-0,21	0,02	-0,11	0,04	-0,11	0,15	0,07
17HRZ1	<u>-0,32</u>	-0,07	0,06	0,19	-0,06	0,15	0,13	0,17	0,08	0,17	0,01	0,11	-0,14	0,07	0,07	-0,06	-0,20	0,29	0,22
17VRZ2	<u>-0,30</u>	-0,01	0,04	0,00	-0,19	0,16	0,18	<u>0,30</u>	0,08	0,05	0,08	0,03	-0,18	0,07	-0,05	-0,10	-0,24	0,26	0,24
17VRZ3	-0,15	-0,14	0,07	0,21	-0,11	0,28	0,29	0,14	0,16	0,21	-0,02	0,07	0,12	-0,03	0,16	<u>0,32</u>	0,19	0,11	0,13
17HKZ	0,16	-0,15	-0,23	0,09	0,08	-0,01	0,01	-0,21	-0,06	-0,12	-0,10	-0,09	-0,15	0,25	-0,24	-0,04	-0,15	-0,12	-0,15
17MD_K	-0,04	-0,06	<u>-0,34</u>	-0,19	-0,11	-0,08	-0,10	-0,20	-0,18	-0,21	-0,20	-0,14	<u>-0,32</u>	0,14	0,02	-0,22	-0,20	-0,13	-0,13
17MD_S	-0,11	-0,05	-0,13	-0,16	-0,14	0,08	0,06	-0,10	-0,03	-0,10	-0,05	0,10	<u>-0,32</u>	0,08	0,13	-0,11	-0,18	-0,06	-0,08
17VO_K	0,24	-0,09	-0,14	0,20	0,13	<u>0,30</u>	<u>0,30</u>	-0,08	0,00	0,02	-0,03	0,02	-0,04	0,16	0,24	0,17	0,08	-0,23	-0,26
17VO_S	0,22	-0,09	-0,14	0,16	0,13	0,35	<u>0,34</u>	0,03	0,13	0,09	0,06	0,11	0,02	0,08	0,26	0,18	0,12	-0,21	-0,11
16HZ	0,21	-0,38	-0,21	-0,01	<u>-0,31</u>	-0,02	0,02	-0,25	-0,02	-0,23	-0,40	-0,28	-0,14	0,18	-0,02	-0,04	-0,13	-0,13	-0,16
16HRZ1	0,10	-0,21	-0,17	0,29	-0,06	0,18	0,19	0,00	0,13	0,05	0,05	-0,08	0,09	-0,15	0,04	0,01	-0,08	0,03	-0,01
16VRZ2	-0,01	-0,19	0,06	0,01	-0,09	-0,09	-0,04	-0,28	0,02	0,14	-0,08	-0,09	-0,16	0,12	0,04	-0,05	-0,15	0,09	0,04
16VRZ3	0,25	0,04	-0,20	-0,06	-0,22	-0,26	-0,28	-0,28	-0,19	-0,23	-0,37	-0,08	0,19	0,15	-0,01	0,15	0,14	-0,37	-0,36
16HKZ	0,06	-0,36	-0,17	0,04	-0,24	0,03	0,09	-0,18	0,04	-0,17	<u>-0,33</u>	-0,09	-0,16	0,15	-0,06	0,03	-0,03	0,00	0,04
16MD_S	0,07	-0,15	-0,38	-0,16	-0,18	0,01	0,00	<u>-0,30</u>	-0,15	-0,39	-0,15	-0,01	-0,22	0,10	-0,05	-0,12	-0,13	-0,12	-0,06
16MD_K	0,23	-0,18	-0,22	0,03	0,03	0,26	0,26	-0,06	0,02	-0,20	0,03	0,08	-0,15	0,16	0,11	-0,12	-0,09	-0,08	-0,08
16VO_S	-0,06	-0,12	<u>-0,31</u>	-0,23	-0,22	0,02	0,05	-0,12	-0,16	-0,25	-0,06	-0,06	-0,37	0,17	-0,04	-0,04	-0,04	0,06	0,05
16VO_K	0,10	0,01	-0,25	-0,20	-0,14	0,01	0,02	-0,20	-0,22	-0,09	-0,08	0,04	-0,17	0,21	0,15	0,10	0,13	-0,08	-0,10
26HZ	0,11	-0,38	-0,17	0,01	<u>-0,32</u>	0,12	0,15	-0,16	0,05	-0,27	<u>-0,31</u>	-0,16	-0,14	0,10	0,04	-0,04	-0,15	-0,03	-0,02
26HRZ1	0,03	-0,26	0,03	0,31	-0,05	0,28	0,29	0,02	0,23	0,06	0,07	0,18	0,14	-0,09	0,23	0,11	-0,03	0,11	0,10
26VRZ2	0,06	-0,45	-0,11	-0,06	-0,27	0,14	0,16	0,09	0,15	-0,03	-0,01	0,08	-0,21	0,04	0,14	-0,24	<u>-0,32</u>	0,18	0,15
26VRZ3	0,09	-0,04	-0,08	0,22	0,00	-0,14	-0,16	-0,15	-0,17	-0,08	-0,21	-0,21	0,10	-0,13	-0,18	0,09	0,00	-0,13	-0,12

Продовження табл. В.4

1	2	3	4	5	6	7	8	9	10	11	12	13	14	15	16	17	18	19	20
26HKZ	0,03	-0,41	-0,19	-0,05	-0,27	0,18	0,24	-0,02	0,13	-0,17	-0,16	-0,03	-0,19	0,15	-0,08	-0,03	-0,08	0,11	0,16
26MD_K	0,14	-0,24	<u>-0,30</u>	-0,08	-0,09	0,13	0,13	-0,25	-0,06	-0,38	-0,10	-0,02	-0,24	0,07	-0,02	-0,23	-0,22	-0,10	-0,08
26MD_S	0,23	-0,19	-0,23	0,02	0,01	0,25	0,25	-0,04	0,06	-0,15	0,01	0,13	-0,09	0,20	0,14	-0,11	-0,07	-0,08	-0,07
26VO_K	-0,13	-0,21	-0,42	<u>-0,31</u>	<u>-0,32</u>	0,09	0,08	-0,01	-0,17	-0,29	-0,02	-0,11	-0,42	0,06	-0,13	-0,14	-0,15	0,14	0,11
26VO_S	-0,02	-0,09	-0,34	-0,37	-0,26	0,07	0,05	-0,09	-0,15	-0,16	0,05	-0,03	-0,26	0,05	-0,06	-0,09	0,00	0,13	0,07
27HZ	-0,07	-0,22	-0,24	0,04	-0,17	0,17	0,19	0,06	0,12	-0,10	-0,04	-0,03	-0,21	0,13	-0,11	-0,03	-0,15	0,13	0,07
27HRZ1	-0,40	-0,16	0,01	0,21	-0,07	0,13	0,12	0,14	0,12	0,11	0,05	0,10	-0,22	-0,07	0,00	-0,13	-0,29	<u>0,34</u>	0,29
27VRZ2	<u>-0,34</u>	-0,11	0,09	0,15	-0,08	0,19	0,19	<u>0,30</u>	0,12	0,16	0,02	0,15	-0,17	0,14	0,04	-0,06	-0,20	<u>0,33</u>	<u>0,30</u>
27VRZ3	0,02	-0,22	-0,19	0,22	-0,12	0,28	<u>0,31</u>	0,22	0,25	0,07	-0,08	0,00	0,12	0,06	0,05	0,17	0,02	-0,01	-0,01
27HKZ	0,18	-0,23	-0,28	0,05	0,01	-0,05	-0,03	-0,19	-0,02	-0,16	-0,10	-0,09	-0,18	0,24	-0,28	-0,13	-0,25	-0,09	-0,11
27MD_K	0,00	-0,12	<u>-0,31</u>	-0,25	-0,11	0,00	-0,02	-0,06	-0,09	-0,22	-0,05	-0,08	-0,37	0,17	0,02	-0,26	<u>-0,30</u>	-0,01	-0,01
27MD_S	-0,15	-0,03	-0,08	-0,02	-0,04	0,08	0,05	-0,01	-0,01	0,03	-0,02	0,22	-0,27	0,01	0,18	-0,09	-0,16	-0,03	-0,02
27VO_K	0,16	-0,16	-0,18	-0,04	-0,09	0,29	0,28	-0,03	0,06	-0,20	-0,03	0,04	-0,17	0,16	0,11	0,01	-0,04	-0,13	-0,20
27VO_S	0,12	-0,16	-0,20	-0,06	-0,07	<u>0,31</u>	<u>0,30</u>	0,00	0,11	-0,10	0,06	0,11	-0,18	0,11	0,12	0,07	0,02	-0,08	-0,13
37HZ	-0,28	-0,26	-0,19	-0,19	-0,42	0,27	<u>0,30</u>	0,13	0,20	-0,10	-0,02	-0,12	-0,23	0,02	-0,02	-0,14	-0,23	0,26	0,21
37HRZ1	-0,24	-0,20	-0,14	-0,13	-0,36	0,37	0,38	0,19	0,28	0,00	0,02	0,02	-0,11	-0,02	0,14	-0,04	-0,07	0,20	0,11
37VRZ2	-0,20	-0,19	-0,26	-0,05	<u>-0,31</u>	0,26	0,25	0,10	0,22	-0,21	0,03	0,11	-0,11	-0,17	0,10	-0,08	-0,13	0,18	0,13
37HKZ	-0,27	-0,19	-0,21	-0,14	-0,29	-0,11	-0,06	-0,13	0,01	-0,08	-0,12	-0,26	<u>-0,33</u>	0,18	-0,26	-0,13	<u>-0,30</u>	0,20	0,24
37MD_K	0,06	-0,17	-0,10	-0,13	-0,12	0,26	0,28	-0,16	-0,09	-0,21	0,01	-0,26	-0,23	0,08	-0,09	-0,10	-0,20	-0,07	-0,08
37MD_S	0,05	-0,16	0,07	-0,11	-0,08	<u>0,34</u>	<u>0,34</u>	-0,06	-0,03	-0,02	0,11	-0,10	-0,25	-0,04	-0,03	-0,06	-0,14	0,04	-0,01
37VO_K	-0,08	-0,23	-0,04	0,02	-0,08	0,52	0,52	0,15	0,07	0,01	0,10	-0,02	<u>-0,30</u>	-0,19	0,10	0,05	0,02	0,11	0,05
37VO_S	-0,04	-0,22	0,07	-0,04	-0,11	0,55	0,54	0,23	0,14	0,12	0,17	0,20	-0,12	-0,01	0,19	0,07	0,12	0,14	0,04
36HZ	0,02	-0,18	-0,15	0,17	-0,02	0,16	0,17	0,00	0,14	-0,26	0,15	0,01	-0,07	<u>-0,32</u>	-0,08	-0,10	-0,19	0,12	0,21
36HRZ1	0,00	-0,24	0,04	0,28	-0,03	<u>0,30</u>	<u>0,32</u>	0,17	0,19	-0,01	0,21	0,23	0,00	-0,18	0,11	-0,06	-0,17	0,15	0,17
36VRZ2	0,00	-0,12	-0,04	0,15	0,08	0,21	0,21	0,14	0,18	-0,16	0,25	0,05	-0,10	<u>-0,34</u>	-0,01	-0,22	<u>-0,30</u>	0,12	0,21
36HKZ	-0,11	0,05	-0,36	-0,36	-0,11	-0,42	-0,44	-0,38	-0,19	-0,25	-0,20	-0,35	-0,21	-0,04	-0,42	-0,16	-0,16	0,03	0,05
36MD_K	0,21	-0,19	-0,07	-0,08	-0,04	0,26	0,26	-0,11	-0,06	-0,27	-0,02	-0,03	-0,17	0,21	-0,02	-0,17	-0,23	-0,17	-0,18
36MD_S	0,20	<u>-0,32</u>	-0,17	-0,19	-0,15	0,35	0,36	0,12	0,17	-0,09	0,16	-0,03	-0,15	0,20	-0,10	-0,16	-0,18	0,05	-0,06

Продовження табл. В.4

1	2	3	4	5	6	7	8	9	10	11	12	13	14	15	16	17	18	19	20
36VO_K	0,28	-0,45	-0,22	-0,08	-0,16	0,49	0,48	0,15	0,13	-0,14	0,12	-0,05	-0,10	-0,01	0,03	-0,09	-0,08	-0,02	-0,12
36VO_S	0,05	-0,26	0,02	-0,06	-0,25	<u>0,34</u>	0,35	0,09	-0,01	-0,17	-0,01	0,11	-0,16	0,10	0,10	-0,06	-0,09	0,03	0,01
46HZ	0,06	-0,26	-0,11	0,20	-0,02	0,16	0,18	-0,12	0,10	-0,19	0,06	-0,06	-0,11	<u>-0,30</u>	0,00	-0,05	-0,20	0,06	0,12
46HRZ1	0,01	-0,09	0,23	<u>0,32</u>	0,03	0,29	<u>0,31</u>	0,21	0,14	0,07	0,24	0,20	0,11	-0,04	0,14	-0,07	-0,23	0,08	0,09
46VRZ2	0,08	-0,26	0,01	0,22	0,12	<u>0,31</u>	<u>0,32</u>	0,21	0,20	0,00	0,28	0,05	-0,19	-0,24	0,11	-0,19	<u>-0,32</u>	0,16	0,20
46HKZ	-0,07	-0,14	-0,49	-0,37	-0,23	-0,36	-0,36	-0,41	-0,11	-0,26	-0,25	-0,23	-0,26	-0,08	-0,24	-0,03	0,01	0,00	0,04
46MD_K	0,21	-0,36	-0,19	-0,20	-0,14	0,43	0,44	0,06	0,13	-0,14	0,13	-0,03	-0,17	0,14	0,00	-0,13	-0,12	0,01	-0,06
46MD_S	0,05	-0,14	0,15	-0,03	-0,02	<u>0,31</u>	<u>0,32</u>	0,13	0,19	0,08	0,08	0,22	0,00	<u>0,30</u>	0,09	-0,11	-0,14	0,01	-0,06
46VO_K	0,16	-0,39	-0,14	0,00	-0,02	0,53	0,52	0,21	0,08	0,10	0,19	0,00	-0,20	0,00	0,06	-0,07	-0,06	0,10	-0,01
46VO_S	0,01	-0,16	0,11	0,02	-0,12	<u>0,33</u>	<u>0,34</u>	0,19	-0,02	-0,01	0,10	0,12	-0,15	0,16	0,05	-0,16	-0,22	0,12	0,07
47HZ	-0,29	-0,24	-0,18	-0,08	-0,35	<u>0,30</u>	<u>0,34</u>	0,04	0,15	-0,07	-0,04	-0,12	-0,26	0,00	0,05	-0,02	-0,12	0,23	0,18
47HRZ1	-0,35	-0,18	-0,08	0,00	-0,24	0,38	0,40	0,18	0,22	0,10	0,10	-0,02	-0,18	-0,11	0,12	0,01	-0,07	<u>0,31</u>	0,24
47VRZ2	<u>-0,30</u>	-0,20	-0,18	-0,05	-0,35	0,28	0,28	0,08	0,16	-0,05	-0,06	0,07	-0,15	-0,02	0,23	0,03	-0,04	0,21	0,16
47HKZ	-0,22	-0,18	<u>-0,31</u>	-0,15	<u>-0,33</u>	-0,09	-0,04	-0,19	-0,02	-0,10	-0,20	-0,27	-0,28	0,21	-0,21	-0,08	-0,20	0,11	0,14
47MD_K	0,15	-0,24	-0,21	-0,18	-0,21	0,28	<u>0,30</u>	-0,18	-0,04	-0,29	-0,09	-0,19	-0,16	0,17	-0,01	-0,06	-0,10	-0,15	-0,17
47MD_S	0,04	-0,25	0,02	-0,10	-0,14	<u>0,32</u>	<u>0,34</u>	-0,01	0,02	-0,07	0,10	0,01	-0,27	-0,01	-0,02	-0,16	-0,22	0,08	0,04
47VO_K	-0,09	-0,26	-0,10	-0,03	-0,09	0,56	0,56	0,15	0,27	-0,02	0,14	-0,03	-0,24	-0,05	0,12	-0,10	-0,11	0,15	0,07
47VO_S	-0,06	-0,35	-0,01	-0,02	-0,11	0,51	0,51	0,17	0,29	0,06	0,09	0,17	-0,13	0,04	0,14	0,01	0,01	0,19	0,12

Таблиця В.5

Кореляції розмірів ВКЗ із кефалометричними показниками мозкового черепа чоловіків центрального регіону України (n=23-64).

	DUG_	DUG_	DUGS_	G_OP	EU_EU	FMT_	KRANIO	TIP_
1	GOP	AUAU	GOP			FMT		GOL
	2	3	4	5	6	7	8	9
17HZ	-0,07	0,04	0,04	-0,06	0,18	-0,08	0,14	0,11
17HRZ1	0,04	0,00	0,12	0,00	0,12	-0,05	0,04	0,00
17VRZ2	-0,06	-0,03	0,08	-0,08	0,16	-0,19	0,19	0,21
17VRZ3	0,01	0,05	0,01	-0,05	0,01	-0,14	0,06	0,12
17HKZ	-0,17	-0,05	-0,05	-0,24	0,20	0,03	0,28	0,23
17MD_K	-0,13	-0,12	-0,03	-0,03	0,19	-0,12	0,14	0,15
17MD_S	-0,06	-0,04	0,08	0,00	0,26	-0,14	0,15	0,21
17VO_K	-0,07	0,05	0,02	-0,01	0,29	0,03	0,23	0,20
17VO_S	-0,08	0,02	-0,01	0,03	0,19	-0,07	0,12	0,11
16HZ	-0,10	0,01	-0,04	0,01	0,07	0,00	0,03	0,00
16HRZ1	0,06	-0,09	0,03	0,07	0,11	0,03	-0,02	-0,06
16VRZ2	-0,13	-0,09	0,02	-0,11	0,10	0,02	0,13	0,13
16VRZ3	-0,11	-0,04	-0,06	-0,07	0,07	-0,06	0,17	0,16
16HKZ	-0,12	0,03	0,01	-0,15	0,02	0,00	0,08	0,08
16MD_S	-0,17	-0,02	-0,20	-0,20	0,18	-0,19	0,26	0,28
16MD_K	-0,20	-0,15	0,09	-0,23	0,31	-0,11	0,40	0,38
16VO_S	-0,14	-0,14	-0,03	-0,23	0,14	0,09	0,31	0,25
16VO_K	-0,19	-0,07	-0,06	-0,24	0,20	0,12	0,35	0,31
26HZ	-0,08	-0,11	-0,03	-0,07	0,07	0,04	0,07	0,02
26HRZ1	0,06	-0,11	0,08	-0,01	0,09	0,02	0,04	0,02
26VRZ2	-0,12	-0,06	0,11	-0,12	0,02	-0,13	0,03	0,07
26VRZ3	-0,12	-0,12	-0,14	-0,17	0,05	-0,07	0,20	0,16
26HKZ	-0,06	-0,03	0,01	-0,09	0,03	0,02	0,01	0,01
26MD_K	-0,17	-0,01	-0,19	-0,22	0,19	-0,20	0,26	0,25
26MD_S	-0,07	-0,07	0,13	-0,02	0,20	-0,18	0,17	0,14
26VO_K	-0,09	-0,07	-0,02	-0,21	0,13	0,06	0,28	0,23
26VO_S	-0,14	-0,05	-0,01	-0,17	0,14	0,13	0,25	0,23
27HZ	-0,02	0,02	0,07	0,01	0,19	-0,06	0,08	0,05
27HRZ1	0,03	0,03	0,04	-0,10	0,03	-0,16	0,00	-0,01
27VRZ2	-0,10	0,01	0,28	-0,11	0,10	-0,21	0,14	0,17
27VRZ3	-0,04	0,04	0,05	0,05	0,08	-0,16	0,01	0,05
27HKZ	-0,16	-0,05	-0,07	-0,18	0,15	-0,08	0,21	0,18
27MD_K	-0,04	0,01	0,06	-0,01	0,23	-0,16	0,17	0,19
27MD_S	-0,04	-0,07	0,12	0,01	0,21	-0,21	0,13	0,19
27VO_K	-0,08	0,05	0,07	-0,01	0,35	0,02	0,26	0,22
27VO_S	-0,06	0,03	0,09	-0,02	0,28	0,03	0,21	0,18
37HZ	-0,05	0,06	0,02	-0,08	0,22	0,04	0,23	0,20
37HRZ1	-0,10	-0,06	-0,01	-0,14	0,14	0,03	0,25	0,23
37VRZ2	-0,08	-0,02	0,03	-0,14	0,27	-0,04	0,32	0,28
37HKZ	-0,09	0,13	-0,04	-0,11	0,16	-0,08	0,13	0,14
37MD_K	-0,10	-0,06	-0,12	-0,14	0,08	-0,11	0,21	0,20

Продовження табл. В.5

1	2	3	4	5	6	7	8	9
37MD_S	-0,19	-0,18	-0,03	-0,22	0,04	-0,17	0,20	0,21
37VO_K	-0,05	-0,21	0,07	-0,08	0,02	-0,05	0,14	0,12
37VO_S	-0,16	-0,25	0,08	-0,08	-0,10	-0,13	0,05	0,05
36HZ	-0,04	-0,13	-0,06	-0,20	0,22	0,03	0,27	0,23
36HRZ1	0,03	-0,11	-0,05	-0,14	0,22	-0,09	0,21	0,17
36VRZ2	-0,03	-0,14	-0,02	-0,23	0,26	0,03	0,32	0,29
36HKZ	-0,23	-0,10	-0,10	-0,26	0,08	0,03	0,21	0,20
36MD_K	-0,11	0,00	0,08	-0,13	0,01	-0,20	0,14	0,14
36MD_S	-0,07	-0,11	0,11	-0,03	0,01	-0,01	0,08	0,10
36VO_K	-0,08	-0,10	0,07	-0,13	0,02	-0,19	0,14	0,14
36VO_S	0,00	-0,13	0,16	-0,06	0,00	-0,14	0,09	0,09
46HZ	0,01	-0,06	-0,04	-0,10	0,16	-0,03	0,19	0,15
46HRZ1	0,00	-0,01	-0,14	-0,07	0,16	-0,15	0,16	0,12
46VRZ2	-0,04	-0,13	0,02	-0,28	0,30	-0,02	0,38	0,36
46HKZ	-0,12	-0,03	-0,12	-0,17	0,17	0,04	0,25	0,21
46MD_K	-0,25	0,05	-0,06	-0,24	0,09	-0,21	0,25	0,26
46MD_S	-0,11	-0,03	0,04	-0,13	0,04	-0,02	0,16	0,20
46VO_K	-0,02	-0,03	0,09	-0,12	0,07	-0,06	0,16	0,16
46VO_S	-0,14	-0,07	0,04	-0,16	0,00	-0,14	0,17	0,16
47HZ	-0,08	0,00	-0,04	-0,05	0,17	-0,02	0,19	0,15
47HRZ1	-0,01	0,03	-0,02	0,02	0,07	-0,08	0,07	0,02
47VRZ2	-0,07	0,00	0,01	-0,12	0,20	-0,16	0,28	0,22
47HKZ	-0,15	-0,03	-0,11	-0,11	0,12	-0,15	0,15	0,15
47MD_K	-0,26	-0,12	-0,13	-0,22	0,06	-0,20	0,27	0,26
47MD_S	-0,19	-0,20	-0,03	-0,28	0,04	-0,26	0,25	0,26
47VO_K	0,02	-0,09	0,12	-0,02	0,07	-0,01	0,11	0,08
47VO_S	-0,06	-0,11	0,14	-0,09	-0,01	-0,14	0,09	0,09

Таблиця В.6

**Кореляції розмірів ВКЗ із кефалометричними показниками лицевого черепа чоловіків
центрального регіону України (n=23-64).**

	ZY_ ZY	ZM_ ZM	GO_ GO	TR_ N	TR_ GN	N_ PRN	N_ SN	SN_ PRN	N_ STO	N_I	N_ GN	MF_ MF	EK_ EK	AL_ AL	CHI_ CHI	PGO _GN	IGO _GN	IN_ GARS	TIP_ LICA
1	2	3	4	5	6	7	8	9	10	11	12	13	14	15	16	17	18	19	20
17HZ	-0,11	0,06	0,13	0,11	-0,02	-0,14	-0,16	0,16	-0,09	-0,04	-0,15	-0,01	-0,07	0,22	0,06	-0,06	-0,10	-0,11	-0,13
17HRZ1	0,06	-0,03	0,06	0,07	0,07	-0,08	-0,08	0,18	0,08	0,16	0,03	0,10	0,12	0,12	0,10	-0,02	-0,04	-0,01	0,02
17VRZ2	-0,12	-0,05	-0,06	-0,02	-0,07	-0,07	-0,10	0,04	0,02	-0,13	-0,16	-0,16	-0,11	0,06	-0,02	-0,01	-0,03	-0,08	-0,09
17VRZ3	-0,05	0,16	0,02	0,03	-0,12	-0,07	-0,09	-0,07	-0,09	-0,25	-0,20	-0,11	-0,09	0,20	-0,13	-0,15	-0,18	-0,31	-0,38
17HKZ	-0,05	-0,07	0,03	0,03	-0,10	-0,16	-0,21	0,05	-0,05	-0,07	-0,16	-0,04	-0,05	0,22	0,08	0,06	-0,06	-0,09	-0,08
17MD_K	-0,03	-0,19	-0,04	-0,02	-0,17	-0,10	-0,11	-0,01	-0,03	-0,12	-0,18	-0,15	-0,10	0,03	-0,01	-0,18	-0,25	-0,09	-0,14
17MD_S	0,06	-0,22	0,11	-0,11	-0,14	-0,03	-0,02	-0,02	0,09	-0,02	-0,07	-0,22	-0,07	-0,01	-0,05	0,04	0,03	-0,06	-0,05
17VO_K	0,02	0,08	-0,01	0,00	-0,12	-0,05	-0,05	0,09	-0,18	-0,19	-0,27	0,01	0,09	0,10	-0,07	-0,01	-0,08	-0,25	-0,25
17VO_S	-0,01	0,05	-0,09	0,05	-0,03	0,00	-0,01	0,09	-0,13	-0,14	-0,21	-0,01	0,05	0,13	-0,09	-0,07	-0,13	-0,04	-0,05
16HZ	-0,12	-0,07	0,05	0,22	0,00	-0,04	-0,06	0,17	-0,04	0,06	-0,12	0,06	0,09	0,24	0,07	-0,10	-0,13	-0,02	-0,03
16HRZ1	0,12	-0,09	0,13	0,07	0,11	-0,02	-0,03	0,15	0,13	0,18	0,02	0,10	0,05	0,14	0,07	0,13	0,06	-0,02	0,04
16VRZ2	0,00	0,10	0,04	0,07	-0,04	-0,08	-0,13	0,01	-0,06	-0,12	-0,13	0,01	0,07	0,24	0,00	-0,02	-0,05	-0,14	-0,14
16VRZ3	-0,17	-0,02	0,02	0,06	-0,23	-0,03	-0,09	-0,03	-0,15	-0,23	-0,17	-0,10	0,12	0,21	-0,20	-0,16	-0,18	-0,06	-0,14
16HKZ	-0,10	-0,02	-0,03	0,11	0,00	-0,10	-0,11	0,04	0,04	0,03	-0,06	0,01	-0,01	0,18	0,23	-0,01	-0,01	-0,03	-0,03
16MD_S	-0,13	0,00	0,06	-0,14	-0,27	-0,23	-0,21	-0,07	-0,05	-0,34	-0,24	-0,20	-0,16	0,05	-0,04	0,03	0,01	-0,18	-0,26
16MD_K	-0,20	-0,25	0,05	-0,12	-0,18	-0,07	-0,04	0,00	0,08	-0,14	-0,20	-0,28	-0,11	-0,03	-0,12	0,05	0,03	-0,01	0,02
16VO_S	-0,12	0,06	0,13	-0,08	-0,21	-0,07	-0,05	0,05	-0,11	-0,17	-0,15	-0,06	0,04	0,03	0,04	0,12	-0,01	-0,05	-0,06
16VO_K	-0,09	-0,13	0,07	-0,02	-0,14	-0,02	-0,01	0,05	-0,09	-0,15	-0,19	-0,12	0,07	0,17	-0,01	0,12	0,02	-0,05	-0,05
26HZ	-0,11	-0,03	0,14	0,01	-0,09	-0,07	-0,10	0,09	-0,11	0,02	-0,11	0,06	0,03	0,21	0,00	-0,01	-0,07	-0,03	-0,01
26HRZ1	0,12	-0,16	0,09	0,00	0,07	0,05	0,06	0,17	0,11	0,20	0,07	0,03	0,05	0,14	-0,10	0,07	0,01	-0,01	0,04
26VRZ2	-0,10	0,02	-0,07	-0,13	-0,10	-0,08	-0,11	0,05	0,03	-0,15	-0,16	-0,08	-0,13	0,21	-0,07	-0,06	-0,11	-0,09	-0,07
26VRZ3	-0,18	0,11	0,03	-0,10	-0,22	-0,11	-0,18	-0,08	-0,18	-0,22	-0,14	0,00	0,10	0,15	-0,01	-0,08	-0,15	-0,05	-0,09

Продовження табл. В.6

1	2	3	4	5	6	7	8	9	10	11	12	13	14	15	16	17	18	19	20
26HKZ	-0,05	0,00	0,10	0,03	-0,05	-0,10	-0,12	-0,02	0,07	0,02	-0,06	-0,05	-0,07	0,20	0,16	0,10	0,08	-0,04	-0,05
26MD_K	-0,18	0,06	0,03	-0,16	-0,26	-0,29	-0,28	-0,04	-0,06	-0,32	-0,24	-0,16	-0,11	0,07	0,07	0,01	-0,01	-0,14	-0,20
26MD_S	-0,22	-0,10	0,02	-0,06	-0,14	0,00	0,00	0,11	0,09	-0,15	-0,21	-0,08	0,00	0,07	-0,17	-0,01	-0,05	-0,08	-0,02
26VO_K	-0,12	-0,02	0,11	-0,12	-0,21	-0,01	0,02	0,15	-0,04	-0,15	-0,13	-0,07	0,06	-0,01	-0,02	0,09	-0,03	-0,03	0,00
26VO_S	-0,07	-0,11	0,12	0,01	-0,15	0,05	0,06	0,12	-0,06	-0,07	-0,15	-0,08	0,10	0,14	-0,06	0,03	-0,03	-0,05	-0,05
27HZ	-0,08	0,03	0,10	0,12	-0,03	-0,04	-0,04	0,17	0,02	0,01	-0,07	0,05	-0,01	0,18	0,11	-0,07	-0,14	-0,02	-0,05
27HRZ1	0,07	0,00	0,06	-0,04	0,01	-0,06	-0,06	0,13	0,09	0,04	0,04	0,10	-0,03	0,10	0,10	-0,03	-0,07	-0,02	-0,01
27VRZ2	-0,09	-0,03	-0,11	-0,11	-0,12	-0,09	-0,11	-0,08	0,07	0,01	-0,06	-0,09	-0,08	0,10	0,01	-0,05	-0,10	-0,03	-0,02
27VRZ3	-0,04	0,02	0,08	-0,04	-0,17	-0,03	-0,05	-0,11	0,03	-0,19	-0,17	-0,27	-0,22	0,07	-0,14	0,02	-0,03	-0,20	-0,17
27HKZ	-0,12	-0,06	0,01	0,08	-0,11	-0,14	-0,16	0,11	-0,03	-0,02	-0,13	0,00	-0,07	0,17	0,09	-0,07	-0,15	-0,04	-0,09
27MD_K	-0,03	-0,20	-0,06	-0,03	-0,14	-0,10	-0,08	0,00	0,02	-0,12	-0,11	-0,18	-0,08	-0,08	-0,05	-0,15	-0,20	-0,01	-0,10
27MD_S	0,06	-0,28	0,05	-0,14	-0,17	-0,06	-0,07	-0,03	0,11	-0,10	-0,18	-0,24	-0,16	-0,07	-0,16	0,05	0,04	-0,14	-0,09
27VO_K	0,00	0,04	0,06	-0,05	-0,12	0,00	0,01	0,16	-0,15	-0,10	-0,14	-0,08	0,05	0,02	-0,09	-0,01	-0,09	-0,12	-0,12
27VO_S	0,03	0,01	0,02	0,02	0,01	0,14	0,14	0,19	-0,09	-0,02	-0,02	-0,06	0,04	0,08	-0,11	-0,05	-0,12	-0,05	-0,03
37HZ	0,01	-0,07	0,08	0,01	-0,11	0,06	0,05	0,13	-0,01	0,06	-0,07	0,02	-0,14	0,00	0,01	-0,03	-0,09	-0,01	0,00
37HRZ1	0,04	-0,07	0,09	-0,01	-0,05	0,03	0,03	0,07	-0,04	0,12	0,01	0,00	-0,11	-0,09	-0,04	-0,03	-0,06	0,02	0,06
37VRZ2	-0,05	-0,21	-0,07	-0,22	-0,20	-0,21	-0,18	0,03	0,00	-0,03	-0,17	-0,14	-0,19	-0,15	-0,11	0,00	-0,01	0,02	0,00
37HKZ	0,01	0,01	0,10	0,06	-0,15	0,04	0,01	0,08	0,06	-0,19	-0,17	-0,07	-0,10	0,17	0,07	-0,03	-0,09	-0,17	-0,22
37MD_K	-0,12	-0,03	-0,03	-0,14	-0,16	-0,10	-0,12	0,03	0,00	-0,18	-0,18	-0,16	-0,09	0,04	0,03	-0,08	-0,09	-0,09	-0,10
37MD_S	-0,09	-0,08	0,06	-0,17	-0,23	-0,15	-0,18	-0,01	-0,05	-0,24	-0,30	-0,34	-0,18	-0,04	-0,14	0,03	0,00	-0,21	-0,15
37VO_K	-0,20	-0,06	0,00	-0,15	-0,20	-0,08	-0,08	0,03	-0,08	-0,07	-0,07	-0,05	-0,18	-0,07	0,01	-0,10	-0,10	0,08	0,11
37VO_S	-0,21	-0,15	-0,11	-0,17	-0,19	-0,13	-0,11	0,02	-0,08	-0,07	-0,12	-0,22	-0,22	-0,15	-0,18	-0,17	-0,16	0,08	0,12
36HZ	-0,03	0,03	0,02	-0,15	-0,21	-0,12	-0,12	0,17	-0,08	-0,20	-0,27	-0,14	-0,19	0,05	-0,15	0,09	-0,03	-0,24	-0,22
36HRZ1	-0,01	-0,03	0,04	-0,19	-0,12	-0,13	-0,13	0,17	-0,01	-0,07	-0,12	-0,14	-0,20	-0,05	-0,10	0,11	0,01	-0,12	-0,08
36VRZ2	0,01	-0,01	0,05	-0,14	-0,11	-0,22	-0,22	0,21	-0,05	-0,19	-0,30	-0,22	-0,23	0,00	-0,14	0,12	0,05	-0,28	-0,26
36HKZ	-0,04	-0,05	0,13	0,09	-0,16	0,10	0,05	-0,02	-0,01	-0,16	-0,13	-0,20	-0,06	0,19	-0,13	0,10	-0,02	-0,13	-0,14
36MD_K	-0,22	-0,21	-0,09	-0,15	-0,15	-0,07	-0,03	0,01	0,11	-0,02	-0,07	-0,11	-0,14	-0,02	0,11	-0,07	-0,08	0,13	0,13
36MD_S	-0,12	-0,15	-0,06	-0,06	-0,21	-0,05	-0,03	-0,04	-0,05	-0,12	-0,20	-0,24	-0,05	0,00	-0,16	0,07	0,02	-0,04	-0,01

Продовження табл. В.6

1	2	3	4	5	6	7	8	9	10	11	12	13	14	15	16	17	18	19	20
36VO_K	-0,12	-0,20	0,00	-0,20	-0,26	-0,11	-0,13	0,09	0,05	-0,05	-0,12	-0,15	-0,13	-0,09	0,01	-0,14	-0,14	0,01	0,02
36VO_S	-0,21	-0,20	-0,07	-0,27	-0,25	-0,09	-0,07	0,04	0,00	-0,10	-0,12	-0,18	-0,11	-0,07	-0,09	-0,08	-0,11	0,05	0,09
46HZ	-0,11	0,01	-0,05	-0,09	-0,20	-0,07	-0,07	0,18	-0,03	-0,14	-0,23	0,04	-0,04	0,03	-0,15	-0,06	-0,15	-0,16	-0,16
46HRZ1	-0,08	-0,01	-0,02	-0,03	-0,07	-0,14	-0,15	0,18	-0,01	-0,05	-0,15	-0,05	-0,17	-0,05	-0,09	0,00	-0,07	-0,13	-0,12
46VRZ2	0,00	-0,06	0,16	-0,16	-0,14	-0,13	-0,14	0,22	-0,02	-0,07	-0,16	-0,13	-0,26	-0,03	-0,08	0,06	0,00	-0,17	-0,19
46HKZ	-0,06	-0,03	0,17	0,22	-0,04	0,04	0,01	0,04	-0,10	-0,16	-0,12	-0,10	0,07	0,11	-0,16	-0,01	-0,14	-0,12	-0,16
46MD_K	-0,15	-0,13	0,04	-0,15	-0,18	-0,19	-0,16	-0,09	-0,14	-0,19	-0,14	-0,21	-0,21	-0,03	0,16	-0,12	-0,13	0,03	-0,02
46MD_S	0,04	-0,12	-0,09	-0,13	-0,21	-0,08	-0,09	-0,16	-0,22	-0,08	-0,18	-0,11	0,05	0,04	0,00	-0,12	-0,12	-0,16	-0,13
46VO_K	0,03	-0,17	0,06	-0,24	-0,22	-0,13	-0,09	-0,04	0,00	-0,03	-0,10	-0,03	-0,03	-0,06	0,15	-0,04	-0,04	-0,05	-0,03
46VO_S	-0,19	-0,14	-0,04	-0,21	-0,16	-0,14	-0,10	-0,05	-0,10	-0,05	-0,07	-0,11	-0,10	-0,01	0,05	-0,15	-0,14	0,06	0,08
47HZ	-0,07	-0,08	-0,02	0,08	-0,10	0,00	-0,02	0,09	-0,05	-0,02	-0,18	-0,04	-0,07	0,06	-0,05	-0,09	-0,12	-0,08	-0,10
47HRZ1	-0,03	0,05	-0,06	0,04	0,01	0,03	0,03	0,04	-0,05	0,05	-0,07	0,05	0,02	-0,09	0,05	-0,07	-0,06	-0,02	-0,02
47VRZ2	-0,12	-0,15	-0,12	-0,09	-0,16	-0,19	-0,16	0,05	-0,04	-0,05	-0,19	-0,11	-0,22	-0,17	-0,11	-0,11	-0,12	0,00	-0,07
47HKZ	-0,11	-0,22	0,08	0,02	-0,16	0,04	-0,02	0,06	0,08	-0,23	-0,18	-0,25	-0,13	0,18	-0,16	-0,04	-0,08	-0,10	-0,12
47MD_K	-0,15	-0,06	-0,04	-0,18	-0,25	-0,17	-0,19	-0,06	-0,04	-0,27	-0,27	-0,20	-0,20	0,02	-0,01	-0,14	-0,18	-0,10	-0,12
47MD_S	-0,12	-0,13	0,11	-0,27	-0,29	-0,20	-0,22	-0,03	-0,03	-0,22	-0,23	-0,25	-0,21	-0,07	-0,14	-0,06	-0,06	-0,17	-0,11
47VO_K	-0,14	0,06	-0,04	-0,16	-0,19	-0,15	-0,12	0,09	-0,09	-0,06	-0,11	0,00	-0,09	-0,10	0,10	-0,02	-0,02	0,02	0,05
47VO_S	-0,20	-0,07	-0,08	-0,18	-0,20	-0,13	-0,11	0,08	-0,05	0,00	-0,05	-0,07	-0,12	-0,10	0,00	-0,07	-0,05	0,11	0,14

Таблиця В.7

Кореляції розмірів ВКЗ із кефалометричними показниками мозкового черепа чоловіків західного регіону України (n=16-36).

	DUG_	DUG_	DUGS_	G_OP	EU_EU	FMT_	KRANIO	TIP_
1	GOP	AUAU	GOP			FMT		GOL
	2	3	4	5	6	7	8	9
17HZ	-0,01	0,25	-0,03	-0,02	0,00	0,09	-0,02	-0,04
17HRZ1	-0,15	0,05	-0,09	-0,18	0,00	0,17	0,11	0,10
17VRZ2	-0,06	0,22	-0,07	0,10	-0,07	-0,06	-0,12	-0,10
17VRZ3	0,19	<u>0,32</u>	0,25	<u>0,32</u>	0,10	0,24	-0,07	-0,08
17HKZ	0,03	0,13	-0,01	<u>0,20</u>	0,03	-0,05	-0,18	-0,17
17MD_K	-0,09	0,07	0,03	-0,08	0,29	0,37	0,25	0,25
17MD_S	-0,14	0,02	0,15	-0,09	0,28	<u>0,30</u>	0,29	0,28
17VO_K	0,23	-0,05	0,17	<u>0,31</u>	-0,21	-0,24	-0,41	-0,33
17VO_S	0,27	0,02	0,28	0,36	-0,22	-0,13	-0,43	-0,36
16HZ	0,13	<u>0,30</u>	0,03	0,01	0,16	0,20	0,11	0,04
16HRZ1	-0,14	0,15	-0,06	-0,15	-0,06	0,15	-0,02	-0,03
16VRZ2	0,09	0,29	<u>0,33</u>	0,26	0,04	0,14	-0,14	-0,12
16VRZ3	0,09	0,21	0,02	0,07	0,00	0,06	-0,03	-0,03
16HKZ	0,17	0,25	0,22	<u>0,32</u>	0,17	0,14	-0,08	-0,14
16MD_S	0,17	0,14	0,34	0,39	0,02	0,05	-0,19	-0,26
16MD_K	0,04	0,18	0,23	0,13	0,19	0,14	0,08	0,11
16VO_S	0,14	0,06	0,18	0,28	-0,18	-0,06	-0,38	-0,37
16VO_K	0,09	-0,07	0,09	0,22	-0,20	-0,02	<u>-0,33</u>	-0,29
26HZ	0,16	0,24	-0,01	0,05	-0,02	0,03	-0,06	-0,13
26HRZ1	-0,02	0,17	-0,15	-0,08	-0,02	0,05	0,01	0,00
26VRZ2	-0,10	0,00	0,04	0,20	-0,09	0,08	-0,23	-0,26
26VRZ3	0,09	0,17	0,06	0,10	-0,03	0,05	-0,10	-0,12
26HKZ	0,21	0,22	0,22	0,24	0,09	0,07	-0,04	-0,14
26MD_K	0,21	<u>0,32</u>	0,39	0,33	0,24	0,17	0,01	-0,12
26MD_S	0,03	0,19	0,24	0,24	0,15	0,19	-0,02	-0,09
26VO_K	0,09	0,06	0,14	<u>0,31</u>	-0,20	-0,12	-0,41	-0,35
26VO_S	-0,02	0,00	0,05	0,18	-0,21	-0,06	-0,27	-0,23
27HZ	-0,14	0,17	-0,06	0,05	-0,23	-0,11	-0,25	-0,20
27HRZ1	-0,33	-0,02	-0,24	-0,19	-0,03	0,05	0,10	0,09
27VRZ2	0,02	<u>0,32</u>	0,06	0,25	-0,18	-0,12	-0,29	-0,29
27VRZ3	0,12	0,18	0,16	0,28	-0,18	0,08	<u>-0,33</u>	-0,35
27HKZ	0,03	0,29	0,04	0,11	0,00	0,00	-0,07	-0,09
27MD_K	-0,25	-0,04	-0,11	-0,02	0,25	0,19	0,23	0,22
27MD_S	0,01	0,08	0,08	0,05	0,34	<u>0,30</u>	0,23	0,22
27VO_K	0,14	0,02	0,16	0,29	-0,28	<u>-0,30</u>	-0,48	-0,37
27VO_S	0,17	-0,05	0,18	<u>0,32</u>	<u>-0,30</u>	<u>-0,32</u>	-0,49	-0,38
37HZ	-0,01	0,03	-0,06	-0,04	-0,13	-0,01	-0,11	-0,10
37HRZ1	-0,11	-0,10	-0,19	-0,21	-0,11	-0,07	0,01	0,04
37VRZ2	-0,17	-0,07	-0,27	-0,27	-0,27	-0,23	-0,04	-0,01
37HKZ	-0,04	0,19	0,15	0,17	0,10	0,34	0,03	-0,08
37MD_K	0,04	0,17	0,26	0,26	0,36	0,36	0,07	0,12

Продовження табл. В.7

1	2	3	4	5	6	7	8	9
37MD_S	0,00	0,17	0,11	0,16	<u>0,33</u>	0,38	0,15	0,18
37VO_K	0,07	0,01	0,20	0,17	<u>0,31</u>	0,08	0,09	0,06
37VO_S	0,03	0,04	0,09	0,06	0,24	0,10	0,13	0,14
36HZ	-0,06	-0,02	-0,05	0,04	-0,28	-0,27	<u>-0,31</u>	-0,24
36HRZ1	0,00	0,07	0,05	-0,06	-0,13	-0,24	-0,14	-0,06
36VRZ2	-0,09	-0,02	-0,09	-0,09	-0,18	-0,18	-0,20	-0,10
36HKZ	0,03	0,01	-0,03	0,28	-0,24	-0,17	-0,34	-0,38
36MD_K	0,29	0,27	0,34	0,39	0,35	0,10	0,09	0,07
36MD_S	0,20	0,13	0,38	0,42	0,37	0,20	0,05	0,06
36VO_K	0,15	<u>0,30</u>	<u>0,31</u>	0,24	0,51	<u>0,30</u>	0,26	0,22
36VO_S	0,08	0,13	0,25	0,20	0,37	0,26	0,20	0,14
46HZ	-0,06	-0,10	-0,07	0,07	-0,05	-0,14	-0,11	-0,03
46HRZ1	0,02	0,10	-0,01	-0,12	0,07	-0,05	0,10	0,15
46VRZ2	0,08	0,14	0,07	-0,03	-0,10	-0,12	-0,15	-0,09
46HKZ	-0,01	0,00	-0,17	0,19	-0,18	-0,21	-0,25	-0,26
46MD_K	0,13	0,01	0,14	0,28	0,26	0,01	0,06	0,02
46MD_S	0,17	-0,08	0,35	<u>0,32</u>	0,41	0,27	0,15	0,13
46VO_K	0,17	0,24	0,35	0,28	0,48	0,34	0,19	0,14
46VO_S	0,18	0,22	<u>0,31</u>	0,18	0,28	0,28	0,15	0,03
47HZ	-0,14	-0,08	-0,07	-0,13	-0,10	0,00	-0,02	0,00
47HRZ1	-0,25	-0,19	-0,22	-0,19	-0,14	-0,14	0,01	0,04
47VRZ2	-0,12	0,01	-0,14	-0,21	-0,20	-0,27	-0,04	-0,02
47HKZ	-0,09	0,24	0,11	0,13	0,20	0,33	0,10	0,04
47MD_K	0,06	0,26	<u>0,30</u>	<u>0,31</u>	<u>0,30</u>	<u>0,31</u>	-0,02	0,01
47MD_S	0,04	0,16	0,26	0,17	0,41	0,28	0,19	0,19
47VO_K	0,21	0,16	0,24	0,23	0,29	0,06	0,03	-0,01
47VO_S	0,08	0,03	0,01	0,11	0,15	0,05	0,05	0,02

Таблиця В.8

**Кореляції розмірів ВКЗ із кефалометричними показниками лицевого черепа чоловіків
західного регіону України (n=16-36).**

	ZY_ ZY	ZM_ ZM	GO_ GO	TR_ N	TR_ GN	N_ PRN	N_ SN	SN_ PRN	N_ STO	N_I	N_ GN	MF_ MF	EK_ EK	AL_ AL	CHI_ CHI	PGO _GN	IGO _GN	IN_ GARS	TIP_ LICA
1	2	3	4	5	6	7	8	9	10	11	12	13	14	15	16	17	18	19	20
17HZ	0,00	-0,04	0,09	-0,11	-0,08	-0,13	-0,15	0,16	0,05	0,24	0,19	0,06	0,28	-0,29	0,03	0,01	0,01	0,15	0,17
17HRZ1	0,05	-0,13	-0,12	-0,09	-0,03	-0,10	-0,13	0,27	0,14	0,14	0,20	0,02	0,07	-0,35	-0,24	0,05	0,00	0,21	0,20
17VRZ2	-0,08	-0,04	-0,20	0,19	-0,16	-0,11	-0,08	0,02	0,13	-0,18	-0,16	-0,22	0,22	-0,04	-0,04	0,49	0,45	-0,06	-0,03
17VRZ3	0,08	0,08	-0,12	0,37	-0,04	-0,13	-0,02	-0,01	-0,04	-0,11	-0,16	0,23	0,40	0,24	0,00	0,23	0,18	-0,23	-0,18
17HKZ	0,12	-0,21	0,16	-0,10	0,16	0,13	0,08	0,19	0,21	0,61	0,50	-0,01	0,14	-0,36	-0,03	-0,16	-0,23	0,47	0,43
17MD_K	0,36	-0,22	0,03	0,14	0,29	0,39	<u>0,32</u>	<u>0,31</u>	0,25	0,20	0,09	0,07	0,23	-0,08	-0,06	0,18	0,13	0,01	0,07
17MD_S	0,38	-0,29	0,10	0,04	0,19	<u>0,32</u>	0,26	0,20	0,03	0,15	0,11	-0,06	0,17	-0,02	-0,08	0,26	0,25	0,07	0,08
17VO_K	-0,02	<u>-0,31</u>	0,12	0,00	0,04	0,00	0,06	-0,12	-0,13	0,25	0,18	<u>-0,31</u>	0,09	-0,02	0,02	-0,09	-0,03	0,42	0,33
17VO_S	0,04	-0,34	0,01	0,10	0,08	0,00	0,11	-0,18	-0,10	0,10	0,10	-0,34	0,03	-0,04	0,00	-0,04	0,05	<u>-0,31</u>	<u>-0,32</u>
16HZ	0,09	-0,02	0,13	0,13	0,08	-0,06	-0,05	0,29	0,11	0,15	0,15	0,16	0,37	-0,11	0,14	0,19	0,18	0,07	0,08
16HRZ1	0,10	-0,28	-0,17	-0,05	-0,08	-0,12	-0,15	0,04	0,11	0,05	0,03	0,10	0,08	<u>-0,32</u>	-0,20	0,03	-0,08	0,14	0,04
16VRZ2	0,23	-0,40	-0,06	0,28	0,21	0,10	0,13	-0,02	-0,02	0,04	0,16	-0,02	0,07	-0,08	-0,23	0,11	0,04	0,26	0,28
16VRZ3	0,01	-0,02	-0,14	0,34	-0,02	-0,11	-0,04	0,12	-0,18	-0,15	-0,06	0,08	0,46	0,37	0,07	0,42	0,37	-0,01	0,02
16HKZ	0,22	0,06	0,12	0,10	0,20	0,16	0,19	0,29	0,55	0,43	0,39	-0,02	0,18	-0,37	-0,11	-0,04	0,01	0,12	0,20
16MD_S	0,10	-0,22	0,13	0,38	<u>0,31</u>	0,14	0,18	0,04	0,02	0,03	0,06	0,15	0,34	0,07	0,27	0,19	0,21	0,16	0,24
16MD_K	0,20	-0,25	<u>0,31</u>	-0,02	0,14	0,11	0,11	0,10	-0,21	0,04	-0,05	0,10	<u>0,31</u>	0,15	-0,02	0,25	0,22	-0,01	0,09
16VO_S	-0,08	-0,05	0,16	-0,02	-0,15	<u>-0,30</u>	-0,19	-0,05	-0,11	-0,07	-0,11	0,01	<u>0,31</u>	0,13	0,23	0,02	0,10	0,00	-0,01
16VO_K	-0,05	-0,09	0,11	-0,03	-0,12	<u>-0,32</u>	-0,21	-0,09	-0,13	-0,04	-0,12	0,01	0,16	0,04	0,21	-0,10	-0,01	0,07	-0,02
26HZ	0,01	0,11	0,18	0,04	-0,05	-0,28	-0,25	0,26	0,00	0,09	0,07	0,13	0,43	0,02	0,21	0,18	0,24	0,02	0,00
26HRZ1	0,04	-0,22	-0,11	-0,11	-0,16	-0,23	-0,22	0,12	-0,01	-0,08	-0,04	-0,15	0,12	-0,19	0,04	0,25	0,22	0,12	0,00
26VRZ2	0,14	-0,17	-0,04	-0,10	-0,25	<u>-0,30</u>	-0,27	0,15	0,11	-0,03	0,10	-0,07	0,06	-0,14	0,00	0,06	0,07	0,13	0,11
26VRZ3	0,07	0,00	-0,05	<u>0,30</u>	-0,05	-0,15	-0,15	0,12	-0,02	0,07	0,14	0,22	0,39	0,18	-0,19	0,23	0,20	0,10	0,14

Продовження табл. В.8

1	2	3	4	5	6	7	8	9	10	11	12	13	14	15	16	17	18	19	20
26HKZ	0,24	0,14	0,26	0,12	0,12	0,10	0,14	<u>0,30</u>	0,33	0,27	0,25	0,06	0,33	-0,16	0,15	-0,03	0,06	-0,04	0,00
26MD_K	0,23	-0,24	0,05	0,39	<u>0,31</u>	0,25	<u>0,32</u>	0,22	0,26	-0,03	0,10	-0,05	0,23	0,05	0,08	0,34	0,38	0,10	0,21
26MD_S	0,23	<u>-0,32</u>	0,07	0,02	0,17	0,16	<u>0,22</u>	0,18	0,07	0,08	0,00	-0,13	0,17	0,12	-0,04	0,27	<u>0,32</u>	0,12	0,12
26VO_K	-0,20	0,04	0,09	-0,07	-0,16	-0,22	-0,12	-0,07	-0,10	0,01	-0,09	-0,01	0,24	0,15	0,23	-0,06	0,04	0,04	0,05
26VO_S	-0,16	-0,01	0,03	-0,13	-0,27	-0,28	-0,16	-0,05	-0,17	-0,09	-0,20	-0,02	0,19	0,09	0,21	-0,01	0,07	0,01	-0,06
27HZ	-0,19	0,02	-0,13	-0,16	-0,14	-0,11	-0,11	0,23	0,08	0,13	0,13	-0,10	0,09	-0,27	-0,06	-0,03	-0,05	0,21	0,19
27HRZ1	-0,09	0,04	-0,19	-0,34	-0,27	-0,25	<u>-0,30</u>	0,24	0,16	0,11	0,15	-0,07	-0,15	-0,48	-0,15	-0,14	-0,20	0,14	0,07
27VRZ2	-0,04	-0,09	-0,11	0,17	-0,09	-0,08	<u>-0,02</u>	0,15	0,10	-0,10	-0,05	-0,22	<u>0,30</u>	-0,05	-0,11	0,43	0,35	0,00	0,05
27VRZ3	0,06	0,01	0,02	0,37	-0,10	<u>-0,32</u>	-0,29	-0,05	-0,06	-0,05	-0,07	0,48	0,52	0,08	-0,11	0,17	0,10	-0,09	-0,06
27HKZ	-0,02	-0,02	-0,07	0,01	0,03	0,08	0,10	0,18	0,12	<u>0,32</u>	0,22	-0,01	0,25	-0,11	0,09	-0,05	-0,08	0,22	0,17
27MD_K	0,13	-0,13	0,06	0,01	0,15	0,24	0,16	0,38	0,17	0,15	0,05	-0,09	0,23	-0,02	0,12	<u>0,31</u>	0,25	0,04	0,11
27MD_S	0,41	-0,34	0,17	0,17	0,25	0,21	0,16	0,11	-0,05	0,14	0,00	0,06	0,28	0,08	-0,15	0,36	0,34	0,02	0,03
27VO_K	-0,16	-0,14	0,11	-0,10	-0,01	0,03	0,08	0,01	-0,12	0,19	0,16	<u>-0,31</u>	0,06	0,00	0,08	-0,07	0,01	0,34	<u>0,31</u>
27VO_S	-0,14	-0,20	0,11	-0,12	-0,09	-0,01	0,04	-0,02	-0,14	0,17	0,14	<u>-0,30</u>	0,03	-0,02	0,05	-0,09	-0,02	0,35	0,29
37HZ	0,02	-0,07	-0,03	-0,11	-0,28	-0,23	-0,26	0,05	-0,04	0,13	0,16	0,15	0,11	-0,13	-0,27	-0,02	-0,06	0,17	0,11
37HRZ1	-0,08	0,02	0,04	-0,23	-0,26	-0,17	-0,24	0,11	-0,07	0,16	0,16	0,11	0,07	-0,12	-0,18	-0,07	-0,08	0,17	0,14
37VRZ2	-0,18	0,02	-0,12	-0,22	-0,37	<u>-0,30</u>	<u>-0,31</u>	-0,07	-0,34	-0,06	-0,05	-0,01	0,09	-0,03	-0,19	-0,02	0,04	0,13	0,08
37HKZ	0,29	-0,20	-0,06	0,19	-0,06	-0,07	-0,07	0,10	0,01	0,08	0,07	0,25	0,20	-0,13	-0,07	0,12	0,01	0,05	-0,05
37MD_K	0,34	-0,02	-0,10	0,13	0,13	0,28	<u>0,32</u>	0,25	0,38	0,29	0,07	0,09	<u>0,32</u>	0,14	-0,09	0,16	0,11	-0,14	-0,01
37MD_S	0,37	-0,18	0,15	-0,02	0,10	0,06	0,09	0,12	0,18	0,26	0,05	0,11	0,36	-0,11	-0,14	0,29	<u>0,30</u>	-0,04	0,05
37VO_K	0,20	-0,23	0,16	0,01	0,26	<u>0,31</u>	0,28	0,35	0,29	0,46	0,34	-0,10	0,33	0,08	-0,12	0,25	0,20	0,26	0,37
37VO_S	0,14	-0,10	0,20	-0,03	0,22	<u>0,31</u>	0,26	0,37	0,15	<u>0,30</u>	0,21	-0,02	0,27	0,10	-0,03	0,28	0,29	0,13	0,27
36HZ	-0,19	0,02	-0,12	-0,22	-0,39	-0,21	-0,23	-0,03	-0,06	0,11	0,03	0,06	0,00	0,06	-0,10	-0,21	-0,25	0,17	0,04
36HRZ1	-0,08	-0,14	0,06	-0,07	-0,11	-0,02	-0,06	-0,07	-0,02	0,13	0,16	0,03	0,05	-0,07	-0,15	-0,01	-0,05	0,25	0,17
36VRZ2	-0,13	-0,14	-0,09	-0,23	-0,25	-0,19	-0,26	-0,04	-0,13	0,12	0,08	0,06	0,02	-0,03	-0,14	-0,07	-0,15	0,24	0,18
36HKZ	-0,12	0,16	-0,02	0,01	-0,11	-0,16	-0,10	-0,02	0,06	0,24	0,11	0,18	0,12	0,03	0,13	-0,29	-0,29	0,12	0,00
36MD_K	0,18	0,09	0,14	0,08	0,15	0,22	0,35	0,27	0,17	0,11	-0,03	<u>-0,33</u>	0,12	0,10	0,14	0,19	0,28	-0,20	-0,13
36MD_S	0,23	-0,10	0,13	0,04	0,15	0,28	0,40	0,29	<u>0,31</u>	0,22	0,05	-0,16	0,19	0,06	0,07	0,21	0,24	-0,03	0,03

Продовження табл. В.8

1	2	3	4	5	6	7	8	9	10	11	12	13	14	15	16	17	18	19	20
36VO_K	0,29	-0,04	0,19	0,03	0,27	<u>0,30</u>	<u>0,30</u>	0,52	0,29	0,29	0,15	-0,15	0,23	-0,06	0,04	0,29	0,26	-0,08	0,03
36VO_S	0,27	-0,14	0,21	0,04	0,25	0,17	0,20	0,47	0,11	0,08	0,02	-0,17	0,22	0,14	0,09	0,36	0,40	-0,05	0,03
46HZ	-0,17	-0,01	-0,25	-0,25	<u>-0,32</u>	-0,07	-0,05	0,03	0,02	0,18	0,01	-0,13	-0,06	0,15	-0,06	-0,13	-0,19	0,16	0,02
46HRZ1	0,01	-0,10	0,01	-0,05	-0,11	0,16	0,10	-0,03	0,03	0,18	0,10	0,05	0,02	0,00	-0,08	-0,01	-0,04	0,13	0,03
46VRZ2	-0,05	-0,19	0,06	-0,12	-0,17	-0,16	-0,23	-0,03	-0,23	0,04	0,00	0,10	0,06	0,00	-0,04	-0,07	-0,16	0,14	0,07
46HKZ	-0,23	0,12	-0,10	0,08	-0,04	-0,15	-0,08	-0,04	0,05	<u>0,30</u>	0,13	0,03	0,22	0,10	0,09	-0,12	-0,09	0,24	0,13
46MD_K	0,08	0,13	0,11	-0,03	0,07	0,01	0,12	0,37	0,23	0,23	0,14	-0,33	0,15	0,04	0,10	0,10	0,20	-0,01	0,07
46MD_S	<u>0,31</u>	-0,23	0,14	0,10	0,23	0,25	0,35	0,35	0,34	<u>0,31</u>	0,17	-0,15	0,17	0,02	0,00	0,16	0,18	0,13	0,16
46VO_K	0,39	-0,22	0,25	0,10	0,35	0,24	0,25	0,46	0,28	<u>0,31</u>	0,19	-0,14	<u>0,30</u>	-0,11	0,04	0,33	0,29	0,02	0,11
46VO_S	<u>0,33</u>	-0,14	0,22	0,15	0,26	0,09	0,12	0,44	0,07	0,05	0,02	-0,05	0,33	0,15	0,07	0,36	0,43	-0,06	0,02
47HZ	-0,06	0,04	-0,25	-0,24	-0,23	-0,08	-0,11	0,18	0,10	0,24	0,24	0,04	-0,09	-0,14	-0,27	-0,25	-0,28	0,23	0,18
47HRZ1	-0,21	0,07	-0,16	<u>-0,32</u>	<u>-0,31</u>	-0,09	-0,15	0,18	-0,01	0,20	0,13	-0,01	-0,07	-0,05	-0,19	-0,15	-0,20	0,21	0,15
47VRZ2	-0,19	0,01	-0,11	-0,20	<u>-0,32</u>	-0,25	-0,24	-0,01	-0,28	-0,01	0,01	-0,11	0,11	0,05	-0,21	-0,01	0,01	0,15	0,13
47HKZ	0,17	0,05	-0,24	0,16	0,13	0,14	0,12	0,27	0,29	0,24	0,21	0,25	-0,02	-0,23	-0,12	-0,17	-0,22	0,06	0,04
47MD_K	<u>0,30</u>	-0,07	-0,07	0,20	0,18	0,26	<u>0,30</u>	0,23	0,36	<u>0,33</u>	0,10	0,15	0,40	0,10	-0,13	0,16	0,09	-0,08	0,05
47MD_S	0,28	-0,14	0,20	-0,04	0,25	0,21	0,22	0,14	0,20	0,41	0,14	0,07	0,33	0,00	-0,06	0,11	0,10	0,02	0,14
47VO_K	0,21	-0,17	0,18	0,11	0,29	0,27	0,27	<u>0,30</u>	0,23	0,41	0,28	-0,05	0,43	0,19	-0,07	0,28	0,24	0,15	0,28
47VO_S	0,17	-0,15	0,22	0,02	0,13	0,01	0,03	0,21	0,03	0,21	0,14	-0,05	0,45	0,17	-0,02	0,42	0,47	0,14	0,23

Таблиця В.9

Кореляції розмірів ВКЗ із кефалометричними показниками мозкового черепа чоловіків східного регіону України (n=12-35).

	DUG_	DUG_	DUGS_	G_OP	EU_EU	FMT_	KRANIO	TIP_
1	GOP	AUAU	GOP			FMT		GOL
	2	3	4	5	6	7	8	9
17HZ	-0,22	-0,06	-0,16	-0,36	0,13	0,13	0,39	0,34
17HRZ1	-0,06	0,07	-0,09	-0,09	0,22	0,21	0,28	0,18
17VRZ2	0,14	0,13	0,07	0,06	0,17	0,25	0,17	0,09
17VRZ3	-0,08	-0,09	0,02	-0,11	-0,04	0,14	0,09	0,03
17HKZ	-0,19	-0,04	-0,27	-0,10	-0,10	<u>-0,30</u>	-0,03	-0,03
17MD_K	-0,21	0,06	<u>-0,33</u>	0,02	-0,26	-0,60	-0,19	-0,19
17MD_S	<u>-0,31</u>	-0,23	-0,25	-0,26	-0,12	-0,29	0,08	0,06
17VO_K	0,17	0,16	0,18	-0,03	<u>0,31</u>	0,14	0,26	0,27
17VO_S	0,16	0,15	0,15	-0,03	0,36	0,13	<u>0,30</u>	<u>0,31</u>
16HZ	-0,11	-0,06	-0,03	-0,04	0,01	-0,11	0,04	0,03
16HRZ1	0,03	0,08	-0,07	0,13	-0,01	0,04	0,02	-0,10
16VRZ2	0,04	0,02	-0,05	-0,01	<u>0,33</u>	0,14	0,25	0,24
16VRZ3	-0,09	-0,12	-0,11	-0,08	-0,01	0,23	0,06	-0,03
16HKZ	-0,03	-0,06	0,04	-0,01	0,01	-0,26	-0,03	-0,06
16MD_S	-0,02	-0,02	-0,23	0,02	0,07	-0,19	0,01	-0,05
16MD_K	-0,14	-0,08	-0,03	-0,22	-0,01	-0,19	0,15	0,10
16VO_S	0,25	0,20	0,05	-0,03	0,39	0,10	<u>0,33</u>	0,28
16VO_K	0,05	0,06	0,08	-0,05	0,19	-0,02	0,16	0,14
26HZ	0,01	-0,10	0,01	-0,09	0,19	-0,09	0,19	0,13
26HRZ1	0,21	0,16	-0,01	0,16	0,18	0,03	0,10	-0,04
26VRZ2	0,08	0,01	0,05	-0,06	0,34	0,17	<u>0,32</u>	0,26
26VRZ3	-0,14	-0,24	-0,28	-0,26	0,03	0,06	0,21	0,16
26HKZ	0,02	-0,15	0,04	-0,06	0,08	-0,19	0,03	0,01
26MD_K	-0,01	-0,05	-0,25	-0,07	0,09	-0,15	0,12	-0,01
26MD_S	0,01	-0,04	-0,11	-0,03	-0,04	-0,14	0,00	-0,03
26VO_K	0,28	0,22	0,03	0,00	0,37	0,01	0,29	0,24
26VO_S	0,08	0,03	0,13	-0,12	0,26	0,03	0,26	0,25
27HZ	-0,01	0,13	0,07	-0,02	0,06	0,11	0,09	0,06
27HRZ1	0,08	0,16	0,12	0,13	0,16	0,18	0,11	0,03
27VRZ2	0,16	0,10	0,14	0,09	0,20	0,20	0,16	0,08
27VRZ3	-0,13	0,04	0,10	-0,04	-0,12	0,11	-0,01	0,01
27HKZ	-0,01	-0,02	-0,05	-0,05	0,04	-0,05	0,06	0,01
27MD_K	-0,18	0,02	-0,24	-0,17	-0,06	-0,36	0,07	0,05
27MD_S	-0,06	-0,06	-0,11	-0,08	-0,05	<u>-0,30</u>	0,03	-0,02
27VO_K	0,12	0,18	0,09	-0,10	0,27	0,08	0,25	0,26
27VO_S	0,16	0,20	0,20	-0,11	0,35	0,18	<u>0,32</u>	0,35
37HZ	-0,09	0,05	0,16	0,00	-0,27	-0,18	-0,18	-0,18
37HRZ1	0,03	0,00	0,34	-0,01	-0,24	0,08	-0,14	-0,13
37VRZ2	-0,09	-0,17	0,17	-0,09	-0,20	-0,02	-0,08	-0,11
37HKZ	-0,04	0,01	0,03	0,05	-0,07	-0,07	-0,09	-0,13
37MD_K	-0,02	-0,03	-0,07	-0,04	-0,20	-0,18	-0,13	-0,16

Продовження табл. В.9

1	2	3	4	5	6	7	8	9
37MD_S	-0,01	-0,03	0,03	0,00	-0,11	0,09	-0,09	-0,13
37VO_K	0,16	0,19	-0,02	0,00	0,17	-0,05	0,11	0,11
37VO_S	0,05	0,20	0,03	-0,11	0,20	-0,01	0,18	0,22
36HZ	0,15	-0,01	0,07	-0,09	0,04	0,10	0,11	0,07
36HRZ1	0,07	-0,01	0,00	-0,08	-0,06	0,04	0,05	-0,01
36VRZ2	0,08	-0,07	-0,21	-0,28	0,19	0,11	0,36	<u>0,31</u>
36HKZ	0,07	-0,01	0,01	-0,15	0,12	0,04	0,16	0,13
36MD_K	0,04	-0,06	0,03	-0,03	-0,17	-0,02	-0,11	-0,17
36MD_S	-0,13	-0,12	-0,28	-0,28	-0,01	-0,16	0,19	0,03
36VO_K	-0,10	-0,07	-0,16	-0,04	-0,18	-0,10	-0,08	-0,14
36VO_S	-0,03	-0,12	-0,36	-0,18	0,07	0,01	0,16	0,11
46HZ	0,17	0,09	0,04	0,00	0,03	0,03	0,06	0,01
46HRZ1	0,16	0,13	0,03	0,10	-0,09	0,01	-0,07	-0,14
46VRZ2	0,24	0,15	-0,02	-0,05	0,18	0,15	0,22	0,18
46HKZ	0,10	0,00	0,03	-0,08	0,11	0,03	0,10	0,07
46MD_K	-0,01	-0,14	0,05	0,00	-0,18	-0,04	-0,14	-0,21
46MD_S	-0,10	-0,08	<u>-0,33</u>	-0,25	-0,08	<u>-0,31</u>	0,12	-0,02
46VO_K	-0,12	-0,03	-0,20	-0,02	-0,18	-0,14	-0,09	-0,15
46VO_S	0,04	-0,04	<u>-0,32</u>	-0,15	0,20	0,16	0,25	0,19
47HZ	-0,21	-0,11	0,08	-0,22	<u>-0,30</u>	-0,12	-0,07	-0,10
47HRZ1	-0,06	-0,04	0,26	-0,13	-0,18	0,15	-0,01	0,03
47VRZ2	-0,06	-0,07	0,24	-0,20	-0,15	-0,05	0,05	0,06
47HKZ	-0,19	-0,13	-0,07	-0,06	-0,24	-0,21	-0,18	-0,24
47MD_K	0,03	-0,06	-0,02	0,11	-0,17	-0,28	-0,20	-0,20
47MD_S	0,05	-0,15	-0,03	-0,01	-0,04	-0,17	-0,07	-0,09
47VO_K	0,21	0,24	0,10	0,07	0,18	-0,02	0,12	0,07
47VO_S	<u>0,30</u>	<u>0,32</u>	0,24	0,03	0,28	0,17	0,18	0,18

Таблиця В.10

**Кореляції розмірів ВКЗ із кефалометричними показниками лицевого черепа чоловіків
східного регіону України (n=12-35).**

	ZY_ ZY	ZM_ ZM	GO_ GO	TR_ N	TR_ GN	N_ PRN	N_ SN	SN_ PRN	N_ STO	N_I	N_ GN	MF_ MF	EK_ EK	AL_ AL	CHI_ CHI	PGO _GN	IGO _GN	IN_ GARS	TIP_ LICA
1	2	3	4	5	6	7	8	9	10	11	12	13	14	15	16	17	18	19	20
17HZ	-0,07	0,12	-0,12	-0,17	0,19	0,01	0,00	-0,20	0,02	-0,07	0,12	-0,09	-0,01	-0,22	0,07	0,20	0,13	0,09	0,13
17HRZ1	0,10	-0,06	0,01	-0,05	0,05	-0,11	-0,09	0,01	0,05	-0,34	0,02	0,07	-0,14	-0,11	0,11	<u>0,32</u>	0,37	-0,16	-0,16
17VRZ2	0,16	-0,01	-0,16	0,03	<u>0,33</u>	<u>0,33</u>	0,40	0,01	0,28	0,10	0,28	0,02	0,19	-0,02	0,09	0,37	0,44	0,09	0,05
17VRZ3	-0,08	0,14	0,15	-0,10	0,05	-0,16	-0,14	-0,11	-0,17	-0,15	0,02	-0,06	-0,01	-0,06	-0,03	0,22	0,15	-0,03	0,06
17HKZ	0,01	-0,02	-0,06	0,10	0,45	0,15	0,21	-0,04	0,11	<u>0,32</u>	0,43	0,05	0,03	<u>-0,30</u>	-0,26	0,00	-0,04	0,42	0,50
17MD_K	0,02	-0,10	-0,10	0,00	0,13	0,24	0,34	0,12	0,05	0,10	0,00	-0,11	-0,02	0,04	-0,09	-0,02	0,00	0,07	0,05
17MD_S	-0,07	-0,26	-0,16	-0,16	-0,21	0,08	0,11	0,00	0,11	-0,02	-0,16	-0,20	-0,27	0,00	-0,10	-0,13	-0,16	0,01	-0,02
17VO_K	<u>0,32</u>	0,04	0,19	0,00	0,15	-0,19	-0,06	-0,18	0,13	-0,10	0,25	0,10	0,11	0,01	0,06	0,07	0,17	-0,02	0,08
17VO_S	0,34	0,08	0,16	0,03	0,29	-0,14	-0,03	-0,13	0,18	-0,01	0,29	0,05	0,11	0,01	0,08	0,10	0,22	0,10	0,11
16HZ	-0,08	-0,06	0,11	-0,02	0,27	0,05	0,11	-0,16	0,06	-0,09	0,15	-0,05	-0,11	-0,23	-0,01	-0,05	0,02	0,19	0,25
16HRZ1	0,03	0,11	0,25	-0,03	0,13	-0,04	-0,03	0,13	-0,03	-0,02	0,22	0,11	0,00	0,04	0,13	0,20	0,25	0,09	0,16
16VRZ2	0,16	0,18	0,23	0,11	0,37	-0,04	0,04	0,02	0,12	0,07	0,26	0,23	-0,06	-0,13	-0,14	0,15	0,19	0,02	0,10
16VRZ3	-0,06	0,23	0,36	-0,02	0,00	0,18	0,10	-0,10	-0,23	-0,03	-0,06	0,14	0,04	-0,17	0,22	0,12	0,07	-0,08	0,02
16HKZ	0,00	-0,35	0,09	0,27	0,40	-0,09	0,02	-0,25	0,13	-0,10	0,17	-0,08	-0,10	-0,10	-0,27	0,03	0,11	0,24	0,24
16MD_S	0,16	-0,09	0,23	0,11	<u>0,32</u>	0,22	0,26	-0,03	-0,01	0,10	-0,03	-0,06	0,06	0,01	-0,06	0,10	0,11	-0,09	-0,05
16MD_K	0,00	-0,36	-0,21	-0,13	-0,05	0,13	0,17	-0,16	0,23	0,03	0,00	-0,13	-0,16	-0,07	0,01	-0,11	-0,07	0,06	0,03
16VO_S	0,14	-0,04	-0,04	-0,07	0,15	-0,27	-0,14	-0,23	-0,22	-0,04	0,08	0,29	0,18	0,10	0,02	0,09	0,14	0,05	0,09
16VO_K	0,06	-0,04	-0,10	0,02	0,15	-0,13	0,00	-0,07	-0,02	0,05	0,27	0,13	-0,03	-0,10	-0,19	-0,05	0,08	0,13	0,19
26HZ	-0,14	0,03	0,03	0,14	<u>0,32</u>	0,14	0,19	-0,11	-0,01	0,07	0,18	0,10	0,02	-0,10	-0,05	0,06	0,10	0,17	0,26
26HRZ1	0,13	0,05	0,24	0,08	<u>0,33</u>	0,11	0,12	0,02	0,02	0,28	0,39	0,05	0,13	-0,08	-0,13	0,08	0,12	0,22	<u>0,31</u>
26VRZ2	0,02	0,14	-0,03	0,03	<u>0,30</u>	0,09	0,14	0,02	0,12	0,14	0,19	0,11	-0,02	-0,02	-0,02	0,17	0,22	0,04	0,10
26VRZ3	-0,14	<u>0,31</u>	0,22	0,07	0,23	-0,01	-0,08	-0,02	-0,25	-0,01	0,02	0,09	0,07	<u>-0,30</u>	-0,01	-0,07	-0,10	0,00	0,14

Продовження табл. В.10

1	2	3	4	5	6	7	8	9	10	11	12	13	14	15	16	17	18	19	20
26HKZ	-0,07	-0,28	0,10	0,26	0,36	-0,06	0,03	-0,25	0,02	-0,02	0,12	0,07	0,02	0,08	-0,16	0,15	0,16	0,23	0,24
26MD_K	0,05	-0,16	0,16	0,00	0,18	0,14	0,22	-0,16	-0,02	0,01	-0,01	-0,05	0,04	0,07	-0,07	0,24	0,22	-0,02	0,03
26MD_S	0,14	-0,26	0,06	-0,06	0,23	0,02	0,09	-0,03	0,28	0,08	0,18	-0,16	0,01	-0,15	-0,13	-0,01	-0,01	0,14	0,20
26VO_K	0,16	0,00	0,02	0,00	<u>0,33</u>	-0,14	-0,05	-0,16	-0,18	0,03	0,06	0,22	0,22	0,00	-0,03	0,03	0,11	0,00	0,03
26VO_S	0,00	-0,02	-0,09	-0,04	0,13	-0,12	-0,08	-0,09	-0,12	0,07	0,16	0,10	0,07	-0,06	-0,15	-0,16	-0,04	0,12	0,16
27HZ	0,09	-0,08	0,03	0,08	0,43	0,24	0,27	-0,14	0,26	0,22	0,44	0,03	0,13	-0,13	0,03	<u>0,32</u>	0,26	<u>0,31</u>	<u>0,30</u>
27HRZ1	0,13	-0,14	0,06	0,12	0,28	0,11	0,15	0,02	0,22	-0,07	0,21	0,07	0,05	0,13	0,10	0,47	0,54	0,04	0,01
27VRZ2	0,11	-0,11	-0,11	0,05	<u>0,33</u>	0,39	0,45	-0,01	0,26	0,17	<u>0,33</u>	0,05	0,11	0,01	0,06	0,40	0,44	0,18	0,14
27VRZ3	0,05	0,15	0,17	0,09	0,28	0,16	0,17	-0,07	0,13	0,18	0,26	0,05	0,05	-0,07	0,08	0,15	0,09	0,17	0,14
27HKZ	0,01	-0,13	-0,03	0,21	0,44	0,07	0,15	-0,19	0,07	<u>0,30</u>	0,48	0,13	0,12	-0,12	-0,14	0,19	0,13	0,43	0,51
27MD_K	0,09	-0,17	-0,20	-0,12	-0,05	0,23	<u>0,33</u>	-0,06	0,03	0,12	0,03	0,10	0,02	0,13	0,09	0,03	-0,04	0,07	0,01
27MD_S	0,13	-0,29	-0,05	0,03	-0,07	0,21	0,25	0,07	0,19	0,12	-0,02	-0,10	-0,13	0,12	0,00	0,04	0,02	-0,08	-0,07
27VO_K	0,24	-0,05	0,02	-0,05	0,24	0,00	0,08	-0,17	0,13	0,09	<u>0,30</u>	0,25	0,28	-0,02	0,13	-0,02	0,06	0,19	0,20
27VO_S	0,29	-0,04	0,06	0,02	0,27	-0,01	0,06	-0,21	0,19	0,13	<u>0,30</u>	0,20	0,19	0,01	0,13	-0,01	0,06	0,14	0,14
37HZ	-0,06	-0,28	-0,07	0,10	0,23	0,26	0,29	0,00	0,35	0,17	0,35	-0,15	0,11	0,02	0,03	0,06	0,06	0,38	<u>0,33</u>
37HRZ1	-0,06	<u>-0,32</u>	0,06	0,05	0,06	0,07	0,02	-0,15	<u>0,31</u>	0,16	<u>0,31</u>	-0,20	0,05	0,09	0,10	0,02	-0,02	0,37	0,34
37VRZ2	-0,12	-0,14	0,08	-0,10	-0,11	0,29	0,20	-0,09	0,18	0,19	0,16	-0,13	0,05	0,08	0,08	-0,02	0,00	0,14	0,11
37HKZ	0,01	-0,18	-0,05	0,27	0,36	0,10	0,21	-0,02	0,07	0,13	0,29	0,09	0,04	0,03	-0,09	0,28	0,24	0,29	<u>0,33</u>
37MD_K	0,16	-0,36	0,16	0,07	0,17	0,04	0,15	-0,09	0,17	-0,12	0,00	-0,14	-0,01	0,14	-0,02	0,13	0,15	0,10	0,04
37MD_S	0,12	-0,42	-0,01	-0,13	-0,01	0,05	0,11	0,06	0,36	-0,17	0,15	-0,25	-0,05	-0,17	-0,23	0,09	0,15	0,12	0,03
37VO_K	0,08	-0,17	0,28	0,02	0,14	0,00	-0,01	-0,23	0,00	-0,11	-0,14	0,07	0,13	0,17	0,34	0,15	0,06	-0,07	-0,18
37VO_S	0,00	-0,18	0,00	-0,15	-0,02	0,03	-0,02	-0,14	0,13	-0,03	0,01	0,06	0,04	-0,07	0,29	-0,04	-0,14	0,04	-0,14
36HZ	-0,01	0,07	0,13	-0,07	0,16	-0,19	-0,14	-0,09	-0,05	0,03	0,26	0,18	0,26	-0,09	0,03	0,04	-0,02	0,17	0,26
36HRZ1	0,04	0,07	0,20	-0,09	0,07	0,06	0,10	-0,04	0,15	0,01	0,17	0,04	0,25	-0,10	0,05	0,08	0,06	0,06	0,14
36VRZ2	-0,01	<u>0,32</u>	0,01	-0,22	0,18	-0,20	-0,17	-0,09	-0,16	0,02	0,07	0,03	0,20	-0,18	0,00	-0,01	-0,05	-0,08	0,01
36HKZ	0,02	-0,05	0,10	0,26	0,23	-0,26	-0,17	-0,16	-0,24	0,01	0,17	0,26	0,13	-0,03	-0,12	0,09	-0,01	0,15	0,20
36MD_K	-0,09	-0,40	-0,19	-0,15	0,00	-0,03	0,04	-0,24	0,07	-0,11	0,00	-0,27	-0,03	-0,03	-0,17	0,01	0,12	0,19	0,10
36MD_S	-0,08	-0,24	0,02	-0,35	-0,34	-0,27	-0,26	-0,25	-0,28	-0,40	-0,39	0,06	-0,01	-0,10	-0,02	0,00	-0,12	-0,15	-0,17

Продовження табл. В.10

1	2	3	4	5	6	7	8	9	10	11	12	13	14	15	16	17	18	19	20
36VO_K	-0,07	-0,28	0,08	-0,13	0,14	0,11	0,07	-0,15	0,08	0,05	0,09	-0,18	0,00	-0,04	0,14	0,02	-0,02	0,27	0,21
36VO_S	-0,01	-0,13	0,05	-0,18	0,06	-0,16	-0,13	-0,16	-0,04	-0,25	-0,18	-0,02	0,11	-0,17	0,03	0,03	0,05	-0,10	-0,13
46HZ	0,03	0,00	0,09	0,03	<u>0,30</u>	-0,16	-0,05	-0,06	0,07	0,06	0,42	0,20	0,34	-0,02	0,07	0,18	0,14	0,25	0,34
46HRZ1	0,19	-0,05	0,20	-0,02	0,10	0,07	0,14	-0,02	0,19	-0,02	<u>0,31</u>	0,20	0,43	0,11	0,28	0,29	0,29	0,12	0,22
46VRZ2	0,13	0,12	-0,08	-0,03	0,37	-0,03	0,07	-0,07	0,11	0,23	0,43	0,13	0,36	-0,01	0,14	0,17	0,16	0,18	0,26
46HKZ	-0,01	-0,03	0,12	0,22	0,18	-0,27	-0,17	-0,11	-0,24	0,07	0,18	<u>0,31</u>	0,15	-0,03	-0,19	0,05	-0,07	0,17	0,23
46MD_K	-0,20	-0,36	-0,24	-0,24	-0,10	0,01	0,05	-0,16	-0,02	-0,09	-0,05	-0,28	-0,13	0,00	-0,15	0,06	0,14	0,17	0,09
46MD_S	-0,06	-0,26	0,06	-0,18	-0,27	<u>-0,33</u>	-0,25	-0,24	-0,22	-0,50	-0,36	-0,02	-0,06	-0,05	-0,13	0,09	-0,03	-0,21	-0,18
46VO_K	0,05	-0,35	0,07	-0,08	0,24	0,12	0,13	-0,15	0,20	0,02	0,16	-0,23	-0,01	-0,03	0,16	0,11	0,08	0,28	0,22
46VO_S	0,19	-0,14	0,02	-0,09	0,16	-0,13	-0,05	-0,23	0,03	<u>-0,31</u>	-0,13	0,05	0,17	-0,13	0,11	0,19	0,24	-0,19	-0,19
47HZ	-0,23	-0,27	0,11	0,05	-0,01	-0,08	-0,07	-0,19	0,15	-0,07	0,22	-0,19	-0,06	0,01	-0,02	-0,03	-0,08	0,34	<u>0,32</u>
47HRZ1	-0,11	-0,18	-0,06	0,01	-0,01	-0,09	-0,11	-0,17	0,21	0,12	0,22	-0,19	-0,09	0,02	0,09	-0,09	-0,16	0,29	0,26
47VRZ2	-0,17	-0,18	-0,05	-0,02	-0,07	0,19	0,18	-0,27	0,19	0,15	0,21	-0,28	0,04	0,16	-0,01	-0,12	-0,06	0,24	0,20
47HKZ	-0,19	-0,20	0,07	0,25	0,26	-0,04	0,02	-0,11	-0,01	0,11	0,20	-0,04	-0,11	0,02	-0,19	0,12	0,07	<u>0,33</u>	0,34
47MD_K	-0,02	-0,28	-0,08	0,08	0,36	0,01	0,14	0,02	0,09	0,19	0,11	-0,06	-0,05	0,08	-0,17	-0,01	0,02	0,33	0,28
47MD_S	-0,09	-0,39	-0,06	-0,08	0,10	-0,11	-0,06	0,00	0,11	0,01	0,01	<u>-0,30</u>	-0,06	-0,04	-0,48	-0,10	-0,02	0,17	0,15
47VO_K	0,04	-0,22	<u>0,30</u>	0,05	0,08	0,13	0,09	-0,21	0,06	-0,14	-0,15	0,08	0,14	0,21	0,46	0,29	0,19	-0,07	-0,18
47VO_S	0,08	-0,22	0,23	0,12	0,09	0,12	0,10	-0,23	0,11	-0,10	-0,01	0,02	0,09	-0,01	0,23	0,21	0,12	-0,11	-0,25

